

LUBUUSUTH ՔԻՄԻԱԿԱՆ ՀԱՆԴԵՄ

Химический журнал армении

CHEMICAL JOURNAL OF ARMENIA

Սաղիյան Ա.Ս. – գլխավոր խմբագիր

 Մանթաշյան Ա.Հ.
 – գլխավոր խմբագրի խորհրդատու

 Ինձիկյան Մ.Հ.
 – գլխավոր խմբագրի տեղակալ

 Խառատյան Ս.Լ.
 – գլխավոր խմբագրի տեղակալ

 Մահակյան Ս.Ս.
 – պատասխանատու քարտուղար

Գեոլչանյան Ա.Վ. – գործավար

ԽՄԲԱԳՐԱԿԱՆ ԿՈԼԵԳԻԱ

Արսենտև Ս.Դ. (պատասխանատու խմբագիր), Բաբայան Ս.Գ. (պատասխանատու խմբագիր), Բելենկիյ Լ.Ի (ՌԴ), Բելով Գ.Պ. (ՌԴ), Դանագուլյան Գ.Հ. (պատասխանատու խմբագիր), Խաչատրյան Հ.Գ., Հալեբյան Ղ.Պ., Հովակիմյան Մ.Ժ. (պատասխանատու խմբագիր), Մալեև Վ.Ի. (ՌԴ), Մատնիշյան Հ.Ա. (պատասխանատու խմբագիր), Սարկիսով Օ.Մ. (ՌԴ), Տոնոյան Ա.Հ., Փանոսյան Հ.Ա.:

Сагиян А.С. – главный редактор

Манташян А.А. – консультант главного редактора Инджикян М.Г. – заместитель главного редактора Харатян С.Л. – заместитель главного редактора – ответственный секретарь – делопроизводитель

РЕДАКЦИОННАЯ КОЛЛЕГИЯ

Алебян Г.П., Арсентьев С.Д. (ответственный редактор), Бабаян С.Г. (ответственный редактор), Беленький Л.И. (Россия), Белов Г.П. (Россия), Данагулян Г.Г. (ответственный редактор), Малеев В.И. (Россия), Матнишян А.А. (ответственный редактор), Овакимян М.Ж. (ответственный редактор), Паносян Г.А., Саркисов О.М. (Россия), Тоноян А.О., Хачатрян А.Г.

Saghiyan A.S. – Editor-in-chief

Mantashyan A.A. – Editor-in-chief Consultant

Injikyan M.H. – Deputy Editor Kharatyan S.L. – Deputy Editor Sahakyan S.S. – Responsible Secretary

Geolchanyan A.V. - Secretary

EDITORIAL BOARD

Arsentyev S.D. (executive editor), Babayan S.G. (executive editor), Belenkiy L.I. (Russia), Belov G.P. (Russia), Danagulyan G.G. (executive editor), Halebyan Gh.P., Hovakimyan M.Zh. (executive editor), Khachatryan H.G., Maleev V.I. (Russia), Matnishyan A.A. (executive editor), Panosyan H.A, Sarkisov O.M. (Russia), Tonoyan A.H.

"Химический журнал Армении" реферируется в "Chemical Abstracts" (США) и РЖХим (Россия).

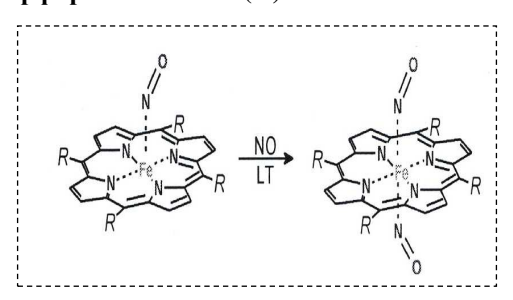
http://chemjournal.sci.am

ГРАФИЧЕСКИЕ РЕФЕРАТЫ

Низкотемпературное взаимодействие окиси азота с микропористыми слоями $\mathit{meso}\text{-}$ тетрафенилпорфирината железа(II)

А. С. Азизян

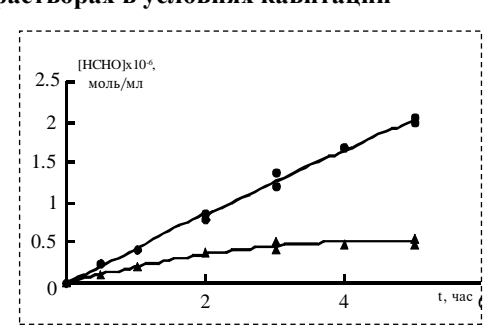
Хим. ж. Армении, 2009, т. 62, № 1-2, с. 11



Окисление метана в водных растворах в условиях кавитации

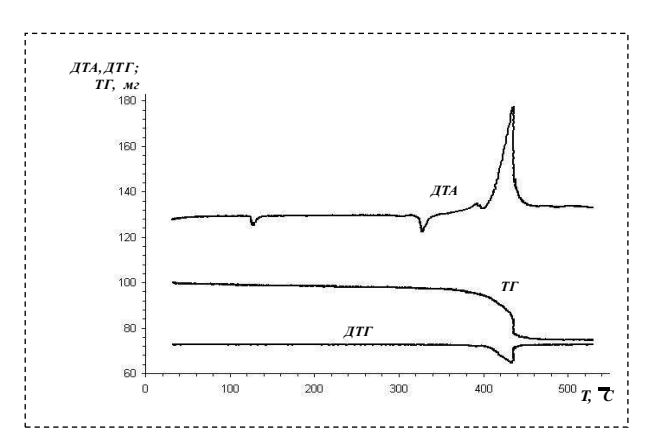
С. Д. Арсентьев

Хим. ж. Армении, 2009, т. 62, № 1-2, с. 18



Десульфуризация сульфидов меди и молибдена (Cu_2S и MoS_2) в присутствии неорганического окислителя

Е. Г. Григорьян



Особенности высокотемпературной карбидизации ниобия в неизотермических условиях

Ц. А. Адамян,

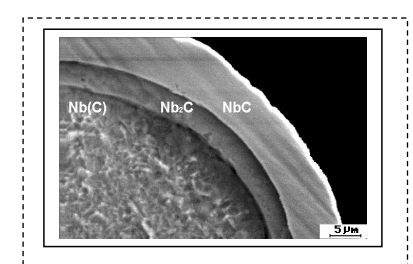
А. Г. Киракосян,

А. С. Харатян,

А. А. Чатилян,

С. Л. Харатян

Хим. ж. Армении, 2009, т. 62, № 1-2, с. 30



Применение наноразмерных аморфных порошов Мо в процессе дегидрогенизации циклогексана

Т. А. Гарибян,

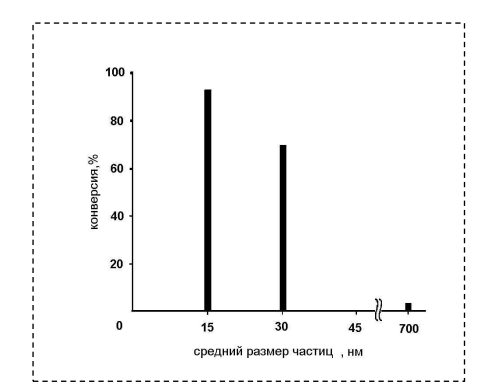
В. Т. Минасян,

Л. А. Вартикян,

Р. Т. Малхасян,

С. Л. Григорян

Хим. ж. Армении, 2009, т. 62, № 1-2, с. 41



Влияние аморфности и размера частиц катализаторов на превращение метанола

Р. Р. Григорян,

Л. А. Вартикян,

Т. А. Гарибян,

С. Л. Григорян,

Р. Т. Малхасян

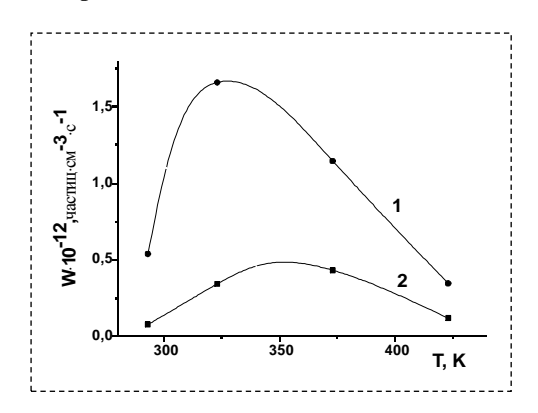
$$CH_3OH + (He +0,1 \ o6.\% \ O_2) \xrightarrow{M(KXT)} CH_2O,H_2,CO,CH_4$$
 где $M - Cu, Mo, Fe$

$$CH_3OH + (воздух) \xrightarrow{CuO} CO_2, H_2O$$

Низкотемпературный химический перенос соединений цинка с помощью паров воды

Г. Л. Григорян, А. А. Бегларян

Хим. ж. Армении, 2009, т. 62, № 1-2, с. 57



Синтез и ИК-спектроскопическое исследование системы Pt/SiO_2 в процессе гидрогенолиза n-гептана

Г.Г. Григорян,

Г. Р. Оганнисян,

Н. О. Зулумян

Хим. ж. Армении, 2009, т. 62, № 1-2, с. 64

$$C_{7}H_{16} \longrightarrow + H_{2}$$

$$R-C=C \stackrel{H}{\longrightarrow} R-C-C-C \stackrel{H}{\longrightarrow} H$$

$$Si$$

Ультратонкие термостабильные слоистые филлосиликаты из синтетического дигидрата силиката магния

Л. А. Хачатрян

Хим. ж. Армении, 2009, т. 62, № 1-2, с. 74

Расчет термодинамических величин адсорбции легких $C_1 \div C_4$ насыщенных углеводородов на модифицированном ширакском мордените

А. Р. Хачатрян,

А. М. Калпакян

$$V_g = K_{a,p} RT = \frac{P_m T}{P_0 T_m} \cdot \frac{v}{60} \cdot \frac{3}{2} \frac{\left(P_i / P_0\right)^2 - 1}{\left(P_i / P_0\right)^2 - 1} \cdot \frac{1}{g} \Delta \tau$$

Синтез исходных компонентов износостойкой корундовой керамики

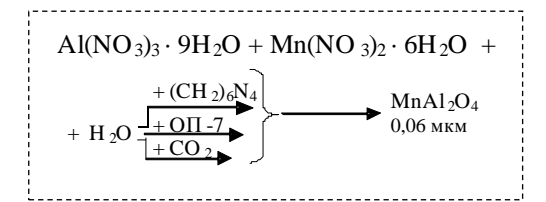
А. А. Ханамирова,

А. Р. Адимосян,

Л. П. Апресян,

Л. А. Чилингарян

Хим. ж. Армении, 2009, т. 62, № 1-2, с. 93



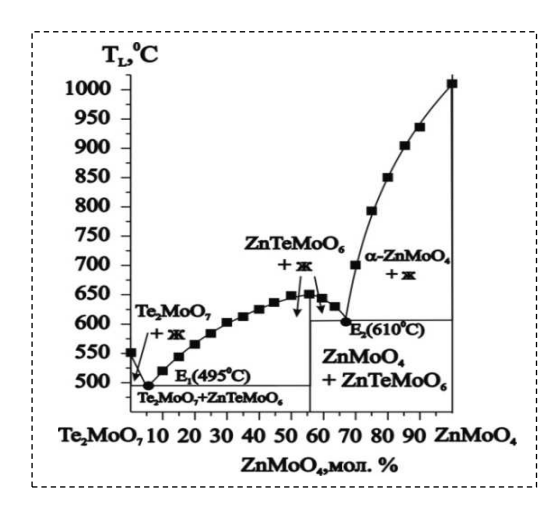
Температура ликвидуса, кристаллические фазы и свойства стекол по разрезу $Te_2MoO_7\text{-} ZnMoO_4 \ cucтемы \ ZnO\text{-}MoO_3\text{-}TeO_2$

М. Р. Оганесян,

Р. М. Оганесян,

Н. Б. Князян

Хим. ж. Армении, 2009, т. 62, № 1-2, с. 100



Взаимодействие ртути(II) с аллил- и фенилтиомочевинами и ее определение в ртутьсодержащей руде

Г.Г. Дарбинян,

Ш.С. Закарян,

Г.Н. Шапошникова,

А.Г. Хачатрян

Спектрофотометрическое исследование взаимодействия меди(II) с моно-, ди- и триэтаноламинами

С. В. Вартанян,

А. М. Бейбутян,

А. Г. Хачатрян

Хим. ж. Армении, 2009, т. 62, № 1-2, с. 111

$$\begin{bmatrix} (HOCH_2CH_2)_3 - N: & :N - (CH_2CH_2OH)_3 \\ (HOCH_2CH_2)_3 - N: & :N - (CH_2CH_2OH)_3 \end{bmatrix}^{2+}$$

Новые эффективные F-содержащие хиральные реагенты для асимметрического синтеза (S)-α-аминокислот

А. С. Сагиян,

А. С. Дадаян,

С. А. Дадаян,

Т. О. Саргсян,

А. В. Геолчанян,

В. Т. Кочикян,

Г. А. Паносян,

В. Н. Хрусталев,

В. И. Малеев

Хим. ж. Армении, 2009,

m. 62, № 1-2, c. 117

$$\begin{array}{c} R_3 \\ R_2 \\ R_1 \\ R_2 \\ R_3 \\ R_2 \\ R_1 \\ R_2 \\ R_2 \\ R_1 \\ R_2 \\ R_2 \\ R_3 \\ R_4 \\ R_4 \\ R_4 \\ R_4 \\ R_5 \\$$

Взаимодействие n-(4-гидроксибутил)аральдиминов с ацетилацетоном и ацетоуксусным эфиром

С. С. Айцоян

Хим. ж. Армении, 2009, т. 62, № 1-2, с. 134

Синтез 8-аминопроизводных 2,2,5-тризамещенных пирано[4",3":4',5']пиридо[3',2':4,5]тиено[3,2-d]пиримидинов

Е. Г. Пароникян,

Ш. Ф. Акопян,

А. С. Норавян

Синтез, превращения 5,5-диэтил-2-хлорметил-4-оксо-3,4,5,6тетрагидробензо[h] хиназолина и некоторые биологические свойства синтезированных соединений

А. И. Маркосян,

С. А. Погосян,

Ф. Г. Арсенян,

Р. С. Сукасян

Хим. ж. Армении, 2009, т. 62, № 1-2, с. 148

Синтез новых производных вицинальных аминоспиртов на базе N-глицидилморфолина и N-глицидилпиперидина

Э. Г. Месропян,

А. С. Галстян,

А. А. Аветисян,

Г. Б. Амбарцумян

Хим. ж. Армении, 2009, т. 62, № 1-2, с. 156

$$X = O; CH_2$$

HNRR' = HN

 $X = O; CH_2$
 $X = O; CH_2$
 $Y = O; CH_2$

Синтез и некоторые превращения этилового эфира 1-амино- 3-циклопентил - 3,4-дигидро-2-нафталинкарбоновой кислоты. Антидепрессивная и противосудорожная активность полученных соединений

Н. П. Григорян,

Л. А. Тарзян,

А. И. Маркосян,

Р. Г. Пароникян,

Р. С. Сукасян

Хим. ж. Армении, 2009, т. 62, № 1-2, с. 160

$$\begin{array}{c} & & & \\ & & \\ & & & \\ & & & \\ & & \\ & & & \\ & & & \\ & & & \\ & & & \\ & & & \\ & & & \\ & & & \\ & &$$

Синтез и биологическая активность N-[3-гидрокси-3-(4'-замещенных фенил)-1-пропил]аминокислот

А. Г. Агабабян,

Г. А. Геворгян,

Р. Г. Пароникян,

С. С. Марданян,

И. Г. Вермишян,

Г. А. Паносян

Взаимодействие цианамино-1,3,5-триазинов с эфирами и амидами α-галогенкарбоновых кислот и некоторые превращения полученных продуктов

Э. Н. Амбарцумян,

А. С. Ворсканян,

А. П. Енгоян

Хим. ж. Армении, 2009, т. 62, № 1-2, с. 176

Некоторые химические превращения 2-циан-3-метил-4,4-циклопентаметилен-2-бутен-4-олида

А. А. Аветисян,

Л. А. Хачатрян,

Л. Ф. Карапетян

Хим. ж. Армении, 2009, т. 62, № 1-2, с. 183

$$\begin{array}{c|c} & & & \\ & & & \\$$

Кинетические особенности гидролиза дихолинового эфира себациновой кислоты под действием сывороточной бутирилхолинэстеразы

М. Р. Мнацаканян,

А. О. Папоян,

В. А. Самокиш,

Г. П. Алебян

Хим. ж. Армении, 2009, т. 62, № 1-2, с. 188

$$E + ДХЭ \Longrightarrow [E-ДХЭ] \longrightarrow [E_{att}MXЭ] < E + MXЭ$$
 $E + MXЭ \Longrightarrow [E-ДХЭ] \longrightarrow [E_{att}-ДК] \longrightarrow E + ДК$
холин

Е –фермент, бутирилхолинэстераза, Е_{ап} – ацилированный фермент,
 ДХЭ – дихолиновый эфир дикарбоновой кислоты,
 МХЭ – монохолиновый эфир дикарбоновой кислоты,
 ДК – дикарбоновая кислота

Нанокомпозиты полиметилметакрилат/ SiO2 и их свойства

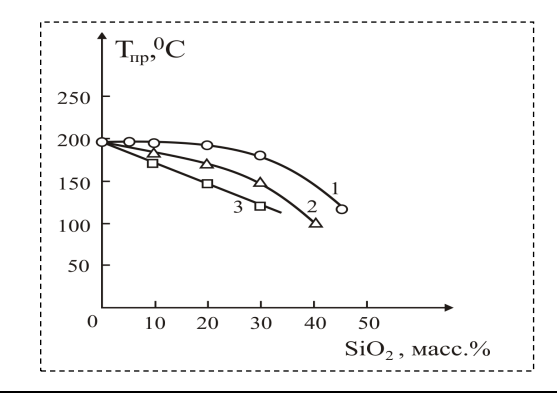
А. О. Тоноян,

Н. Н. Киракосян,

А. Г. Кетян,

Кристоф Шик,

С. П. Давтян



Модификация силикагеля порфирин- и металлопорфирин-содержащими полимерами

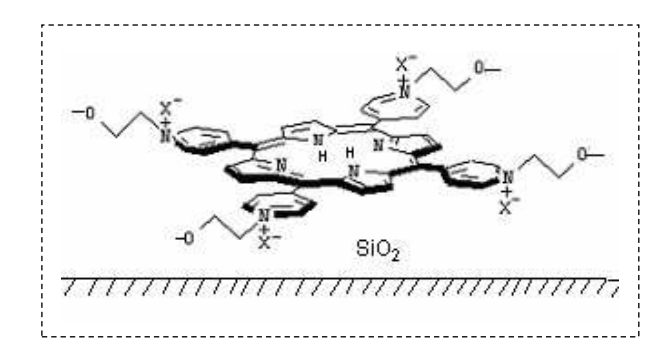
Г. Г. Балаян,

С. Г. Григорян,

А. Г. Балекаев,

Л. Э. Ткаченко

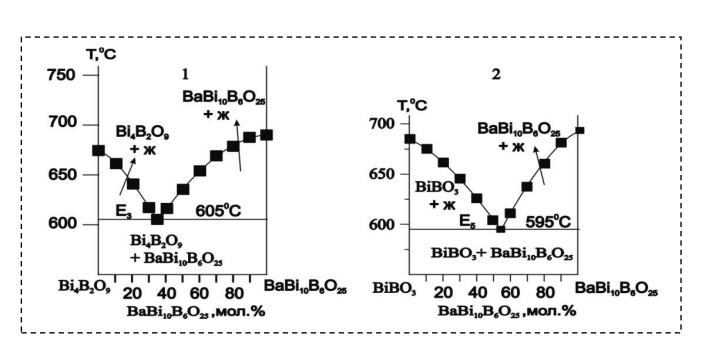
Хим. ж. Армении, 2009, т. 62, № 1-2, с. 212



Синтез нового соединения $BaBi_{10}B_6O_{25}$ в системе $BaO\text{-}Bi_2O_3\text{-}B_2O_3$

М. Р. Оганесян

Хим. ж. Армении, 2009, т. 62, № 1-2, с. 223



Нуклеофильное присоединение пиридина к винилпиридиниевым солям

Р. Дж. Хачикян,

Г. В. Асатрян,

М. Г. Инджикян,

А. Г. Симонян

Хим. ж. Армении, 2009, *т.* 62, № 1-2, *c.* 225

Новый хелатный комплекс Ni(II)

Г. В. Акопян

$$H_{2}$$
 $C-O$
 $O=C$
 $C=CH_{2}$
 HN
 Ni
 $O-C$
 H_{2}
 H_{2}
 H_{2}
 H_{2}

ՀԱՅԱՍՏԱՆԻ ՀԱՆՐԱՊԵՏՈՒԹՅԱՆ ԳԻՏՈՒԹՅՈՒՆՆԵՐԻ ԱԶԳԱՅԻՆ ԱԿԱԴԵՄԻԱ НАЦИОНАЛЬНАЯ АКАДЕМИЯ НАУК РЕСПУБЛИКИ АРМЕНИЯ

Հшјшиտшնի рիմիшկшն ншնդեи 62, №1-2, 2009 Химический журнал Армении

ОБЩАЯ И ФИЗИЧЕСКАЯ ХИМИЯ

УДК 547.979.733

НИЗКОТЕМПЕРАТУРНОЕ ВЗАИМОДЕЙСТВИЕ ОКИСИ АЗОТА С МИКРОПО-РИСТЫМИ СЛОЯМИ *МЕЗО*-ТЕТРАФЕНИЛПОРФИРИНАТА ЖЕЛЕЗА(II)

А. С. АЗИЗЯН

Армянский институт прикладной химии (АРИАК) Армения, 0053, Ереван, Арташатское шоссе, 5/2 E-mail: azizyan@rambler.ru

Поступило 9 VI 2008

Методами ИК и УФ-видимой спектроскопии с привлечением данных по изотопозамещенной окиси азота (15 NO) показано, что низкотемпературное взаимодействие окиси азота (NO) с сублимированными слоями Fe(II)(ТФП) (ТФП- дианион *мезо*-тетрафенилпорфирина) ведет к образованию 6-координационного динитрозильного комплекса железо-порфирина Fe(II)(ТФП)(NO)₂, который при повышении температуры теряет один из аксиальных лигандов, образуя в итоге хорошо известный нитрозильный комплекс Fe(II)(ТФП)(NO).

Рис. 4, библ. ссылок 17.

Окись азота выполняет важные биологические функции, большинство из которых связано с ее взаимодействием с металлопротеинами, в особенности, с гемопротеинами [1]. Показательным примером такого рода является оказываемое ею сосудорасширяющее действие, инициируемое координацией NO с гемом растворимой гуанилил-циклазы [2]. В физиологию и патологию окислов азота вовлечено, либо предполагается вовлеченным, множество гемопротеинов – NO-синтазы, гемоглобин и миоглобин в их числе [3, 4]. С другой стороны, взаимодействие между металлоцентром и окисью азота долгое время находится в центре внимания химиков в связи с особенностями NO выступать при связывании с металлом как в качестве чистого электронодонорного, так и электроноакцепторного лиганда [5, 6].

Реакция избытка окиси азота (NO) с Fe(II)-порфиринами была предметом дискуссии. Одни исследователи утверждали [7, 8], что она ведет к реакции диспропорционирования с образованием нитро-нитрозильного комплекса (NO)Fe(Por)(NO₂) и выделению N₂O. Другие придерживались точки зрения, что единственным продуктом такого взаимодействия в раст-

ворах является при комнатных температурах Fe(Por)(NO) [9], а за образование (NO)Fe(Por)(NO₂) ответственны следовые количества кислорода, которые окисляют NO [10]. Однако отрицательный результат последней из отмеченных работ мог быть связан и с недостаточной растворимостью NO, препятствующей образованию содержащего несколько молекул окиси азота интермедиата, предваряющего диспропорционирование NO.

В настоящей работе исследовано взаимодействие NO с микропористыми слоями $Fe(II)(T\Phi\Pi)$. При низких температурах и в условиях избытка NO проблемы, связанные с ее растворимостью, возникающие при работе в растворах, исключаются. Действительно, микропористые слои порфиринатов Mn(II) в экспериментальных условиях настоящей работы инициировали реакцию диспропорционирования NO, которая в конечном итоге вела к образованию $Mn(Por)(\Box^1$ -ONO) и выделению N_2O [11, 12]. Низкотемпературные спектральные данные давали предпочтение интермедиату, содержащему 3 молекулы координированного NO, взаимодействие которого с четвертой приводило к образованию нитрито-нитрозильного комплекса (NO) $Mn(Por)(\eta^1$ -ONO) [12], который терял координированный NO при нагреве до комнатной температуры. В случае же порфиринатов Fe(II) данные настоящей работы указывают на образование при низких температурах термически нестабильного динитрозильного комплекса $Fe(II)(T\Phi\Pi)(NO)_2$, теряющего при нагреве один из лигандов.

Экспериментальная часть

Низкотемпературные сублимированные слои $Fe(II)(T\Phi\Pi)$ получали на пластинках KBr и CaF_2 для измерений инфракрасных и электронных спектров поглощения, соответственно, согласно ранее описанной методике [13]. Далее в криостат подавали отмеренные ртутным манометром количества NO, ^{15}NO , либо их эквимолярной смеси. Температуру подложки, измеряемую термопарой, медленно повышали, начиная от температуры жидкого азота до комнатной. Параллельно при фиксированной температуре снимали инфракрасные, либо электронные спектры поглощения. Флюоритная оптика прозрачна в области $^{\sim}1700~cm^1$, в которой расположена интенсивная полоса поглощения v(NO) нитрозильных комплексов. Это давало возможность снимать UK-спектры образцов, приготовленных в криостате с флюоритной оптикой, для исследования методом электронной спектроскопии. Такой UK-контроль очень важен для однозначного отнесения электронных спектров поглощения к тому или иному образцу, поскольку сами электронные спектры для подобных систем значительно менее информативны, чем инфракрасные.

Синтез NO проводили согласно рецепту, приведенному в [13], и дополнительно очищали по разработанной нами методике [12]. ¹⁵NO был приобретен в Институте изотопов (Республика Грузия) и очищен таким же способом. ИК-спектры в области 4000-400 cm^1 с разрешением в 2 cm^1 были получены на Фурье-спектрофотометре "Nexus Nicolet". Электронные спектры поглощения (ЭСП) измеряли на спектрофотометре "Specord M-40".

Результаты и обсуждение

Подача в кристат с сублимированным слоем $Fe(II)(T\Phi\Pi)$ 4 Topp NO при 80 K приводит к образцу, в ИК-спектре которого, наряду с полосами самого порфирина, появляются две очень интенсивные полосы в областях 1860 и 1760 cm^1 . Они, несомненно, принадлежат к симметричному и антисимметричному колебаниям v(NO) адсорбированного на слое порфирина димера окиси азота ONNO цисоидной структуры [15] . Рост температуры подложки приводит к постепенному их исчезновению и росту полосы при 1684 cm^1 , которая достигает максимальной интенсивности при температурах порядка 170 K. Симбатно интенсивности этой полосы растет также слабая полоса при 1772 cm^1 . В экспериментах с 15 NO появляются изотопные аналоги этих полос при 1655 и 1740 cm^1 (рис. 1), не оставляя сомнений в их принадлежности валентному колебанию NO группы.

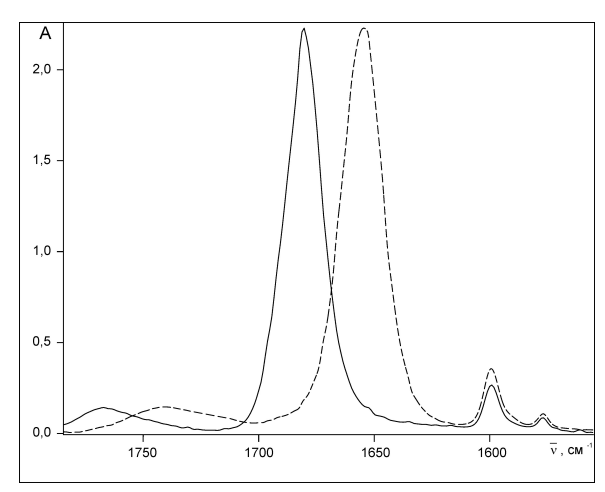


Рис. 1. ИК-Фурье-спектры сублимированного слоя $Fe(II)(T\Phi\Pi)$ после подачи в криостат при T=80~K4~Topp NO, нагрева до 170 K и кратковременной откачки (сплошная линия); та же самая процедура с использованием 15 NO (штриховая линия).

С ростом температуры интенсивность

отмеченных полос падает, и максимум полосы при $1684~cm^1$ смещается в низкочастотную область. Высокочастотная полоса при $1772~cm^1$ исчезает при этом полностью. Интенсивность полосы при $1684~cm^1$ падает примерно вдвое (рис. 2). Полоса при $1675~cm^1$ с изотопным аналогом при $1645~cm^1$, присутствующая в образцах при комнатной температуре, с очевидностью принадлежит хорошо известному нитрозильному комплексу железа $Fe(II)(T\Phi\Pi)(NO)$ $Fe(II)(T\Phi\Pi)(^{15}NO)$ [15].

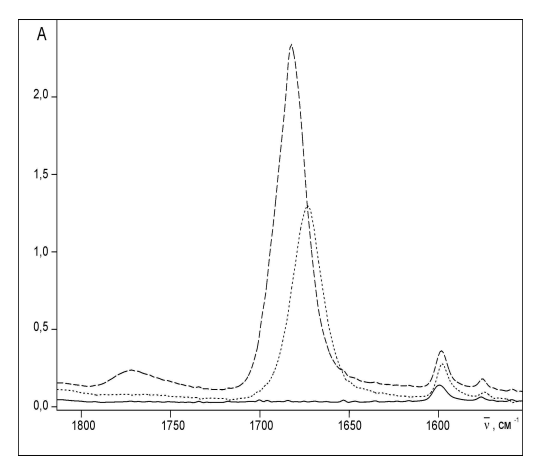


Рис. 2. ИК-Фурье-спектры $Fe(II)(T\Phi\Pi)$ (сплошная линия) после подачи в криостат при 80~K4~Topp NO, нагрева до 170~K (штриховая линия) и дальнейшего нагрева до комнатной температуры (пунктирная линия).

Логично было предположить, что полоса при $1684\ cm^1$ с интенсивностью вдвое большей, чем полоса при $1675\ cm^1$, должна принадлежать динитрозильному комплексу $Fe(II)(T\Phi\Pi)(NO)_2$ с *транс*-расположенными аксиальными нитрозильными лигандами. Если такая структура центросимметрична, то в спектре такого соединения ИК-активным будет лишь антифазное колебание двух нитрозильных групп. В случае отклонения от центросимметричности активным будет и синфазное колебание. Появление в спектре высокочастотной полосы при $1772\ (1744\ cm^1)$ может быть указанием отклонения предполагаемого динитрозильного комплекса от центросимметричности. Действительно, расчеты по теории функционала плотности [16, 17] предсказывают для динитрозильного комплекса структуру, в которой оба нитрозильных лиганда отклонены в одну сторону, так что комплекс имеет симметрию Cs.

Принадлежность полосы при 1684 cm^1 динитрозильному комплексу подтвердили эксперименты с эквимолярной смесью NO/ 15 NO. Для такой системы следовало ожидать образования трех, спектрально различимых, соединений, а именно, Fe(II)($T\Phi\Pi$)(15 NO)2, (NO)Fe(II)($T\Phi\Pi$)(15 NO) и Fe(II)($T\Phi\Pi$)(15 NO)2 в соотношении 1:2:1 (схема).

Схема

При этом для частоты полосы, принадлежащей антифазному валентному колебанию смешанного комплекса (NO)Fe(II)($T\Phi\Pi$)(^{15}NO), следовало ожидать значения, промежуточного между значениями частот для Fe(II)($T\Phi\Pi$)(NO)2 и Fe(II)($T\Phi\Pi$)(^{15}NO)2. Действительно, спектр, снятый при низких температурах, проявляет в области валентных колебаний нитрозильной группы полосу сложной формы, вследствие наложения полос трех различных изотопомеров с максимумом при $1666\ cm^1$, которую естественно приписать смешанной форме, вносящей наибольший вклад вследствие его большего содержания в образце (рис. 3). Более того, нагрев образца, сопровождающийся разложением этого комплекса, приводит в итоге к спектру с четко выраженным разделением двух полос мононитрозильных комплексов Fe(II)($T\Phi\Pi$)(NO) и Fe(II)($T\Phi\Pi$)($T\Phi\Pi$)($T\Phi\Pi$)($T\Phi\Pi$) ($T\Phi\Pi$) (

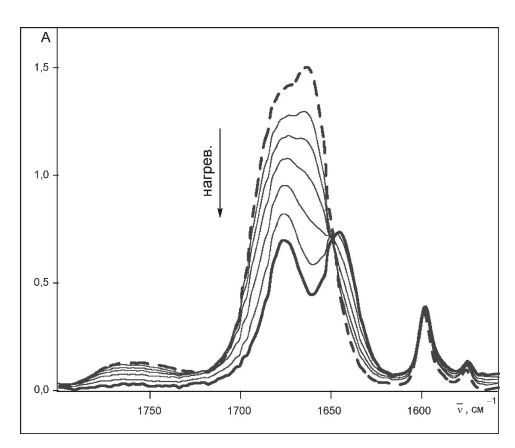


Рис. 3. ИК-Фурье-спектры $Fe(II)(T\Phi\Pi)$ после запуска в криостат при T=80~K4~Topp эквимолярной смеси $NO/^{15}NO$ и нагрева до 170 K (жирная штриховая линия) и в процессе нагрева до комнатной температуры (жирная линия).

Электронные спектры поглощения в видимой области также свидетельствуют об образовании при низких температурах нового комплекса (рис. 4). Полоса при 542 *нм* сдвигается до 547 *нм* и значительно растет по интенсивности. ИК-спектры этого же образца свидетельствуют об образовании на этой стадии реакции динитрозильного комплекса. При его разрушении спектр претерпевает дальнейшие изменения, приводя в итоге к спектру мононитрозильного комплекса с полосами при 537 и 610 *нм*.

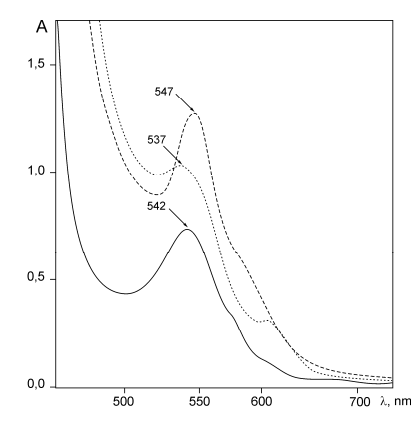


Рис. 4. Электронные спектры поглощения в видимой области $Fe(II)(T\Phi\Pi)$ (сплошная линия), $Fe(II)(T\Phi\Pi)(NO)_2$ (штриховая линия) и $Fe(II)(T\Phi\Pi)(NO)$ (пунктирная линия).

Следует отметить, что, как это наблюдалось и в растворах [9], спектральных признаков образования нитро-нитрозильного комплекса (NO)Fe(II)($T\Phi\Pi$)(NO2) и N2O не было обнаружено.

Таким образом, железо-порфирины не инициируют реакцию диспропорционирования NO в отличие от порфиринатов марганца [12] и рутения [13]. Единственным результатом низкотемпературного взаимодействия окиси азота с твердофазным $Fe(II)(T\Phi\Pi)$ является образование термически неустойчивого динитрозильного комплекса, что наблюдалось также для мезо-тетра-p-толилпорфирината железа в растворах [9].

ԱԶՈՏԻ ՕՔՍԻԴԻ ՑԱԾՐՋԵՐՄԱՍՏԻՃԱՆԱՅԻՆ ՓՈԽԱԶԴԵՑՈՒԹՅՈՒՆԸ ՄԵԶՈ-ՏԵՏՐԱՖԵՆԻԼՊՈՐՖԻՐԻՆԱՏՈ ԵՐԿԱԹԻ ՄԻԿՐՈԾԱԿՈՏԿԵՆ ԹԱՂԱՆԹՆԵՐԻ ՀԵՏ

Ա. Ս. ԱԶԻԶՑԱՆ

Ինֆրակարմիր և էլեկտրոնային սպեկտրոսկոպիայի միջոցով ուսումնասիրվել է ազոտի օքսիդի (NO) ցածրջերմաստիձանային փոխազդեցությունը տետրաֆենիլպորֆիրինատո երկաթի (Fe(SՖՊ)) միկրոծակոտկեն շերտերի հետ՝ ստացված վակուում սուբլիմացիայի միջոցով հեղուկ ազոտով սառեցվող հարթակի վրա։ Ազոտի օքսիդի բնական և իզոտոպատեղակալված էկվիմոլյար խառնուրդների օգտագործմամբ ցույց է տրված, որ ցածր ջերմաստիձաններում նրանց փոխազդեցությունը բերում է երկաթ-պորֆիրինի դինիտրոզիլային կոմպլեքսի առաջացման, որը տաքանալիս հանգեցնում է քաջ հայտնի մոնոնիտրոզիլային կոմպլեքսի Fe(SՖՊ)(NO)։ Չնայած ազոտի օքսիդի մեծ ավելցուկի երկաթ-պորֆիրինի նիտրո-նիտրոզիլային կոմպլեքսի և ազոտի ենթօքսիդի առաջացման որևէ սպեկտրալ դրսևորումներ չեն հայտնաբերվել։ Այդպիսով, ի տարբերություն Mn- և Ruպորֆիրինների, Fe-պորֆիրինները չեն հարուցում ազոտի օքսիդի անհամամասնական ռեակցիան։

LOW-TEMPERATURE INTERACTION OF NITRIC OXIDE WITH MICROPOROUS LAYERS OF MESO-TETRA-PHENYLPORPHYRINATO IRON (II)

A. S. AZIZYAN

Armenian Research Institute of Applied Chemistry (ARIAC) 5/2 Artashat highway, Yerevan, 0053, Armenia E-mail: azizyan@rambler.ru

FTIR and UV-Visible spectroscopy were used to characterize the low-temperature interaction of nitric oxide (NO) with microporous layers of meso-tetraphenyl-porphyrinato iron (Fe(TPP)) obtained by vacuum sublimation on to substrate cooled by liquid nitrogen. By the use of equimolar mixture of natural and isotope substituted nitric oxides NO/¹⁵NO it is shown that at lowtemperatures the dinitrosyl complex Fe(TPP)(NO)₂ is formed that decomposes at higher temperatures to give the well-known mononitrosyl complex Fe(TPP)(NO). Despite of the large excess of NO there are no spectral evidences for formation of iron-porphyrin nitro-nitrosyl complex and nitrous oxide. Hence in contrast to Mn- and Ru-porphyrins, Fe-porphyrins do not mediate the disproportionation reaction.

ЛИТЕРАТУРА

- [1] Ignarro L. Nitric Oxide: Biology and Pathobiology. Academic Press, San Diego, 2000.
- [2] Yu A. E., Hu S., Spiro T.G., Byrstin J.N. // J. Amer. Chem. Soc., 1994, v. 116, p. 4117.
- [3] Hoshino M., Laverman L., Ford P. C. // Coord. Chem. Rev., 1999. v. 187, p. 75.
- [4] Cheng L., Richter-Addo G. B. Porphyrin Handbook, 2000, v. 4, p. 219.
- [5] Mingos D. M.P., Sherman D.J. // Adv. Inorg. Chem., 1989, v. 34, 293.
- [6] Richter-Addo G.B., Legzdins P. Metal nitrosyls, Oxford University Press: New York, 1992.
- [7] Yoshimura T. // Inorg. Chim. Acta, 1984, p. 83.
- [8] Lin R., Farmer P. // J. Amer. Chem. Soc., 2001, v. 123, p. 1143.
- [9] Lorković I.M., Ford P.C. // J. Amer. Chem. Soc., 2000, v. 122, p. 632.
- [10] Lorković I.M., Ford P.C. // Inorg. Chem., 2000, v. 39. 632.
- [11] Martirosyan G.G., Azizyan A.S., Kurtikyan T.S., Ford P.C. // Chem. Commun., 2004, p. 1488.
- [12] Martirosyan G.G., Azizyan A.S., Kurtikyan T.S., Ford P.C. // Inorg. Chem., 2006, v. 45, p. 4079.
- [13] Kurtikyan T.S., Martirosyan G.G., Lorković I.M., Ford P.C. // J. Amer. Chem. Soc., 2002, v.124, p. 10124.
- [14] *Jolly W.L.* The Synthesis and Characterization of Inorganic Compounds, Prentice-Hall, New York, 1970, p. 545.
- [15] Krim L., Lacome N. // J. Phys Chem. A, 1998, v. 102, p. 2289.
- [16] Patterson J.C., Lorkovic' I.M., Ford P.C. // Inorg. Chem., 2003, v. 42, p. 4902.
- [17] Conradie J., Wondimagegn T., Ghosh A. // J. Amer. Chem. Soc., 2003, v. 125, p. 4968.

ՀԱՅԱՍՏԱՆԻ ՀԱՆՐԱՊԵՏՈՒԹՅԱՆ ԳԻՏՈՒԹՅՈՒՆՆԵՐԻ ԱԶԳԱՅԻՆ ԱԿԱԴԵՄԻԱ НАЦИОНАЛЬНАЯ АКАДЕМИЯ НАУК РЕСПУБЛИКИ АРМЕНИЯ

Հшјшиտшић рриђшиши ћшићи 62, №1-2, 2009 Химический журнал Армении

УДК 543.8

ОКИСЛЕНИЕ МЕТАНА В ВОДНЫХ РАСТВОРАХ В УСЛОВИЯХ КАВИТАЦИИ

С. Д. АРСЕНТЬЕВ

Институт химической физики им. А. Б. Налбандяна НАН Республики Армения Армения, 0014, Ереван, ул. П. Севака, 5/2

e-mail: arsentiev53@mail.ru

Поступило 12 XII 2007

Изучено превращение метана в водных растворах при воздействии ультразвуковых колебаний частотой $22\ \kappa \Gamma \mu$ в условиях кавитации. В продуктах реакции обнаружены формальдегид и монооксид углерода. Установлено, что формальдегид, который является основным продуктом, образуется даже если в исходном растворе нет кислорода. Введение кислорода в реагирующую смесь увеличивает скорость накопления формальдегида.

Рис. 2, табл. 2, библ. ссылок 4.

Известно, что при воздействии ультразвуковых колебаний частотой 850 *кГц* на водные растворы метана происходит его окисление с образованием формальдегида [1]. К сожалению, более подробные данные об этом процессе отсутствуют. Ранее нами были изучены кинетические закономерности накопления продуктов при озвучивании водных растворов этилена [2]. Было показано, что в этих условиях основным продуктом является формальдегид, скорость накопления которого растет при введении в раствор кислорода.

Целью настоящей работы было изучение кинетических закономерностей накопления формальдегида при озвучивании водных растворов метана.

Методика эксперимента

Подробно методика эксперимента описана в работе [3]. Озвучивание раствора при частоте 22 $\kappa \Gamma \mu$ осуществлялось в кварцевой кювете. Амплитуда колебаний торца волновода во всех опытах составляла A=15 мкм. Кислород и метан подавались в кювету непосредственно из баллонов. Чистота метана превышала 99%. Кислород содержал ~3-5% азота.

Расход газов регулировался вентилями с точностью подачи ~5%. Газы подавались в кювету со скоростью 8 мл/мин. Перед началом озвучивания производилось насыщение дистиллированной воды метаном или смесью метана с кислородом путем барботажа непосредственно в кювете в течение 60 мин. Специальными опытами было показано, что воспроизводимые результаты получаются при временах предварительного барботажа, превышающих 20 мин. Очевидно, за это время происходит насыщение раствора исходной реагирующей смесью. Согласно [4], растворимость метана составляет 9 мл на 100 мл воды при Р=1 атм. Расчет показывает, что при атмосферном давлении 86,7 кПа (680 Торр) перед началом озвучивания концентрация метана в воде составляет (3,58·10-6 моль/мл.

Эксперименты показали, что через ~10 *мин* после начала озвучивания температура раствора достигает значения ~35-40°C и далее остается неизменной.

За развитием процесса следили по количеству накапливающегося в растворе формальдегида. Измерение концентрации формальдегида проводили с использованием хромотроповой кислоты на фотоэлектроколориметре "КФК-2". С этой целью в заданный момент времени озвучивание раствора прекращалось, и содержимое кюветы анализировалось на содержание формальдегида.

Хроматографический анализ газовой фазы показал наличие незначительных количеств монооксида углерода.

Результаты экспериментов и обсуждение

На рис. 1 приведены кинетические кривые накопления формальдегида при озвучивании водных растворов метана в отсутствие подачи молекулярного кислорода. Кр. 1 получена в условиях, когда барботаж метана производился в течение 60 мин до начала озвучивания и прекращался при включении генератора ультразвука. Кр. 2 получена в условиях, когда барботаж метана начинался за 60 мин до начала озвучивания и продолжался до окончания процесса.

Аналогичные данные были получены при использовании в качестве исходного реагента эквимолярной смеси метана с кислородом (рис. 2). Как видно из рис. 1 и 2, накопление формальдегида во всех случаях с самого начала процесса протекает с максимальной скоростью. Значения максимальных скоростей накопления формальдегида, рассчитанные по данным рис. 1 и 2 для различных условий проведения процесса, приведены в табл. 1.

Максимальные скорости накопления формальдегида ($W_{max}10^9$ *моль/мл-мин*), полученные при различных условиях проведения процесса. А = 15 *мкм*, v= 22 *кГц*

Реагент	CH	H_4	$CH_4 : O_T = 1 : 1$		
Опыт	1	Т	3	4	
W _{max}	0,9	т,7	3,5	10,3	

1, 3 – продувка раствора исходным реагентом в течение 60 *мин* до начала озвучивания; 2, 4 – продувка раствора исходным реагентом в течение 60 *мин* до начала озвучивания с последующеим барботажем в течение всего эксперимента.

Эксперименты показали, что в ряде случаев накопление формальдегида происходит с замедлением (рис. 1 и 2). Возможной причиной уменьшения скорости накопления формальдегида могут быть реакции его расхода. В пользу такого предположения говорит факт обнаружения в продуктах реакции монооксида углерода. В случае, когда озвучивание раствора производится без подачи газа, замедление накопления формальдегида может быть также связано с расходом растворенного метана.

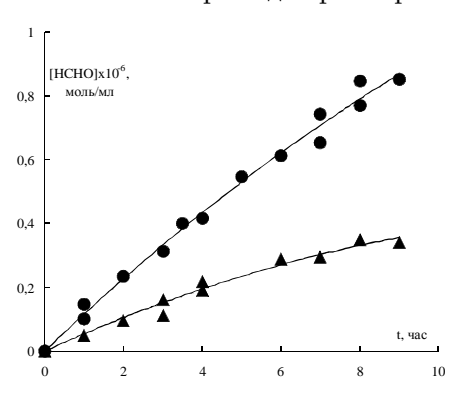


Рис. 1. Кинетика накопления формальдегида при озвучивании водных растворов метана. А = 15 $\it mkm$, $\it v = 22 \it kTu$: $\it A = продувка$ раствора метаном в течение 60 $\it muh$ до начала озвучивания, $\it • = 100$ продувка раствора метаном в течение 60 $\it muh$ до начала озвучивания $\it c = 100$ последующеим барботажем в течение всего эксперимента.

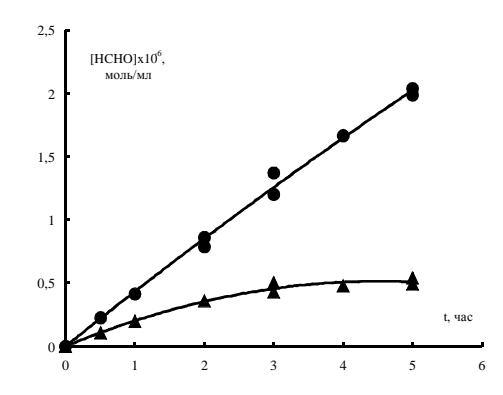


Рис. 2. Кинетика накопления формальдегида при озвучивании водных растворов метан-кислородной смеси. СН₄: O₂ = 1 : 1, A = 15 *мкм*, v= 22 *кГц*: ▲ — продувка раствора смесью в течение 60 *мин* до начала озвучивания, • — продувка раствора смесью в течение 60 *мин* до начала озвучивания с последующеим барботажем в течение всего эксперимента.

Из приведенных данных можно заключить, что наличие в исходной смеси кислорода приводит к ускорению процесса образования формальдегида и увеличению его концентрации. В связи с этим было изучено влияние концентрации кислорода в исходной смеси на скорость накопления формальдегида. При этом подача реагентов производилась барботажем газовой смеси непосредственно в реактор, заполненный дистиллированной водой в течение 60 мин до начала озвучивания. После начала озвучивания подача реагентов в реактор прекращалась. Результаты представлены в табл. 2. Таблица 2

Зависимость максимальной скорости накопления формальдегида ($W_{max} \times 10^9$ моль/мл • мин) от концентрации кислорода в исходной смеси. А = 15 мкм, v= 22 кГц

	[O ₂], %	0	2	4	6.5	9	15	20	33	50
Ī	W_{max}	0,9	1,4	2,0	2,7	3,3	3,2	3,5	3,3	3,5

Из данных табл. 2 следует, что наиболее сильное влияние кислорода наблюдается при $[O_2] \le 9\%$. Дальнейшее увеличение концентрации кислорода практически не меняет скорость накопления формальдегида. Вероятно, это объясняется тем, что при $[O_2] > 9\%$ содержание кислорода в растворе, вследствие его ограниченной растворимости ($^\sim 2, 2 \cdot 10^{-6}$ моль/мл) [4], достигает своего максимального значения.

Таким образом, установлено, что при озвучивании водных растворов метана основным продуктом, накапливающимся в растворе, является формальдегид, скорость накопления которого растет при введении в раствор кислорода.

ՄԵԹԱՆԻ ՕՔՍԻԴԱՑՈՒՄԸ ՋՐԱՅԻՆ ԼՈՒԾՈՒՅԹՈՒՄ ԿԱՎԻՏԱՑԻԱՅԻ ՊԱՅՄԱՆՆԵՐՈՒՄ

Ս. Դ. ԱՐՍԵՆՏԵՎ

Ուսումնասիրված է մեթանի փոխակերպումը ջրային լուծույթներում, 22 *կՀց* հաձախականության գերձայնային տատանումների ազդեցությամբ, կավիտացիայի պայմաններում։ Պարզվել է, որ մեթանի օքսիդացման հիմնական արգասիք է հանդիսանում ֆորմալդեհիդը։ Բացահայտվել է, որ ֆորմալդեհիդը առաջանում է նույնիսկ ելային լուծույթում թթվածնի բացակայության դեպքում։ Մոլեկուլյար թթվածնի առկայությունը ռեակցիոն խառնուրդում մեծացնում է ֆորմալդեհիդի կուտակման արագությունը։

OXIDATION OF METHANE IN WATER SOLUTIONS UNDER THE EFFECT OF CAVITATION

S. D. ARSENTIEV

A. B. Nalbandyan Institute of Chemical Physics NAS RA 5/2 P. Sevak str., Yerevan, 0014, Armenia E-mail: arsentiev53@mail.ru

The conversion of methane dissolved in water under the effect of ultrasonic vibration has been studied. Experiments were carried out in a quartz cell with water-cooling. In order to estimate the intensity of ultrasonic vibration, the amplitude of displacement of the tip of wave conductor was measured. In order to detect reaction products and determine their concentration, the process was stopped at the certain time and a part of reacting mixture was removed for chromatographic and photocolorimetric analyses. It was shown that when the intensity of vibration at frequency 22 kHz provides the appearance of the cavitation, the oxidation of methane is observed. At this formaldehyde was found to be the main molecular product accumulated in the solution. Oxidation process occurs even in the absence of molecular oxygen in the initial solution. The addition of oxygen sharply increases the rate of formaldehyde accumulation.

ЛИТЕРАТУРА

- [1] Эльпинер И.Е., Сокольская А.В. // ЖФХ, 1971, т. 45, №12, с. 3071.
- [2] Арсентьев С.Д. // Хим. ж. Армении, 2008, т. 61, №1, с. 3.
- [3] Арсентьев С.Д. // Хим. ж. Армении, 2006, т. 59, №3, с. 18.
- [4] Справочник химика, том 2 (изд. 2), М.-Л., Химия, 1964, 1168 с.

2U3UUSUUF 2UUCUMESAF@3UU AFSAF@3AFUUECF UQAU3FU UAUAEUFU НАЦИОНАЛЬНАЯ АКАДЕМИЯ НАУК РЕСПУБЛИКИ АРМЕНИЯ

Հայաստանի քիմիական հանդես 62, №1-2, 2009 Химический журнал Армении

УДК 542.945.27+546.561'221+546.774

ДЕСУЛЬФУРИЗАЦИЯ СУЛЬФИДОВ МЕДИ И МОЛИБДЕНА (Cu_2S и MoS_2) В ПРИСУТСТВИИ НЕОРГАНИЧЕСКОГО ОКИСЛИТЕЛЯ

Е. Г. ГРИГОРЬЯН

Институт химической физики им. А.Б. Налбандяна НАН Республики Армения Армения, 0014, Ереван, ул. П. Севака, 5/2 Факс: (374-10) 297309 E-mail: eva@ichph.sci.am

Поступило 26 XII 2008

Дифференциально-термическим методом изучены процессы десульфуризации сульфидов меди и молибдена в присутствии неорганических окислителей – нитратов калия и аммония, в атмосфере азота. Показано, что процесс десульфуризации Cu2S и MoS2 в присутствии нитрата калия экзотермичен, а в качестве продуктов, кроме оксидов серусодержащего металла, образуется только растворимый в воде сульфат калия, легко удаляемый промыванием продуктов. Из-за низкой температуры разложения нитрат аммония не способен осуществить процесс десульфуризации Cu2S и MoS2.

Рис. 7, библ. ссылок 11.

Процессы десульфуризации сульфидов металлов лежат в основе ряда технологических схем в металлургической промышленности. Десульфуризация обычно проводится путем окислительного обжига руд и минералов [1-4]. Ее проводят также в атмосфере паровоздушной смеси [5], под воздействием цепных реакций окисления водорода [6,7] и природного газа [8]. Известны также работы по десульфуризации халькопирита и молибденита атомарным водородом [9].

В настоящей работе исследована возможность десульфуризации сульфидов меди и молибдена в присутствии твердых неорганических окислителей – нитратов калия и аммония. Подобные окислители обладают некоторыми преимуществами по сравнению с газообразными окислителями (чаще кислород). Это связано с тем, что их можно заранее хорошо перемещать с сульфидом данного металла, и в таком состоянии они более доступны для реагирования, чем газообразный окислитель. В последнем случае из-за фильтрационных затруднений взаимодействие обычно происходит только на поверхностных слоях контакта сульфида с газом. Следует отметить также, что указанные окислители не загрязняют продукт реакции, т. к.

в результате их взаимодействия с сульфидами образуются газофазные продукты или легко удаляющийся промыванием продуктов сульфат калия.

Экспериментальная часть

Исследования проводились на дериватографической установке марки "Derivatograph MOM Q-1500" (Венгрия), подключенной к персональному компьютеру, что позволило производить одновременную запись всех параметров процесса и обработку полученных данных. Установка позволяет наблюдать за поведением изучаемой системы в режиме линейного нарастания температуры со скоростью нагрева от 1,25 до 20°С/мин до необходимого значения. Все эксперименты проводились с использованием нагревателя с максимальной температурой нагрева 1000°С.

Данный метод позволяет одновременно следить как за физико-химическими превращениями, происходящими в образце с поглощением или выделением тепла (ДТА), так и фиксировать изменение массы образца (ТГ) и скорость изменения последней (ДТГ) при повышении температуры (Т) с постоянной скоростью (V, C/MuH).

В качестве исходных реагентов использовались: порошкообразные сульфиды меди "ч." (ТУ-6-09-4143-75) и молибдена (85%, концентрат), нитраты калия "ч." (ГОСТ 4217-77) и аммония "ч." (ГОСТ 22867-77).

Исследованы реакции десульфуризации Cu_2S и MoS_2 в присутствии KNO_3 и NH_4NO_3 в условиях линейного нагрева ($20^{\circ}C/мин$) в инертной среде (азот). Количество окислителя в каждом отдельном случае было выбрано так, чтобы обеспечить полное окисление содержащейся в сульфидах серы.

Определенное количество образца (обычно 70 или 100 *мг*), подготовленное путем предварительного перемешивания исходных порошков, помещалось в тигель и нагревалось до необходимой температуры с заданной скоростью. Предварительно изучалось также поведение окислителей и сульфидов в аналогичных условиях.

Результаты и их обсуждение

Дериватограммы Cu2S и MoS2. На рис. 1 приведены термогравиметрические кривые (ТГ кривые) разложения сульфидов меди и молибдена в инертной среде. Согласно ТГ кривым, нагревание Cu2S (навеска 100 *мг*) в инертной среде до 1000°C приводит лишь к его частичной десульфуризации: из сульфида удаляется приблизительно 55% (11 *мг*) содержащейся в нем серы. При этом потеря массы сульфида составляет ~ 10% от исходной массы. Процесс десульфуризации протекает в две стадии, имеющие место соответственно в температурных интервалах 260-500 и 700-1000°C.

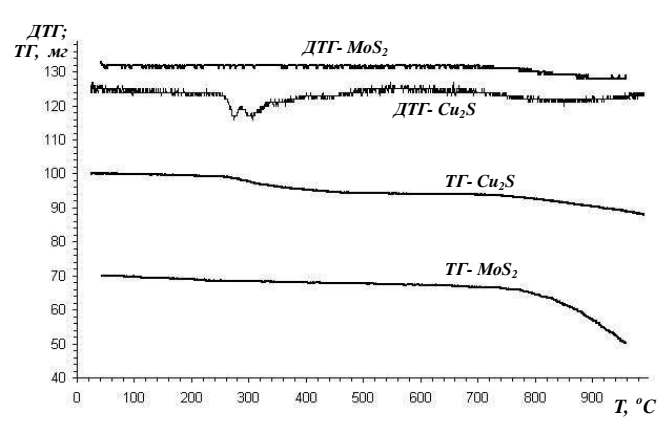


Рис. 1. Термогравиметрические кривые разложения сульфидов меди и молибдена. V=20°C/мин.

При нагревании MoS₂ (навеска 70 *мг*), в отличие от сульфида меди, потеря массы становится заметной начиная с 740°С. До 1000°С сульфид теряет 28% от исходной массы, что приводит к десульфуризации соединения на 70%: убыль массы составляет 20 *мг* вместо 28.

Дериватограмма разложения KNO₃. На рис. 2 приведена дериватограмма разложения нитрата калия. Эндотермический процесс разложения KNO₃ протекает в температурном интервале от 540 до 860°C. Разложению нитрата калия предшествует его плавление при 340°C. Небольшому эндотермическому отклонению, не сопровождающемуся изменением массы, на кривой ДТА в температурном интервале от 136 до 162°C соответствует фазовый переход α — модификации KNO₃ с ромбической кристаллической решеткой в $\beta \phi$ модификацию с гексагональной кристаллической решеткой [10,11].

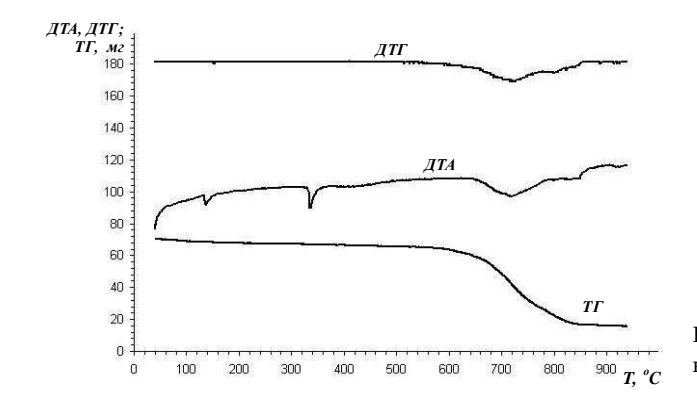


Рис. 2. Дериватограмма разложения KNO_3 в азоте: m=70 *мг*, V=20°C/*мин*.

Дериватограммы смеси Cu₂S+2KNO₃. На рис. 3 приведена дериватограмма смеси Cu₂S+2KNO₃. На дифференциально-термической кривой (ДТА) заметны одно эндотермическое и одно экзотермическое отклонения, соответствующие двум различным превращениям в системе. Эндотермический эффект зарегистрирован в температурном интервале от 260 до 300°C и обусловлен выделением небольшого количества (~3 *мг*) серы из сульфида, как и в случае отдельного нагревания последнего (рис. 1). В температурном интервале от 310 до 460°C имеет место экзотермическое взаимодействие сульфида меди с KNO₃. Процесс взаимодействия, предположительно, может являться следствием окисления сульфида меди кисло-

родом, выделяющимся при разложении KNO3. В таком случае нужно отметить, что наличие сульфида в системе способно снизить температуру разложения KNO3 на $^{\sim}200^{\circ}$ C по сравнению с температурой разложения индивидуального нитрата (540° C, рис. 2).

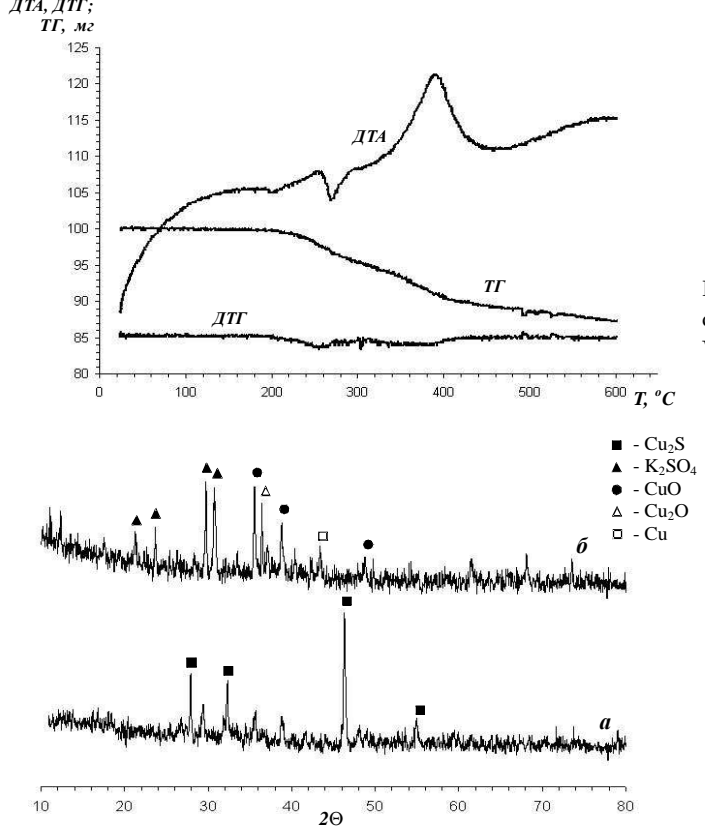
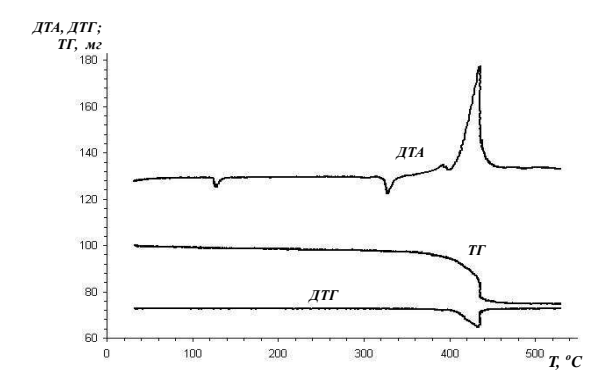


Рис. 3. Дериватограмма превращения смеси $Cu_2S+2KNO_3$ в азоте: m=100~MT, $V=20^{\circ}C/\text{MHH}.$

Pис. 4. Рентгенограммы исходного Cu_2S (**a**) и продукта реакции $Cu_2S+2KNO_3$ (**б**).

Для представления возможного механизма реакции был проведен рентгенофазовый анализ продуктов реакции. На дифрактогарамме (рис. 4) заметно, что в результате десульфуризации сульфида меди в присутствии KNO₃ образуются оксиды меди (I) и (II), а также небольшое количество меди. Нитрат калия переходит в сульфат, который впоследствии можно легко извлечь промыванием продукта водой. Наличие сульфат-ионов в продукте реакции было также обнаружено качественным химическим анализом на сульфат-анион.

Дериватограммы смеси MoS 2+4KNO3. Взаимодействию в системе MoS2+4KNO3 (рис. 5), в отличие от предыдущей, предшествует плавление нитрата калия, выраженное на кривой ДТА в виде эндотермического отклонения в температурном интервале от 310 до 350°С. Наличие MoS2, хотя и в меньшей степени по сравнению с Cu2S, снижает температуру разложения KNO3 на 140°С. Реакция MoS2+4KNO3 в температурном интервале от 400 до 470°С экзотермична и также сопровождается убылью массы.



Pис. 5. Дериватограмма превращения смеси $MoS_2 + 4KNO_3$ в азоте: m = 100 $\emph{mr}, V = 20$ °C/ $\emph{muh}.$

По данным рентгенофазового анализа, в состав продуктов реакции входит определенное (небольшое) количество непрореагировавшего сульфида молибдена (рис. 6). С помощью качественного химического анализа было обнаружено также наличие сульфат-аниона, что указывает на образование К2SO4 в результате десульфуризации. Молибден предположительно переходит в оксидную форму: из-за низкой температуры протекания реакции, возможно, оксиды образуются с аморфной или с неполностью сформировавшейся кристаллической структурой, а, следовательно, не обнаруживаются на дифрактограмме.

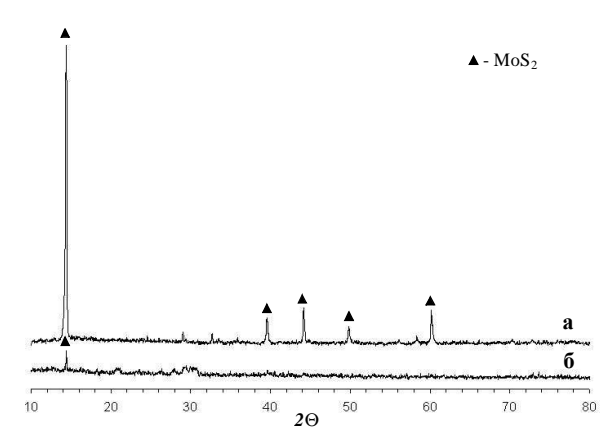


Рис. 6. Рентгенограммы исходного MoS_2 (**a**) и продукта реакции $MoS_{2+}4KNO_3$ (**б**).

При исследовании возможности

применения другого твердого неорганического окислителя, как, например, NH_4NO_3 , было показано, что из-за низкой температуры разложения ~180-200°C (рис. 7) нитрат аммония разлагается и покидает систему, не вступая в реакцию десульфуризации.

Таким образом, десульфуризация в присутствии твердого неорганического окислителя возможна лишь в том случае, если температурный интервал разложения последнего близок к температурному интервалу протекания ожидаемой реакции, как это имеет место в системе Cu₂S+2KNO₃ (рис. 7).

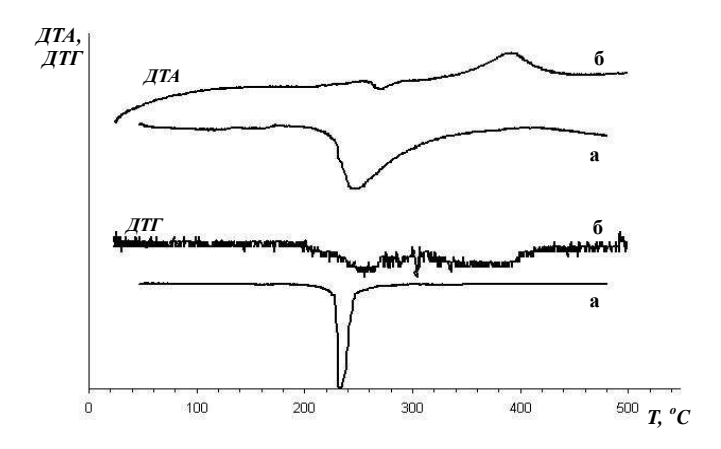


Рис. 7. ДТА и ДТГ кривые смесей Cu₂S+2NH₄NO₃ (**a**) и Cu₂S+2KNO₃ (**б**).

В заключение следует отметить, что методом дифференциально-термического анализа нами исследован процесс взаимодействия в системах сульфид металла-нитрат. Показано, что десульфуризация сульфидов меди и молибдена обусловлена их экзотермическим взаимодействием с нитратом калия, не исключая возможности их окисления кислородом, образующимся вследствие разложения нитрата калия. В результате десульфуризации в качестве основных продуктов, кроме оксидов металлов, образуется только легко удаляемый промыванием продуктов растворимый в воде сульфат калия. Из-за низкой температуры разложения нитрата аммония продукты его распада, не успевая реагировать с сульфидом металла, покидают реакционное пространство. По этой причине нитрат аммония не пригоден для десульфуризации сульфидов металлов.

ՊՂՆՁԻ ԵՎ ՄՈԼԻԲԴԵՆԻ ՍՈՒԼՖԻԴՆԵՐԻ (Cu2S ԵՎ MoS2) ԾԾՄԲԱԶՐԿՈՒՄԸ ԱՆՕՐԳԱՆԱԿԱՆ ՕՔՍԻԴԻՉՆԵՐԻ ՆԵՐԿԱՅՈՒԹՅԱՄԲ

Ե. Գ. ԳՐԻԳՈՐՅԱՆ

Օգտագործելով դիֆերենցիալ-ջերմային անալիզի մեթոդը, ուսումնասիրվել են պղնձի և մոլիբդենի սուլֆիդների (Cu2S և MoS2) ծծմբազրկման պրոցեսները անօրգանական օքսիդիչների ներկայությամբ։ Ցույց է տրվել, որ կալիումի նիտրատի ներկայությամբ Cu2S-ի և MoS2-ի ծծմբազրկման պրոցեսներն ունեն էկզոթերմ բնույթ։ ԾԾմբազրկման արդյունքում, բացի պղնձի և մոլիբդենի օքսիդներից, առաջանում է միայն ջրում լուծելի կալիումի սուլֆատ։ Տաքացման արագությունների հետազոտված տիրույթում (2.5-20°C/րոպե) ամոնիումի նիտրատը ընդունակ չէ իրականացնելու Cu2S և MoS2 ծծմբազրկումը, ինչը պայմանավորված է ամոնիումի նիտրատի քայքայման ցածր ջերմաստիձանով։

DESULPHURIZATION OF COPPER AND MOLYBDENUM SULFIDES $(Cu_2S \text{ AND } MoS_2)$ IN THE PRESENCE OF INORGANIC OXIDIZER

Y. G. GRIGORYAN

A.B.Nalbandyan Institute of Chemical Phisics NAS RA 5/2 P. Sevak str., Yerevan, 0014, Armenia E-mail: eva@ichph.sci.am

Desulphurization processes of copper and molybdenum sulfides (Cu_2S and MoS_2) in the presence of inorganic oxidizers–potassium and ammonium nitrate using differential-thermal analysis method (DTA) have been studied. It has been shown that desulphurization processes of Cu_2S and MoS_2 in the presence of potassium nitrate are exothermal and as reaction products besides copper and molybdenum oxides, only the soluble potassium sulphate formed. It was revealed that under the studied interval of heating rates (from 2.5 to $20^{\circ}C/min$) ammonium nitrate is not able to carry out desulphurization processes of Cu_2S and MoS_2 due to its low decomposition temperature.

ЛИТЕРАТУРА

- [1] Карван Тадеуш // Инт.-нац. науч-техн. конф. по цвет. металлургии: Состояние и перспективы развития на технический прогресс в цветной металлургии. Пловдив, 1978. Тезисы докладов, с.17.
- [2] Газарян Л.М. Пирометаллургия меди. М., Металлургия, 1965, 360 с.
- [3] Зеликман А.Н. Молибден. М., 1970, 440 с.
- [4] Зеликман А.Н., Коршунов Б.Г. Металлургия редких металлов. М., Металлургия, 1991, 432 с.
- [5] *Медков М.А., Харламова Л.Г., Кайдалова Т.А., Иванов С.Б., Седова Н.А.* Взаимодействие сульфидов металлов с паровоздушной смесью. Институт химии, Дальневосточное отделение АН СССР, Владивосток, 1987, 11 с. (Рукопись деп. в ВНИИТИ 31.07.87, No5483-B8).
- [6] Косоян А.Ж., Ниазян О.М., Манташян А.А. Превращение молибденита под воздействием цепной реакции окисления водорода. Препринт. Институт химической физики, Ереван, 1987, 14 с.
- [7] Косоян А.Ж., Ниазян О.М. // Кинетика и катализ, 2001, т. 42, №2, с. 271.
- [8] Багдасарян В.Р., Ниазян О.М., Манташян А.А. // ЖПХ, Л., 1990, Рук. Деп. в ВНИИТИ N5561-В90.
- [9] Багдасарян В.Р., Косоян А.Ж., Ниазян О.М// Химия высоких энергий, 1989, т. 23, №6, с. 545.
- [10] Ming Lei, Zi-Ru Liu, Yang-Hui Kong, Cui-Mei Yin, Bo-Zhou Wang, Yuan Wang, Pei Zhang // Thermochimica Acta, 1999, v. 335, p. 105.
- [11] Ming Lei, Zi-Ru Liu, Yang-Hui Kong, Cui-Mei Yin, Bo-Zhou Wang, Yuan Wang, Pei Zhang // Thermochimica Acta, 1999, v.335, p. 113.

ՀԱՅԱՍՏԱՆԻ ՀԱՆՐԱՊԵՏՈՒԹՅԱՆ ԳԻՏՈՒԹՅՈՒՆՆԵՐԻ ԱԶԳԱՅԻՆ ԱԿԱԴԵՄԻԱ НАЦИОНАЛЬНАЯ АКАДЕМИЯ НАУК РЕСПУБЛИКИ АРМЕНИЯ

Հшјшиտшնի рիմիшկшն ншићи 62, №1-2, 2009 Химический журнал Армении

УДК 541.127:[547.211+546.882]:546.261:539.219.3

ОСОБЕННОСТИ ВЫСОКОТЕМПЕРАТУРНОЙ КАРБИДИЗАЦИИ НИОБИЯ В НЕИЗОТЕРМИЧЕСКИХ УСЛОВИЯХ

Ц. А. АДАМЯН 1* , А. Г. КИРАКОСЯН 2 , А. С. ХАРАТЯН 2 , А. А. ЧАТИЛЯН 2 и С. Л. ХАРАТЯН 1,2

 ¹ Ереванский государственный университет Армения, 0025, Ереван, ул. А. Манукяна, 1
 ² Институт химической физики им. А.Б. Налбандяна НАН Республики Армения Армения, 0014, Ереван, ул. П. Севака, 5/2 E-mail: tsovinar1@rambler.ru

Поступило 3 II 2009

Представлены кинетические закономерности высокотемпературной карбидизации ниобия в среде метана в неизотермических условиях. Исследования проведены электротермографическим методом в температурном интервале 1000-2200°С и широком интервале скоростей линейного нагрева образцов (V_н=25-50000°С/с). Были измерены привес образцов, толщины карбидных слоев и скорость химического тепловыделения в зависимости от времени взаимодействия. Особое внимание обращено влиянию скорости нагрева на общие кинетические закономерности процесса, а также определению границ применимости кинетических параметров изотермической карбидизации для описания неизотермических процессов.

Рис. 9, библ. ссылок 19.

Известно, что многие важные с технологической точки зрения процессы в химии и металлургии протекают в переменных во времени температурных условиях. К числу ярко выраженных неизотермических процессов относятся процессы воспламенения и горения. Синтез многих материалов, имеющих широкое практическое применение в современной технике, в настоящее время проводится с помощью метода самораспространяющегося высокотемпературного синтеза (СВС-процесс), основанного на явлении горения и выгодно отличающегося с экономической и технологической точек зрения от существующих методов получения материалов [1-3]. Для получения карбидов переходных металлов, в частности, карбидов ниобия, также широко применяется СВС-процесс [4-6]. Надо отметить, что используемые в СВС-про-

цессах исходные материалы обычно мелкозернистые порошки (с характерными размерами от нескольких микрон до нескольких десятков микрон), и превращение исходных материалов в продукты в волне горения происходит при высоких температурах (до $3000-3500^{\circ}$ С) и за очень короткое время (0.1-10 c). Поэтому определяющая область для такого рода взаимодействия – это первые секунды (а часто, именно первая секунда), во время которых процесс протекает преимущественно в неизотермических условиях.

Карбиды переходных металлов вследствие их ряда значимых технических свойств – высокая твердость, износостойкость, термостойкость, устойчивость к коррозии – имеют большое применение в разных областях современной техники. В частности, особый интерес к карбидам ниобия, особенно в области высокотемпературной техники, обусловлен их высокой температурой плавления и относительной инертностью к ряду агрессивных сред.

Для определения оптимальных условий высокотемпературного синтеза карбидов ниобия важно изучить кинетические закономерности карбидизации в характерной для СВС-процесса температурно-временной области.

Ранее проведенные и имеющиеся в литературе многочисленные работы, относящиеся к изучению кинетики взаимодействия в системе ниобий–углерод [7-15], в основном были проведены в условиях изотермического реагирования. И все же эти условия можно назвать изотермическими только с определенной оговоркой, учитывая стадии нагревания и охлаждения образцов. Последние в зависимости от размеров образца могут составлять от нескольких секунд до десятков минут. В результате всего этого в преобладающем большинстве отмеченных исследований измерения были проведены не с самого начального момента реагирования, вследствие чего остается открытым вопрос кинетики воздействия в начальной стадии – стадии нагревания. Даже при рассмотрении результатов исследований, проведенных в преимущественно изотермических условиях [16,17], важно установить, применимы ли полученные изотермические кинетические законы для описания неизотермического воздействия, и если да, то каковы границы их применимости.

Цель данной работы — выяснение особенностей взаимодействия в системе ниобий—углерод в сильно неизотермических (режим линейного нагрева) условиях, начиная с самых начальных стадий (t_0 =0.01 c). Последнее важно тем, что в гетерогенных процессах исследуемого характера начальные этапы протекают с максимальными скоростями, и их роль очень важна особенно в случае превращения частиц металла с малым характерным размером.

Как видно из фазовой диаграммы состояния (рис. 1), в бинарной системе ниобий—углерод присутствуют α -твердый раствор углерода в ниобии, β - и γ - Nb₂C, ξ - Nb₄C₃, а также δ -NbC_{1-х} карбидные фазы [18]. Ниобий плавится при 2469°C. Углерод, растворяясь в ниобии (до 5,7 ат.%), снижает температуру плавления последнего до 2340°C, что является следствием образования эвтектики Nb(C)-Nb₂C. Надо отметить, что, согласно приведенной равновесной диаграмме, эта температура в данной системе – самая низкая точка образования жидкой фазы.

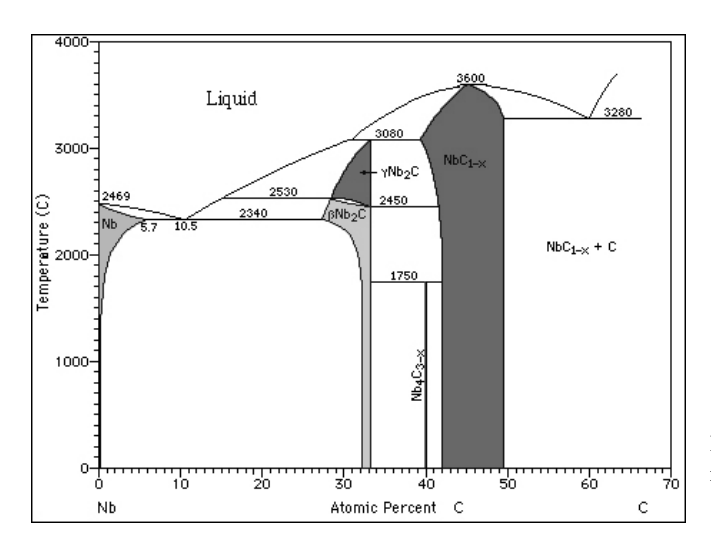


Рис. 1. Фазовая диаграмма состояния бинарной системы Nb-C

Методика эксперимента

Исследования неизотермической карбидизации ниобия были проведены электротермографическим методом [6,16,17,19] с ипользованием быстродействующей сканирующей электротермографической установки "HS SET". В качестве исходных материалов для исследований были использованы нити ниобия высокой чистоты (ESPI Metals, 99.9%) диаметром 100 мкм и длиной 8.5 см, которые программированно нагревались в углеродсодержащей газовой среде прямым пропусканием постоянного электрического тока. Источником углерода служил газообразный метан высокой чистоты (>99.9 об.%). Все измерения были проведены при давлении метана 10 Торр, при котором, как было показано в [16,17], обеспечивается неограниченная подача углерода к поверхности металла, одновременно исключая также выделение пирографита на поверхности образца.

В опытах образцы сперва скачкообразно нагревались до 1000° С (за время 0.01~c), после чего нагрев продолжался линейным законом до некоторой максимальной температуры, которая далее поддерживалась постоянной. Скорости нагрева изменялись в диапазоне $V_{\text{H}}=25-50000^{\circ}$ С/c. Температурная область исследований составляла $1000-2200^{\circ}$ С.

В ходе эксперимента проводились *in situ* измерения электросопротивления образца и скорости химического тепловыделения. Кроме того, на разных стадиях взаимодействия опыты прерывались и образцы исследовались методами гравиметрического, металлографического, электронно-микроскопического и рентгенофазового анализов. В результате проведенных кинетических исследований, выполненных независимыми и в то же время дополняющими друг друга методами (привес образцов, толщина образовавшихся карбидных слоев, скорость химического тепловыделения), стало возможным подробно проанализировать особенности неизотермического гетерогенного взаимодействия, протекающего в рассматриваемой системе. Отметим, что измерения скорости химического тепловыделения обеспечивают получе-

ние более надежных результатов благодаря большим скоростям, особенно для самых начальных стадий реагирования.

Результаты и их обсуждение

В результате исследований было установлено, что, как и в случае изотермической карбидизации [17], в данном случае тоже сформировавшаяся в самой начальной стадии процесса диффузионная зона состоит из двух карбидных (Nb₂C и NbC) слоев и твердого раствора углерода в металле. Идентификация последних была выполнена рентгенофазовым анализом.

Как изображено на электронно-микроскопическом снимке, полученные в результате процесса карбидизации диффузионные слои представляют собой сросшиеся к металлической сердцевине кольцеобразные зоны, которым свойственна довольно компактная (без трещин) микроструктура (рис. 2).

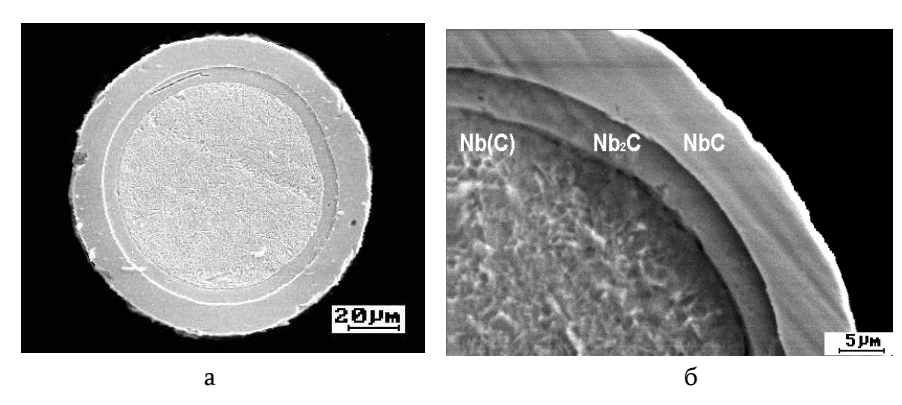
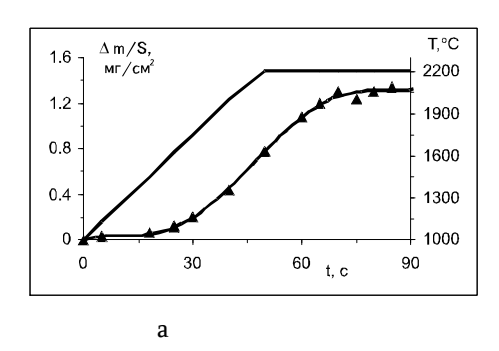


Рис. 2. Микрофотографии поперечного сечения (а) и фрагмента (б) ниобиевой проволоки. а $-V_n=2400$ °C/c, $T_{cr}=2200$ °C, t=8.5 c, t=60 °C/t=60 °C/t=60

Гравиметрическое и металлографическое исследования проводились в температурной области 1000-2200°С в условиях нагрева образцов с линейной скоростью V_н=25-10000°С/с. Установлено, что при сравнительно малых скоростях нагрева образцов кинетические кривые как привеса, так и роста толщин слоев описываются временной S-образной зависимостью (рис. 3-5). Такой вид кинетических кривых не случаен и является результатом наличия двух конкурирующих факторов − теплового ускорения и диффузионного торможения процесса. В зависимости от того, какой фактор в данной стадии решающий, кинетические кривые можно разделить на три части: начальный − самоускоряющийся, далее − отрезки постоянной скорости и замедления (рис. 3а, 4а, 5а).



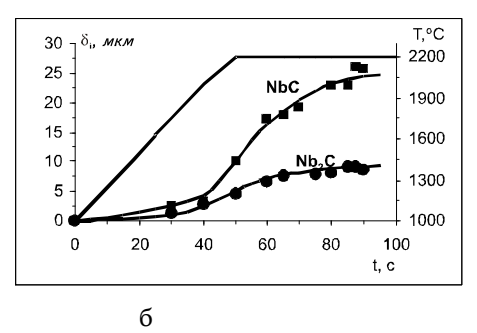
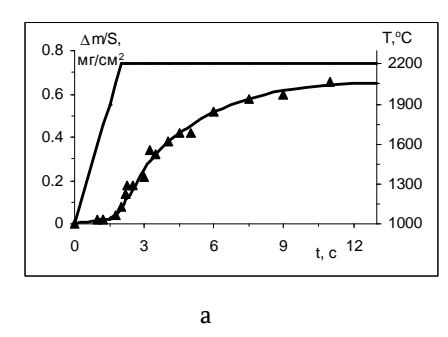


Рис. 3. Кинетические кривые прироста массы (а) и роста карбидных диффузионных слоев (б) в условиях медленного нагрева. $V_{\rm H}=25^{\circ}{\rm C}/c$, $T_{\rm cr}=2200^{\circ}{\rm C}$.



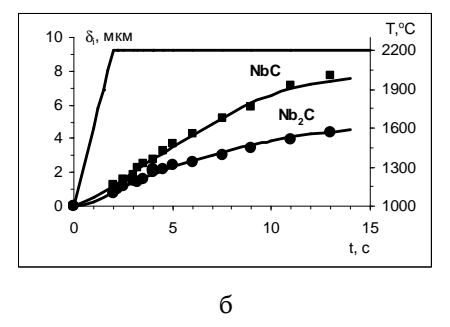
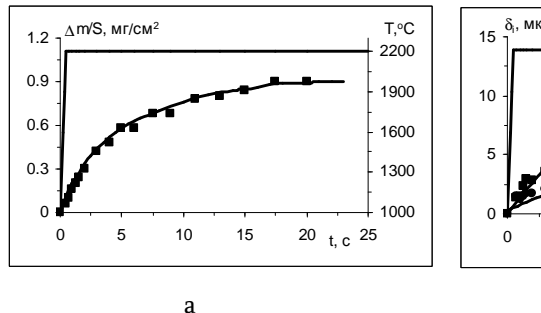


Рис. 4. Кинетические кривые прироста массы (а) и толщин карбидных диффузионных слоев (б) в условиях линейного нагрева образцов со средней скоростью. $V_{\rm H}=600^{\circ}\text{C/c}$, $T_{\rm cr}=2200^{\circ}\text{C}$.

Из приведенных на рис. З и 4 данных видно, что при сравнительно низких скоростях нагрева заметное превращение успевает произойти также при неизотермических условиях (в области возрастания температуры), до установления постоянной температуры. По мере увеличения скорости нагрева роль неизотермического превращения постепенно убывает и, начиная с некоторой скорости нагрева ($V_{\rm H} \ge 2400^{\circ}{\rm C}/c$), можно считать, что процесс практически полностью протекает в изотермических условиях (рис. 5).



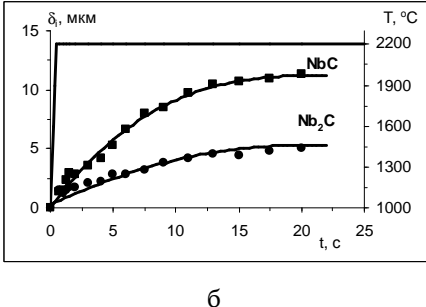


Рис. 5. Кинетические кривые привеса (а) и толщин карбидных диффузионных слоев (б) в условиях быстрого нагрева. $V_n=2400^{\circ}C/c$, $T_{cr}=2200^{\circ}C$

Мерой степени превращения в неизотермическом режиме может служить величина $\eta^*=\Delta m^*/\Delta m_\circ$ (где Δm^* – значение привеса, соответствующего моменту установления постоянной температуры, Δm_\circ – расчетная величина привеса при полном превращении металла в карбид состава NbC). Рассмотрим влияние скорости нагрева на величину η^* . Как видно из данных рис. 6, по мере увеличения скорости нагрева величина η^* быстро убывает. Это свидетельствует о том, что при больших значениях скорости нагрева роль неизотермического превращения в общем процессе убывает. Следовательно, можно заключить, что при больших скоростях нагрева (фактически $V_{\rm H} \ge 2400\,^{\circ}{\rm C}/c$) основное превращение происходит в изотермических условиях.

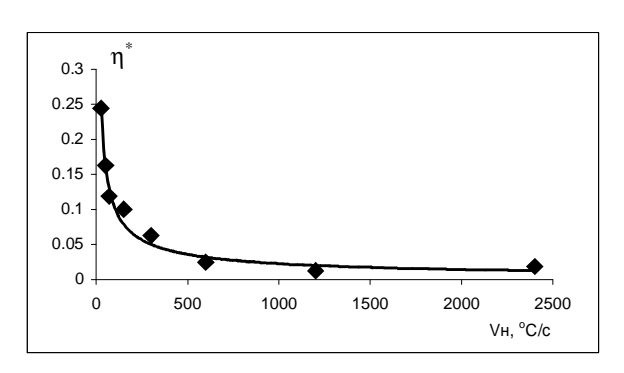


Рис. 6. Влияние скорости нагрева на степень превращения в момент установления температуры, $T_{\text{max}}{=}2200^{\circ}\text{C}$.

С другой стороны, как следует из результатов металлографического исследования реагированных образцов (рис. 36-56), карбидные фазы Nb₂C и NbC образуются и растут одновременно, что свидетельствует в пользу выполнения граничного условия первого рода на поверхности взаимодействия («неограниченная» подача углерода к реакционной поверхности).

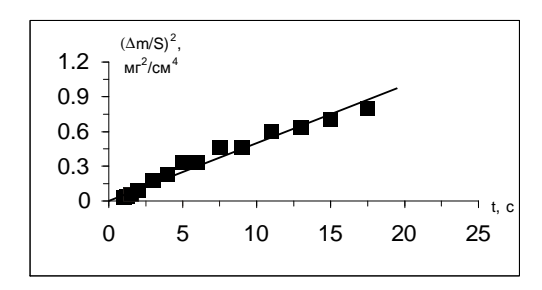
Во всем изученном интервале температур толщина слоя NbC превышает толщину слоя Nb₂C, аналогично изотермическому реагированию, установленному в работе [17]. Однако в данном случае отношение толщин карбидных слоев в диффузионной зоне во время взаимодействия уже не постоянно во времени, как это имело место в изотермических экспериментах, а меняется по ходу взаимодействия. Отношение толщин карбидных слоев, образовавшихся одновременно, меняется за все время линейного возрастания температуры. В

результате этого в момент выхода температуры в изотермическую область отношение толщин карбидных слоев разное и зависит от скорости нагрева. После установления температуры, уже при изотермических условиях, процесс стремится восстановить значение отношения толщин карбидных слоев, соответствующее данной температуре. При этом, чем больше скорость нагрева, тем быстрее это происходит.

Проведенные исследования показали, что для данной температуры стационарное значение отношения толщин слоев достаточно быстро и с точностью устанавливается начиная с некоторого предельного значения скорости нагрева. Например, для температуры $T_{\text{мах}}$ =2200°C это составляет приблизительно 2000-2500°C/c. Следовательно, начиная с таких скоростей нагрева рост диффузионных слоев в неизотермических условиях также можно описать известным кинетическим уравнением для изотермического взаимодействия. В частности, при скорости нагревания 2400°C/c кинетические кривые и привеса, и роста карбидных слоев выражаются известным в диффузионной кинетике параболическим законом (рис. 7)

$$(\Delta m/S)^2 = K_m \cdot t \times \delta^2 = K_\delta \cdot t \tag{1}$$

со следующими параболическими константами: $K_m=5,0.10^{-8}~(r/cm^2)^2 C^1$, $K_{NbC}=8,05.10^{-8}~cm^2/c$, $K_{Nb2C}=1,4.10^{-8}~cm^2/c$ при $2200^{\circ}C$.



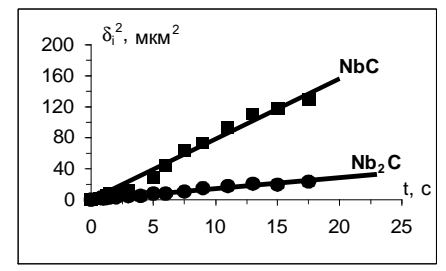


Рис. 7. Зависимости квадрата привеса (а) и квадратов толщин карбидных слоев (б) от времени. V_{π} =2400°C/c, T_{cr} =2200°C.

Несомненно, обработку кинетических данных параболическим законом можно провести также и при малых скоростях нагрева образцов, но только через некоторое время после установления изотермических условий, когда отношение толщин карбидных слоев станет постоянным.

Измерения скорости химического тепловыделения. Проведение кинетических исследований гравиметрическим и металлографическим методами имеет определенные ограничения, связанные с изучением самых начальных стадий процесса. Этот пробел восполняется измерением скорости химического тепловыделения, которая имеет максимальное значение именно в самом начале процесса. Отметим, что этот метод позволяет проводить *in situ* измерения и определить вид кинетической функции во время одного эксперимента (на одном и том же исследуемом образце) [6]. Сущность метода заключается в следующем. Образец – проволока, нагревается дважды одним и тем же T(t) путем в одинаковых условиях, причем первый нагрев длится практически до окончания химического тепловыделения. Скорость теп-

ловыделения определяется посредством нестационарного уравнения теплового баланса проволоки с окружающей средой как разница выделенных на проволоке электрических мощностей при первом – реакционном ($W_1(t)$), и втором – инертном ($W_2(t)$) нагревах.

При первом нагреве:

$$c\rho \frac{\mathrm{d}}{4} \frac{\partial T}{\partial t} = W_1(t) + \left(\frac{dq}{dt}\right)_{\text{XMM.}} - q(T), \qquad (2)$$

где $(\frac{dq}{dt})_{_{XUM}}$ – скорость химического тепловыделения, q(T) – теплоотвод от поверхности об-

разца в окружающую среду, а c, d и p – соответственно удельная теплоемкость, диаметр и плотность проволоки. При втором (инертном) нагреве:

$$c\rho \frac{\mathrm{d}}{4} \frac{\partial T}{\partial t} = W_2(t) - q(T) \tag{3}$$

Из двух последних уравнений для скорости химического тепловыделения имеем:

$$\left(\frac{dq}{dt}\right)_{xuM} = W_2(t) - W_1(t) \tag{4}$$

Именно таким способом и были проведены измерения скорости химического тепловыделения в данной работе. Измерения проводились в области $T=1000-2200^{\circ}C$, в интервале изменения скорости нагрева $V_{\rm H}=50-50000^{\circ}C/c$. При скоростях нагрева менее чем $50^{\circ}C/c$ практически не удается надежно измерять скорость химического тепловыделения из-за ее низких значений, а при $V_{\rm H} \geq 50000^{\circ}C/c$ кривые тепловыделения практически совпадают. На рис.8 изображены кривые химического тепловыделения с соответствующей термограммой нагрева ниобиевой нити при различных скоростях нагрева. Как видно из рис. 8а, при относительно малых скоростях нагрева значительная часть интенсивного тепловыделения лежит в неизотермической области (на стадии линейного нагрева).

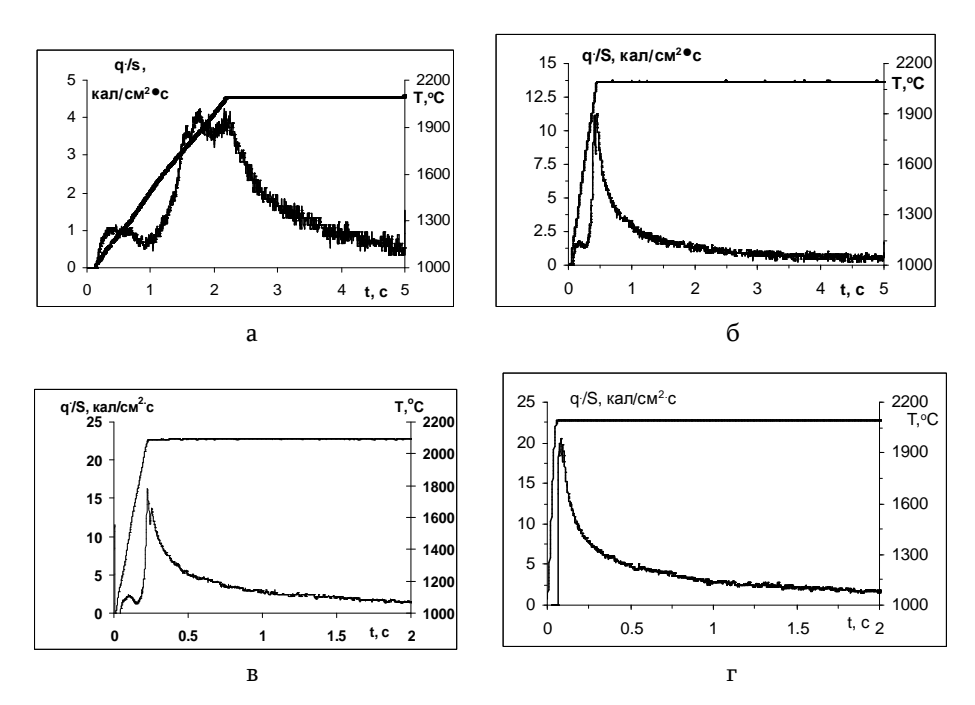


Рис. 8. Зависимость скорости химического тепловыделения от времени при: $a-V_{\text{\tiny H}}=500^{\circ}\text{C/c}, \, 6-V_{\text{\tiny H}}=2500 \, ^{\circ}\text{C/c}, \, B-V_{\text{\tiny H}}=5000 \, ^{\circ}\text{C/c}, \, r-V_{\text{\tiny H}}=25000 \, ^{\circ}\text{C/c}, \, T_{\text{\tiny CT}}=2100^{\circ}\text{C}.$

Увеличение скорости нагрева образца приводит к возрастанию максимальной скорости тепловыделения, а с другой стороны – большая часть функции тепловыделения перемещается в изотермическую область (рис. 86,в). Так, если при скоростях нагрева $500-2500^{\circ}\text{C}/c$ максимальная скорость тепловыделения составляет 4-12 $\kappa an/cm^2 \cdot c$, то при более высоких скоростях ($25.000-50.000^{\circ}\text{C}/c$) она несравненно больше и стремится к некоторому постоянному значению – 20-22 $\kappa an/cm^2 \cdot c$ (рис. 9). В итоге, начиная с некоторого значения скорости нагрева (практически, $V_{\text{H}}=25000^{\circ}\text{C}/c$) все тепловыделение происходит в изотермической области и, следовательно, совпадает с кинетическими закономерностями тепловыделения в изотермических условиях (рис. 8г).

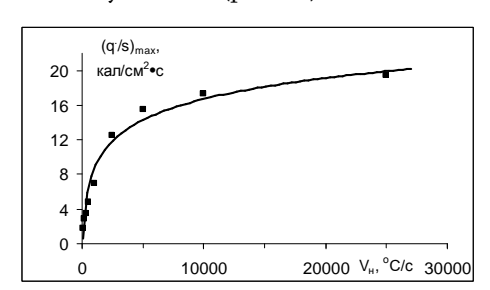


Рис. 9. Зависимость максимального значения скорости тепловыделения от скорости нагрева образца. $T_{c\tau}$ =2100°C.

Таким образом, для реакций, характеризующихся сильным диффузионным торможением, максимальная скорость реакции при одинаковых условиях определяется двумя независимыми факторами: температурой и скоростью нагрева.

Полученные результаты позволяют заключить, что процесс неизотермической карбидизации ниобия в условиях Т=1000-2200°С и при давлении метана 10 *Торр* происходит в диффузионном режиме и характеризуется образованием и дальнейшим ростом двух карбидных фаз. Определены границы применимости изотермических кинетических уравнений для описания неизотермического процесса карбидизации ниобия. Показано, что это имеет место только при переходе системы в изотермический режим со скоростью, превышающей определенную предельную скорость нагрева, которая составляет примерно 10000°С/с. Протекание экзотермической реакции в режиме самораспространения, которое связано с большими скоростями тепловыделения, обусловлено одновременным влиянием двух независимых факторов — максимальной температурой процесса (тепловой эффект реакции) и достаточно большими скоростями нагрева вещества.

ՆԻՈԲԻՈՒՄԻ ԲԱՐՁՐՋԵՐՄԱՍՏԻՃԱՆԱՅԻՆ ԿԱՐԲԻԴԱՑՄԱՆ ԱՌԱՆՁՆԱՀԱՏԿՈՒԹՅՈՒՆՆԵՐԸ ՈՉ ԻԶՈԹԵՐՄ ՊԱՅՄԱՆՆԵՐՈՒՄ

Ծ. Ա. ԱԴԱՄՅԱՆ, Ա. Ղ. ԿԻՐԱԿՈՍՅԱՆ, Ա. Ս. ԽԱՌԱՏՅԱՆ, Հ. Ա. ՉԱՏԻԼՅԱՆ և Ս. Լ. ԽԱՌԱՏՅԱՆ

Ներկայացված են նիոբիումի բարձրջերմաստիձանային կարբիդացման կինետիկական օրինաչափությունները մեթանի միջավայրում ոչ իզոթերմ պայմաններում։ Ուսումնասիրություններն իրականացվել են էլեկտրաթերմոգրաֆիկ եղանակով՝ 1000-2200°C ջերմաստիձանային տիրույթում, փորձանմուշների գծային տաքացման արագությունների լայն միջակայքում (Vտ=25-50000°C/վ)։ Չափվել են փորձանմուշների զանգվածի աձը, կարբիդային շերտերի հաստություններն ու քիմիական ջերմանջատման արագությունները՝ կախված փոխազդեցության ժամանակից։ Առանձնահատուկ ուշադրություն է դարձվել տաքացման արագության ազդեցությանը պրոցեսի ընդհանուր կինետիկական օրինաչափությունների վրա, ինչպես նաև իզոթերմ կարբիդացման կինետիկական պարամետրերի կիրառելիության սահմանների որոշմանը ոչ իզոթերմ կարբիդացման պրոցեսների նկարագրման համար։

KINETIC FEATURES OF NIOBIUM HIGH TEMPERATURE CARBIDIZING UNDER THE NONISOTHERMAL CONDITIONS

Ts. A. ADAMYAN¹, A. G. KIRAKOSYAN², A. S. KHARATYAN², H. A. CHATILYAN² and S. L. KHARATYAN^{1,2}

¹Yerevan State University
1, A. Manukyan st., AM – 0025, Yerevan, Armenia
²A.B. Nalbandyan Institute of Chemical Physics NAS RA
5/2, P.Sevak st., AM – 0014, Yerevan, Armenia
E – mail: tsovinar1@rambler.ru

As a convenient model, kinetic features of niobium carbidizing, leading to formation of a multiphase diffusion zone, are studied at 10 torr methane pressure under strongly non-isothermal conditions. Researches were carried out within a wide temperature range (1000-2200°C) and linear heating conditions (heating rate was changed from $V_h = 25$ to $50000^\circ/s$). The kinetics of interaction was studied combining three independent and mutually complementing approaches: gravimetric,

metallographic and calorimetric analyses. Special attention was given to the influence of heating rate on the general kinetic laws of the process. It was shown, that non isothermal carbidization of niobium at above mentioned conditions occurred in diffusion mode and was characterized by simultaneous formation and further growth of two carbide phases. The applicability limit of the isothermal kinetic equations for description of non isothermal carbidization of niobium was determined.

ЛИТЕРАТУРА

- [1] Merzhanov A.G. // Ceramics International, 1995, v. 21, p.371.
- [2] *Merzhanov A.G.* // Intern. J. of SHS, 1993, v.2, №2, p.113.
- [3] Borovinskaya I.P. // Pure and Appl. Chem., 1992, v.64, №7, p.919.
- [4] *Дорунц А.Г., Мартиросян Н.А., Харатян С.Л.* // Инженерно-физический журнал, 1993, т.65, №5, с 590
- [5] Cheng He, G.C. Stangle// J. Mater. Res., 1995, v.10, №1, p.2829.
- [6] *Харатян С.Л.* / В кн.: "Самораспространяющийся высокотемпературный синтез. Теория и практика". / под. ред. А. Сычева. Черноголовка, Изд. "Территория", 2001, с.157.
- [7] Вильк Ю.Н., Николький С.С., Аварбе Р.Г. // Теплофизика высоких температур, 1967, т. 5(4), с.607.
- [8] Resnick R., Steinetz R., Seigle L. // Trans. Met. Soc. of AIME, 1965, v.233, p.1915.
- [9] Weisenberger H., Lengauer W., Ettmayer P. // Acta Mater., 1998, v.46, №2, p.651.
- [10] Дружинин И.И., Захаров А.М., Новиков И.И. // Цвет. металлургия, 1971, №5, с.134.
- [11] Hurz G., Lindenmaier K., Klaiss R. // J. of the Less-Common Metals, 1974, v.35, p.77.
- [12] Smith J.F., Carlson O.N., De Avillez R.R. // J. of Nucl. Mater., 1987, v. 148, p.1.
- [13] Storms E.K., Krikorian N.H. // J. of Phys. Chem., 1960, v.64, No10, p.1471.
- [14] Fafaja D., Lengauer W., Weisenberger H., Joguet M. // Metalurgical and Materials transactions, 1998, v.29A, p.439.
- [15] Амбарцумян Р.С., Бабич В.Н. // Неорганические материалы, 1970, т.6, №7, с.1224.
- [16] Асатрян К.В., Харатян С.Л. // Кинетика и катализ, 1991, т.32, вып.3, с.564.
- [17] Kirakosyan A.G., Adamyan Ts.A., Asatryan K.V., Kharatyan S.L. // Defect and Diffusion Forum, vs. 237-240 (2005), p.879.
- [18] Phase diagram database TAPP 2.2.
- [19] *Григорьев Ю.М.* / В сб. "Процессы горения в химической технологии и металлургии", Черноголов-ка, 1975, с.199.

ՀԱՅԱՍՏԱՆԻ ՀԱՆՐԱՊԵՏՈՒԹՅԱՆ ԳԻՏՈՒԹՅՈՒՆՆԵՐԻ ԱԶԳԱՅԻՆ ԱԿԱԴԵՄԻԱ НАЦИОНАЛЬНАЯ АКАДЕМИЯ НАУК РЕСПУБЛИКИ АРМЕНИЯ

Հшјшиտшնի рիմիшկшն ншնդես 62, №1-2, 2009 Химический журнал Армении

УДК 541.128:542.971.3+663.084+535.14

ПРИМЕНЕНИЕ НАНОРАЗМЕРНЫХ АМОРФНЫХ ПОРОШОВ Мо В ПРОЦЕССЕ ДЕГИДРОГЕНИЗАЦИИ ЦИКЛОГЕКСАНА

 $\overline{\Gamma$. А. ГАРИБЯН, В. Т. МИНАСЯН^а, Л. А. ВАРТИКЯН ^a, Р. Т. МАЛХАСЯН⁶ и С. Л. ГРИГОРЯН ⁶

^аИнститут химической физики им.А.Б.Налбандяна НАН Республики Армения Армения ,0014, Ереван, ул.П.Севака, 5/2 E-mail: tamara@ichph.sci.am

⁶ЗАО "Наноаморф технология" Армения,0076, Ереван, ул.Тевосяна, 3/1 E-mail: rmalkhas@aua.am

Поступило 14 VII 2008

Аморфные порошки Мо с размером частиц 15-20 *нм* были получены квантово-химическим методом, основанном на восстановлении оксидов металлов в неравновесных условиях, колебательно-возбужденными молекулами водорода, при температурах, близких к комнатной. Характеристики синтезированных порошков и созданных на их основе, нанесенных на у-Al₂O₃ нанокатализаторов получены с использованием ТЭМ, РФА, ЭПР спектроскопии. Установлено, что, в отличие от катализаторов с микронным размером частиц (≤1*мкм*), наноаморфные и нанокристаллические Мо/у-Al₂O₃ катализаторы проявляют высокую каталитическую активность и селективность в процессе превращения циклогексана в бензол. Самая высокая активность (93%) наблюдалась на Мо(КТ)/ у-Al₂O₃ катализаторе, что демонстрирует перспективность использования наноразмерных аморфных материалов, получаемых квантово-химическим методом, для создания активных катализаторов превращения углеводородов.

Рис. 3, табл. 1, библ. ссылок 14.

Каталитическая активность (КА), как и селективность процесса, определяется фазовым составом, морфологией, введенными модификаторами, способом приготовления катализаторов. Повышение КА является важной задачей катализа и достигается разными методами [1]. Механическое воздействие на твердые катализаторы, как и воздействие, в частности на оксиды, различными типами облучения в видимом, УФ, рентгеновском и у- диапазонах, приводит к образованию дырочных центров О $^-$. Последние, обладая сильными окислительными свойствами, вызывают резкое увеличение реакционной способности, т.е. рост КА [2]. Ультразвуковое воздействие в ходе приготовления катализаторов увеличивает дисперсность, при-

водит к изменению структуры поверхности и образованию на ней дополнительных активных центров [3-5]. В каталитических исследованиях важно иметь развитую поверхность, что может быть достигнуто использованием ультрадисперсных, наноразмерных порошков [6-8]. Основой квантово-химического метода получения наноаморфных материалов является восстановление оксидов металлов в неравновесной низкотемпературной плазме водорода, в которой генерируются колебательно-возбужденные на 3-й и выше квантовый уровень молекулы H_2 с максимальной энергией 2,2 \mathcal{B} [9-12]. Применение колебательно-возбужденных молекул водорода в неравновесных процессах восстановления оксидов различных металлов, протекающих при температурах, близких к комнатной, приводит к образованию нового фазового состояния –аморфного. В настоящем сообщении будут представлены данные по использованию наноразмерных порошков Мо, синтезированных квантово-химическим методом, для создания активных, нанесенных на носитель, катализаторов и определения их каталитической активности в процессе превращения циклогексана.

Экспериментальная часть

Синтез наноразмерных аморфных порошков Мо(КХ) был реализован на вакуумно-струевой установке, в специальном кварцевом реакторе, где в рабочую зону помещалась порция исходного МоО₃ (размер частиц ≤0,6 мкм). Необходимый размер частиц был получен предварительной седиментацией промышленного порошка марки ("х.ч."). После откачки реакционной системы имело место восстановление оксидного порошка под воздействием низкотемпературной водородной плазмы. В этой плазме колебательно-возбужденные на 3-й квантовый уровень молекулы водорода генерировались непосредственно в рабочей зоне с внутренней энергией 1,5 эВ (147±10 кДж/моль). Продукт реакции –Н₂О, вместе с непрореагировавшими газами удалялся из зоны реакции через ловушку. После восстановления (цвет порошка менялся от светло-зеленого до черного) порция порошка механически перемещалась к противоположному концу реактора, а в рабочую зону вводилась новая порция исходного оксида. Так как полученные порошки очень активны, их сразу после синтеза, без доступа воздуха, помещали в очищенный и осушенный натрием гексан, либо откачивали и хранили под вакуумом в запаянной ампуле.

С целью получения нанесенных на носитель каталитических систем наноразмерные аморфные порошки Мо в гексане наносились на 1 r у-Al₂O₃ (размер гранул 2 m, удельная поверхность 60 m^2/r , радиус пор 370 \mathring{A}), предварительно прокаленный при 723K. Нанесение порошка на у-Al₂O₃ осуществляли следующими способами:

- 1) механическим нанесением: к 0,1 r порошка в гексане добавляли 1 r носителя методом: а обычного перемешивания-встряхивания в течение 6 q, при комнатной температуре; б перемешивания с помощью излучателя УЗ-диспергатора (22 $\kappa\Gamma q$), с охлаждением водой при 300 K в течение 15 μ
- 2) методом пропитки γ -Al₂O₃ водным раствором аммиачной соли молибденовой кислоты (NH₄)₂MoO₄ с последующей сушкой (373 $\it K$), прокалкой (623 $\it K$) и восстановлением получен-

ного MoO₃: а — молекулярным водородом при $723K(3-4 \ v)$; б — квантово-химическим методом при $300 \ K$ в течение $40 \ muh$.

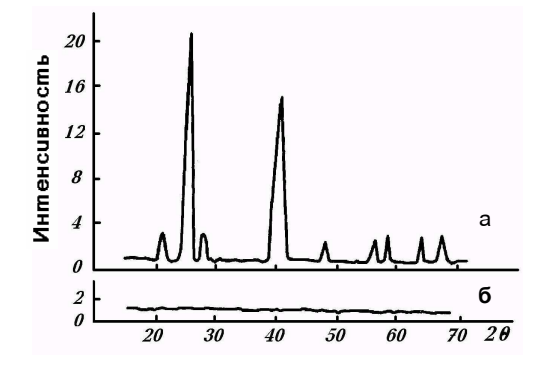
Перед началом экспериментов по установлению каталитической активности полученных систем гексан удаляли потоком водорода при температурах, начиная от комнатной до 470 K (контроль— хроматографический анализ гексана).

Исследования каталитической активности проводились при 680 *Торр*, в проточном U-образном кварцевом реакторе. Превращение циклогексана осуществляли в потоке газовой смеси, содержавшей 6,8-9 об.% циклогексана в водороде, в температурном интервале 523-823 K. Анализ бензола, циклогексана, гексана проводили на 1,5 M колонке с динонилфталатом (20%) на хромосорбе-P, газ-носитель – гелий, $T_{\text{кол}}$ =353 K, детектор – катарометр. Анализ CH₄, C₂H₆, C₂H₄ –на 5 M колонке с наполнителем Linde 5 M, газ-носитель – гелий, детектор – катарометр, $T_{\text{кол}}$ =353 K.

Характеристики синтезированных образцов были получены с использованием рентгенофазового анализа – РФА ("Дрон-3", с $CuK\alpha$ облучением), трансмиссионной электронной микроскопии – ТЭМ ("TESLA BS-500", при ускоряющем напряжении $90\kappa B$), ЭПР спектроскопии ("Varian-E 104A"). Средний размер частиц был получен, используя ТЭМ.

Результаты и обсуждение

На рис. 1 приведены рентгенограммы, иллюстрирующие изменение структуры исходного МоО₃ под действием квантово-химического восстановления. Как видно из рисунка, в результате восстановления происходит трансформация кристаллического оксида (1а) в Мо-содержащий аморфный материал (1б). На финальной дифрактограмме нет пиков, характерных для кристаллического Мо, либо промежуточных оксидов Мо. ТЭМ исследование образцов после квантово-химического восстановления показало наличие диффузного гало, типичного для аморфных материалов (рис. 2а). На рис. 26 приведена электронно-дифракционная картина, характерная для образцов, получаемых при восстановлении методом 2а, с образованием поликристаллической структуры. Электронно-микроскопичекие снимки образцов (рис. 3), полученных методом 26, показали образование наночастиц в диапазоне 15-20 *нм* (рис. 3а), а для образцов, полученных методом 2а, размер частиц составил 30 *нм* (рис. 3б).



a

Рис. 1. Рентгенограмма MoO_3 : а) исходный кристаллический образец, б) образец после квантово-химического восстановления.

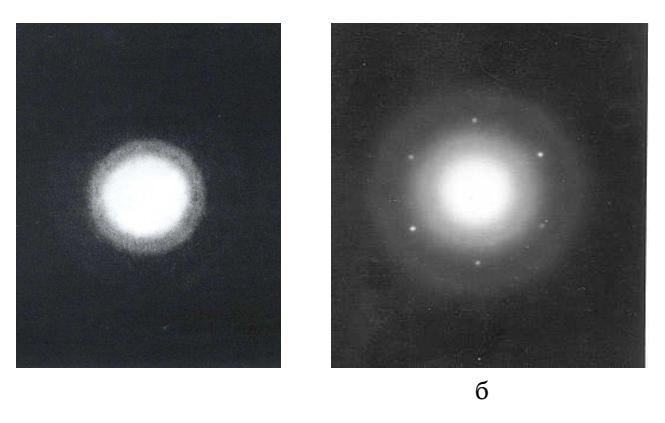


Рис. 2. Электронно-дифракционное изображение образцов Мо: а) после квантово-химического восстановления (26), б) после восстановления молекулярным водородом (2а).

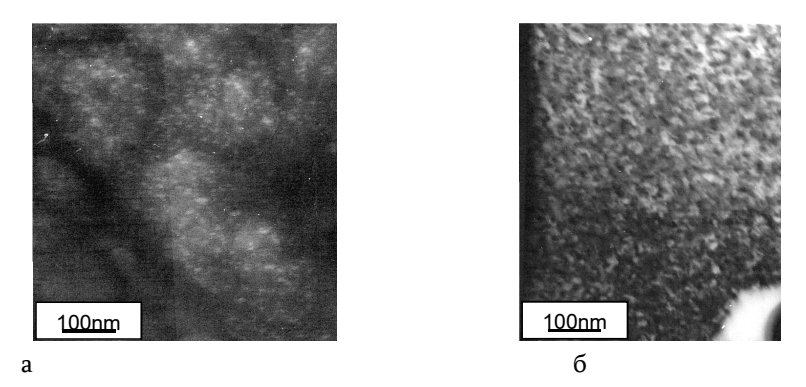


Рис. 3. ТЭМ – снимки образцов Mo: а) после квантово-химического восстановления (26), 6) после восстановления методом (2a).

ЭПР-спектры катализаторов, полученных методами 2а и 26, записанные при комнатной температуре, имели аксиально-симметричную форму и выявили наличие в образцах $Mo(KX)/\gamma$ - Al_2O_3 небольших количеств ион-радикалов Mo^{5+} с $g_{||}=1,91$ и $g_{||}=1,94$. Параметры спектра соответствуют структуре, где ион Mo^{5+} находится в координации квад-ратной пирамиды C_4 [13]. Обнаружение ион-радикалов Mo^{5+} при том, что $P\Phi A$ не регистрирует каких-либо промежуточных кристаллических оксидов Mo, говорит в пользу присутствия в синтезированном нанопорошке примесных аморфных оксидных фаз, что можно объяснить как возможностью частичного окисления в ходе хранения и транспортировки, так и возможностью протекания вторичных реакций между высокоактивным аморфным Mo0 и остаточным оксидом MoO_3 . Как показал эксперимент, при термообработке образца при 823K эти примесные фазы трансформируются в кристаллические оксиды $Mo4O_{11}$ и MoO_2 . В ходе Θ ПР исследований образцов, восстанавливаемых по методу Φ 1, интенсивность сигнала Φ 2, тадала, достигая через Φ 3 и восстановления постоянного значения, несколько большего, чем в случае Φ 5, т.е. восстановление квантово-химическим методом (26) осуществляется глубже и намного быстрее (40 Φ 1 Φ 2 Φ 3 гой же порции исходного оксида).

Таблица
Превращение циклогексана в бензол
при Т=773 *К* на Мо/ у-Al₂O₃ катализаторах

Катализатор	Размер частиц,	Конверсия цик-	Селективность
(способ нанесения	HM	логексана,	по бензолу,
на носитель)		%	%
Mo/ γ-Al ₂ O ₃	≤1 <i>MKM</i>	3	100
Mo(KX)/ γ-Al ₂ O ₃ (1a)	15-20 нм	36	100
Mo(KX)/ γ-Al ₂ O ₃ (16)	15-20 нм	43	~100
Mo/ γ-Al ₂ O ₃ (2a)	30 нм	70	100
Mo(KX)/ γ-Al ₂ O ₃ (26)	15-20 нм	93	87

Каталитические исследования были проведены в реакции превращения циклогексана, продуктами которой являются: бензол – результат дегидрогенизации, и алифатические углеводороды – как результат гидрогенолиза. Процесс может служить модельной реакцией при поиске селективных катализаторов превращения углеводородов, где подавление направления крекинга углеводорода в ходе дегидрогенизации остается важным требованием для не-Pt катализаторов [14].

До каталитических исследований все катализаторы были обработаны в потоке H_2 в течение 2 u, что не сказывалось на размере частиц, в то же время обеспечивая получение воспроизводимой каталитической поверхности. Предварительными экспериментами показано, что на γ - Al_2O_3 процесс практически не идет до $T=773\,K$. На Mo/γ - Al_2O_3 катализаторе с микронным размером частиц ($\le 1\,$ мкм) конверсия при этой температуре не превышала 3%. На нанесенных нанокатализаторах процесс начинается с $673\,K$. В таблице представлены данные по

превращению циклогексана в бензол при Т=773 К на Мо-содержащих, нанесенных на у-Al₂O₃ катализаторах. Как видно, при 773K на нанесенном механически катализаторе (1a) конверсия достигает 36% при 100% селективности по бензолу. Обработка образца ультразвуком (16) позволила повысить конверсию до 43%. Каталитическая активность образцов, полученных методом пропитки с последующим квантово-химическим восстановлением, самая высокая и составляет 93%. Процесс в этом случае начинается с 543 K, достигая при 673 K 38% конверсии при 100% селективности по бензолу. С дальнейшим ростом температуры селективность по бензолу снижается до 87%, в продуктах обнаруживаются алифатические углеводороды. Последнее может быть связано с тем, что при квантово-химическом восстановлении, как, по-видимому, частично и в случае обработки ультразвуком, происходит диспергирование агломератов с образованием наноразмерных аморфных частиц как на внешней поверхности, так и в порах носителя, где и реализуется направление крекинга. Катализаторы, полученные методами 16 и 26, – черного цвета на всю глубину гранул. Более того, образцы, полученные методом 26, при контакте с воздухом постепенно светлеют до серо-голубого цвета, т.е. окисляются, что особенно хорошо видно при разрезе гранул. Катализатор, полученный способом 26, в отличие от образца 2а, очень быстро выходит на режим с высокой каталитической активностью.

Отдельно поставленные эксперименты по исследованию превращения циклогексана на предварительно сепарированных промышленных (марки "ч.д.а."), высокодисперсных (≤ 1 мкм) МоО₂ и МоО₃, проведенные в одинаковых условиях, не выявили какого-либо заметного превращения. Можно предполагать, что высокая конверсия и селективность, наблюдаемые на исследованных нами образцах, есть результат наноаморфности и нанокристалличности синтезированных порошков Мо. Полученные результаты демонстрируют перспективность использования наноразмерных аморфных порошков Мо, получаемых по квантово-химическому методу, как активных катализаторов превращения углеводородов.

ՆԱՆՈՉԱՓ ԱՄՈՐՖ Mo-ի ՓՈՇԻՆԵՐԻ ՕԳՏԱԳՈՐԾՈՒՄԸ ՑԻԿԼՈՀԵՔՍԱՆԻ ԴԵՀԻԴՐՄԱՆ ՊՐՈՑԵՍՈՒՄ

Թ. Ա. ՂԱՐԻԲՑԱՆ, Վ. Թ. ՄԻՆԱՍՑԱՆ, Լ. Ա. ՎԱՐՏԻԿՑԱՆ, Ռ. Թ. ՄԱԼԽԱՍՑԱՆ և Մ. Լ. ԳՐԻԳՈՐՑԱՆ

Հետազոտված է ցիկլոհեքսանից բենզոլի փոխակերպման գործընթացը նանոչափ Mo-ի փոշիներից պատրաստված կատալիզատորների կիրառմամբ։ 15-20 *նմ* հատիկի մեծությամբ ամորֆ Mo-ի փոշիները ստացվել են քվանտաքիմիական եղանակով MoO₃ վերականգնմամբ անհավասարակշիռ պայմաններում, ջրածնի գրգռված մոլեկույներով սենլակալին ջերմաստիձանում։ Ստացված փոշիների և γ-Al₂O₃ –ի վրա նստեզման եղանակով ստացված կատալիզատորների բնութագրերը հետազոտվել են ԹԷՄ, ՌՖԱ և ԷՊՌ մեթոդներով։ Բացահայտվել է, որ, ի տարբերություն միկրոնային չափի Mo-ի փոշիների, նանոչափ մասնիկներով Mo-ից պատրաստված կատալիզատորները են կատալիտիկ ակտիվություն ցուցաբերում բարձր lı ընտրողականություն ցիկլոհեքսանից բենզոլի փոխակերպման պրոցեսում։ Ամենամեծ ակտիվությունը (93%) ցուցաբերում են ամորֆ նանոչափ Mo-ի կիրառմամբ ստացված կատալիզատորները, ինչը ապացուցում է թվանտաթիմիական եղանակով ամորֆ մետաղների ստացման հեռանկարայնությունը։

APPLICATION OF NANOSIZE AMORPHOUS POWDERS OF Mo IN THE PROCESS OF CYCLOHEXANE DEHYDROGENATION

T. A. GHARIBYAN, V. T. MINASYAN, L. A. VARTIKYAN, R. T. MALKHASYAN and S. L. GRIGORYAN

A.B.Nalbandyan Institute of Chemical Physics NAS RA 5/2 P.Sevak str., Yerevan, 0014, Armenia E-mail: tamara@ichph.sci.am

CJSC "Nanoamorf Technology"

3/1 Tevosyan str., Yerevan, 0076, Armenia E-mail: malkhas@aua.am

Amorphous powders of Mo with 15-20 nm size of particles have been obtained by quantum-chemical method. It is based on the reduction of corresponding metal oxide by vibrationally excited molecules of hydrogen at non-equilibrium conditions under nearly ambient temperatures. The characteristics of synthesized powders and nanocatalysts created on their basis were determined by means of TEM, XRD, EPR spectroscopy. It was established, that in contrast to catalysts with micron size of particle, nanoamorphous and nanocrystalline catalysts display high catalytic activity and selectivity in the process of cyclohexane dehydrogenation into benzene. The maximum activity (93%) was observed on $Mo(KX)/\gamma$ - Al_2O_3 catalyst. This fact demonstrated the perspectivity of nanosize amorphous materials to be used as active catalysts for hydrocarbon transformation.

ЛИТЕРАТУРА

- [1] Крылов О.В., Марголис Л.Я. // Кинетика и катализ, 1985, т.19, с.5.
- [2] Молчанов В.В., Буянов Р.А. // Успехи химии, 2000, т.69, №5, с.476.
- [3] Gharibyan T.A., Muradyan A.A., Vartikyan L.A., Minasyan V.T. // Catalysis Today, 1995, v. 24, p. 249.
- [4] Сулман М.И. // Успехи химии, 2000, т. 69, №2, с. 178.
- [5] Гарибян Т.А., Минасян В.Т., Григорян Р.Р., Мурадян А.А. // Хим. ж. Армении, 2002, т.55, №4, с. 8.
- [6] Suslick K.S., Fang M., Hyeon R., Cichowlas A.A. // Mater.Res.Sos.Symp.Proc. 1994, v.351, p. 443.
- [7] Cao X., Koltupin Yu., Kataby G.J. // Mater.Res.Soc., 1995, v.10, №11, p.2952.
- [8] Delplancke J.-L., Dille J., Reisse J., Long G.J. // Chem. Mater., 2000, v.12, p.946.
- [9] Malkhasyan R. T., A.c. 2041959 Россия; 1990.
- [10] Malkhasyan R.T., Agababyan E.V., Karakhanyan R.K.// Chem. Phys. Reports, 1996, v.15, No10, p.1409.
- [11] *Malkhasyan R.T., Grigoryan S.L.* //Innovative Processing/ Sinthesis:Ceramics, Glasses, Composites II; 1999, v.94, p.455.
- [12] Malkhasyan R.T., Gharibyan T.A., Minasyan V.T., Vartikyan L.A., Grigoryan S.L. in book: Conversion potential of Armenia and ISTC Programs; Intern.Seminar, 2000, Yerevan, October, p. 263.
- [13] *Крылов О.В., Киселев В.Ф.* Адсорбция и катализ на переходных металлах и их оксидах. М., Химия, 1981, 285 с.
- [14] Somorjai G.A. Introduction to Surface Chemistry and Catalysis. Wiley-Interscience: New-York, 1994, p. 500.

ՀԱՅԱՍՏԱՆԻ ՀԱՆՐԱՊԵՏՈՒԹՅԱՆ ԳԻՏՈՒԹՅՈՒՆՆԵՐԻ ԱԶԳԱՅԻՆ ԱԿԱԴԵՄԻԱ НАЦИОНАЛЬНАЯ АКАДЕМИЯ НАУК РЕСПУБЛИКИ АРМЕНИЯ

Հшјшиտшић рриђшиши ћшићи 62, №1-2, 2009 Химический журнал Армении

УДК. 541.128+539.213+547.216+547.281.1

ВЛИЯНИЕ АМОРФНОСТИ И РАЗМЕРА ЧАСТИЦ КАТАЛИЗАТОРОВ НА ПРЕВРА-ЩЕНИЕ МЕТАНОЛА

Р. Р. ГРИГОРЯН 1 , Л. А. ВАРТИКЯН 1 , Т. А. ГАРИБЯН 1 , С. Л. ГРИГОРЯН 2 и Р. Т. МАЛХАСЯН 2

¹Институт химической физики им. А. Б. Налбандяна НАН Республики Армения Армения, 0014, Ереван, ул. П. Севака ,5/2 Fax: (0374-10) 29-73-09 , E-mail:tamara@ichph.sci.am

²"ЗАО" Наноаморф технология" Армения, 0076, Ереван, ул. Тевосян, 3/1 E-mail:rmalkhas@netsys.am

Поступило 29 IX 2008

Наноразмерные аморфные порошки металлов (Cu, Mo, Fe) получены квантово-химической технологией (КХТ), основанной на восстановлении оксидов металлов в неравновесных условиях, колебательно-возбужденными молекулами водорода при температурах, близких к комнатной. Проведено сравнительное исследование каталитической активности коммерческих и наноразмерных аморфных порошков Me(Me-Cu, Mo, Fe)-КХТ, нанесенных на носитель в процессе превращения паров метанола в температурном интервале 373-623 К.

Показано, что на катализаторах, полученных на основе наноразмерных аморфных порошков Cu(KXT), Mo(KXT) и Fe(KXT), конверсия метанола при 533K достигала 85, 80 и 75% с селективностью по формальдегиду 95, 50 и 80%, соответственно. Установлено, что, по сравнению с серебром – промышленным катализатором дегидрирования метанола на наноразмерном Cu(KXT), начало процесса смещено в сторону более низких температур.

Рис. 2, табл. 1, библ. ссылок 14.

Ранее нами было изучено окисление CH₃OH на SiO₂ и γ-Al₂O₃ разной пористости [1,2], CuO/SiO₂ [3], а также на ряде катализаторов на основе оксида меди [4]. Установлено, что пористость и удельная поверхность катализаторов определяют направление процесса окисления метанола [1,2]. Нанесение CuO на SiO₂ разной пористости с применением ультразвукового воздействия (УЗВ) в ходе приготовления катализатора [3] сделало возможным получение устойчивого и активного катализатора превращения метанола. УЗВ способствовало как уменьшению размера частиц, так и более равномерному распределению по поверхности SiO₂ активной фазы CuO и образованию новой Cu-содержащей фазы. В работе [4] показано, что в

процессе глубокого окисления метанола активность медьсодержащих катализаторов сильно зависела от способа приготовления и количества активной фазы. Ранее в работах [5,6] нами было установлено, что наноаморфный и нанокристаллический молибдены, полученные квантово-химической технологией (КХТ) восстановления оксида молибдена, являются активными катализаторами дегидрирования циклогексана, что было объяснено большей поверхностной плотностью дефектов или активных центров наноразмерных материалов. Квантово-химическая технология является развитием плазмохимической технологии [7] и отличается от нее тем, что основным компонентом в данной используемой плазме являются неравновесные колебательно-возбужденные гомоядерные молекулы водорода с возбуждением до 3-го квантового уровня. В отличие от известных плазмохимических процессов, в нашем случае процесс протекает практически при комнатной температуре [8-13]. Применение колебательно-возбужденных молекул водорода в неравновесных процессах восстановления оксидов различных металлов, протекающих при температурах, близких к комнатной, приводит к образованию нового фазового состояния – аморфного.

С учетом полученных ранее результатов исследования каталитической активности систем, полученных на основе аморфных порошков Cu, Мо и Fe в процессе дегидрирования метанола, и установление влияния размера частиц CuO на ее каталитическую активность в процессе глубокого окисления метанола представляются обоснованными и являются целью настоящей работы.

Экспериментальная часть

Процессы дегидрирования и глубокого окисления метанола изучались на проточной установке, в U-образном кварцевом реакторе при атмосферном давлении. Анализ исходных веществ и конечных продуктов проводился хроматографическим методом,. Диоксид углерода, формальдегид, вода, метанол анализировались на колонке 3 м х 3 мм, заполненной паропаком N, температура колонки 393 K, газ-носитель – He, скорость потока – $60 \, cm^3/мин$, детектор – катарометр. Анализ H₂ проводился на колонке 5 м x 3 мм, заполненной Linde 5 Å, газноситель – Ar, скорость потока – $40 \, \text{см}^3/\text{мин}$, температура колонки $353 \, \text{K}$, анализ гексана – на 1,5 м колонке с динонилфталатом (20) на хромосорбе Р. Для оценки состояния поверхности использовали рентгенофазовый анализ "ДРОН-3", трансмиссионный электронный микроскоп "ТЭСЛА BS-500" при ускоряющем напряжении 90 кВ и электронный парамагнитный резонанс – ЭПР "Varian-E 104A". Синтез наноразмерных аморфных порошков Ме(КХТ) был реализован в специальном кварцевом реакторе [11,12]. Полученные порошки очень активны, поэтому их сразу после синтеза, без доступа воздуха, помещали в очищенный и осушенный натрием гексан, либо откачивали и хранили в вакууме в запаянной ампуле. С целью получения катализаторов с развитой поверхностью заданные количества Си(ком.), Мо(ком.), Fe(ком), Cu(KXT), Mo(KXT) и Fe(KXT) в гексане заливались на предварительно прокаленный при 673 K y-Al₂O₃ (размер гранул 2 мм, удельная поверхность 60 M^2/r , радиус пор 370Å), после чего перемешивались и встряхивались в течение 6 ч при комнатной температуре для равномерного распределения активной фазы по поверхности носителя. Перед началом опытов по превращению паров метанола гексан удалялся потоком водорода, что контролировалось хроматографически. Для дегидрирования метанола использовали коммерческие порошки Cu, Мо и Fe с размером частиц около 10~мкm, а также Cu(KXT), Mo(KXT), Fe(KXT)-наноразмерные аморфные порошки, полученные восстановлением соответствующих нанооксидов. Для глубокого окисления метанола использовали коммерческий CuO(ч.д.а.) с размером частиц 10-20~мкm и CuO с размером зерен 16-32~нm фирма "Nanophase Technologies Corporation". Удельная поверхность последней колеблется в пределах от $30~\text{до}~60~\text{m}^2/\text{r}$. Порошки таблетировались, разламывались и вводились в реактор.

Исследования на трансмиссионном электронном микроскопе порошка Cu(KXT), полученного КХТ восстановлением CuO, показали наличие совершенного диффузного гало, типичного для аморфных материалов (рис. 1). Подобные картины были получены и в случае КХТ восстановления Fe_2O_3 и MoO_3 [11]. Размер частиц полученных порошков был в пределах 15-20 μ M.



Рис. 1. Электронно-дифракционное изображение Си-наноаморфного, полученного КХТ.

На рис. 2 представлены рентгенограммы, иллюстрирующие изменение структуры исходного наноразмерного CuO(a) в процессе КХТ восстановления (рис. 2b). Как видно из рисунка, восстановленный порошок имеет рентгенограмму, характерную для рентгеноаморфных веществ, с большим фоном при малых углах отражения и размытыми пиками малой интенсивности.

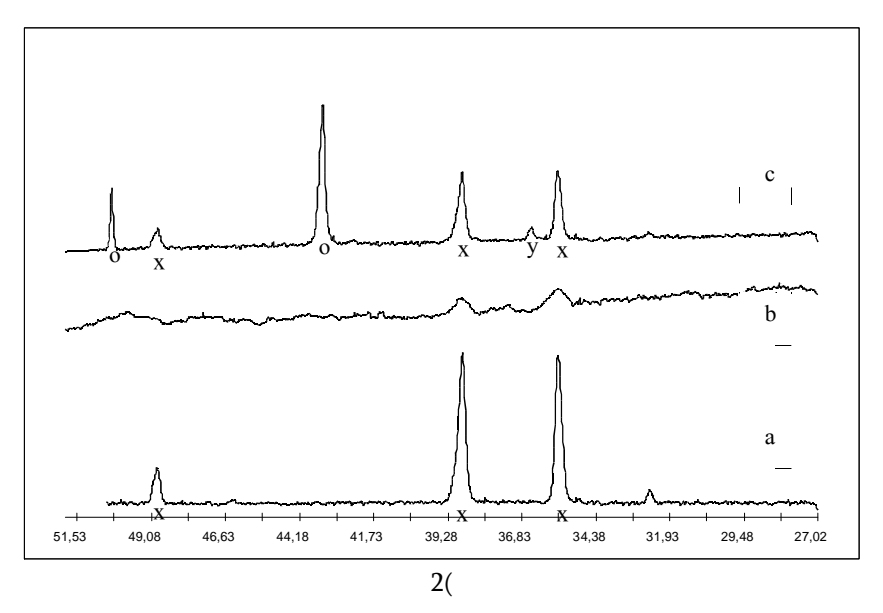


Рис. 2. Рентгенограмма исходного CuO - (a), Cu (KXT)-наноаморфного (b), Cu(KXT) после реакции – нанокристаллический (c): x - CuO; o - Cu; y - Cu2O.

Полученные результаты и обсуждение

Известно, что превращение метанола в формальдегид и водород [14] на металлических катализаторах, таких, как медь, серебро, протекает в присутствии малых количеств кислорода. Поэтому процесс дегидрирования СН₃ОН изучался в проточном реакторе при давлении 680 *Торр*, составе смеси 1 *об.*% СН₃ОН в гелии, содержащем около 0,1 *об.*% О₂, в температурном интервале 373-623 K и скорости потока гелия 45 cm^3/muh на Cu(ком.), Мо(ком.), Fe(ком.), Cu(КХТ), Мо(КХТ) и Fe(КХТ). Чтобы исключить контакт с воздухом, одинаковые количества последних весом около 0,01 r вместе с гексаном прибавлялись к заранее осушенному 0,5 r у-Al₂O₃ и все это взбалтывалось (механическое нанесение). Перед началом экспериментов гексан удалялся потоком водорода при температуре от комнатной до 523 K. Затем при этой температуре все катализаторы были обработаны в потоке H₂ в течение 2 r, что не сказывалось на размере частиц, в то же время обеспечивало получение воспроизводимой каталитической поверхности. Предварительными экспериментами было показано, что на носителе у-Al₂O₃ после удаления гексана превращение CH₃OH не наблюдается вплоть до T=513 K, а при 533K составляет 20%. В продуктах обнаруживаются CO₂ и H₂, формальдегид не обнаружен.

На $Cu(ком.)/\gamma$ - Al_2O_3 и $Mo(ком)/\gamma$ - Al_2O_3 превращение CH_3OH начинается с 503 и 493 K, соответственно, а на $Cu(KXT)/\gamma$ - Al_2O_3 и $Mo(KXT)/\gamma$ - Al_2O_3 температура начала реакции снижается соответственно до 460 и 473K. Процесс дегидрирования метанола в изученном температурном интервале на коммерческом кристаллическом F0 практически не протекал.

На катализаторах, полученных КХТ, не только снижается температура начала реакции, но и увеличивается конверсия CH₃OH в CH₂O, достигая при 533 K на Cu(KXT)/ γ -Al₂O₃ – 85%, Mo(KXT)/ γ -Al₂O₃ – 80% и Fe(KXT)/ γ -Al₂O₃ – 75%, с 95, 50 и 80% селективностью в формальдегид. В продуктах в этих условиях также обнаруживаются H₂, CO₂ и H₂O. Данные по дегидрированию метанола на медных, железных и молибденовых катализаторах приведены в таблице.

Tаблица Дегидрирование метанола на медных, железных и молибденовых катализаторах, содержащих 0,01 rCu, Fe, Mo на 0,5 r γ -Al₂O₃, при T = 533 K

Катализатор	Размер частиц	Конверсия СН₃ОН,%	Селективность $\mathrm{CH_2O}$, %
γ-Al ₂ O ₃	Гранулы 2 мм	20	_
Cu(ком)/ γ-Al ₂ O ₃	10 мкм	30	15
Мо(ком)/ γ-Al ₂ O ₃	10 мкм	25	30
Fe(ком)/ γ-Al ₂ O ₃	10 мкм	-	_
Cu(KXT)/ γ-Al ₂ O ₃	15-20 нм	85	95
Mo(KXT)/ γ-Al ₂ O ₃	15-20 нм	80	50
Fe(KXT)/ γ-Al ₂ O ₃	15-20 нм	75	80

Рентгенофазовый и электронно-микроскопический анализы для образца $Cu(KXT)/\gamma$ - Al_2O_3 после реакции дегидрирования метанола при 533 K показали появление кристаллических фаз Cu, Cu_2O и CuO (рис. 2в) с размером частиц ~ 20 -30 μ m. РФА катализатора Fe(KXT) после реакции показал наличие фаз Fe-кристаллической, FeO, Fe_2O_3 , Fe_3O_4 . ТЭМ исследования обнаружили нанокристаллы железа (~ 25 μ m) и агломераты кристаллических оксидов. В случае $Mo(KXT)/\gamma$ - Al_2O_3 , $P\Phi A$ и ЭПР исследования катализатора после реакции показали наличие смешанных фаз оксидов молибдена, что, по-видимому, и обиясняет относительно низкую селективность его по CH_2O и высокое содержание в продуктах CO_2 и H_2O . Последнее предположение было подтверждено дополнительными экспериментами, в которых в качестве активной фазы использовалась смесь MoO_2 и MoO_3 .

Как известно [14], глубина протекания реакции при 700 K на серебре составляет 70%, а выход CH_2O составляет 95%. В наших исследованиях на $Cu(KXT)/\gamma$ - Al_2O_3 конверсия $CH_3OH-85\%$, с селективностью в CH_2O около 95% достигается при температуре на ~200 градусов ниже, чем на серебре. До 460K снижается температура начала реакции.

Глубокое окисление метанола на катализаторах CuO (ком) и CuO (нано) проводилось при атмосферном давлении, для смеси 1,5 *об.%* CH₃OH в воздухе, в температурном интервале 375-623 K. Скорость потока – 480 cm^3/muH ; что соответствовало максимальной конверсии CH₃OH на CuO (ком.)[3]. На CuO(ком) реакция начинается с 453 K. Максимальное превраще-

ние достигается при 600~K – конверсия CH_3OH – 70%. Катализатор CuO(нано) значительно активнее CuO (ком.). Реакция начинается при более низкой температуре – 433K. При 600~K конверсия достигает 80%. Селективность по CO_2 в обоих случаях 100%. В ходе реакции у обоих катализаторов со временем происходит уменьшение каталитической активности, причем на CuO (нано) быстрее. На обычном CuO конверсия CH_3OH через 6~v – 40%, а на CuO нанофазном через 2~v – 40%. ЭПР исследования при комнатной температуре образцов CuO обычного и нанофазного показали, что для одинаковых навесок CuO нанофазный (60~otnoc.~ex.) содержит примерно в 5 раз больше ионов Cu^{2+} , чем CuO обычный (12~otnoc.~ex.). В процессе реакции глубокого окисления метанола на нано-CuO и CuO обычном происходит уменьшение числа парамагнитных ионов Cu^{2+} , из-за чего уменьшается каталитическая активность. $P\Phi A$ исследования на отработанном катализаторе показывают как наличие CuO, так и появление фазы Cu_2O на обоих катализаторах. При этом на нано-CuO количество Cu_2O фазы больше, что свидетельствует о более глубоком восстановлении нано-CuO метанолом, даже в избытке кислорода. Другая причина падения активности CuO связана с отравлением активных центров катализатора продуктами уплотнения [4].

Полученные результаты свидетельствуют о перспективности использования катализаторов, полученных на основе наноразмерных аморфных порошков Cu, Мо и Fe в процессе дегидрирования метанола: растет конверсия CH₃OH, селективность по CH₂O и понижается температура начала реакции. В реакции глубокого окисления метанола наноразмерный CuO активнее обычного.

ԿԱՏԱԼԻԶԱՏՈՐՆԵՐԻ ՄԱՍՆԻԿՆԵՐԻ ՉԱՓԵՐԻ ԵՎ ԱՄՈՐՖ ՎԻՃԱԿԻ ԱԶԴԵՑՈՒԹՅՈՒՆԸ ՄԵԹԱՆՈԼԻ ՓՈԽԱՐԿՄԱՆ ՊՐՅՑԵՍԻ ՎՐԱ

Ռ. Ռ. ԳՐԻԳՈՐՑԱՆ, Լ. Ա. ՎԱՐՏԻԿՑԱՆ, Թ. Ա. ՂԱՐԻԲՑԱՆ, Ս. Լ. ԳՐԻԳՈՐՑԱՆ և Ռ. Թ. ՄԱԼԽԱՍՅԱՆ

Նանոչափ ամորֆ Cu, Mo, Fe պարունակող նյութերը ստացվել են քվանտաքիմիական տեխնոլոգիայով (ք.ք.տ) սենյակային ջերմաստիձանում տատանողական - գրգռված ջրածնի մոլեկուլներով ոչ հավասարակշռային պայմաններում մետաղների օքսիդների վերականգմամբ։ Կոմերցիոն և նանոչափ ամորֆ մետաղների կատալիտիկ ակտիվության համեմատական հետազոտումը կատարվել է մեթանոլի փոխարկման պրոցեսում, 373-623K ջերմաստիձանային միջակայքում։ Ցույց է տրվել, որ կատալիզատորների առկայությամբ, որոնք ստացվել են քվանտաքիմիական տեխնոլոգիայով, Cu(p.p.m), Mo(p.p.m) և Fe(p.p.m) մեթանոլի կոնվերսիան $553\ K$ ջերմաստիձանում հասել է $85,\ 80\$ և 75% - ի, իսկ արդյունավետությունը ըստ ֆորմալդեհիդի համապատասխանաբար կազմել է $95,\ 50\$ և 80%։ Կոմերցիոն Cu և Mo կատալիզատորների առկայությամբ մեթանոլի կոնվերսիան և արդյունավետությունը զգալիորեն փոքր է։ Հաստատված է, որ մեթանոլի խորը օքսիդացման պրոցեսում նանոչափ CuO զգալիորեն ակտիվ է, քան CuO կոմերցիոնը։

THE INFLUENCE OF THE AMORPHISM AND SIZE OF THE CATALYSTS PARTICLES ON THE TRANSFORMATION OF METHANOL

R. R. GRIGORYAN, L. A. VARTIKYAN, T. A. GARIBYAN, S. L. GRIGORYAN and R. T. MALKHASYAN

A.B.Nalbandyan Institute of Chemical Physics NAS RA 5/2 P.Sevak str., Yerevan,0014, Armenia E-mail: tamara@ichph.sci.am

CJSC "Nanoamorf Technology" 3/1 Tevosyan str., Yerevan, 0076, Armenia E-mail: malkhas@aua.am

Nanosized amorphous metal (Cu, Mo, Fe)-containing materials were obtained using the Quantum-Chemical Technology (QCT) reducing metals oxides under noneequilibrium conditions at room temperature with vibrationally excited hydrogen molecules. A comparative analysis of the commercial and nanosized amorphous Me(Cu,Mo,Fe)-QCT was carried out in the process of transforming methanol vapors in the temperature interval of 373-623K. It is shown that on the catalysts, which are obtained on the basis of nanosized amorphous Cu(QCT),Mo(QCT) and Fe(QCT), the conversion of methanol reached 85, 80 and 75% with the selectivity on formaldehyde – 90, 50 and 80% respectively, at temperature of 533 K. On the Cu and Mo commercials the conversion and selectivity are considerably lower. It is determined that nanosized CuO is noticeably more active than CuO commercial in the deep transformation of methanol.

ЛИТЕРАТУРА

- [1] *Григорян Р.Р., Мурадян А.А., ГарибянТ.А., Симонова Л.Г.* // Кинетика и катализ, 1991, т. 32, №4, с. 902.
- [2] *Мурадян А.А., Григорян Р.Р., Манукян Н.С., Гарибян Т.А.* // Химическая физика,1991, т.10, №2, с. 227
- [3] *Гарибян Т.А., Мурадян А.А. Григорян Р.Р., Манукян Т.А.* // Кинетика и катализ, 1993, т.34, №4, с 742
- [4] Саакян Э.Ф., Григорян Р.Р., Мурадян А.А., Гарибян Т.А. // Хим. ж. Армении, 1998, т.51, №3-4, с.110.
- [5] *Гарибян Т.А., Малхасян Р.Т., Григорян Р.Р., Вартикян Л.А., Минасян В.Т., Григорян С.Л.* // Тезисы конференции «Химическая наука Армении на пороге XXI века». Армения, 2000, с.24.
- [6] Malkhasyan R.T,Grigoryan S.L.,Gharibyan T.A., Vartikyan L.A.,Minasyan V.T., Grigoryan R.R. // MRS,Boston,2000, Abstract.-HH 2.3, p. 625.
- [7] Плазмохимические процессы. М., Наука, 1979, 220 с.
- [8] Malkhasyan R.T., Agababyan E.V., Karakhanyan R.K. // Chem. Phys. Reports, 1996, v.15, №10, p.1409.
- [9] Малхасян Р.Т., Мовсесян Г.Л.,Потапов В.К. // Химия высоких энергий,1992, т. 26, №1, с. 3.
- [10] Малхасян Р.Т., Мовсесян Г.Л. // Приборы и техника эксперимента, 1991, №4, с.127.
- [11] *Гарибян Т.А., Минасян В.Т., Вартикян Л.А., Малхасян Р.Т., Григорян С.Л.* // Хим. ж. Армении, 2009, т. 62, №1-2, с. 41.
- [12] Малхасян Р.Т., Агабабян Э.В., Караханян Р.К. // Химическая физика, 1999, т.15, №10, с. 8.
- [13] Malkhasyn R.T., Grigoryan S.L., Gharibyan T.A. Vartikyan L.A., Minasyan V.T., Grigoryan R.R. // Conversion Potential of Armenia and ISTC Programs, Intern. Seminar 2000, Yerevan, October, p.263.
- [14] Катализ в промышленности. М., Мир, 1986, т.2, 290 с.

2U3UUSUUF 2UUCUMESOF@3UU 9FSOF@3OFUUECF U29U3FU U4UGEUFU НАЦИОНАЛЬНАЯ АКАДЕМИЯ НАУК РЕСПУБЛИКИ АРМЕНИЯ

Հшјшиտшնի рիմիшկшն ншնпեи 62, №1-2, 2009 Химический журнал Армении

УДК 541.128.13 + 541.11.127 + 541.459 + 541.49

НИЗКОТЕМПЕРАТУРНЫЙ ХИМИЧЕСКИЙ ПЕРЕНОС СОЕДИНЕНИЙ ЦИНКА С ПОМОЩЬЮ ПАРОВ ВОДЫ

Г. Л. ГРИГОРЯН и А. А. БЕГЛАРЯН

Ереванский государственный университет Армения, 0049, Ереван, ул. А. Манукяна, 1 E-mail: garnikg@ysu.am

Поступило 5 II 2008

Впервые показано, что с помощью паров воды происходит низкотемпературный химический перенос соединений ZnO и ZnS. Процесс изучен в потоке инертного газа при атмосферном давлении. Показано, что перенос наблюдается начиная с комнатной температуры. Кривая температурной зависимости скорости переноса для обоих соединений проходит через максимум. Точка максимума наблюдается при температуре ~340К. Увеличение парциального давления паров воды в интервале от 27 до 600 Па приводит к увеличению скорости переноса, а выше этого давления изменение скорости не наблюдается. Предполагается, что в роли переносчика соединений выступает гидрат соответствующего соединения.

Рис. 4, библ. ссылок 23.

Химические транспортные реакции широко используются в различных областях науки и техники [1-7]. В предыдущих наших исследованиях было показано [8-13], что в присутствии паров пероксида водорода имеет место химический перенос ряда оксидов и солей. Эти процессы по всем характеристикам являются химическими транспортными реакциями с некоторыми преимуществами перед существующими аналогичными процессами [1-7,14]. В частности, они протекают при низких температурах, просты и легко поддаются регулированию. Изучение кинетических закономерностей образования и разложения промежуточного соединения (ПС)—транспортера вещества, показало, что в случае оксидов ПС является пероксосольватом соответствующего оксида. На основании экспериментальных и литературных данных предложен вероятный механизм процесса [12].

В работе [12] показано, что в роли транспортера вещества, кроме пероксида водорода, могут выступать также другие соединения, которые в состоянии образовать координационную связь с молекулами оксидов. В частности, таким соединением является вода. В работах

по переносу соединений цинка парами H₂O₂ было обнаружено, что при прочих одинаковых условиях эксперимента присутствие паров воды в реакционной смеси оказывает двоякое влияние на процесс [15]. Малые количества ускоряют процесс, а большие, наоборот, замедляют его. Причина такого влияния воды связана с образованием на твердой поверхности нанопленки [16], способствующей отрыву молекулы твердого вещества от кристаллической решетки. На основании свойств структуризированной пленки воды было дано объяснение обнаруженному явлению.

Из этих данных невозможно однозначно определить, ограничивается роль воды только образованием пленки с особыми свойствами, или вода в качестве реагента принимает непосредственное участие в процессе переноса вещества. С целью получения ответа на этот вопрос в специальной серии экспериментов в качестве транспортера вещества брали только пары воды. Оказалось, что и в этом случае имеет место химический перенос соединений, правда, со значительно меньшими скоростями, чем в случае пероксида водорода. Малые скорости переноса вещества в случае воды создавали некоторые трудности в определении концентрации ПС. Наряду с этим изучение процесса в широком диапазоне параметров в условиях низких давлений паров воды привелЅ к дополнительным трудностям получения воспроизводимых данных, которые удалось в некоторой степени свести к минимуму при изучении реакции с использованием инертного газа-носителя при атмосферном давлении.

В данной работе в качестве твердых соединений выбрали ZnO и ZnS. Выбор этих соединений обусловлен не только их ценными оптико-электрическими свойствами [17-23], но и тем, что перенос этих соединений парами пероксида водорода изучен достаточно хорошо, и легко провести сравнительный анализ данных по пероксиду и воде.

Экспериментальная часть

Эксперименты проводились на стеклянной проточной установке (рис. 1). Источником паров H_2O служила дистиллированная вода в ампуле 1, которая в ходе эксперимента термостатировалась при определенной температуре. В качестве инертного газа-носителя использовали азот, скорость потока которого составляла $\sim 1~cm^3 \cdot c^{-1}$. Порошки ZnO и ZnS марки «х.ч.» спрессовывались в таблетки $(0.9\times 2.7\times 0.1~cm^3)$ и помещались в реактор 2. Свободный объем реактора в случае целостной таблетки составлял $\sim 2.7~cm^3$, а для той же таблетки, но измельченной на 10 кусков, — примерно $0.25~cm^3$. Время контакта (t_k) для целостной таблетки составляло примерно 2.7~c, а для измельченного образца — $\sim 0.25~c$.

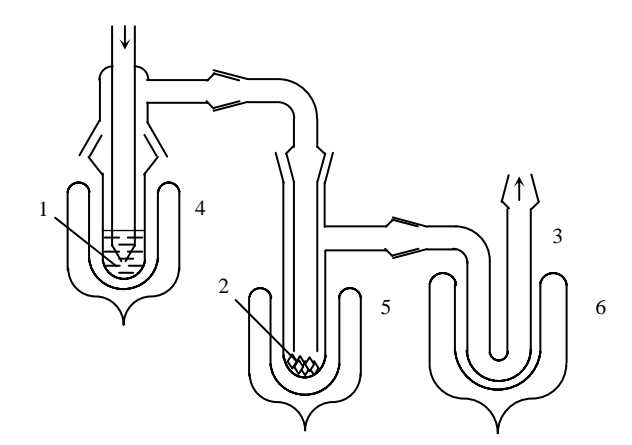


Рис. 1. Схема установки. 1 – ампула с водой, 2 – образец, 3 – U-образный накопитель, 4-6 – сосуды Дъюара.

Необходимость использования измельченной таблетки связана с тем, что в таком состоянии рабочий объем реактора получается меньше и становится возможным изучение процесса при малых значениях времени контакта, обеспечение которого с увеличением скорости потока газа-носителя связано с трудностями.

Проходя через реактор 2, пары H₂O взаимодействуют с ZnO или ZnS и потоком азота направляются в U-образный накопитель 3, помещенный в жидкий азот. После 3-часового накопления накопитель отделяется от системы и производится анализ перенесенного соединения. С помощью атомно-абсорбционного спектрометра "AAS30" определяли количество цинка в полученном растворе, а следовательно, и количество перенесенного в ходе эксперимента вещества. После этого, зная скорость и давление реакционного потока, рассчитывали концентрацию ПС в газовой фазе. Методика анализа цинксодержащих соединений подробно описана в работе [10].

Обсуждение полученных результатов

Изучена зависимость скорости переноса ZnO от парциального давления паров воды при 330 К. Как видно из данных рис. 2, увеличение давления паров H_2O приводит к увеличению скорости переноса только при малых давлениях. Выше 600 Πa увеличение давления паров воды не приводит к увеличению скорости.

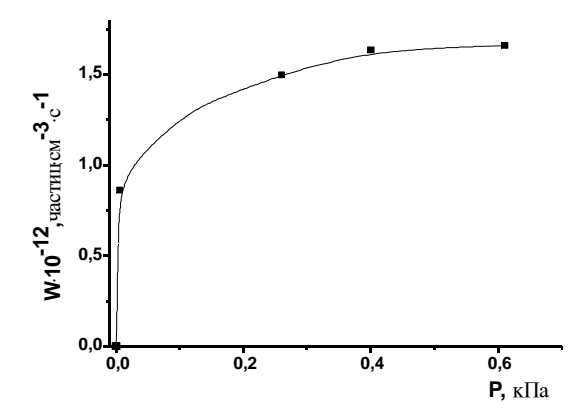


Рис. 2. Зависимость скорости переноса ZnO от давления паров воды при 330 K для измельченного образца ($t_k = 0.25\ c$).

Изучена также температурная зависимость скорости переноса при давлении паров воды 600 *Па.* Как видно из данных рис. 3, кривая температурной зависимости скорости переноса для обоих соединений проходит через максимум, причем скорость переноса ZnO превосходит скорость ZnS. Для обоих соединений скорость переноса больше в случае измельченного образца, т.е. при малых значениях времени контакта. Это связано с конкуренцией процессов генерации и дальнейшего гетерогенного разложения ПС. Скорость переноса соединений можно представить следующим образом:

$$W_{\pi} = W_{\text{ген}} - W_{\text{разл}}$$

где W_{π} – скорость переноса; $W_{\text{ген}}$ и $W_{\text{разл}}$ – скорости генерации и гетерогенного разложения ПС, соответственно.

При малых временах контакта, когда концентрация ПС в газе мала, скорость гетерогенного разложения ($W_{\text{разл}}$) значительно ниже скорости генерации ($W_{\text{ген}}$), в результате скорость переноса соединений (W_{π}) получается больше. По этой причине скорость переноса в случае измельченных образцов получается большой (рис. 3).

Уменьшение скорости переноса после достижения максимального значения наблюдалось также в процессе переноса этих же соединений парами пероксида водорода [11,13]. Правда, в случае пероксида уменьшение скорости после максимума не было таким резким, как это имеет место в случае воды.

Отрицательную температурную зависимость скорости переноса после максимума можно связать с уменьшением активности поверхности, причем дезактивация поверхности необратима. После проведения реакции при температурах выше максимума образец становится не пригодным для повторного использования. Поэтому после проведения реакции при высоких температурах приходилось заменять использованный образец новым. Указанные изменения активности поверхности образца больше в случае ZnS.

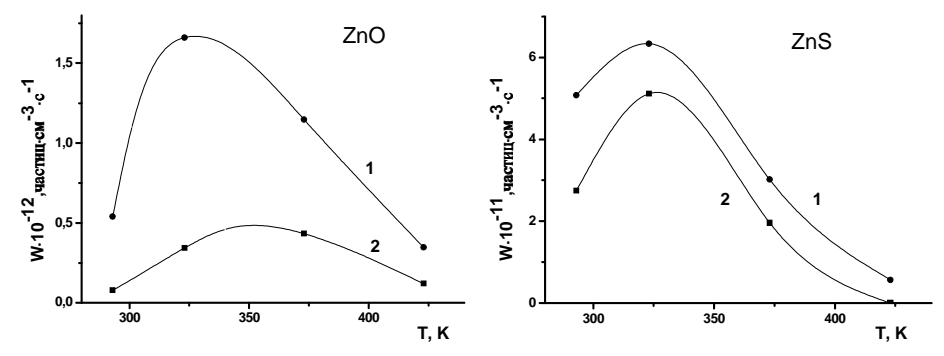


Рис. 3. Температурная зависимость скорости переноса ZnO и ZnS: 1 – измельченный образец ($t_k = 0,25$ c), 2 – целостный образец ($t_k = 2,7$ c).

Как показали исследования микроструктуры поверхности ZnS, в ходе процесса происходят также структурные изменения поверхностного слоя таблетки. На рис.4 представлены изображения микроструктуры поверхности спрессованной таблетки ZnS до и после 15-часового воздействия парами воды. Легко заметить, что поверхность таблетки до реакции шероховата, а после реакции имеет как бы сглаженный вид с разрезанными мелкими (1ч4 μ) зернышками.

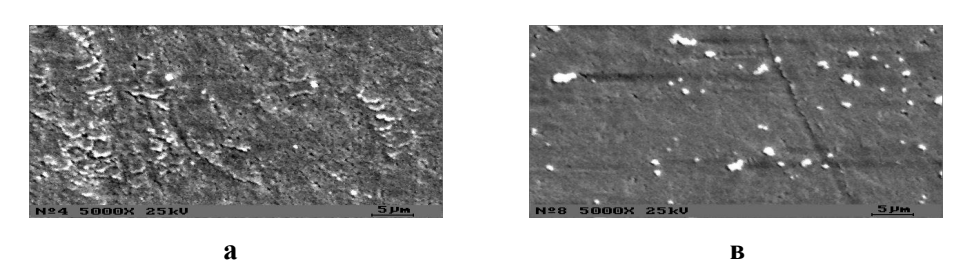


Рис. 4. Микроструктура поверхности таблетки ZnS до (а) и после реакции (в). Время экспозиции таблетки в атмосфере паров воды $-15\,$ ч.

На основании результатов кинетических и термодинамических исследований процесса химического переноса ZnO парами пероксида водорода в работе [12] предложен механизм реакции, где роль ПС приписывается пероксисольватам оксида и пероксида цинка. Анализируя возможные реакционные схемы образования ПС и его природу, предполагаем, что в роли переносчика соединений может выступать также гидрат соответствующего соединения. Результаты настоящего исследования свидетельствуют в пользу такого предположения.

Таким образом, нами впервые показано, что низкотемпературный химический перенос соединений цинка можно осуществлять парами воды. Для выяснения природы ПС и предложения конкретного механизма процесса необходимы дальнейшие исследования.

ՑԻՆԿԻ ՄԻԱՑՈՒԹՅՈՒՆՆԵՐԻ ՑԱԾՐՋԵՐՄԱՍՏԻՃԱՆԱՅԻՆ ՔԻՄԻԱԿԱՆ ՏԵՂԱՓՈՓՈՒՈՒԹՅՈՒՆԸ ՋՐԻ ԳՈԼՈՐՇՈՒ ՄԻՋՈՅՈՎ

Գ. Լ. ԳՐԻԳՈՐՅԱՆ և Հ. Ա. ԲԵԳԼԱՐՅԱՆ

Առաջին անգամ ցույց է տրվել, որ ջրի գոլորշու միջոցով տեղի է ունենում ZnO-ի և ZnS-ի ցածրջերմաստիձանային քիմիական տեղափոխություն։ Պրոցեսն ուսումնասիրվել է մթնոլորտային ձնշման պայմաններում` իներտ գազի միջավայրում։ Ցույց է տրվել, որ տեղափոխություն տեղի է ունենում սկսած սենյակային ջերմաստիձանից։ Երկու միացությունների դեպքում էլ նյութի տեղափոխության արագության ջերմաստիձանային կախման կորն անցնում է մաքսիմումով։ Մաքսիմումի կետը համապատասխանում է ~340Կ ջերմաստիձանին։ Ջրի պարցիալ ձնշման մեծացումը 27-ից մինչն 600 Պա բերում է տեղափոխման արագության մեծացմանը, իսկ դրանից մեծ ձնշումների դեպքում արագության փոփոխություն չի նկատվում։

LOW TEMPERATURE CHEMICAL TRANSPORTATION OF ZINC COMPOUNDS BY MEANS OF WATER VAPORS

G. L. GRIGORYAN and H. A. BEGLARYAN

Yerevan State University

1, A. Manoukyan str., Yerevan, 0049, Armenia
E-mail: garnikg@ysu.am

For the first time it was shown that with the help of water vapors a low-temperature chemical transportation of ZnO and ZnS compounds takes place. The process was investigated at atmospheric pressure in an inert gas. It is shown, that transportation is observed starting from the room temperature. The temperature dependence curve of transportation rate for both compounds passes through the maximum. The maximum point is reached at temperature \sim 340K. Increase in partial pressure of water in the interval of 27 to 600 Pa results in the increase of transportation rate, and if above that pressure - no changes in the rate are observed.

Analyzing the possible schemes of intermediate compound (IC) formation – material carrier, it is assumed, that as an IC a hydrate of the corresponding compound can be used. In case the transportation of these compounds is carried out by hydrogen peroxide vapors, the IC is the peroxysolvate of zinc oxide.

ЛИТЕРАТУРА

- [1] Ntep J.M., Hassani S.S., Lusson A., Carli A.T., Ballutard D., Didier G., Triboulet R. // J. Crystal Growth, 1999, v. 207, issues 1-2, p. 30.
- [2] Mikami M., Sato T., Wang J., Masa Y., Isshiki M. // J. of Crystal Growth, 2006, v. 286, p. 213.
- [3] Mikami M., Eto T., Wang J., Masa Y., Isshiki M. // J. of Crystal Growth, 2005, v. 276, p. 389.
- [4] Mikami M., Hong S.H., Sato T., Abe S., Wang J., Masumoto K., Masa Y., Isshiki M. // J. of Crystal Growth, 2007, v. 304, p. 37.
- [5] Pfisterer D., Hofmann D.M., Sann J., Meyer B.K., Tena-Zaera R., Munoz-Sanjose V., Frank Th., Pensl G. // Physica B: Condensed Matter, 2006, v. 376-377, p. 767.

[6]

- [7] Sebastian P.J., Narvaez J., Sanchez A. //J. Phys. D: Appl. Phys., 1996, 29, p. 1356
- [8] Jiang J., Ozaki T., Machida K., Adachi G. // J. Alloys and Compounds, 1998, v. 264, №1,p. 157.
- [9] Абрамян А.Н., Григорян Г.Л., Налбандян А.Б. // ДАН СССР, 1986, т.289, №4, с.896.
- [10] *Григорян Г.Л., Абрамян А.Н., Саркисян Н.Я., Григорян Г.С.* // Хим. ж. Армении, 1998, т.51, № 3-4, с.240.
- [11] *Тадевосян Л.Г., Бегларян А.А., Григорян Г.С., Григорян Г.Л.* // Информационные технологии и управление, 2006, № 1, с.152.
- [12] Бегларян А.А., Оганнисян Г.Р., Григорян Г.Л. // Хим.ж.Армении, 2007, т.60, № 3, с.375.
- [13] Григорян Г.Л., Гукасян П.С., Мартирян А.И., Бегларян А.А., Григорян Г.С. // ЖФХ, 2007, № 8, с.1379. [Grigoryan G.L., Gukasyan P.S., Martiryan A.I., Beglaryan A.A. and Grigoryan G.S. // Russ. J. Phys. Chem. A, 2007, v. 81, No. 8, p. 1212.]
- [14] Григорян Г.Л. // Хим. ж. Армении, 2007, т.60, № 4, с.636.
- [15] Шефер Г. Химические транспортные реакции. М., Мир, 1964, 189 с.
- [16] *Григорян Г.Л., Тадевосян Л.Г., Гукасян П.С.* // ЖФХ, 2006, № 8, с.2241. [Grigoryan G.L., Tadevosyan L.G. and Gukasyan P.S. // Russ. J. Phys. Chem., 2006, v. 80, No. 12, p. 1999.]
- [17] Бадалян Г.Г., Григорян Г.Л. // Химическая физика, 2006, т.25, с.27.
- [18] Hong S.S., Joo T.H., Park II W., Jun Y.H., Yi G.C. // Appl. Phys.Lett., 2003, v. 83, p. 4157.
- [19] Thareja R.K., Mitra A. // Appl. Phys. B: Lasers Opt., 2000, v. 71, p. 181.
- [20] Monticone S., Tufeu R., Kanaev A.V. // J. Phys. Chem., 1998, v. B 102, p. 2854.
- [21] Dong L.F., Cui Z.L., Zhang Z.K. // Nanostruct. Mater., 1997, v. 8, p. 815.
- [22] Park S., Lee J.C., Lee D. W., Lee J.H. // J. Mater. Sci., 2003, v. 38, p. 4493.
- [23] Boyle D.S., Govender K., O'Brien P. // Thin Solid Films, 2003, v. 431, p. 483.
- [24] Peng W.Q., Qu S.C., Cong G.W., Zhang X.Q., Wang Z.G. // J. of Crystal Growth, 2005, v. 282, №1-2, p. 179

ՀԱՅԱՍՏԱՆԻ ՀԱՆՐԱՊԵՏՈՒԹՅԱՆ ԳԻՏՈՒԹՅՈՒՆՆԵՐԻ ԱԶԳԱՅԻՆ ԱԿԱԴԵՄԻԱ НАЦИОНАЛЬНАЯ АКАДЕМИЯ НАУК РЕСПУБЛИКИ АРМЕНИЯ

Հшјшиտшնի рիմիшկшն ншնդես 62, №1-2, 2009 Химический журнал Армении

УДК 541.183:543.545.422

СИНТЕЗ И ИК-СПЕКТРОСКОПИЧЕСКОЕ ИССЛЕДОВАНИЕ СИСТЕМЫ Pt/SiO₂ В ПРОЦЕССЕ ГИДРОГЕНОЛИЗА Н-ГЕПТАНА

Г. Г. ГРИГОРЯНа, Г. Р. ОГАННИСЯНа и Н. О. ЗУЛУМЯН6

^а Ереванский государственный университет Армения, 0049, Ереван, ул. А. Манукяна, 1 Тел. (010) 57-33-34 E-mail:Catalysis@ysu.am

⁶ Институт общей и неорганической химии им. М.Г. Манвеляна НАН Республики Армения Армения, 0049, Ереван, ул. Аргутяна, II пер., дом 10

Поступило 24 XII 2008

Синтезированы Pt/SiO2 катализаторы и исследована их каталитическая активность в процессе гидрогенолиза *п*-гептана. Показано, что катализатор, синтезированный на основе силикагеля, полученного золь-гель методом из серпентинита, обработанного соляной кислотой, проявляет более высокую активность по сравнению с силикагелями, полученными из жидкого стекла и серпентинита, обработанного серной кислотой, а также высокую селективность в процессе изомеризации *п*-гептана (~90%). ИК-спектры показали, что на поверхности катализатора интермедиаты образуют водородные связи с поверхностными гидроксильными группами. При повышении температуры интермедиаты превращаются в конечные продукты и удаляются с поверхности. Использование водорода в качестве газа-носителя предотвращает образование разновидностей кокса на поверхности катализаторов.

Рис. 4, библ. ссылок 23.

Промышленная обработка нефти связана в основном с каталитическим крекингом и реформингом, которые осуществляются на бифункциональных катализаторах [1]. При изготовлении этих катализаторов металлы наносятся на кислотные поверхности цеолитов, Al_2O_3 , SiO_2 или алюмосиликатов [2, 3]. Кислотные свойства катализатора обеспечивают изомеризацию, а металлические участки (Pt, Pd и т.д.) – дегидрирование алканов и гидрирование алкенов [4-6].

В частности, широкое применение кремнезема в катализе обусловлено, прежде всего, его развитой поверхностью, пористой структурой. Механизм образования каркаса кремнезема подробно описан в работах [7, 8], в которых структурные характеристики поверхности крем-

незема связывают как со способом его получения, так и с природой исходного вещества, из которого получают кремнезем.

В последние годы нами были получены силикагели из серпентинитов золь-гель методом и использованы в катализе [9]. В настоящей работе синтезированы каталитические системы Pt/SiO₂, включая силикагели, полученные из серпентинитов с использованием серной и соляной кислот [10], и изучена их каталитическая активность в превращениях *п*-гептана. Для выяснения участия силанольных групп исследуемых силикагелей в конверсии *п*-гептана, а также роли водорода в предотвращении пассивации катализатора ИК-спектроскопическим методом исследованы адсорбция реакционной смеси *п*-гептан/H₂, *п*-гептан/He на поверхностях катализаторов. Выбор *п*-гептана был обусловлен тем, что его гидрокрекинг протекает намного легче, чем гидрокрекинг *п*-пентана или *п*-гексана, поскольку в этом процессе интермедиат - карбониум-ион, является более стабильным [11-13]. С другой стороны, каталитические превращения углеводородов часто используются для изучения активных центров и структуры катализаторов [7, 14].

Для исследования и объяснения механизма протекающих реакций на поверхности катализаторов часто используют спектроскопические методы, в частности, ИК-спектроскопию [15-17]. Этим и объясняется выбор FT-IR-спектроскопического метода для исследования катализаторов в данной работе.

Экспериментальная часть

 Pt/SiO_2 катализаторы были приготовлены путем многократного пропитывания силикагелей раствором H_2PtCl_6 марки "ч.д.а.", содержащим $1.885\ r$ Pt в $100\ mn$ раствора. Объем раствора подбирали таким образом, чтобы его количество было достаточным для равномерного смачивания носителя, а конечное количество Pt составляло 0.5% от веса носителя. После каждого смачивания образец высушивали на воздухе при $353\ K$. С достижением необходимого количества металла на поверхности образцы нагревали от $353\ do$ $573\ K$ со скоростью $2^\circ/muh$, а затем держали при максимальной температуре в течение $1\ u$ (был применен медленный нагрев, чтобы избежать скопления и спекания Pt и получить хорошую дисперсию частиц на поверхности SiO_2). Перед использованием образцы были восстановлены в потоке водорода ($50\ cm^3/muh$) в течение $3\ u$ при $573\ K$.

Силикагели были получены из серпентинитов Шоржинского месторождения путем термокислотной обработки последних. Отметим, что силикагель, полученный солянокислой обработкой серпентинита, имеет удельную поверхность в 464 M^2/r , а сернокислой обработкой - 536 M^2/r .

Каталитическое превращение n-гептана осуществлено на контактной проточной каталитической установке с газохроматографическим анализом продуктов реакции. Газ-носитель – водород, проходя через барботер с жидким n-гептаном, находящимся в 273 K (тающий лед), насыщался его парами и поступал в кварцевый U-образный реактор. Специальным опытом было показано, что это соотношение не меняется, т.е. концентрация n-гептана остается

постоянной в исследуемом интервале объемных скоростей газа-носителя (20-100 $cm^3 \cdot muH^1$), при этом объем катализатора составлял 2-3 cm^3 .

Для ИК-спектроскопического исследования была использована специальная кварцевая кювета с окошками из NaCl. Образец катализатора прессовали в таблетку под давлением 250 $\kappa r \cdot c m^2$, прикрепляли к кварцевой подложке и затем перемещали в ИК кювету. Термовакуумную обработку образца проводили на одном конце кюветы, а для снятия ИК-спектров образец перемещали у окошка из NaCl. Перед измерением для восстановления катализатора образец обрабатывали при 773 K в атмосфере H_2 в течение 1 u. После обработки образец охлаждали до желаемой температуры (523-723 u) и подавали реакционную смесь u-гептан u-гелтан u-гелта

В работе использовали ИК-спектрометр "Nicolet / NEXUS" с Фурье-преобразованием с CsI светоделителем. Спектры были записаны в области частот 4000-1300 cm^1 с разрешением 8 cm^1 с числом накоплений 32. Газохроматографический анализ n-гептана и продуктов реакции осуществляли на приборе ГЖХ марки "ЛХМ-8" на колонках с "Squalane", нанесенным на Chromosorb P (размер колонки 3х6000 mm), и динонилфталатом, нанесенным на целит-545 (размер колонки 3х6000 mm), при 353 K. Скорость газа-носителя составляла 30 cm^3 · mun^4 1.

Обсуждение результатов

На носителях без активной фазы превращение n-гептана было незначительно даже при высоких температурах. Нанесение Pt на поверхность носителей приводит к увеличению активности катализаторов, и конверсия начинается уже при температуре 448 K (рис. 1). Дальнейшее увеличение температуры приводит к увеличению конверсии n-гептана, но начиная с 543-553 K уменьшается, что, вероятно, связано с коксованием поверхности, приводящим к дезактивации катализатора.

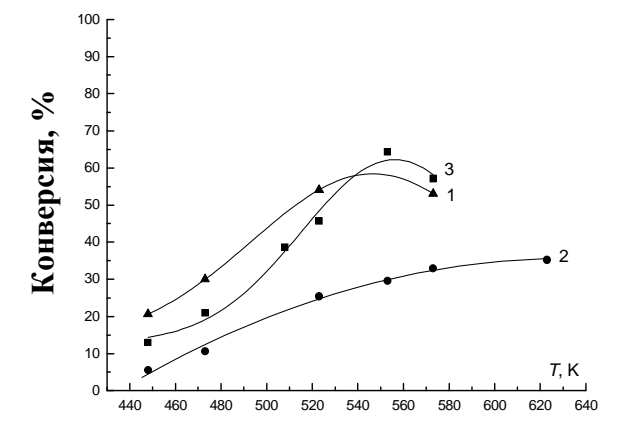


Рис. 1. Зависимость конверсии *н*-гептана на Pt/SiO_2 -катализаторах при времени контакта (=3 c. $1(SiO_2(I), 2(SiO_2(II), 3(SiO_2(III))$.

При низких температурах катализатор, синтезированный из серпентинита с использованием HCl, является активным, и конверсия при 543~K составляет $\sim 60\%$ (рис. 1, кр.1). Катализатор, синтезированный на основе растворимых силикатовых солей, проявляет среднюю активность, а при высоких температурах его активность превышает активность катализатора $Pt/SiO_2(I)$, и при 553~K конверсия достигает $\sim 65\%$ (рис. 1, кр. 3). Самую низкую активность проявляет катализатор, синтезированный из серпентинита с использованием H_2SO_4 (рис. 1, кр. 2).

В результате превращения n-гептана на всех образцах наблюдаются продукты изомеризации, а также в малых количествах продукты крекинга — ΣC_3 , ΣC_4 . При низких температурах катализаторы селективны к изомеризации, а при 473 К селективность проходит через максимум (рис. 2). Увеличение температуры приводит к потере селективности к изомеризации и увеличению количества продуктов расщепления. В отличие от селективности к изомеризации, при высоких температурах наблюдаются только продукты расщепления и гидрогенолиза (C_1 , C_2 , C_3) (рис. 2).

На катализаторе $Pt/SiO_2(III)$ была также исследована конверсия n-гептана в зависимости от времени контакта реагента с катализатором при 473 K. На рис. 3 приведены зависимости конверсии, селективности по крекингу и изомеризации от времени контакта. Как видно из рис. 3, кривые конверсии и селективности по крекингу проходят через максимум при τ =3 c, а селективность к изомеризации монотонно снижается с повышением времени контакта.

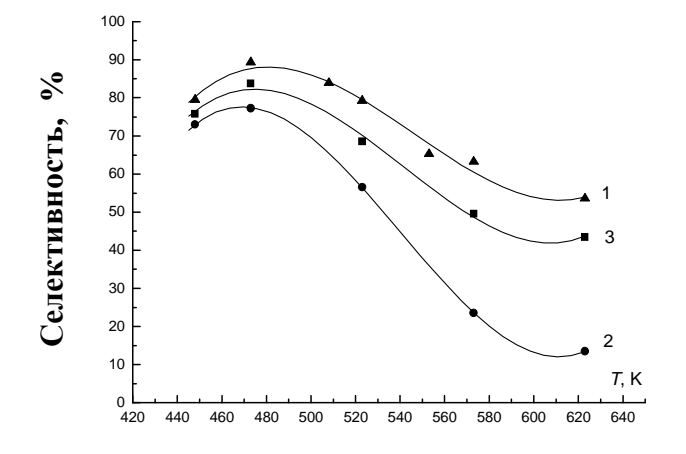


Рис. 2. Селективность катализаторов к изомеризации n-гептана: $1(SiO_2 (II), 2(SiO_2 (III), 3(SiO_2 (III)).$

Это можно объяснить тем, что при малых временах контакта продукты реакции успевают десорбироваться с поверхности катализатора. При больших временах контакта происходит накопление на поверхности катализатора молекул интермедиатов - как продуктов реакции, так и молекул непрореагировавшего n-гептана, в результате чего происходит образование кокса и пассивация катализатора.

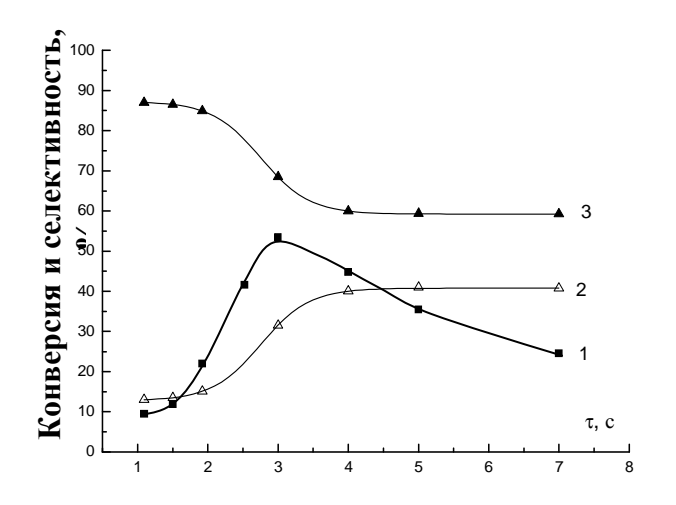


Рис. 3. Зависимости конверсии и селективности превращения n-гептана на катализаторе Pt/SiO_2 (III) от времени контакта при 523~K: 1(конверсия, 2(селективность по крекингу, 3(селективность к изомеризации n-гептана.

Для выяснения механизма изомеризации, а также роли H_2 в гидрогенолизе были проведены ИК-адсорбционные исследования реакционной смеси n-гептан/ H_2 и n-гептан/He при разных температурах (373-573 K), приближенные к условиям протекания реакции, что позволило сравнить полученные нами данные с данными, полученными "in situ" ИК-измерениями в процессе изомеризации n-гептана на pt/p-гептана p-гептана p-гептан

На рис. 4(A) приведены ИК-спектры катализатора Pt/SiO_2 , полученные после термова-куумной обработки при 593~K.

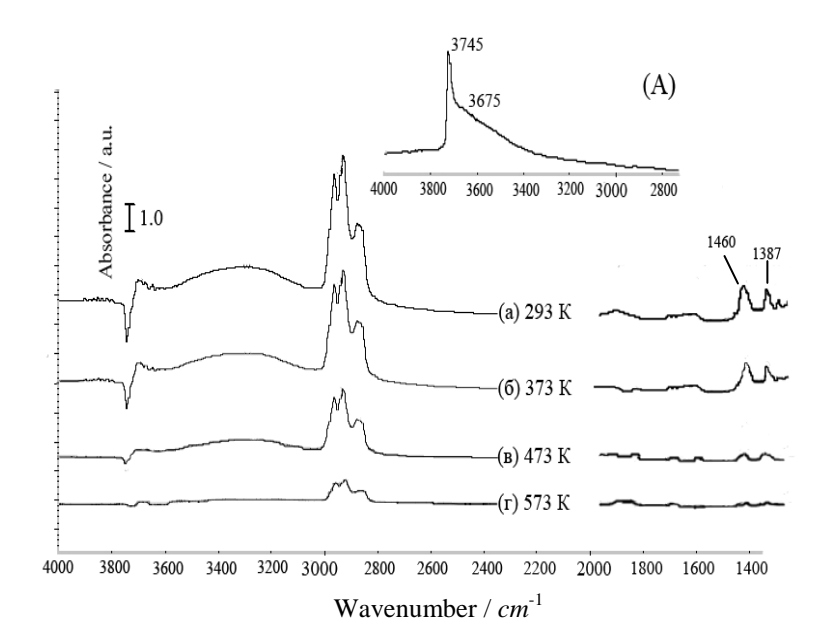
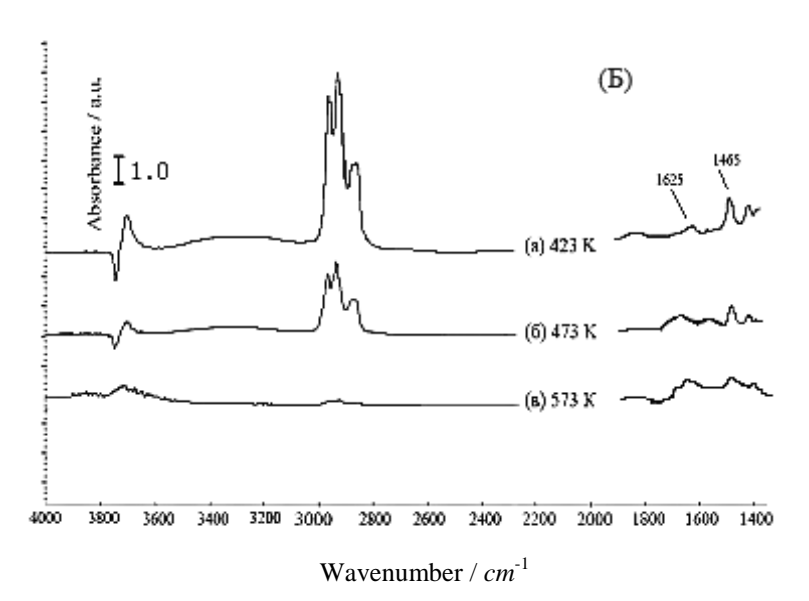


Рис. 4. Сравнение ИК-спектров *п*-гептана, адсорбирован ного катализаторе Pt/SiO₂: (A) Н2, в (а) 293, (б) 373, (в) 473, (г) 573 К, и (В) Не, в (а) 423, (б) 473 и (в) 573 K.



Вставка в рис. 4(A) показывает ИК-спектр катализатора после термовакуумной обработки при 593 K. Отличительные спектры получены, вычитая соответствующий спектр силикагеля в реакционных температурах.

В диапазоне 4000-3400 cm^1 наблюдается широкая полоса поглощения (п.п.) валентных колебаний гидроксильных групп. Острая п.п. с максимумом 3745 cm^1 относится к свободным поверхностным ОН-группам силикагеля. Широкая п.п. с максимумом 3675 cm^1 относится к ассоциированным активным гидроксильным группам, имеющим кислотный характер [18].

Адсорбция реакционной смеси n-гептан/ H_2 на Pt/SiO_2 приводит к появлению на поверхности катализатора адсорбированных форм молекул интермедиатов n-гептана и продуктов реакции (рис. 4 (A)).

Отрицательные полосы гидроксильных групп при 3740 cm^1 указывают на участие этих гидроксильных групп в образовании водородных связей. Это также подтверждается тем, что в спектре в области ассоциированных групп наблюдается широкая п.п. водородосвязанных ОН-групп с максимумом 3500 cm^1 [19].

В области 2800-3000 cm^1 в спектре наблюдаются интенсивные полосы поглощения валентных колебаний С-Н связи, а в области деформационных колебаний наблюдаются не очень интенсивные п.п. с максимумами 1460 и 1387 cm^1 , которые, по данным [20], относятся к δ сн в СН₃- и СН₂- группах.

Увеличение температуры приводит к восстановлению отрицательного пика валентных колебаний гидроксильных групп, исчезновению широкой п.п. при $3500\ cm^1$, а также п.п. валентных и деформационных колебаний С-Н связей. Это означает, что повышение температуры приводит к удалению с поверхности водородосвязанных молекул интермедиатов и продуктов реакции (рис. 4(A)). После вакуумирования ИК-кюветы при $573\ K$ на ИК-спектрах исчезает отрицательный пик и остаются незначительные следы валентных колебаний С-Н связей. Эти данные указывают на полное восстановление поверхности катализатора. В этом большую роль играет H_2 , который, гидрируя ненасыщенные углеводороды, предотвращает коксообразование на поверхности.

Из приведенных данных можно предположить следующий механизм реакции. На первом этапе происходит дегидрирование *п*-гептана на металлических центрах с образованием олефинов [21, 22]. Образующиеся олефины адсорбируются на кислотных гидроксильных группах поверхности, образуя водородосвязанные поверхностные соединения, которые в дальнейшем образуют карбониум-ион. Это можно представить следующим образом:

$$C_{7}H_{16} \longrightarrow + H_{2}$$

$$R-C=C-H \longrightarrow R-C-C-C-H$$

$$O-H$$

$$Si$$

Дальнейшая изомеризация с участием карбоний-катиона происходит по механизму, описанному в работах [21, 22].

При замене H_2 инертным газом He характерный ИК-спектр в области валентных колебаний гидроксильных групп почти не меняется. В области деформационных колебаний С-H связи наблюдаются новые полосы в области $1600\ cm^1$, которые, по данным [23], относятся к валентным колебанием С=С связи. Увеличение температуры приводит к образованию новых п.п. в области $1640\text{-}1700\ cm^1$. Эти данные указывают на образование кокса на поверхности катализатора. После адсорбции реакционной смеси n-гептан/ H_2 поверхность катализатора полностью восстанавливается при обработке кислородом в течение $1\ v$ при $1000\ v$ 0 гептан/ $1000\ v$ 1 при $1000\ v$ 1 гептан/ $1000\ v$ 1 при $1000\ v$ 1 геце остаются п.п. $1000\ v$ 1 геце остаются п.п. $1000\ v$ 1 геце остаются к коксу.

Эти данные указывают на то, что присутствие Н₂ предотвращает коксообразование на поверхности катализатора, а образующиеся олефины разного строения гидрируются и легко удаляются с поверхности. Оставшееся незначительное количество олигомеров полностью удаляется при обработке кислородом при низких температурах.

Из приведенных данных можно заключить, что синтезированный катализатор Pt/SiO₂ на основе силикагелей, полученных из серпентинитов, проявляет высокую активность в процессе гидрогенолиза *п*-гептана и высокую селективность (до 80-90%, в процессе изомеризации.

ИК-адсорбционные исследования реакционной смеси (*п*-гептан/H₂ и/или He) показали, что на поверхностных ОН-группах адсорбируются интермедиаты (олефинов) с образованием водородных связей. Образовавшиеся продукты изомеризации и крекинга указывают на кислотный характер поверхностных гидроксильных групп.

Присутствие H₂ эффективно предотвращает формирование кокса на поверхности катализатора в процессе реакции.

Pt/SiO₂ ՀԱՄԱԿԱՐԳԻ ՍԻՆԹԵՁԸ ԵՎ ԻԿ ՍՊԵԿՏՐԱՉԱՓԱԿԱՆ ՈւՍՈւՄՆԱՍԻՐՈւԹՅՈւՆԸ Ն-ՀԵՊՏԱՆԻ ՀԻԴՐՈԳԵՆՈԼԻԶԻ ՊՐՈՑԵՍՈւՄ

Գ. Գ. ԳՐԻԳՈՐՑԱՆ, Գ. Ռ. ՀՈՎՀԱՆՆԻՍՑԱՆ և Ն. Հ. ԶՈՒԼՈՒՄՑԱՆ

Մինթեզվել են Pt/SiO² կատալիզատորներ և ուսումնասիրվել է նրանց կատալիտիկ ակտիվությունը *ն*-հեպտանի հիդրոգենոլիզի պրոցեսում։ Ցույց է տվել, որ սերպենտինիտից զոլ-ժել մեթոդով աղաթթվային մշակմամբ ստացված սիլիկաժելի հիման վրա սինթեզված կատալիզատորը ցուցաբերում է ավելի բարձր ակտիվություն համեմատած հեղուկ ապակուց և սերպենտինիտից ծծմբաթթվային մշակմամբ ստացված սիլիկաժելերի, ինչպես նաև բարձր ընտրողականություն *ն*-հեպտանի իզոմերման պրոցեսում (~90%)։ ԻԿ-սպեկտրները ցույց են տվել, որ կատալիզատորի մակերևույթին միջանկյալ նյութերը առաջացնում են ջրածնական կապեր մակերևութային հիդրօքսիլ խմբերի հետ։ Ջերմաստիձանի բարձրացման դեպքում միջանկյալ նյութերը վերածվում են վերջանյութերի և հեռանում մակերևույթից։ Որպես կրող-գազ ջրածնի օգտագործումը արգելակում է կոքսային տարատեսակների առաջացումը կատալիզատորների մակերևույթին։

SYNTHESIS AND IR SPECTROSCOPIC STUDY OF Pt/SiO₂ SYSTEM IN THE PROCESS OF HYDROGENOLYSIS OF *n*-HEPTANE

G. G. GRIGORYAN^a, G. R. HOVHANNISYAN^a and N. H. ZULUMYAN^b

^a Yerevan State University 1, A. Manukyan str., Yerevan, 0049, Armenia Ph. (010) 57-33-34 E-mail:Catalysis@ysu.am

b M.G. Manvelyan Institute of the General and Inorganic Chemistry NAS RA, Bld. 10, II lanes, Argutyan str., Yerevan, 0051, Armenia.

 Pt/SiO_2 catalysts were synthesized and their catalytic activity in hydrogenolysis process of n—heptane was investigated. It has been shown that the silica based catalysts obtained from serpentinite treated by HCl (sol-gel method) exhibit higher activity in comparison with silica obtained from liquid glass and silica obtained from serpentinite treated by H_2SO_4 . These catalysts possess higher selectivity in isomerization process of n—heptanes (~90%). IR-spectra showed that on the surface of the catalysts the intermediates form hydrogen bonds with surface hydroxyl groups. The temperature increase results in the transformation of intermediates to products and their removal from the surface. Usage of hydrogen as a carrier-gas prevents the formation of coke species on the surface of catalysts.

ЛИТЕРАТУРА

- [1] Abd El-Wahed M.G., El-Khatib S.A., Mohamed L.Kh., El-Sadaany S.A. // Arabian J. Chem., 2008, v.1, p. 47.
- [2] Zhang W., Smirniotis P.G. // Appl. Catal. A:, 1998, v.168, p.113.
- [3] Armaroli T., Simon L.J., Digne M., Montanari T., Bevilacqua M., Valtchev V., Patarin J., Busca G. // Appl. Catal. A:, 2006, v.306, p.78.
- [4] Smirniotis P.G., Ruckenstein E. // Appl. Catal. A:, 1994, v.117, p.75.
- [5] Smirniotis P.G., Ruckenstein E. // Catal. Lett., 1994, v.25, p.351.
- [6] Degnan T.F., Kennedy C.R. // AIChE J., 2004, v.39, p.607.
- [7] Лисичкина Г.В. Химия привитых поверхностных соединений. М., Физмат. лит., 2003, 590 с.
- [8] Chung Ts.-Wang, Yeh Tien-Sheng, Thomas C.-K. Yang // J. of Non Crystalline Solids, 2001, v.279, p.145.
- [9] Зулумян Н.О., Исаакян А.Р., Григорян Г.Г., Оганнисян Г.Р. / в кн: XVIII Менделеевский съезд по общей и прикладной химии. Москва, 2007, с. 263.
- [10] Зулумян Н.О. // Информационные технологии и управление, 2006, т. 2-2, с.96.
- [11] Swanadham N.V., Muralidhar G., Rao T.S.R.P. // J. Mol. Catal. A: Chem., 2004, v.223, p.269.
- [12] Wang Z.B., Kamo A., Yoneda T., Komatsu T., Yashima T. // Appl. Catal. A, 1997, v.159, p.119.
- [13] Guisnet M., Alvarez F., Lannetto G.G., Perot G. // Catal. Today, 1987, v.1, p.415.
- [14] Juszczyk W., Lomot D., Karpinski Z. // Catal. Lett., 1995, v.31, p.37.
- [15] Alexeev O., Kim D.-W., Graham G.W., Shelef M., Gates B.C. // J. Catal., 1999, v.185, p.170.
- [16] Ryczkowski J. // Catal. Today, 2001, v.68, p.263.
- [17] Kondo J.N., Yang Sh., Zhu Q., Inagaki S., Domen K. // J. Catal., 2007, v.248, p.53.
- [18] Лыгин В.И. // ЖОХ, 2001, вып. 9, т. 71, с.1448 [Russ. J. Gen. Chem., 2001, v. 71, р.1368].

- [19] Mirth G., Cejka J., Lercher J.A. // J. Catal., 1993, v.139, p.24.
- [20] Meunier F.C., Domokos L., Seshan K., Lercher J.A. // J. Catal., 2002, v.211, p.366.
- [21] Okuhara T. // J. Japan Petroleum Inst., 2004, v.47, p.1.
- [22] Chu H.Y., Rosynek M.P., Lunsford J.H. // J. Catal., 1998, v.178, p.352.
- [23] Fottinger K., Kinger G., Vinek H. // Catal. Lett., 2003, v.85, p.117.

ՀԱՅԱՍՏԱՆԻ ՀԱՆՐԱՊԵՏՈՒԹՅԱՆ ԳԻՏՈՒԹՅՈՒՆՆԵՐԻ ԱԶԳԱՅԻՆ ԱԿԱԴԵՄԻԱ НАЦИОНАЛЬНАЯ АКАДЕМИЯ НАУК РЕСПУБЛИКИ АРМЕНИЯ

Հшјшиտшնի рիմիшկшն ншићи 62, №1-2, 2009 Химический журнал Армении

НЕОРГАНИЧЕСКАЯ ХИМИЯ

УДК 553.677.546.16:546.286.46.54-114

УЛЬТРАТОНКИЕ ТЕРМОСТАБИЛЬНЫЕ СЛОИСТЫЕ ФИЛЛОСИЛИКАТЫ ИЗ СИНТЕТИЧЕСКОГО ДИГИДРАТА СИЛИКАТА МАГНИЯ

Л. А. ХАЧАТРЯН

Институт общей и неорганической химии им. М.Г. Манвеляна НАН Республики Армения Армения, 0051, Ереван, ул. Аргутян II пер., дом 10 Факс: (374-10) 231275 E-mail: lidakhachat@ yahoo.com

Поступило 13 XI 2008

Обобщены результаты экспериментальных исследований по синтезу ультратонких термостабильных слоистых филлосиликатов — фтортетракремнистых слюд составов: Na-фтортениолита и Na-четырекремнефтористой из синтетического дигидрата силиката магния (ДГСМ, MgO.SiO2.2H2O) в пирогенных условиях из расплава. Для этого исследованы реакционные смеси ДГСМ - Na2SiF6 — LiF, ДГСМ - Na2SiF6 - MgF2, ДГСМ - Na2SiF6 - NaF и ДГСМ - Na2SiF6 — NaCl, составы которых близки к стехиометрии слюд Na-фтортениолита (NaMg2Li[Si4O10]F2) и Na-четырекремнефтористой (NaMg2.5[Si4O10]F2) в интервале температур $1080-1225\,^{\circ}C$.

Рис. 3, табл. 2, библ. ссылок 34.

Слоистые силикаты из группы слюд обладают ценными в практическом отношении физико-химическими и техническими характеристиками. Основным параметром оценки качества слюды является характеристическое отношение диаметра частицы к ее толщине. Чем оно выше, тем лучше свойства материалов на основе слюд. Существующие способы механической, механо-, термо-, электрохимической, гидротермальной дезинтеграции (расщепления) кристаллов по плоскости совершенной спайности позволяют получить частицы толщиной $^{\sim}1-5$ мкм [1-3]. Для более широкого применения и удовлетворения современных требований к слюдосодержащим материалам необходимо получать слюды в виде ультратонких частиц (толщиной $^{\sim}1$ мкм). В связи с этим возрос интерес к набухающим

(расширяющимся) триокдаэдрическим 2:1 термостабильным слоистым филлосиликатам, в том числе и фтортетракремнистым слюдам (ФТКС) с типовой кристаллохимической формулой $X_{0,5-1}Y_{2\cdot3}[Z_4O_{10}](OH,F)_2$, где X – крупные катионы межслоевого пространства (Na^+ , Li^+ , K^+ , Ca^{2+} , Cs^+ и др.), Y – катионы октаэдрической сетки (Mg^{2+} , Li^+ , Fe^{2+} , Fe^{3+} , Al^{3+} и др.), Z – катионы тетраэдрической сетки (Si $^{4+}$, Al $^{3+}$, B $^{3+}$, Ge $^{4+}$ и др.). Отличительной особенностью этих расширяющихся филлосиликатов, в том числе и ФТКС составов Na-фтортениолита (NaMg2Li[Si4O10]F2) и Na-четырекремнефтористой слюды (NaMg2.5[Si4O10]F2), является их способность при гидратации легко расщепляться на ультратонкие частицы, способные образовать с водой стабильный и однородный золь. В этом состоянии ФТКС обладают многофункциональными, необычными свойствами и рассматриваются как перспективный класс материалов для многих отраслей современного материаловедения, где их используют и могут использовать в качестве наполнителей в полимерных и кермических композитах (в виде керамических эластичных пластинок, теплостойких фильтров, теплообменного элемента, неорганической бумаги, картона, пленки, волокна и т.п.) с отличными электро- и теплоизоляционными, влаго-, химически-, термо-, огнестойкими свойствами; различных И покрытый, смазочных невоспламеняющихся строительных материалов; высокотемпературных катализаторов и их носителей, пигментов, люминофоров и т.п. [4-9]. научных расширяющихся Одним перспективных подходов получения фтортетракремнистых слюд является их синтез из синтетического силикатного сырья, в частности, из синтетического дигидрата силиката магния (ДГСМ). Последний легко получают разными методами в лабораторных условиях и его можно производить на многих комбинатах по обогащению магнезиально- и алюмосиликатного сырья.

ФТКС указанных составов получают из расплава (при 1300 - $1500^{o}C$) с использованием исходных смесей, состоящих из чистых реактивов (SiO₂, SiF₄ в виде газа, MgO, MgF₂, Na₂O, NaF, Na₂SiF₆, Li₂O, LiF и др.) [4, 10, 11].

В настоящей работе обобщены результаты экспериментальных исследований по получению ультратонких термостабильных слоистых филлосиликатов – Na-фтортениолита и Na-четырекремнефтористой слюды, путем кристаллизации расплавов, полученных из реакционных смесей на основе ДГСМ. Эта работа является частью исследований по синтезу слоистых фторсиликатов из расплава [12].

Экспериментальная часть

Методика эксперимента. В качестве исходных веществ использовали полученный нами ДГСМ и реактивы NaF, Na₂SiF₆, MgF₂, LiF, NaCl квалификации "x.ч". Оксидный состав ДГСМ, рассчитанный на основании химического состава (масс. %): SiO₂ 44,03; MgO 27,73; R₂O₃ 0,8; H_2O^+ 14,80; H_2O^- 12,41, Σ 99,82, близок к стехиометрическому (MgO. SiO₂.2H₂O).

ДГСМ был исследован методами химического, кристаллооптического, термического, рентгенографического при комнатной и высокой температурах (рис. 1) и ИКспектроскопического анализов. Подробности о ДГСМ и его поведении при нагревании приведены в [14].

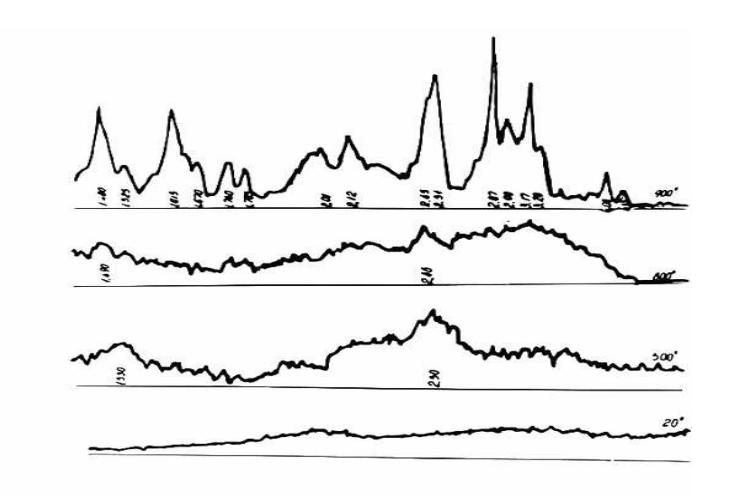


Рис. 1. Термодифрактограммы ДГСМ. По оси абсцисс - d/n. Температура, °C; время, мин. 1—20; 2—500, 30; 3 – 800, 15; 4 – 900, 15. При 900°С линии энстатита, d/n - 4.40, 3.17, 2.87, 2.51, 2.45, 2.12, 1.785, 1.670, 1.615, 1.525, 1.480 \to [13]; слабые линии форстерита, d/n 4.08, 2.98, 2.01, 1.74 \to [13].

Фазовый состав продуктов обработки ДГСМ (т.е. поликристаллических образцов) и полученные слоистые филлосиликаты — Na-фтортениолит и Na-четырекремнефтористая слюда, исследованы методами кристаллооптического, рентгенографического (дифрактометр "ДРОН–2", Cu K_{α} -излучение, Ni-фильтр) и химического анализов.

Составы реакционных смесей рассчитывали исходя из формул Na-фтортениолита (NaMg2Li[Si4O10]F2) (смесь I) и Na-четырекремнефтористой слюды (NaMg2.5[Si4O10]F2) (смеси II-IV) с некоторым избытком фтора. Были изучены четыре реакционные смеси следующих составов: ДГСМ — Na2SiF6 — LiF (I), ДГСМ — Na2SiF6 — MgF2 (II), ДГСМ — Na2SiF6 — NaF (III) и ДГСМ — Na2SiF6 — NaCl (IV).

Синтез слоистых филлосиликатов осуществляли во фторустойчивых сосудах в электрических печах сопротивления.

Результаты и их обсуждение

Синтез ФТКС осуществляли путем нагревания исходных смесей I-IV до $1080-1225^{\circ}$ С. Полученные расплавы выдерживали при этих температурах в течение 0,5-2 q, после чего проводили их кристаллизацию с различной скоростью.

Исследования показали, что фазовый состав синтезируемых образцов, в том числе процент выхода фторсодержащих слюд, морфология и размеры кристаллов слюд зависят от состава реакционных смесей (и его отклонения от стехиометрического состава), от температурно-временных условий процесса плавления этих смесей, скорости охлаждения полученных расплавов и т.п.

Отклонение составов реакционных смесей от стехиометрии слюд привело к изменению температур плавления смесей и кристаллизации расплавов. При этом в продуктах синтеза количество слюд снизилось. Содержание фтора в смесях I-IV изменялось при введении того или иного количества фторвводящего агента Na₂SiF₆, LiF, MgF₂, NaF. Увеличение содержания фтора в составе реакционных смесей привело к снижению температур плавления этих смесей $(T_{\pi\pi} < 1180, 1200, 1120, 1130 \pm 5$ °C соответственно для I–IV смесей) и кристаллизации слюд, увеличению количества примесей в виде мелкокристаллических фторидов (средний показатель преломления с nm<1,39), минерала из группы гумита - фторнорбергита $(Mg_2SiO_4.MgF_2\ c\ n_m\ =1,546),\ c$ текла и др. в общей массе закристаллизованного поликристаллического слитка. При недостатке фтора и соответственно при увеличении количества ДГСМ в смесях повышается температура плавления всех этих смесей (Тпл > 1180, 1200, 1120, 1130 ± 5°С соответственно для I–IV смесей), увеличиваются количества примесей в виде стекла с $n_m=1,490-1,506$, форстерита (Mg₂SiO₄) с $n_m=1,650$, фторамфибола с n_m ~1,587 и др. в синтезируемых образцах. Проведенные исследования показали, что максимальное содержание фторслюд (~95, ~90, ~98%) наблюдалось в образцах, полученных из реакционных смесей, составы которых близки к стехиометрии Na-фтортениолита (I) и Naчетырекремнефтористой слюды (II–IV) с небольшим избытком фтора (~1-3 масс. %).

На состав расплавов, а следовательно, и на их кристаллизационные свойства влияют не только химический состав исходных смесей, но и физико-химические особенности поведения этих смесей при нагревании.

Экспериментально было доказано, что в температурном интервале $60\text{-}700^{\circ}\text{C}$ в исследуемых смесях происходят процессы дегидратации и дегидроксилирования ДГСМ, сопровождающиеся выделением гигроскопической и структурной воды (H_2O^+ , H_2O^-), что ведет к его полной аморфизации и, следовательно, его активации. Дальнейшее повышение температуры до $790\text{-}800^{\circ}\text{C}$ и выше приводит к образованию в основном одноцепочечного силиката магния – энстатита (MgSiO₃), и в незначительном количестве форстерита (Mg2SiO₄) (рис. 1, при 900°C). Образованием этих соединений и обусловлен экзотермический пик в интервале $790\text{-}830^{\circ}\text{C}$ ($\text{T}_s \approx 820^{\circ}\text{C}$) на кривой ДТА (рис. 2, кр. 1) [14, 15].

Нами показано, что добавление галогенсодержащих соединений (Na₂SiF₆, NaF, MgF₂, NaCl) существенно меняет дифференциально-термическую кривую ДГСМ (рис. 2, кр. 2-5). При этом галогенсодержащие соединения снижают температуры дегидратации и дегидроксилирования ДГСМ и превращения его в рентгеноаморфный силикат магния (РАМФ СМ) и далее в энстатит и форстерит, протекающих по схеме [14-16]:

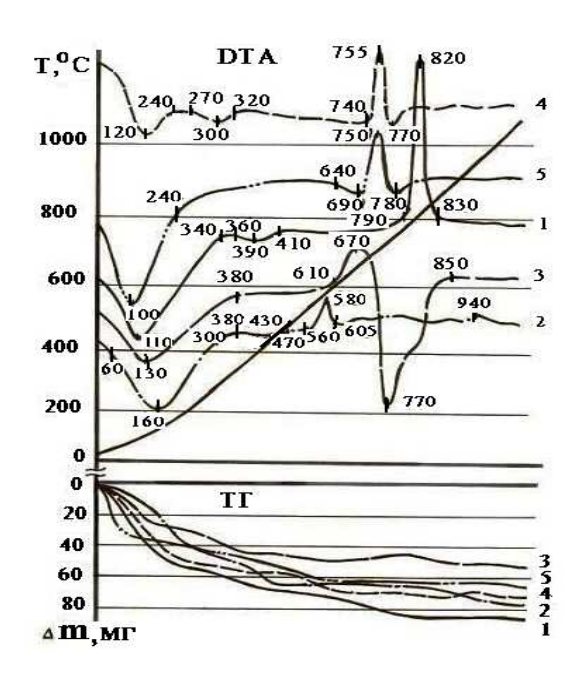


Рис. 2. Дериватограммы дигидрата силиката магния (ДГСМ) (1) и смесей: ДГСМ - Na₂SiF₆ (2), ДГСМ - NaF (3), ДГСМ - MgF₂ (4), ДГСМ - NaCl (5). Скорость нагревания 10 $\mathit{град:muh}^1$.

В смесях I-IV при $T \le 500$ °C параллельно с вышеприведенными превращениями (1) происходит разложение гексафторсиликата натрия [17-19], которое можно представить следующими реакциями:

$$540 - 560^{\circ}$$
C
 $N a_2 SiF_6 ------ 2x NaF + (1-x) N a_2 SiF_6 + SiF_4 \uparrow$ (2)
 $SiF_4 + H_2O ------ SiO_2 + HF \uparrow$ (3)
 $570 - 620^{\circ}$ C

$$570 - 620^{\circ}\text{C}$$

$$3\text{SiO}_2 + 4\text{NaF} \xrightarrow{} 2\text{Na}_2 \text{SiO}_3 + \text{SiF}_4 \uparrow$$
(4)

Дальнейшее повышение температуры ≥ 600 °C ведет к полному разложению N a₂SiF₆ [17, 20, 21].

В смеси II при Т \leq 700°С, возможно, протекает реакция:

$$\leq 700^{\circ}C$$

$$MgF_2 + H_2O \xrightarrow{} MgO + HF \uparrow \qquad (5) [19, 22, 23]$$

Образовавшиеся по реакции (1) пары H2O, несомненно, оказывают катализирующее действие на процессы, протекающие в реакционных смесях [17, 18, 24, 25]. Одновременно развиваются процессы испарения галогенсодержащиих соединений (например, NaCl и др), пирогидролиза фторидов с образованием фторида водорода (НF) (например, реакции (3), (5)). Последний ускоряет разложение ДГСМ, а также промежуточных соединений [19, 26] с образованием оксидов и фторидов с повышенной реакционной способностью. Исходные галогенсодержащие составляющие (Na2SiF6, LiF, MgF2, NaF, NaCl), промежуточные соединения (РАМФ СМ, энстатит, фторнорбергит, фториды, фторид-хлориды, SiO2 и др.) образуют легкоплавкие эвтектические расплавы оксидно-солевого состава (рис.2, кр. 2-5). Исследования показали, что в смесях I и II расплав появляется при ~700 $^{\circ}$ C, а в смесях III и IV– при <700°С. Следует отметить, что в зависимости от температуры образовавшиеся в исследуемых смесях как газовая фаза, так и расплав в локальных участках отличаются друг от друга по количеству, составу и свойствам [19, 26-34]. В интервале 650-800°С в смесях III и IV преобладает жидкая фаза. Таким образом, в ходе повышения температуры (T≥600°C) в реакционных смесях происходят сложные твердофазовые реакции с участием газовой и жидкой фаз, которые способствуют ускорению процессов плавления этих смесей. Полное плавление смесей I-IV происходило в течение 0,5-2 ч при 1180, 1200, 1120, 1130 ± 5°C, соответственно. При этом в результате гомогенизации получались расплавы, которые кристаллизовались путем снижения температуры. Охлаждали полученные расплавы с разными скоростями 300-500°С/ч. Максимальный выход Na-фтортениолита (~95% из смеси I) и Na-четырекремнефтористых слюд (~90% из смеси II и ~98 % из смесей III и IV) ограничивался скоростями охлаждения ~320-450°С/ч. Увеличение скорости охлаждения (>450 °C/ч) приводило к уменьшению выхода слюд. Уменьшение скорости охлаждения (<320°C/ч) приводило к снижению количества слюд и возрастаню содержания примесей в виде: фторнорбергита, фторидов, фторамфибола и других фаз в синтезируемых образцах, а также к повышению степени их закристаллизованности.

Подытоживая вышеизложенное, можно утверждать, что исследуемые реакционные смеси I-IV выгодно отличаются от других смесей, применяемых для получения слоистых филлосиликатов: Nа-фтортениолита и Nа-четырекремнефтористой слюды. Сравнительная легкость процессов синтеза этих слюд из смесей на основе ДГСМ по сравнению с их синтезом из смесей на основе химических реактивов обеспечивается вероятным образованием структурных группировок кремнекислородных анионов типа [Si₂O₅]²-∞ (при более низких температурно-временных и др. условиях), входящих в состав расплавов и фторслюд. Следовательно, расплавы, полученные из исследуемых смесей, обладают высокой кристаллизационной способностью. Следует отметить, что максимальный выход Nачетырекремнефтористой слюды (~98%) наблюдался при применении реакционных смесей III и IV, в составе которых в качестве галогенсодержащих соединений используются сочетания: Na₂SiF₀ и NaF и Na₂SiF₀ и NaCl, соответственно. Высокую реакционную активность этих смесей можно объяснить высокой дисперсностью, однородностью, а также кристаллохимическими особенностями ДГСМ.

Синтезированные образцы представляют собой поликристаллические слитки, в которых пластинки и чешуйки, ориентированные в различных направлениях, пересекаются, образуя сноповидные, радиально-лучистые, субпараллельные агрегаты (рис. 3).

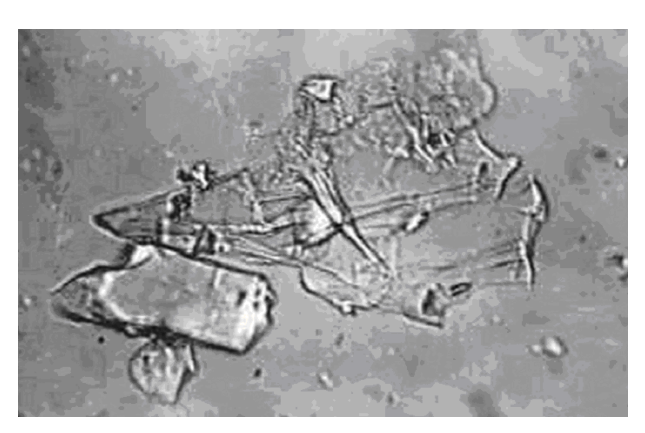


Рис. З. Микрофотография агрегата кристаллов Na-четырехкремнефтористой слюды. Увел. Ч900.

В дальнейшем слитки, содержащие Na-фтортениолит, подвергали обработке в воде в течение 2-3 ч или выдерживали на воздухе в течение 1-3 месяцев. Слитки, содержащие Na-четырекремнефтористую слюду, при 70-80°С в течение 1-2 ч помещали в воду, количество которой в 20-25 раз превышало количество слюды. При этом молекулы воды, проникшие в межслоевые пространства кристаллических решеток этих слюд, способствовали самодиспергированию синтезированных поликристаллических слитков на отдельные ультратонкие частицы и чешуйки слюд (толщиной $\leq 50\text{Å}$ и диаметром в 1000-5000 раз больше толщины).

Синтезированные слюды в тонких листочках прозрачны, спайность кристаллов совершенная. Под микроскопом чешуйки имеют почти прямое погасание и положительное удлинение. Кристаллооптические характеристики этих слюд приведены в табл. 1.

Таблица 2

Кристаллооптические характеристики синтезированных фторсодержащих слоистых силикатов – Na-фтортениолита (смесь I) и Na-четырекремнефтористой слюды (смесь III)

Номер	Ng	Np	Ng - Np	Угол погасания 2V,
слюд				град
I	$1,562 \pm 0,003$	$1,553 \pm 0,003$	0,009	3–4
III	1,548–1,552	1,518–1,521	0,030-0,031	-

В табл. 2 приведены результаты рентгенографических исследований синтезированых фторсодержащих слоистых филлосиликатов — Na-фтортениолита (образец I), выдержанного на воздухе в течение 30 дней, и Na-четырекремнефтористой слюды (образец 2).

Данные дифрактограмм синтезированных фторсодержащих слоистых силикатов: Na-фтортениолита (I) и Na-четырекремнефтористой слюды (III)

	Образец 1			Образец 2			
d/n, Å	I	d/n, Å	I	d/n, Å	I	d/n, Å	I
12.23	10	2,423	2	12.27	10	2,45	1
10.67	4	_	-	9.98	7	2,374	2
4,39	2	2,163	8	6,46	1	1,975	2
4,04	2	2,014	10	5,08	1	1,668	1
3,31	10		-	3,34	6	1,512	1
_	_	1,431	1	3.19	5	1,398	2

Примечание: d – межплоскостные расстояния, n –порядок отражения, I/I_{\circ} – относительные интенсивности пиков.

На рентгенограммах синтезированных слоистых силикатов имеются базальные рефлексы 12,27 и 12,23 Å, характерные для расширяющихся фторслюд [10, 11].

Таким образом, найдены оптимальные условия проведения процессов синтеза термостабильных слоистых филлосиликатов — Na-фтортениолита (NaMg2Li[Si4O10]F2) и Naчетырекремнефтористой слюды (NaMg2.5[Si4O10]F2), в виде ультратонких частиц из синтетического дигидрата силиката магния в пирогенных условиях путем кристаллизации расплава (1080-1225°C). Показана высокая реакционная активность исследуемых смесей на основе дигидрата силиката магния — ДГСМ, в результате которой синтез этих слюд протекает при более низких температурах (ниже на $^{\sim}180\text{-}300^{\circ}\text{C}$), а продолжительность сокращается в несколько раз. Na-четырекремнефтористая слюда с наибольшим выходом образуется из реакционных смесей, в составе которых в качестве галогенсодержащих компонентов использованы сочетания — Na2SiF6 и NaF или Na2SiF6 и NaCl. Выявлены некоторые

особенности физико-химических процессов, протекающих в реакционных смесях при их термообработке.

ԳԵՐԲԱՐԱԿ ՋԵՐՄԱԿԱՅՈՒՆ ՇԵՐՏԱՎՈՐ ՖԻԼՈՍԻԼԻԿԱՏՆԵՐ ԱՐՀԵՍՏԱԿԱՆ ՄԱԳՆԻՈՒՄԻ ՍԻԼԻԿԱՏԻ ԵՐԿՀԻԴՐԱՏԻՑ

L. U. DUQUSCBUV

Ամփոփված են հրածին պայմաններում հալույթից արհեստական մագնեզիումի սիլիկատի երկհիդրատից (ՄՍԵՀ, ԾջԿ.SiԿ2.2H2O) գերբարակ ջերմակայուն շերտավոր ֆիլոսիլիկատների` Na- ֆտորտենիոլիտի և Na – չորսսիլիցիումական ֆտորփայլարի, ստացման մեթոդների կատարելագործման և ֆիզիկաքիմիական պարամետրերի օպտիմալացման փորձնական հետազոտությունների արդյունքները։ Այդ նպատակով ուսումնասիրվել են ՄՍԵՀ - Na2SiF6 – LiF, ՄՍԵՀ - Na2SiF6-MgF2, ՄՍԵՀ - Na2SiF6 – NaF և ՄՍԵՀ - Na2SiF6 – NaCl ռեակցիոն խառնուրդները Na – ֆտորտենիոլիտի (NaMg2Li[Si4O10]F2) և Na – չորսսիլիցիումական ֆտորփայլարի (NaMg2.5[Si4O10]F2) բաղադրություններին համապատասխանող կոնցենտրացիոն տիրույթում, 1080 - 1225 $^{\circ}C$ ջերմաստի $^{\circ}$ ջներմաստի $^{\circ}$ անիջակայքում։

ULTRAFINE THERMOSTABLE LAYERED FILLOSILICATES FROM THE SYNTHETIC DIHYDRATE OF MAGNESIUM SILICATE

L. A. KHACHATRYAN

M. G. Manvelyan Institute of General and Inorganic Chemistry NAS RA Bld. 10, II lanes, Argutyan str., Yerevan, 0051, Armenia E-mail: lidakhachat@yahoo.com

The results of study concerning ultrafine thermostable layered fillosilicates Na-fluorotaeniolite and Na-fluorotetrasilicic mica synthesis in the melts obtained from reaction mixtures based on magnesium silicate dihydrate (MSDH, MgO·SiO₂·2H₂O) were presented. The MSDH - Na₂SiF₆ – LiF, MSDH - Na₂SiF₆-MgF₂, MSDH - Na₂SiF₆ – NaF, and MSDH - Na₂SiF₆ – NaCl mixtures were studied in the temperature range $1080 - 1225^{\circ}$ C. It has been shown that studied mixtures possessed a high reativity, owing to which the termostable layered fillosilicates were synthesized at lower temperatures (-180 – 300°C) and the duration of the synthesis was shortened severalfold. The maximal yield of the fluorotetrasilicic mica was observed in the reaction mixtures with the Na₂SiF₆ and NaF or the Na₂SiF₆ and NaCl as halogen –containing compounds. The specific effects of MDSH on the physicochemical processes proceeding during heat treatment of the reaction mixtures were described.

ЛИТЕРАТУРА

- [1] *Ikazaki Fumikazu, Ichida Kunio, Kamiya Kunio, Kawai Akiko, Yoda Satoshi, Gotoh Akihiro* // J. Soc. Powder Technol. Jap., 1994, v. 31, №9, p. 647.
- [2] Пунин Ю.О., Мамина А.Х., Котельникова Е.Н. // ЖПХ, 1998, т. 71, вып. 4, с.563.
- [3] *Марков И.В., Сыченков В.В., Бушева З.Г., Палагин В.Я.* Пат. России 2041067. Бюлл. №22. Опубл. 09.08.95.
- [4] *Асано Кэйдзиро, Ока Родзи, Хаяси Кадвухино, Курода Тосио, Ямада Киедаи.* Пат. Японии 55-45522. Опубл. 11.11.81. МКИ С 04 В 35/00, В 28 С 1/02.
- [5] Beall G.H., Grossman D.G., Hoda S.M., Kubinski K.R. Pat. USA 4339540. Publ. 13.07.82. NCI 501/3.
- [6] Такахама Коити, Хирао Седзо, Йокояма Кацу, Кисимото Такаси, Иокохава Хироси, Макино Ацуси. // Мецусита дэенко к.к.-N63-299091. Заявл. 25.11.88. МКИ⁵ С 04 В 38/00. Опубл. 4.06.90 // Кокай Токке кохо, сер. 3(1), 1990, №3, с. 569.
- [7] Fukatani Juichi, Shibayama Koichi, Tanniguchi Joji, Takahashi Hhideyuki, Bando Akihiko, Iwasa Koichiro, Ueda Naoki. Заявка ЕПВ 1245632, МПК⁷, С 08 L 23/00, С 08 К 7/00. Sekisui Chemical Co., Ltd, №00974895.5; Заявл. 10.11.2000; Опубл. 032.10.2002. Англ.
- [8] Karam R.E., Qi R.Y. Pat. USA 5531926. Publ. 2.07.96. C 09 K 11/59.
- [9] *Johnson Jack W., Brody John F.* // Microstruct. and Prop. Catal.: Symp. Boston. Mass. Nov 30 -Dec 3, 1987 Pittsburgh (Pa), 1988, p. 257.
- [10] Kunio Kitajima, Daimon Nabutoshi. // Chem. Lett., 1972, Nº10, p. 953.
- [11] Kunio Kitajima, Fumihiko Kayami and Nobuo Takusagawa. // Bull. Chem. Soc. Jap., 1985, v.58, №4, p. 1325.
- [12] Хачатрян Л.А. А.С. №191161, СССР, 1983.
- [13] Михеев В.И. Рентгенометрический определитель минералов. М., Госгеолиздат, 1957, 868 с.
- [14] Хачатрян Л.А. // Хим. ж. Армении, 1998, т. 51, №1, с.3.
- [15] Хачатрян Л. А., Караханян С.С. // Хим.ж. Армении, 2000, т. 53, №1-2, с.18.
- [16] *Хачатрян Л.А., Караханян С.С., Григорьева Л.Ф.* // Физика и химия стекла, РАН, 2004, т. 30, ¹1, с. 93 [Glass Physics and Chemistry, RAS, 2004, v.30, №1, p. 60].
- [17] Хачатрян Л. А. Автреф. дисс." Синтетические волокнистые силикаты типа асбестов из горных пород Армении" канд. техн. наук. Л., ИХС АН СССР, 1969, 25 с.
- [18] Фтор и его соединения / под ред. Дж. Саймонса. М., ИЛ, 1953, 510 с.
- [19] Рысс И.Г. Химия фтора и его неорганические соединения. М., Госхимиздат, 1956,718 с.
- [20] Истомин С.С. // ЖПХ, 1980, т.53, №6, с.1201.
- [21] Буланов А.Д., Прахин Д.А., Балабанов В.В. // ЖПХ, 2003, т. 76, вып. 9, с. 1433.
- [22] *Минакова Л.Ю., Минакова Т.С., Фиалко М.Б.* Термодинамический анализ взаимодействий в системах с участием фторида магния. Томский гос. ун-т, 1998, 11 с. Рукопись деп. в ВИНИТИ. Деп. 718-1398.деп.
- [23] Eitel W., Hatch A.R., Denny M.Y. // J. Amer. Ceram. Soc., 1956, v.36, №10, p. 341.
- [24] Третьяков Ю.Д. Твердофазовые реакции. М., Химия, 1978, 360 с.
- [25] Зырянов М.И. // Цветные металлы, 1998, №5, с. 47.
- [26] Когарко Л.Н., Кригман Л.Д. Фтор в силикатных расплавах и магмах. М., Наука, 1981, 124 с.
- [27] Справочник по плавкости систем из безводных неорганических солей. Двойные системы / под общ. ред. Н.К. Воскресенской. М.-Л., Изд. АН СССР, ЛО, 1965, т. 1, 845 с.
- [28] Спицын В.А., Шостак В.И., Мееров М.А. // ЖОХ, 1952, т. 22, №4, с.758.
- [29] Кувакин М.А., Редькина Н.Ф. // ЖНХ, 1971, т. 16, №12, с. 3290.

- [30] *Белоусов В.И., Сидоров Л.Н., Акишин А.А.* Масс-спектрометрическое исследование системы NaF-MgF₂, NaF-BeF₂. M., ВИНИТИ. N 1299-69. Деп. 1989. 8с..
- [31] Hartmann E., Peller V.V., Rogalski G.I. // Solide- State Ionics, 1990, v. 37, №1-2, p.123.
- [32] *Хохряков А.А., Хайменов А.П.* ИК-эмиссионные спектры расплавленных галогеноидов щелочных металлов и их смесей. Ин-т электрохимии УНЦ АН СССР. Свердловск. 1985. 16с. Рукопись деп. в ВИНИТИ. Деп. 7126 13.деп.
- [33] Salman S.M., Omar A.A., Salama S.N. // Mater. Chem. Phys., 1984, v.11, \mathbb{N}^2 , p.145.
- [34] Лугинин И.Г., Худякова Т.М. // Изв. АН СССР. Неорган. матер., 1979, т.15, №8, с. 1462.

ՀԱՅԱՍՏԱՆԻ ՀԱՆՐԱՊԵՏՈՒԹՅԱՆ ԳԻՏՈՒԹՅՈՒՆՆԵՐԻ ԱԶԳԱՅԻՆ ԱԿԱԴԵՄԻԱ НАЦИОНАЛЬНАЯ АКАДЕМИЯ НАУК РЕСПУБЛИКИ АРМЕНИЯ

Հшјшиտшնի рիմիшկшն ншնդես 62, №1-2, 2009 Химический журнал Армении

УДК 541.183 + 543.544

РАСЧЕТ ТЕРМОДИНАМИЧЕСКИХ ВЕЛИЧИН АДСОРБЦИИ ЛЕГКИХ $C_1 \div C_4$ НА-СЫЩЕННЫХ УГЛЕВОДОРОДОВ НА МОДИФИЦИРОВАННОМ ШИРАКСКОМ МОРДЕНИТЕ

А. Р. ХАЧАТРЯН и А. М. КАЛПАКЯН

Государственный инженерный университет Армении Армения, 0009, Ереван, ул.Теряна, 105 e-mail: theorchem@seua.am

Поступило 4 IX 2008

На основе газохроматографических измерений исследована термодинамика равновесной адсорбции C_1 ÷ C_4 насыщенных углеводородов. С применением программного пакета LabView составлена математическая модель расчета изменений характеристических термодинамических величин ΔH , ΔS , ΔG , ΔC_P указанных углеводородов. Сопоставление экспериментальных данных с результатами численного счета показывает, что они совпадают с достаточной точностью (<1.6 %). Уменьшение энтропии и увеличение свободной энергии Гиббса указывают на то, что в открытой системе газохроматографической колонки процесс протекает не самопроизвольно, а под действием газа-носителя.

Рис. 2, табл. 4, библ. ссылок 9.

В настоящее время широкое применение находит метод препаративной хроматографии, нацеленный на очистку смеси газов с разделением их на отдельные компоненты и отбор нужного газа. С этой целью в данной работе определены термодинамические характеристики адсорбции – десорбции с рекомендациями по реализации метода препаративной хроматографии.

Известно, что основной компонент природного газа — метан, всегда содержит примеси сопутствующих газов (этан, пропан и т.п.). Между тем, во многих химических синтезах требуются исходный чистый метан, этан или пропан. Для нахождения оптимальных условий газохроматографического разделения этих углеводородов важное значение имеет определение изменений термодинамических величин адсорбции [1, 2].

Экспериментальная часть

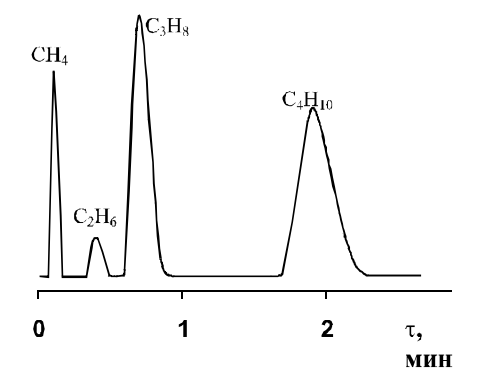
Экспериментальные исследования проводились на газовом хроматографе "ЛХМ" с катарометром. В качестве газа-носителя использовался гелий. Его скорость варьировалась в пределах 28 ч32 *мл/мин*. Колонки (I=2 m, d=5 mm) наполнялись ширакским морденитом фракции 0.3 mm, предварительно модифицированным соляной кислотой в течение 2, 4, 6 mu0 обезвоженным в вакуумной установке с жидким азотом при 350(С в течение 4 mu1 [3, 4]. Непосредственно измеряемой величиной служило исправленное время удерживания mu2 определяемое в диапазоне температур 180÷240°C.

Газохроматографические исследования показали, что наилучшее разделение легких насыщенных углеводородов $C_1 \div C_4$ происходит на мордените, обработанном HCl в течение 6 u, при скорости газа-носителя v=32 мл/мин и температуре колонки 240°C (рис.1).

В табл. 1 приведены исправленные времена удерживания легких насыщенных углеводородов $C_1 \div C_4$ в указанном режиме.

 ${\it Таблица~1}$ Исправленные времена удерживания легких насыщенных углеводородов ${\bf C_1} \div {\bf C_4} \Delta {\bf \tau}, c$

_	Адсорбат	Метан	Этан	Пропан	Бутан
	t, °C				
	240	7	23	50	120
	220	8	28	70	188
	200	9	34	100	306
	180	10	41	145	520
	160	11	49	215	920



Обсуждение результатов

Известно, что при достаточно высоких температурах колонки и малых дозах адсорбата изотермы адсорбции подчиняются прямолинейному закону Генри с константой адсорбционного равновесия $K_{a,p}$ [5-7].

Расчеты изменений термодинамических величин основывались на определении исправленного объема удерживания $V_{\rm g}$:

$$V_{g} = K_{a,p}RT = \frac{P_{_{\text{H3M}}} \cdot T}{P_{0} \cdot T_{_{\text{H3M}}}} \cdot \frac{V}{60} \cdot \frac{3}{2} \cdot \frac{(P_{i}/P_{0})^{2} - 1}{(P_{i}/P_{0})^{3} - 1} \cdot \frac{1}{g} \Delta \tau, \tag{1}$$

где $T_{\text{изм}}$ – температура в измерительном приборе, P_i и P_0 – значения давлений соответственно на входе и выходе колонки, $P_{\text{изм}}$ – барометрическое давление.

Измерения показали, что при малых нулевых заполнениях поверхности адсорбента экспериментальные точки $\lg \frac{V_g}{T}$ от 1/T с большой точностью ложатся на прямую, по тангенсу

угла наклона которой были определены величины изостерических теплот адсорбции указанных углеводородов (рис. 2).

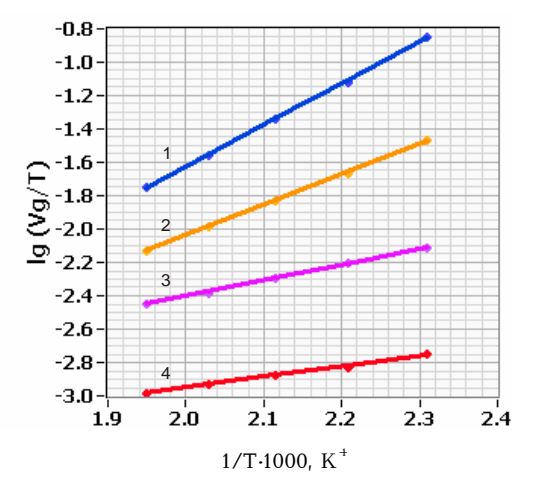


Рис. 2. Зависимости $\lg\!\left(\frac{V_g}{T}\right) = f\!\left(\frac{1}{T}\right)$ н ценных углеводородов на ширакском мордените A ии: 1-бутан, 2- пропан, 3- этан, 4- метан.

Изостерические теплоты адсорбции указанных углеводородов соответственно с вили: метан -10.35, этан -17.42, пропан -33.62, бутан -47.00 кДж/моль.

Принимая ΔC_P постоянным в исследуемом небольшом температурном интерватор вом приближении зависимости изменений энтальпии и энтропии от температур кожно считать линейными [8]:

$$\Delta H_{T} = \Delta H_{\overline{T}}^{0} + \int_{\overline{T}}^{T} \Delta C_{p} dT = \Delta H_{\overline{T}}^{0} + \Delta C_{p} (T - \overline{T}), \tag{2}$$

$$\Delta S_{T} = \Delta S_{\overline{T}}^{0} + \int_{\overline{T}}^{T} \frac{\Delta C_{p}}{T} dT = \Delta S_{\overline{T}}^{0} + \Delta C_{p} \left(\ln T - \ln \overline{T} \right), \tag{3}$$

где \overline{T} – среднее арифметическое всех измеренных температур.

Изменение свободной энергии Гиббса можно представить в виде:

$$\Delta G_{T} = \Delta H_{T}^{0} - T\Delta S_{T}^{0} = \Delta H_{\overline{T}}^{0} - T\Delta S_{\overline{T}}^{0} + \Delta C_{p} \left[T - \overline{T} - T \left(\ln T - \ln \overline{T} \right) \right]. \tag{4}$$

Представляя ΔG_T в виде:

$$\Delta G_{T} = -RT \ln \frac{V_{g}}{T} = -RT \ln V_{g} + RT \ln T$$
 (5)

и подставляя это выражение в (4), получаем уравнение типа

$$y = a_0 + a_1 x_1 + a_2 x_2, (6)$$

где
$$y = RT \ln \frac{V_g}{T}$$
, $x_1 = T$, $x_2 = T - \overline{T} - T \left(\ln T - \ln \overline{T} \right)$, $a_0 = \Delta H_{\overline{T}}^0$, $a_1 = \Delta S_{\overline{T}}^0$ $a_2 = \Delta C_p$.

Коэффициенты уравнения (6) вычисляются методом наименьших квадратов с использованием ортогональных функций [9]:

$$a_{2} = \frac{\sum z_{i} f_{2i} - \alpha \sum z_{i} f_{1i}}{\sum f_{2i} - \alpha \sum f_{1i} \cdot f_{2i}},$$
 (7)

$$a_{1} = \frac{\sum_{i} z_{i} \cdot f_{1i}}{\sum_{i} f_{1i}^{2}} - \alpha \cdot a_{2}, \tag{8}$$

$$\mathbf{a}_0 = \overline{\mathbf{y}} - \mathbf{a}_1 \cdot \overline{\mathbf{x}}_1 - \mathbf{a}_2 \cdot \overline{\mathbf{x}}_2,\tag{9}$$

где
$$z_i = y_i$$
 - x_i - y_i - y

Дисперсии определяются следующими уравнениями:

$$\sigma^{2}(a_{0}) = \frac{\sum_{i} (y_{i} - Y_{i})^{2}}{n - 3},$$
(10)

$$\sigma^{2}(a_{2}) = \frac{\sigma_{0}^{2}}{\sum_{i} f_{2i}^{2} - \alpha \cdot \sum_{i} f_{1i} \cdot f_{2i}},$$
(11)

	l				c	f	I	ı	
Ад-	$x_1=T$,	V_g/T		$z = y_i$ -	$\mathbf{f}_1 =$	$\frac{\mathbf{x}}{\mathbf{z}} = \mathbf{f}_1 - \mathbf{f}_1$	$f_2 = x_2$		y –
сорбат	K	мл/(г·К)	y=RTlnV _g	y	<u>x</u> ₁ -	$x_1(\ln x_1 -$	- X 2	y _{pac} .	y _{pac}
Copour		<i>31601</i> (C 11)		,	x 1	$\ln x_1$	- A 2		J pac
	513	0,00104	-29,2777	-3,1841	40	-1,6456	-0,799	-	-
								29,2732	1,059
	493	0,00119	-27,5889	-1,4953	20	-0,4170	0,430	-	2,118
		•	Í	·		ŕ	,	27,5978	
	473	0,00134	-26,0065	0,0871	0	0	0,865	-	-
метан		,,,,,,,,,,,,,,,,,,,,,,,,,,,,,,,,,,,,,,,		0,00.			,,,,,,	26,0062	0,085
	453	0,00149	-24,5101	1,5835	-20	-0,4289	0,418	_	-
	133	0,00119	21,5101	1,5055	20	0,120	0,110	24,5019	1,951
	433	0,00164	-23,0848	3,0088	-40	-1,7411	0,895		0,974
	133	0,00101	23,0010	5,0000		1,7 111	0,075	23,0889	0,571
	513	0,00343	-24,204	-3,3359	40	-1,6456	-0,799	23,0007	0,325
	313	0,00313	21,201	3,3337	10	1,0150	0,777	24,2054	0,323
	493	0,00418	-22,4541	-1,586	20	-0,4170	0,430	24,2034	_
	473	0,00410	22,4341	1,500	20	0,4170	0,430	22,4511	0,722
	473	0,00507	-20,7797	0,0884	0	0	0,865	22,7311	0,722
этан	4/3	0,00507	-20,7797	0,0004	U		0,803	20,7806	0,234
	453	0,00612	-19,1959	1,6721	-20	-0,4289	0,418	20,7000	0,393
	433	0,00012	-19,1939	1,0721	-20	-0,4209	0,410	19,1976	0,393
	433	0,00731	-17,7067	3,1613	-40	-1,7411	0,895	-17,-	
	433	0,00731	-17,7007	3,1013	-40	-1,/411	0,893	7058	0,232
	513	0,00746	-20,892	-4,3022	40	-1,6456	-0,799	7030	0,33
	313	0,00740	-20,692	-4,3022	40	-1,0430	-0,199	20,8934	0,55
	493	0,01044	-18,6984	-2,1085	20	-0,4170	0,430	20,0934	
	493	0,01044	-10,0904	-2,1003	20	-0,4170	0,430	18,6942	0,996
	473	0,01492	-16,5372	0,0526	0	0	0,865	10,0942	1,013
про-	4/3	0,01492	-10,3372	0,0320	U	U	0,803	16,5414	1,013
пан	453	0,02163	-14,4386	2,1513	-20	-0,4289	0,418	-14,437	_
	433	0,02163	-14,4380	2,1313	-20	-0,4289	0,418	-14,437	
	433	0.02207	-12,3831	4.2069	-40	-1,7411	0,895		0,365
	433	0,03207	-12,3831	4,2068	-40	-1,/411	0,893	10 2021	0,013
	510	0.01700	17 1501	5.0122	40	1.6456	0.700	12,3831	0.664
	513	0,01790	-17,1581	-5,0132	40	-1,6456	-0,799	-	0,664
	400	0.00004	11510	0.2042	20	0.4450	0.420	17,1609	
	493	0,02804	-14,649	0,3842	20	-0,4170	0,430	-	-
	450	0.047.5	12.126	0.0076	0		0.055	14,6444	1,089
бутан	473	0,04565	-12,139	0,0059	0	0	0,865	-	-
								12,1363	0,653
<u> </u>	453	0,07757	-9,6287	2,5162	-20	-0,4289	0,418	-9,6367	1,915
	433	0,13724	-7,1497	4,9952	-40	-1,7411	0,895	-7,1462	-
									0,839

$$\sigma^{2}(a_{1}) = \sigma_{0}^{2} \cdot \left(\frac{1}{\sum_{i} f_{1i}^{2}} + \frac{\alpha^{2}}{\sum_{i} f_{2i}^{2} - \alpha \cdot \sum_{i} f_{1i} \cdot f_{1i}} \right), \tag{12}$$

$$\sigma^{2}(a_{0}) = \sigma_{0}^{2} \cdot \left(\frac{1}{n} + \frac{\sum_{i=1}^{2} f_{1i}^{2}}{\sum_{i=1}^{2} f_{2i}^{2}} + \frac{(\alpha x_{1} - x_{2})^{2}}{\sum_{i=1}^{2} f_{2i}^{2} - \alpha \cdot \sum_{i=1}^{2} f_{1i} \cdot f_{1i}}\right).$$
(13)

На основании вышеприведенной математической модели расчета изменений термодинамических величин с использованием программного пакета LabView была создана программа, позволяющая рассчитывать термодинамику адсорбции подобных систем при варьировании скорости газа-носителя, температуры, давления и прочих исходных величин.

В табл. 2 показан пример расчета термодинамических величин адсорбции легких $C_1 \div C_4$ насыщенных углеводородов на модифицированном ширакском мордените.

Расчетные значения коэффициентов уравнения (6) и дисперсий приведены в табл. 3, где σ_{2} , σ_{1} , σ_{0} – соответственно дисперсии определения ΔC_{p} , ΔS , $\Delta H_{agc.}$

 Таблица 3

 Значения коэффициентов уравнения (6) и дисперсий

Адсор- бат	a_2	a_1	a_0	σ_2	σ_1	σ_0
метан	0,10329	-0,07743	10,6171	0,0038	0,000095	0,045395
этан	0,10330	-0,08137	17,7065	0,0011	0,00003	0,013305
пропан	0,05718	-0,10645	33,8080	0,0018	0,000045	0,02121
бутан	0,01018	-0,1252	47,0814	0,003	0,000075	0,03575

На основе газохроматографических измерений с использованием программы Lab-View были получены следующие значения теплот адсорбции $\Delta H_{\text{адс}}$, изменений теплоемкостей ΔC_p , энтропий ΔS свободной энергии Γ иббса ΔG (табл. 4).

Сопоставление экспериментальных данных с результатами численного счета показывает, что они совпадают с достаточной точностью. Уменьшение энтропии и увеличение свободной энергии Гиббса указывают на то, что в открытой системе газохроматографической колонки процесс протекает не самопроизвольно, а под действием газа-носителя.

Термодинамические характеристики адсорбции насыщенных углеводородов $C_1 \div C_4$ на ширакском мордените Армении

Адсорбат	ΔH , кДж/моль	ΔS , кДж/моль	$\Delta C_{p,} \kappa \mathcal{A} \mathcal{H} / (MOЛь \cdot K)$
метан	$-10,617 \pm 0,09079$	-0.159 ± 0.00019	-0.10329 ± 0.0076
этан	$-17,707 \pm 0,266$	-0.163 ± 0.00006	-0,10330 ±0,0022
пропан	$-33,808 \pm 0,424$	-0.188 ± 0.00009	-0.0572 ± 0.0036
бутан	$-47,081 \pm 0,715$	-0.207 ± 0.00015	-0.0102 ± 0.006

ՇԻՐԱԿԻ ՄՈԴԻՖԻԿԱՑՎԱԾ ՄՈՐԴԵՆԻՏԻ ՎՐԱ Cı÷C₄ ՍԱՀՄԱՆԱՅԻՆ ԱԾԽԱՋՐԱԾԻՆՆԵՐԻ ԱԴՍՈՐԲՑԻԱՅԻ ԹԵՐՄՈԴԻՆԱՄԻԿԱԿԱՆ ՄԵԾՈՒԹՅՈՒՆՆԵՐԻ ՀԱՇՎՈՒՄԸ

Հ. Ռ. ԽԱՉԱՏՐՅԱՆ և Ա. Մ. Կ ԱԼՊԱԿՅԱՆ

Աշխատանքում ուսումնասիրվել է C_1 ÷ C_4 սահմանային ածխաջրածինների ադսորբցիայի թերմոդինամիկան Շիրակի մոդիֆիկացված մորդենիտի վրա, հիմնվելով գազաքրոմատոգրաֆիկ չափումներից ստացված տվյալների վրա։ LabView ծրագրավորման փաթեթի օգնությամբ կազմվել է թեթև սահմանային ածխաջրածինների ադսորբցիայի բնութագրական ֆունկցիաների փոփոխությունների՝ ΔH , ΔS , ΔG , ΔC_P հաշվումների մաթեմատիկական մոդել։ Ադսորբցիայի ջերմության փորձնական և հաշվարկային տվյալների համեմատությունը ցույց է տալիս, որ հարաբերական սխալի տոկոսը չի գերազանցում 1,6%։ ΔS -ի բացասական և ΔG -ի դրական արժեքները խոսում են այն մասին, որ ադսորբցիան գազաքրոմատոգրաֆիկ սյան մեջ աչ ինքնակամ պրոցես է, որն ընթանում է գազ-տանողի հոսքով։

GAS-CHROMATOGRAPHY DETERMINATION OF THERMODYNAMIC CHARACTERISTICS OF SATURATED HYDROCARBONS ON SHIRAK MORDENITE OF ARMENIA

H. R. KHACHATRYAN and A. M. KALPAKYAN

State Engineering University of Armenia 105 Teryan Str., Yerevan, 0009, Armenia e-mail: theorchem@seua.am

Adsorption thermodynamic characteristics (heat of adsorption, as well as heat capacity, entropy and Gibbs free energy changes) of saturated hydrocarbons ($C_1 \div C_4$) on Shirak mordenite of Armenia were determined chromatographically on LKhM brand gas chromatographer with heat conductivity detector. Helium used as carrier gas has v=32 ml per min volume flow rate. Columns (l=2 m, d=5 mm) filled with 0.3 mm averagely sized mordenite, have been pre-modified by hydrochloric acid, 6 h and vacuum dried, 4 h by liquid nitrogen at 350 °C. Hydrocarbon samples were syringed.

Adjusted retention time was used and defined at 180-240 °C.

At sufficiently high column temperatures and low amounts of adsorbate the adsorption isotherm obeys the linear Henry's law (adsorption equilibrium constant is $K_{a.p.}$).

Adjusted specific volume of adsorbate is proportional to $K_{a.p.}$ and is determined by the following equation:

$$V_{g} = K_{a,p}RT = \frac{P_{m}T}{P_{0}T_{m}} \cdot \frac{v}{60} \cdot \frac{3}{2} \frac{(P_{i}/P_{0})^{2} - 1}{(P_{i}/P_{0})^{2} - 1} \cdot \frac{1}{g} \Delta \tau$$

where T is the column temperature, T_m is the temperature in the device; P_i μ P_0 are the pressures correspondingly at the inlet and outlet of the column, P_m is the barometric pressure.

Adsorption heats are calculated by the slope of $\lg\left(\frac{V_g}{T}\right) = f\left(\frac{1}{T}\right)$ linear dependences. Equation (1)

is solved numerically by LabView program. Experimental data agree with the numerical calculations with high accuracy.

The determined ΔH_{ads} values are further used for the calculation of the rest of the thermodynamic characteristics: ΔC_p , ΔS , ΔG . Orthogonal functions defined by least-square method were used in calculations. Entropy decrease and the Gibbs free energy increase speak of the nonspontaneity of prosees in open system of gas chromatographic column. The prosess occurs under the carrier gaz action.

The different values of ΔH μ ΔG of studied hydrocarbons speak of the possible use of Shirak mordenite as adsorbent in analytical gas chromatography for the separation of homologs of saturated hydrocarbons.

ЛИТЕРАТУРА

- [1] Авгуль Н.Н., Киселев А.В., Пошкус Д.П. Адсорбция газов и паров на однородных поверхностях. М., Химия, 1975, 384 с.
- [2] Экспериментальные методы в адсорбции и молекулярной хроматографии / под. ред. А.В. Киселева и В.П. Древинга. М., Изд.МГУ, 1973, 447 с.
- [3] *Григорян Ф.А., Калпакян А.М., Князян Н.Б., Маргарян А.А.* // Хим. ж. Армении, 2006, т.59, N 1, с.36.
- [4] *Kalpakyan A.M., Khachatryan H.R.* // International Conference "Enikolopov's Readings", Yerevan, October 4-7, 2006, p.109.
- [5] Kanuski M., Kartanowich R., Jastrelsky D. // Chromatogr A., 2003, v.989, N2, p.277.
- [6] Krishna R., Rasheck D. // Phys Chem Hyg., 2001, v.3, N3, p.453.
- [7] Benco L., Demeth T., Kafner S., Katschka F. // Chem. Phys., 2000, v.330, N3-4, p.457.
- [8] Баррер Р.М. Гидротермальная химия цеолитов / пер.с.англ. М., Химия, 1983, 420 с.
- [9] *Кафаров В.В., Глебов М.Б.* Математическое моделирование основных процессов химических производств. М., Высшая школа, 1991, 400 с.

ՀԱՅԱՍՏԱՆԻ ՀԱՆՐԱՊԵՏՈՒԹՅԱՆ ԳԻՏՈՒԹՅՈՒՆՆԵՐԻ ԱԶԳԱՅԻՆ ԱԿԱԴԵՄԻԱ

НАЦИОНАЛЬНАЯ АКАДЕМИЯ НАУК РЕСПУБЛИКИ АРМЕНИЯ

Հայաստանի քիմիական հանդես 62, №1-2, 2009 Химический журнал Армении

УДК 661.862.232:666.9.04:621.926.085:666.762.11

СИНТЕЗ ИСХОДНЫХ КОМПОНЕНТОВ ИЗНОСОСТОЙКОЙ КОРУНДОВОЙ КЕРАМИКИ

А. А. ХАНАМИРОВА, А. Р. АДИМОСЯН, Л. П. АПРЕСЯН и Л. А. ЧИЛИНГАРЯН

Институт общей и неорганической химии им. М.Г. Манвеляна НАН Республики Армения Армения, 0051, Ереван, ул. Аргутяна, 2-ой пер., №10 Факс: (374 10) 231275 E-mail: ionx@armline.am

Поступило 15 XI 2007

Разработаны способы синтеза активного реакционноспособного субмикрокристаллического модифицированного корунда – исходного компонента износостойкой корундовой керамики.

Библ. ссылок 22.

Всевозрастающие требования к чистоте некоторых видов керамики (диэлектрической, пьезокерамической и др.) накладывают жесткие ограничения при выборе мелющих тел и футеровок барабанов мельниц из-за существенного загрязнения обрабатываемого материала продуктами износа рабочих элементов мельниц.

В промышленности для помола применяют мелющие тела из уралита и фарфора, содержащие 60-65% Al₂O₃, 30-26% огнеупорной глины и различные добавки. Разработки новых материалов долгое время были направлены на модифицирование уралита и фарфора путем введения в них новых добавок и увеличения содержания Al₂O₃ до 75-95% [1-4].

В последние годы исследования по получению износостойких материалов связаны с созданием композиций с повышенным (до 96-98%) содержанием корунда, что, с одной стороны, придает керамике заведомо высокие механические и физико-химические свойства, но, с другой стороны, приводит к повышению температуры спекания и росту зерен керамики. Считается [5], что для обеспечения износостойкости керамики значительно более существенным, чем увеличение содержания в ней корунда, является формирование равномерной кристаллической структуры материала с синтезом высокоп-

рочных фаз на границах его зерен. Исходя из этого наиболее рациональным является регулирование микроструктуры керамического материала, содержащего 85-95% глинозема, путем введения в него специальных модифицирующих добавок [6].

Цель данной работы – разработка способов получения модифицированного корунда в качестве основного компонента износостойкой керамики.

Экспериментальная часть

В качестве модификатора корунда выбран MnO (1), обладающий наибольшей активностью по отношению к Al₂O₃ [7] и позволяющий значительно снизить температуру спекания и повысить износостойкость корундовой керамики.

Для образования модифицированного корунда (МК) были последовательно использованы три метода — нетрадиционный, но в настоящее время широко применяемый золь-гель способ [8-10] (для получения аморфных прекурсоров), термолиз (для синтеза МК), механосорбционная химическая активация (для перевода МК в неравновесное активное субмикрокристаллическое состояние).

В качестве реагентов для получения аморфных прекурсоров применяли $Al(NO_3)_3 \cdot 9H_2O(2)$, $Mn(NO_3)_2 \cdot 6H_2O$ (3), уротропин (гексаметилентетрамин) (CH2)6N4 (4) реактивных квалификаций "ч.д.а." и "х.ч.", углекислый газ (углерод диоксид, CO2) (5) и неионогенное поверхностно-активное вещество ОП-7 (6). Термическую обработку аморфных прекурсоров проводили в электрической печи с силитовыми нагревателями в интервале температур 200-1300°C при экспозициях 1-5 ν с постоянной скоростью подъема температуры 15 ν град.мин в присутствии ν в присутствии ν и малощелочного высокодисперсного ν с ν с ν с ν в оптимальных условиях термолиза МК подвергали механической активации в планетарной центробежной мельнице (ПЦМ) в присутствии небольших количеств 6 и 2. При работе в ПЦМ в широких пределах изменяли ее технологические параметры.

Исследование и интерпретацию промежуточных и конечных проб осуществляли известными методами химического, кристаллооптического и рентгенографического анализов. Размеры кристаллитов определяли по уширению рентгеновских интерференционных линий.

Были разработаны четыре способа получения аморфных прекурсоров. Во всех способах исходным был смешанный насыщенный раствор 2 и 3 с соотношением компонентов (в пересчете на оксиды) 95:5 (масс. %).

а). Исходный раствор, к которому при перемешивании добавлялось 4% **6**, нагревался на водяной бане до образования в результате гидролиза гидрогеля, содержащего примесь солей. После декантирования маточного раствора гидрогель нагревался в сушильном шкафу при 110°С. Образовавшийся ксерогель перемешивали с холодной дистиллированной водой при масс. отн. 1:3. Операцию проводили дважды. В результа-

те ксерогель самопроизвольно рассыпался на мельчайшие частицы – происходило его "химическое диспергирование" [11]. У ксерогеля после сушки, по результатам химического анализа, отсутствовали свойства, присущие в отдельности соединениям алюминия и марганца, следовательно, он не является их механической смесью, а представляет собой малоагрегированный порошок аморфного двойного гидроксида алюминиямарганца (АДГАМ), имеющего прошпинельную текстуру.

- б). Исходный раствор, к которому при перемешивании добавлялось 0,5% **6**, при 10°С вливался в раствор **4** при соотношении 1:2. После перемешивания в течение 0,5 ч смесь нагревалась на водяной бане до образования гидрогеля. Маточный раствор декантировали, а гидрогель обрабатывали как в способе 1 с получением порошка АД-ГАМ.
- в). Исходный раствор при комнатной температуре вливался в раствор **6** при соотношениях 1:6, 1:7, 1:9, смесь перемешивалась в течение 1 ν и выдерживалась без перемешивания до образования геля, который был устойчивым и не расслаивающимся. Гель высушивали при 110° С до образования пористого ксерогеля.
- г). Исходный раствор, к которому добавлялось 0,5% **6**, при постоянном перемешивании насыщался **5** до образования гидрогеля. Маточный раствор декантировали, а гидрогель в течение 1 ч вновь насыщали **5** для сохранения аморфного состояния и предотвращения агрегации. Гель под вакуумом на фильтре промывали дистиллированной водой, насыщенной **5**, до отсутствия в промывных водах NO₃-иона, смачивали 0,1% раствором **6** и высушивали при 110°C. Образовавшийся ксерогель представляет собой порошок АДГАМ.

Во всех разработанных способах аморфные осадки были выделены практически без старения гелей и в присутствии **6**, поэтому они обладали очень лабильной структурой, и самопроизвольный процесс агрегации в них не происходил, как и не происходило при дальнейших технологических операциях релаксации активного состояния.

Ксерогели, полученные всеми способами, подвергали термической обработке в присутствии 0,2-0,6% 7 и 0,5-0,8% малощелочного высокодисперсного α-Al₂O₃. При нагреве до 300-400°С содержащиеся в ксерогелях органические вещества полностью разлагались, АДГАМ дегидратировались и превращались в аморфные двойные оксиды алюминия-марганца, которые оставались аморфными до 800-850°С. Выше 850°С начиналось образование кристаллической алюмо-марганцовой шпинели (АМпШ). Образовавшаяся при 1125°С в течение 2 ч АМпШ имела хорошо сформированную структуру и представляла собой сыпучий порошок с размером кристаллитов 0,10-0,18 мкм и незначительным количеством непрочных агрегатов. Наибольшей дисперсностью обладала АМпШ, образовавшаяся по способу в) из растворов, содержащих 90% 6. После проведения механосорбционной химической активации в оптимальных условиях (скорость вращения барабанов мельницы –320 об ·мин¹, продолжительность обработки –5 мин, ускорение центробежных сил –12 g, добавка –0,07 % 6 и 2,5 % 2) размеры отдельных кристаллитов МК, полученного из различных прекурсоров, уменьшились до 0,05-0,08

 $\it мкm$. Кристаллы имели изометрическую форму, обеспечивающую наибольшую изностойкость МК.

Обсуждение результатов

Применение выбранных реагентов объясняется их свойствами. 2 разлагается с образованием в качестве промежуточных соединений оксонитратов алюминия переменного состава, имеющих многоядерные высокополимерные формы, которые затем переходят в высокополимерные гидроксиды и оксиды алюминия с повышенными прочностными свойствами [12,13]. 6, в небольших количествах добавляемое в смешанный раствор солей, в воду для промывания гидрогелей и в гидрогели перед сушкой, адсорбируется на поверхности раствора и частиц геля, создавая пространственный барьер между дисперсными частицами, понижая их свободную поверхностную энергию и тем самым предотвращая их агрегацию [14]. В способе в), 6 является основным структурообразующим компонентом при гелеобразовании – он превращается в гель, в котором распределяется смешанный раствор солей. 6 не коагулирует в растворах минеральных солей, не влияет на рН среды и этим выгодно отличается от применяемых автором [8] полиакриловой кислоты и полиакриламида. 4, как и 6, способствует гелеобразованию смешанного раствора солей. Он является слабым основанием и при его гидролитическом разложении в кислой среде выделяются ионы NH₃+, повышающие рН раствора и ускоряющие образование гидрогеля. 5, как и 6, создает в системе пространственный барьер, мешающий непосредственному контакту между частицами. Так как 5 при своей малой объемной концентрации в растворе не вызывает его пересыщения и разбавления, объем раствора, из которого происходит гелеобразование, остается постоянным.

Метод "химического диспергирования" ксерогелей основан на их свойствах. Сущность этого метода подробно изложена в работе [11].

Термическая стабильность аморфных прекурсоров в пределах температур 300-850°C объясняется их морфологическим, химическим и дисперсным составами, в частности, теорией пересыщения Рогинского [15].

Согласно представлениям многих исследователей [8,16,17], взаимодействие между солями с образованием фрагментов твердых растворов с единой кристаллической решеткой происходит уже на стадии осаждения, благодаря чему диффузионные препятствия при термическом синтезе АМпШ сведены к минимуму, а температура синтеза МК значительно снизилась. Добавление к аморфным ксерогелям тонкодисперсного α -Al₂O₃ позволило дополнительно снизить температуру образования МК, т. к. уменьшилась потребность в энергии, необходимой для образования центров его кристаллизации. 7 способствует снижению температуры и повышению скорости перехода низкотемпературных форм Al₂O₃ в α - Al₂O₃. При этом происходит ряд химических процессов, возможные механизмы которых обсуждены в работе [18].

Поскольку ионный радиус Al^{3+} значительно меньше ионного радиуса Mn^{2+} , при внедрении Mn^{2+} в кристаллическую решетку Al_2O_3 параметр ее увеличивается и она искажается в области возникновения вакансий. При этом образуется тонкая кристаллическая структура AMnIII, прочность и износостойкость которой повышаются [19,20].

При механической активации МК в его частицах в местах разрыва связей происходит локальный внутренний нагрев и развивается давление, что приводит к возбуждению молекул и повышению активности поверхностных слоев путем накопления структурных дефектов. 6 смачивает мономолекулярным слоем всю поверхность измельченных и активированных частиц МК и диффундирует по структурным дефектам, способствуя диспергированию частиц под действием капиллярных сил и предотвращению их агрегирования. Такой механосорбционный эффект облегчения диспергируемости [21] также содействует переводу МК в неравновесное состояние, характеризующееся повышенной реакционной способностью и улучшенными пластическими свойствами. 2 в условиях механической активации разлагается [22] с образованием высокодисперсного реакционноспособного оксида алюминия, который внедряется в разупорядоченные слои МК, препятствуя понижению его активности, дефектности и дисперсности.

Таким образом, разработанные способы обеспечили получение субмикрокристаллического активного реакционноспособного модифицированного корунда, применение которого будет способствовать интенсификации процесса спекания керамики, понижению температуры ее образования, повышению ее прочности и износостойкости. Такая керамика успешно может быть применена в производстве мелющих шаров и футеровок мельниц.

ՄԱՇԱԿԱՅՈՒՆ ԿՈՐՈՒՆԴԱՅՒՆ ԽԵՑԵՂԵՆԻ ԵԼԱՅՒՆ ԲԱՂԱԴՐԱՄԱՍԵՐԻ ՍԻՆԹԵՉ

Ա. Ա. ԽԱՆԱՄԻՐՈՎԱ, Հ. Ռ. ՀԱԴԻՄՈՍՅԱՆ, Լ. Պ. ԱՊՐԵՍՅԱՆ և Լ. Ա. ՉԻԼԻՆԳԱՐՅԱՆ

Մշակված են զոլ-ժել մեթոդներով ստացված ամորֆ երկակի ալյումինի-մանգանի հիդրօքսիդներից ակտիվության, խտության, մաշակայության, հոսունության և եռակալման հատկության բարձր ցուցանիշներով ենթամանրաբյուրեղային բարեփոխված կորունդի (հեռանկարային կորունդային խեցեղենի մանրացնող գնդերի և աղացների ներպատման արտադրության համար) ստացման եղանակներ։ Ամորֆ պրեկուրսորների ցածրջերմաստիձանային ջերմային քայքայումը և բարեփոխված կորունդի կարձատև մեխանիկական ակտիվացումը իրականացվում են այնպիսի նյութերի ներկայությամբ, որոնք հաղորդում են կորունդին անհրաժեշտ հատկություններ։

SYNTHESIS OF INITIAL COMPONENTS FOR WEARPROOF CORUNDUM CERAMICS

A. A. KHANAMIROVA, H. R. HADIMOSYAN, L. P. APRESYAN and L. A. CHILINGARYAN

M. G. Manvelyan Institute of General and Inorganic Chemistry NAS RA Bld. 10, II lanes, Argutyan str., Yerevan, 0051, Armenia Fax: (374 10) 23 12 75 E-mail: ionx@armline.am

Methods for obtaining submicrocrystalline (crystals of 50-80 nm size) modified corundum not aggregated, with enhanced reactivity, high indices of density, resistant to wear, with rheological and caking properties have been developed. Corundum is synthesized from amorphous precursors that makes it perspective in production of ultradisperse compact corundum ceramics for grinding balls and mills linings.

ЛИТЕРАТУРА

- [1] *Кузниченко А.Н., Богодист И.М., Комова Р.В., Менинник Е.К.* // Стекло и керамика, 1983, №8, с.22
- [2] Кузьменко Т.Г., Качанова И.В., Панишенко А.И. //Стекло и керамика, 1986, №2, с.23
- [3] Ершова Л.А., Протопова Т.К., Соловьева Л.А. // Стекло и керамика, 1988, №7, с.24
- [4] Бабыкин И.В., Лукин Е.С., Макаров Н.А. // Стекло и керамика, 2003, №8, с.11
- [5] Лукин Е.С. // Огнеупоры и техническая керамика, 1996, №1, с.2
- [6] Макаров Н.А. // Огнеупоры и техническая керамика, 2006, №1, с.34
- [7] Павлушкин Н.М. Спеченный корунд. М., Стройиздат, 1967, 208 с.
- [8] Андрианов Н.Т. // Стекло и керамика, 2003, №10, с.17
- [9] Rare Metal Mater. and Eng., 2005, v.34, Nº2, p. 194
- [10] Bozadgiev L. // Interceramic, 2006, v.55, No3, p. 158
- [11] Рутман Д.С., Торопов Ю.С., Полежаев Ю.М., Пермикина Н.М., Плинер С.Ю. // В кн.: Научные основы материаловедения. М., Наука, 1981, с.27
- [12] Лепинь Л.В., Вайваде А.Я. // ЖФХ [J. Phys. Chem. USSR (Engl. Transl.)], 1953, т.27, №2, с.217

- [13] *Захаров В.И., Матвеева В.А.* // ЖПХ [Russ. J. Appl. Chem. (Engl. Transl.)], 1996, т.69, №4, с.556
- [14] Ребиндер П.А. Поверхностно-активные вещества. М., Знание, 1961, 46 с.
- [15] Рогинский С.З. Электронные явления в гетерогенном катализе. М., Наука, 1975, 269 с.
- [16] Дзисько В.А., Карнаухов А.П., Тарасова Д.В. Физико-химические основы синтеза окисных катализаторов. Новосибирск, Наука, 1978, 384 с.
- [17] Бобкова Н.М., Радион Е.В., Поповская Н.Ф. //Огнеупоры и техническая керамика, 2004, №7, с.29
- [18] Ханамирова А.А. Глинозем и пути уменьшения содержания в нем примесей. Ереван, Изд. АН Арм. ССР, 1983, 243 с.
- [19] Третьяков Ю.Д. Твердофазные реакции. М., Химия, 1978, 360 с.
- [20] Лукин Е.С. // Огнеупоры и техническая керамика, 1996, №7, с.2
- [21] Ходаков Г.С. // Коллоидный журнал [Russ. Colloid. J. (Engl. Transl.)], 1998, т.60, №5, с.684
- [22] *Ханамирова А.А., Адимосян А.Р., Апресян Л.П., Чилингарян Л.А.* // Хим. ж. Армении, 2006, т.59, №2, с.31.

ՀԱՅԱՍՏԱՆԻ ՀԱՆՐԱՊԵՏՈՒԹՅԱՆ ԳԻՏՈՒԹՅՈՒՆՆԵՐԻ ԱԶԳԱՅԻՆ ԱԿԱԴԵՄԻԱ НАЦИОНАЛЬНАЯ АКАДЕМИЯ НАУК РЕСПУБЛИКИ АРМЕНИЯ

Հшјшиտшић рриђшиши ћшићи 62, №1-2, 2009 Химический журнал Армении

УДК 666.112

ТЕМПЕРАТУРА ЛИКВИДУСА, КРИСТАЛЛИЧЕСКИЕ ФАЗЫ И СВОЙСТВА СТЕКОЛ ПО РАЗРЕЗУ Te_2MoO_7 - $ZnMoO_4$ СИСТЕМЫ $ZnO-MoO_3-TeO_2$

М. Р. ОГАНЕСЯН ^а, Р. М. ОГАНЕСЯН ^а и Н. Б. КНЯЗЯН⁶

^а Научно-исследовательское и производственное предприятие материаловедения Армения, 0025, Ереван, ул. Чаренца, 17 Факс: (374-10)551801, E-mail:hovhannisyan@netsys.am

⁶ Институт общей и неорганической химии им. М.Г. Манвеляна НАН Республики Армения Армения, 0051, Ереван, ул. Аргутяна ІІпер., 10 Факс: (374-10)231275, E-mail:ionx@armline.am

Поступило 2 IV 2009

Исследованы дериватографические, рентгенометрические и дилотометрические характеристики стекол и закристаллизованных стекол по разрезу Te_2MoO_7 - $ZnMoO_4$ системы $ZnO-MoO_3$ - TeO_2 . Построена диаграмма ликвидуса по данному разрезу и определены поля кристаллизации Te_2MoO_7 , $ZnTeMoO_6$ и $ZnMoO_4$. Выявлены две эвтектические точки, содержащие 5 и 67мол.% $ZnMoO_4$ с т.пл. 495 и 610°C, соответственно. $ZnTeMoO_6$ занимает доминирующее положение в данной системе и вместе с Te_2MoO_7 способствует стеклообразованию, которое прекращается при переходе в поле кристаллизации $ZnMoO_4$. Выявлены аномальные изменения температуры стеклования (Tg) и TKJP стекол. При увеличении содержания $ZnMoO_4$ происходит увеличение Tg на 15 °C и неадекватное уменьшение TKJP на $48\cdot10^{-7}$, K^{-1} .

Рис.2, библ. ссылок 13.

Многокомпонентные системы на основе двуокиси теллура представляют интерес для разработки новых стеклообразных функциональных материалов, используемых в оптике, оптоэлектронике и электронной технике[1].

На диаграмме состояния системы MoO_3 - TeO_2 имеется конгруэнтно плавящееся при $551^{\circ}C$ соединение Te_2MoO_7 и две низкотемпературные эвтектики, содержащие 32,5 и 44,5 мол.% MoO_3 с температурами плавления 543 и $526^{\circ}C$, соответственно[2]. В системе выявлена широкая область стеклообразования от 20 до 60 мол.% MoO_3 по[3] и от 18 до 40 мол.% MoO_3 по [4], включающая двойное соединение Te_2MoO_7 . Авторы[5] синтезировали бинарные стекла, содержащие

10-40 мол.% MoO_3 , имеющие низкие температуры стеклования(Tg) 300-315°C и высокие коэффициенты линейного термического расширения(ТКЛР) (170-177)·10⁻⁷, K^{-1} .

В системе ZnO-MoO₃ [6] имертся два соединения: конгруэнтно плавящийся при 1015° C ZnMoO₄ и инконгруэнтно плявящийся при 1050° C Zn₂ Mo₂O₉. Выявлены также две эвтектики, содержащие 48,5 и 78 мол.% MoO₃ с температурами плавления 985 и 710°C, соответственно. Сведения о стеклообразовании в данной бинарной системе в литературе не обнаруженû.

Тройная система $ZnO-MoO_3$ - TeO_2 ранее не исследована. Имеются сведения о существовании двух стехиометрических цинктеллурмолибдатов $ZnTeMoO_6$ и $Zn_4TeMo_3O_{16}$ [7,8]. Согласно [7], $ZnTeMoO_6$ плавится конгруэнтно при 660°C, а по данным [8], $ZnTeMoO_6$ и $Zn_4TeMo_3O_{16}$ плавятся инконгруэнтно при 646°C.

Целью настоящей работы являлось исследование изменения температуры ликвидуса ($T\pi$), состава кристаллических фаз по разрезу Te_2MoO_7 - $ZnMoO_4$ системы ZnO- MoO_3 - TeO_2 , исследование стеклообразующей способности составов и свойств стекол.

Методика эксперимента

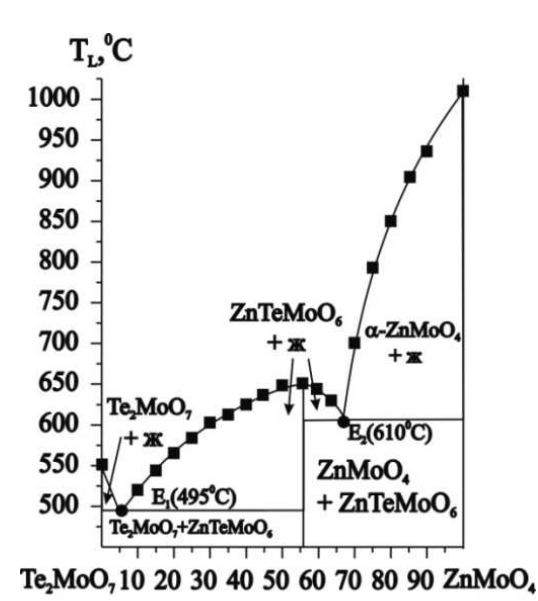
Шихты в количествах 40-50 *г*, приготовленные из реактивов TeO₂, MoO₃ и ZnO квалификации "х.ч.", варились в тиглях из кварцевого стекла при температурах от 800 до 1200°С в электрической печи с выдержкой расплава от 15 до 30 *мин*.

Стеклообразование определялось визуально отливкой расплава на холодную металлическую плиту или его грануляцией в воду. Образцы стекол, полученные в виде штабиков и дисков, отжигались в муфеле при температурах стеклования в интервале 300-320°С. Измерения ДТА порошков стекол проводились на дериватографе марки "Q-1000" со скоростью 10 К/мин. Измерения ТКЛР образцов проводились на вертикальном кварцевом дилатометре "ДКВ-5А", отградуированном эталоном сапфира. Величина ТКЛР рассчитывалась в интервале 20-200°С в связи с низкими величинами Тg стекол.

Образцы в виде таблеток и штабиков, спрессованных из стеклопорошка, кристаллизовались в течение 6-24 ч при температурах максимумов экзоэффектов, проявленных на кривых ДТА. Часть образцов была получена твердофазовым синтезом при температуре (0,8-0,9) Т.пл. состава в течение 24-48 ч с промежуточным перетиранием продукта. Рентгеновские исследования закристаллизованных образцов проводились на дифрактометре "ДРОН-3". Для идентификации кристаллических фаз была использована современная база данных ICDD PDF-2 2008 г. [9].

Результаты и их обсуждение

Введение ZnMoO4 до 5 мол.% по разрезу Te₂MoO7-ZnMoO4 понижает Tл системы на 56° С, образуя первую низкотемпературную эвтектику при $495\pm5^{\circ}$ С. При дальнейшем увеличении содержания ZnMoO4 до 56 мол.% на кривой TL образуется максимум (650° С). Вторая эвтектика с температурой плавления $610\pm5^{\circ}$ С наблюдается на кривой ликвидуса при 67.0 мол.% ZnMoO4. Дальнейшее увеличение ZnMoO4 приводит к резкому увеличению температуры ликвидуса системы (рис. 1).



ZnMoO4,мол. %

Рис. 1. Изменение температуры ликвидуса и состава кристаллических фаз по разрезу Te_2MoO_7 - $ZnMoO_4$ системы $ZnO-MoO_3$ - TeO_2

Область стеклообразования в изучаемом разрезе Te_2MoO_7 - $ZnMoO_4$ изменяется от исходного состава Te_2MoO_7 (0%) до 65 мол.% $ZnMoO_4$. По данным $P\Phi A$, основным продуктом кристаллизации стекол в доэвтектической области составов (0-5 мол. % $ZnMoO_4$) является Te_2MoO_7 : d(E)/I (3.78/100, 3.32/80, 2.91/50)[9, PDF карта 030-1339]. В составах, содержащих от 5 до 67 мол.% $ZnMoO_4$, основным продуктом кристаллизации стекол является $ZnTeMoO_6$:d(E)/I(2.81/100, 3.64/40, 4.46/25)[9, PDF карта 032-1480]. Максимум на кривой ликвидуса имеет состав (мол.%): 29,35 TeO_2 ; 42,65 MoO_3 ; 28ZnO и по составу смещен от стехиометрического состава $ZnTeMoO_6$ (33,3 TeO_2 ; 33,3 MoO_3 ; 33,3 ZnO_3), который имеет, по нашим данным, температуру ликвидуса 680°C. Исследуемый разрез проходит через поле кристаллизации соединения $ZnTeMoO_6$ которое занимает доминирующее положение в данной системе (рис. 1). В послеэвтектической области (более 67 мол.% $ZnMoO_4$) основной фазой в продуктах кристаллизации является α - $ZnMoO_4$: d(E)/I (3.34/100, 3.67/89, 3.40/61)[9, PDF карта 072-1486].

Исследование дилатометрических характеристик синтезированных стекол выявило интересные, на наш взгляд, закономерности. Введение ZnMoO4 незначительно влияет на Тg стекол (рис. 2, кр. 1), увеличивая ее от 315 (исходный Te_2MoO_7) до $330^{\circ}C$ (стекло, содержащее 65 мол.% ZnMoO4). Во всем концентрационном интервале введение ZnMoO4 монотонно снижает ТКЛР стекол от $150 \cdot 10^{-7}$ (исходный Te_2MoO_7) до величины $102 \cdot 10^{-7}$, K^{-1} (65мол.% ZnMoO4) (рис. 2, кр. 2).

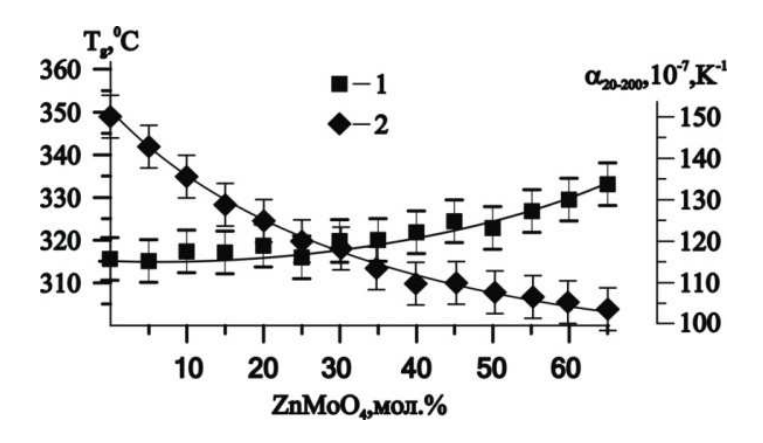


Рис. 2. Изменение Tg, $^{\circ}$ C (1) и TKЛР в интервале 20-200 $^{\circ}$ C(2) стекол по разрезу Te₂MoO₇-ZnMoO₄ системы ZnO-MoO₃-TeO₂.

Выявленные закономерности изменения Тg и ТКЛР стекол могут быть объяснены структурными особенностями исследуемых стекол. Структура стекол системы МоО₃-ТеО₂, содержащих менее 40 мол.% МоО₃, формируется тригональными бипирамидами ТеО₄ и группами [МогОв], образованными парой полиэдров МоОв[10]. Согласно [5], структура стекол системы МоО3-ТеО2, содержащих 30-40 мол.% МоО3, идентична структуре кристаллического Te₂MoO₇. Основными структурными группами этих стекол являются тригональные бипирамиды ТеО4 и октаэдры МоО6. Наличие неподеленной электронной пары у теллура приводит к асимметричному расположению кислородных атомов и возникновению запрещенных направлений для образования трехмерной сетки. В структуре стекол сосуществуют оксителлуритные, оксителлуритномолибдатные и молибдатные структурные единицы и реализуются связи Те-О-Те, Мо-О-Те и Мо-О-Мо. Следовательно, образование частично цепочечных структур и набор указанных низкоэнергетических связей обеспечивают низкие значения Тg и высокий ТКЛР стекол. Стекла в системе ZnO-TeO2, содержащие 25-30 мол.% ZnO, также имеют низкие $Tg=300-320^{\circ}C$ и высокий $TKJIP\sim170^{\circ}10^{-7}$, $K^{-1}[11,12]$, что также является следствием образования низкоэнергетических связей Те-О-Те, Zn-О-Те в структуре этих стекол, аналогично системе MoO_3 - TeO_2 .

Структура кристаллического $ZnMoO_4$ состоит из искаженных ZnO_6 -октаэдров, ZnO_5 - пирамид и изолированных MoO_4 - тетраэдров [13], которые не склонны к стеклообразованию.

Информация о структуре цинктеллурмолибдатов отсутствует. Однако, основываясь на дилатометрических данных, можно предположить, что в структуре стекол, наряду с группировками, характерными для бинарных теллур(цинк)молибдатов, формируется новый тип структурных единиц, обеспечивающий неадекватное снижение ТКЛР стекол.

В заключение следует отметить, что нами впервые построена фазовая диаграмма по разрезу Te_2MoO_7 - $ZnMoO_4$ тройной системы $ZnO-MoO_3$ - TeO_2 , выявлены поля кристаллизации Te_2MoO_7 , $ZnTeMoO_6$ и две эвтектические точки состава 5 и 67 мол.% $ZnMoO_4$ с температурами плавления 495 и 610°C.

Впервые выявлена стеклообразующая способность ZnTeMoO₆, который занимает доминирующее положение и вместе с Te₂MoO₇ обеспечивает широкую область стеклообразования, прекращающегося при переходе в поле кристаллизации ZnMoO₄.

Основываясь на дилатометрических данных стекол, предположено формирование нового типа структурных единиц, обеспечивающего неадекватно низкое снижение ТКЛР стекол практически при неизменном значении Tg.

ZnO-MoO₃-TeO₂ ՀԱՄԱԿԱՐԳԻ Te₂MoO₂ - ZnMoO₄ ԿՏՐՎԱԾՔԻ ԼԻՔՎԻԴՈՒՍԻ ՋԵՐՄԱՍՏԻՃԱՆԸ, ԲՅՈՒՐԵՂԱԿԱՆ ՖԱՉԱՆԵՐԸ ԵՎ ԱՊԱԿԻՆԵՐԻ ՀԱՏԿՈՒԹՅՈՒՆՆԵՐԸ

Մ. Ռ. ՀՈՎՀԱՆՆԻՍՑԱՆ, Ռ. Մ. ՀՈՎՀԱՆՆԻՍՑԱՆ և Ն. Բ. ԿՆՑԱԶՑԱՆ

Հետազոտված է ZnO-MoO₃-TeO₂ համակարգի Te₂MoO₇-ZnMoO₄ կտրվածքի ապակիների եւ բյուրեղացված ապակիների դիֆերենցիալ թերմի, ռենտգենաֆազային անալիզի, ինչպես նաեւ դիլատոմետրիկ(ԳԸՋԳ) բնութագրերը։ Կառուցվել է նշված կտրվածքի լիքվիդուսի կորը, բացահայտվել են Te₂MoO₇ , ZnTeMoO₆ եւ α-ZnMoO₄ միացությունների նախնական բյուրեղացման դաշտերը։ Բացահայտվել են երկու էվտեկտիկ բաղադրությունների ՝ 5 մոլ % ZnMoO₄(Th 495 °C) եւ 67 մոլ % ZnMoO₄ (Th 610 °C) առաջացումը։ Պարզված է ZnTeMoO₆ միացության յուրահատուկ դիրքը եւ Te₂MoO₇ միացության հետ ապակեգոյացման ունակությունը։ Ապակեգոյացումը ընդհատվում է սառեցվող հալույթում բյուրեղական α-ZnMoO₄ առաջանալու պատձառով։ Բացահայտվել է նշված կտրվածքի ապակիների ապակեացման ջերմաստիձանի եւ գծային ընդարձակման ջերմային գործակցի (ԳԸՋԳ) անոմալ փոփոխությունը։ ZnMoO₄ միացության կոնցենտրացիայի ավելացմանը զուգընթաց դիտվում է ապակիների ապակեացման ջերմաստիձանի աձ՝ 15°C-ով եւ ԳԸՋԳ-ի նվազում՝ 48·10⁻⁷, K⁻¹ միավորով։

LIQUIDUS TEMPERATURE, CRYSTALLINE PHASES AND GLASS PROPERTIES OF THE $Te_2MoO_7\text{-}ZnMoO_4\,SECTION\\$ OF THE ZnO-MoO $_3$ -TeO $_2$ SYSTEM

M. R. HOVHANNISYAN^a, R. M. HOVHANNISYAN^a and N.B.KNYAZYAN^b

^aScientific Production Enterprise of Material Science 17 Charents st., 0025, Yerevan, Armenia Fax: (374 – 10)551801, E – mail: hovhannisyan@netsys.am

b M.G.Manvelyan Institute of General and Inorganic Chemistry of NAS RA Bld. 10, II lanes, Argutyan str., Yerevan, 0051, Armenia Fax: (374-10)231275, E-mail: ionx@armline.am

DTA, X-ray and dilatographical features of glasses and crystallized glasses in Te_2MoO_7 -ZnMoO₄ section of the ZnO-MoO₃-TeO₂ system have been studied. The melting diagrams of the studied section have been constructed and fields of the Te_2MoO_7 , ZnMoO₄ of ZnTeMoO₆ crystallization have been revealed. Two eutectic points at 5.0 & 67.0 mol% ZnMoO₄ with melting points 495 and 610°C have been determined. The ZnTeMoO₆ occupied dominant position in the studied system and together with Te_2MoO_7 promoted to glass formation in contrast to ZnMoO₄ field of crystallization where glass formation stopped. Abnormal changes of TEC and Tg of studied glasses have been revealed: increase of Tg by 15°C resulted in inadequate decrease of TEC (20-200°C) by $48\cdot10^{-7}$, K^{-1} .

ЛИТЕРАТУРА

- [1] *Inoue S, Todoroki S., Konishi T., Chu S-Z., Wada K., Kikkojin T., Yasumori.* // Proceedings of the XX ICG in Kyoto, Sep. 27th-Oct 1st, 2004, PDF file NºO-016-018.
- [2] *Petrini G, Bart J.C.J., Pericinoto P., Giordano N.* // In Therm. Anal. Proc. 4th Int.Conf., Budapest, Hungary, July 8-13, 1974, v.1, p.387.
- [3] Тищенко Н.И., Сафонов В.В. // ЖНХ, 1983, v. 28, № 5, с. 1288.
- [4] Dimitriev Y., Bart J.C.J., Ivanova I., Dimitrov V. // Z.Anorg.Allgem.Chem., 1988, v. 562, p.175.
- [5] Sekiya T., Mochida N., Ogawa S.//J.Non Cryst. Solids, 1995, v.185, p.135.
- [6] Янушкевич Т.М, Жуковский В.М., Ткаченко Е.В. // ЖНХ, 1978, v. 23, №9, с. 2485.
- [7] Forzatti P., Tittarerelly P. // J.Solid State Chem., 1980, v.33, p.421.
- [8] Slozhnsky J., Sliwa B. // Z. Anorg. Allg. Chem., 1978, v.438, p.295.
- [9] Inernational Center for Diffraction Data (ICDD), PDF-2 release 2008, Version 2.0804, Pennsylvania, USA.
- [10] Dimitriev Y., Dimitrov V., Arnaudov M. // J. Mater. Sci., 1983, v. 18, p.1353.
- [11] Reichelt W., Weber T., Sohnel T., Dabritz S. // Z. Anorg. Allg. Chem. 2000, v.626, p.2020.
- [12] Burger H., Kneipp K., Hobert H., Vogel W., Kozhukharov V., Neov S. // J.Non-Cryst. Solids, 1992, v. 151, №1-2, p. 134.
- [13] Nukui A., Taniguchi T., Miyata M. // J.Non-Cryst. Solids, 2001, v. 293-295, p. 255.

ՀԱՅԱՍՏԱՆԻ ՀԱՆՐԱՊԵՏՈՒԹՅԱՆ ԳԻՏՈՒԹՅՈՒՆՆԵՐԻ ԱԶԳԱՅԻՆ ԱԿԱԴԵՄԻԱ НАЦИОНАЛЬНАЯ АКАДЕМИЯ НАУК РЕСПУБЛИКИ АРМЕНИЯ

Հшјшиտшնի рիմիшկшն ншипեи 62, №1-2, 2009 Химический журнал Армении

АНАЛИТИЧЕСКАЯ ХИМИЯ

УДК 513.7+546.49

ВЗАИМОДЕЙСТВИЕ РТУТИ(II) С АЛЛИЛ- И ФЕНИЛТИОМОЧЕВИНАМИ И ЕЕ ОПРЕДЕЛЕНИЕ В РТУТЬСОДЕРЖАЩЕЙ РУДЕ

Г. Г. ДАРБИНЯН, Ш. С. ЗАКАРЯН, Г. Н. ШАПОШНИКОВА и А. Г. ХАЧАТРЯН

Ереванский государственный университет Армения, 0025, Ереван, ул. Алека Манукяна, 1 Факс: (37410) 570663; E-mail: gold@ysu.am

Поступило 24 VI 2008

Методом амперометрического титрования изучено взаимодействие меркури-иона с аллил- и фенилтиомочевинами. Определение меркури-иона осуществимо при кислотности 0,1-4,0~M по азотной и серной кислотам. Подчиняемость основному закону амперометрии соблюдается в интервале концентраций ртути (II) $4,0\cdot10^{-5}-1,6\cdot10^{-3}~M$ ($0,008-0,32~{\it мг/мл}$) при использовании аллилтиомочевины и $4,0\cdot10^{-5}-4,0\cdot10^{-3}~M$ ($0,008-0,8~{\it мг/мл}$) при титровании с помощью фенилтиомочевины. Мольное отношение реагирующих компонентов в обоих случаях Hg^{2+} : R=1:1. Метод амперометрического титрования меркури-иона с использованием фенилтиомочевины применен для определения ртути в ртутьсодержащей руде.

Табл. 1, библ. ссылок 7.

В аналитической химии ртути значительное место занимают электрохимические методы – кулонометрия, вольт-амперометрия и амперометрическое титрование. При определении ртути в почвах кулонометрическим методом ртуть электрохимически осаждают на пористом электроде с золотым покрытием, а затем осадок гальваностатически растворяют. Предел обнаружения $0.5 \ \text{мкr/}/\pi [1]$.

Определение ртути в высокотемпературных сверхпроводниковых сплавах проводят методом потенциостатической кулонометрии. Погрешность определения не превышает 0,2% [2].

Метод вольт-амперометрии с использованием графитсодержащих сенсоров использован для определения тяжелых металлов, в том числе и ртути. Время накопления 6-7 *мин*. Прямая пропорциональная зависимость наблюдается в интервале концентраций ртути(II) $5,0\cdot10^{-8}-1,0\cdot10^{-6}$ $M/\partial M^3$ [3]. Для определения ртути в почвах применён тонкопленочный графитсодержащий электрод. Определяемая концентрация $2,0\cdot10^{-6}-4,0\cdot10^{-5}$ % [4].

Метод инверсионной вольт-амперометрии использован для определения ртути в воздухе. Предложен состав раствора, позволяющий проводить экстракцию ртути из воздуха с накоплением на золотом электроде. Определяемая концентрация ртути до 100 мкг/м³ [5].

Вышеперечисленные методы, обладая довольно высокой чувствительностью, на наш взгляд, не имеют широкого практического применения из-за сложности техники выполнения.

Для амперометрического определения ртути применены йодид калия и большое число органических, в основном, серусодержащих реагентов. Многие из них малодоступны, что ограничивает их применение [6]. Определенный интерес представляет применение производных тиомочевины – аллил- и фенилтиомочевин (ATM и ФТМ).

АТМ и ФТМ применены для определения палладия в электролитах палладирования [7]. Что касается взаимодействия АТМ и ФТМ с таким «тиофильным» элементом, каким является ртуть, то литературные данные об этом нам не известны.

Настоящая работа посвящена изучению взаимодействия меркури-иона с ATM и ФТМ и разработке амперометрического метода определения ртути(II).

Экспериментальная часть

Рабочий раствор меркуринитрата готовили растворением соли в дистиллированной воде с добавлением азотной кислоты. Концентрацию устанавливали при помощи раствора хлорида натрия, приготовленного из фиксанала. Индикатор – дифенилкарбазид.

Растворы ATM и ФТМ готовили растворением точной навески препарата соответственно в дистиллированной воде или этиловом спирте.

(ATM)
$$CH_2$$
= CH - CH_2 - NH - C - NH_2 ; (Φ TM) C_6H_5 - NH - C - NH_2 \parallel S

Использовали растворы серной и азотной кислот квалификации «ч.д.а.».

Амперометрическое титрование ртути(II) проводили на собранной амперометрической схеме. Индикаторным электродом служил платиновый микроэлектрод ($I=4\,$ мм). Электрод сравнения — меркурйодидный ($E=+0.02\,$ В).

Известно, что ионы Hg^{2+} восстанавливаются на платиновом электроде, начиная с +0.7~B, а ATM окисляется в интервале +1.0-1.6~B. Следовательно, амперометрическое титрование возможно как по току восстановления меркури-иона, так и по току окисления ATM. В дальнейшем выяснилось, что данные, полученные при использовании тока анодного окисления ATM, плохо воспроизводимы и не могут быть использованы. Известно, что как сера, так и аллильная группа, входящая в состав аллилтиомочевины, могут окисляться на платиновом

электроде. По всей вероятности, их возможное конкурентное окисление делает получаемые данные плохо воспроизводимыми. Титрование меркури-ионов раствором ATM по току катодного восстановления ртути(II) может быть проведено в широком интервале кислотности по серной и азотной кислотам $(0,1\ M-4,0\ M)$.

Подчиняемость основному закону амперометрии соблюдается в интервале концентраций ртути(II) $4,0\cdot10^{-5}$ – $1,6\cdot10^{-3}$ M (0,008-0,32 мг/мл). Во всех случаях мольное отношение реагирующих компонентов Hg²⁺:ATM=1:1, что можно представить следующей схемой:

Следующий реактив, примененный для амперометрического титрования меркури-ионов – Φ TM, способная окисляться на платиновом электроде начиная с +0,8 B, что и было использовано при титровании. Как и в первом случае, мольное отношение реагирующих компонентов Hg^{2+} : Φ TM = 1 : 1. Интервал определяемых концентраций ртути(II) со-ставляет 4,0 · 10^{-5} – $4,0 \cdot 10^{-3} M$ (0,008-0,8 мг/мл).

Азот и сера, входящие в состав молекул использованных производных тиомочевины, являются потенциальными донорами. По Полингу, значения электроотрицательности азота и серы равны соответственно 3,0 и 2,6. Таким образом, можно сделать вывод о том, что упомянутые лиганды в комплексах ртути(II) должны координироваться преимущественно посредством атома серы, а не азота.

$$H_2N \xrightarrow{C} C \xrightarrow{NH} NH$$

$$SH$$

$$HN=C-NH-C_6H_5$$

$$SH$$

При сравнении в качестве реактивов ATM и Φ TM следует предпочесть Φ TM. Если в первом случае титрование с использованием тока окисления ATM невозможно, то с применением Φ TM возможности титрования расширяются (u—/-образные кривые титрования).

Полученные экспериментально данные позволили разработать метод амперометрического титрования меркури-ионов с помощью ATM и Φ TM и применить его для определения ртути в ртутьсодержащей руде РУС-2 (Россия) (табл.).

Состав ртутьсодержащей стандартной руды

		Содержание элементов, %							
Образец	As	Ag	Au	Sb	Se	Te	Tl	Hg	Zn
РУС-2	0.35	0.033	0.0006	0.044	0.0048	0.0031	6.3.10-4	0.043	2.2.10-4

Ход анализа. Навеску 10,0 r руды переносят в термостойкую колбу объемом 250 $m\pi$. Добавляют 35 $m\pi$ концентрированной H_2SO_4 , через некоторое время - 4,0 r KNO₃, и нагревают до полного растворения руды. После охлаждения добавляют 100 $m\pi$ воды и нагревают до полного растворения основных солей. Раствор нейтрализуют аммиаком до появления слабого запаха (рН 6-7). Фильтруют и переносят в мерную колбу на 100 $m\pi$. Аликвотную часть полученного раствора титруют при помощи $1,0 \cdot 10^{-3} \, M$ раствора ФТМ при потенциале $+0,2 \, B$ в оптимальных по кислотности растворах H_2SO_4 .

При содержании ртути в стандартной руде 0,043% определено (0,040÷0,004%). Относительная ошибка определения находится в допустимых пределах и составляет 6,97%.

ԱԼԻԼ- ԵՎ ՖԵՆԻԼԹԻՈՄԻԶԱՆՅՈՒԹԵՐԻ ՀԵՏ ՄՆԴԻԿ(II)-Ի ՓՈԽԱԶԴԵՑՈՒԹՅՈՒՆԸ ԵՎ ՆՐԱ ՈՐՈՇՈՒՄԸ ՄՆԴԻԿ ՊԱՐՈՒՆԱԿՈՂ ՀԱՆՔՈՒՄ

Հ. Հ. ԴԱՐԲԻՆՅԱՆ, Շ. Ս. ԶԱՔԱՐՅԱՆ, Գ. Ն. ՇԱՂՈՇՆԻԿՈՎԱ և Հ. Գ. ԽԱՉԱՏՐՅԱՆ

Ամպերաչափական տիտրման եղանակով ուսումնասիրվել է մերկուրի-իոնի փոխազդեցությունը ալիլ- և ֆենիլթիոմիզանյութերի հետ։ Մերկուրի-իոնի որոշումը հնարավոր է իրականացնել ըստ ազոտական և ծծմբական թթուների 0,1-4,0 *Մ* թթվության տիրույթում։

Ամպերաչափության հիմնական օրենքին ենթարկվելը դիտվում է սնդիկ(II)-ի կոնցենտրացիաների $4,0\cdot10^{-5}-1,6\cdot10^{-3}$ U (0,008-0,32 uq/ul) տիրույթում՝ ալիլթիոմիզանյութի օգտագործման դեպքում և $4,0\cdot10^{-5}-4,0\cdot10^{-3}$ U (0,008-0,8 uq/ul)՝ ֆենիլթիոմիզանյութով տիտրման դեպքում։ Փոխազորդ բաղադրիչների մոլային հարաբերակցությունը երկու դեպքերում էլ կազմում է $Hg^{2+}:R=1:1:$ Ֆենիլթիոմիզանյութի օգտագործմամբ մերկուրի-իոնի ամպերաչափական տիտրման եղանակը կիրառվել է սնդիկ պարունակող հանքում նրա որոշման համար։

THE INTERACTION OF MERCURY(II) WITH ALLYL-AND PHENYLTHIOUREA AND ITS DETERMINATION IN MERCURY-CONTAINING ORE

H. H. DARBINYAN, Sh. S. ZAQARYAN, G. N. SHAPOSHNIKOVA and H. G. KHACHATRYAN

Yerevan State University
1, Alek Manukian str., Yerevan, 0025, Armenia
Fax: (37410) 570663, E-mail: gold@ysu.am

The interaction of mercury-ion with allyl- and phenylthiourea has been studied by means of amperometric titration method. The determination of mercury-ion is possible to realize within the acidity range 0.1-4.0 M by nitric and sulfuric acids.

The conformity with the amperometry basic law adhered within the $4.0 \cdot 10^{-5} - 1.6 \cdot 10^{-3} M$ (0,008-0,32 mg/mL) mercury(II) concentration when using allylthiourea as reagent and correspondingly $4.0 \cdot 10^{-5} - 4.0 \cdot 10^{-3} M$ (0,008-0,8 mg/mL) in case of titration by phenylthiourea.

The molar ratio of the acting components in both cases is $Hg^{2+}:R=1:1$. The method of potentiometric titration using phenylthiourea has been applied for determination of mercury in ore.

ЛИТЕРАТУРА

- [1] Kozakova E., Bodor R., Jursa I. // Chem. Pap., 2000, v. 54, №3, p.144. PЖX 01.16.-19Г.202.
- [2] Денисова А.Е., Кабанова О.А. // Зав. лаб., 2000, т. 66, №11, с. 15. РЖХ 01.24.-19Г.151.
- [3] Курбатов Д.И., Булдакова Л. Ю.Пичугина // Зав. лаб., 2004, т. 70, №2, с. 8.
- [4] *Стожко Н.Ю., Колядина Л.И., Шалыгина Ж.В., Комышов В.М., Брайнина Х.З.* // Зав. лаб., 2003, т. 69, №7, с. 10. РЖХ 04.04.-19Г.224.
- [5] *Аверяскина Е.О., Ермаков С.С., Москвин Л.Н.* // Тезисы докладов Пятой Всероссийской научной конференции по анализу объектов окружающей среды "Экоаналитика", Санкт-Петербург, 2003, с. 155. РЖХ 04.06-19Г.226.
- [6] Сонгина О.А., Захаров В.А. // Амперометрическое титрование. М., Химия, 1979, с. 239
- [7] *Мкртчян А.Р.* Автореф. дисс. "Определение микроколичеств палладия(II) серосодержащими реагентами" канд. хим. наук. Ереван, 2007, 20 с.

ՀԱՅԱՍՏԱՆԻ ՀԱՆՐԱՊԵՏՈՒԹՅԱՆ ԳԻՏՈՒԹՅՈՒՆՆԵՐԻ ԱԶԳԱՅԻՆ ԱԿԱԴԵՄԻԱ НАЦИОНАЛЬНАЯ АКАДЕМИЯ НАУК РЕСПУБЛИКИ АРМЕНИЯ

Հայաստանի քիմիական հանդես 62, №1-2, 2009 Химический журнал Армении

УДК 543.422.3 + 546.562 + 547.435.4

СПЕКТРОФОТОМЕТРИЧЕСКОЕ ИССЛЕДОВАНИЕ ВЗАИМОДЕЙСТВИЯ МЕДИ(II) С МОНО-, ДИ-И ТРИЭТАНОЛАМИНАМИ

С. В. ВАРТАНЯН, А. М. БЕЙБУТЯН и А .Г. ХАЧАТРЯН

Ереванский государственный университет Армения, 0049, Ереван, ул. А.Манукяна, 1 Факс: (37410) 570663, E-mail: gold@ysu.am

Поступило 20 X 2008

Спектрофотометрическим методом исследовано взаимодействие меди(II) с моно-, ди- и триэтаноламинами. Выяснено, что все три соединения взаимодействуют с медью в щелочной среде, образуя окрашенные комплексы. Установлены оптимальные условия взаимодействия, определен интервал концентраций меди(II), подчиняющиеся основному закону фотометрии, изучено влияние ионов некоторых сопутствующих элементов на определение меди(II) с ис-пользованием триэтаноламина. Определены состав и заряд образующегося комплексного соединения меди(II) с триэтаноламином [$Cu(R_3)_4$]- 2 . Поскольку соединение меди(II) с триэтаноламином характеризуется наибольшим значением мольного коэффициента светопоглощения, данный реагент предложен для определения меди в объектах со сравнительно высоким содержанием меди. Методика спектрофотометрического определения меди(II) с использованием триэтаноламина проста, экспрессна, не требует использования сложной дорогостоящей аппаратуры, характеризуется достаточной правильностью и воспроизводимостью результатов.

Рис. 2, табл. 1, библ. ссылок 12.

В литературе описан ряд органических соединений различных классов, которые используются в качестве реагентов для фотометрического определения меди(II) [1-11]. Некоторые из них характеризуются высокой чувствительностью, однако их синтез сложен, что делает их применение проблематичным [10-11], другие малоизбирательны [1-5] или взаимодействуют при некотором конкретном значении или в узком интервале значений рН, создание и поддержание которых затруднено [2, 8, 9].

Настоящая работа посвящена исследованию взаимодействия меди(II) с моно- (R_1) , ди- (R_2) и триэтаноламинами (R_3) . Эти соединения являются легкодоступными, недорогими и не изучены в качестве реагентов для определения меди(II).

Экспериментальная часть

Химические реагенты и растворы, использованная аппаратура.

Раствор меди(II) готовили растворением точной навески перекристаллизованного пентагидрата сульфата меди(II) CuSO₄(5H₂O в дистиллированной воде. Растворы реагентов готовили растворением точных навесок свежеперегнанных реагентов в дистиллированной воде. Оптическую плотность (ОП) измеряли на спектрофотометре "С Φ -16", pH растворов определяли при помощи pH-метра-милливольтметра "pH-121".

Качественными опытами было установлено, что при добавлении к раствору меди(II) растворов R₁, R₂ и R₃ появляется соответственно фиолетовое, сине-фиолетовое и синее окрашивание. После чего были сняты спектры светопоглощения растворов меди(II), реагентов и образующихся соединений. Поскольку реагенты в видимой области не поглощают, а светопоглощение разбавленных растворов меди(II) незначительно, на рис. 1 представлены только спектры светопоглощения образующихся соединений.

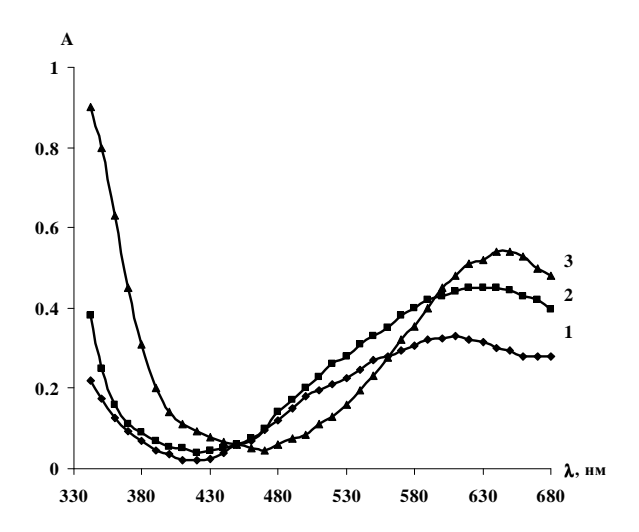


Рис. 1. Спектры светопоглощения образующихся соединений меди(II) с: a – реагентом R_1 ; δ – реагентом R_2 ; B – реагентом R_3 .

Как видно из приведенного рисунка, максимумы светопоглощения наблюдаются при 600, 630 и 650 *нм*, соответственно. Поскольку реагенты в указанной области не поглощают, в качестве раствора сравнения («холостого раствора») может быть использована дистиллированная вода.

Для установления оптимальных условий взаимодействия были изучены основные факторы, влияющие на протекание подобных реакций. Оптимальные концентрации реагентов, обеспечивающие максимальные и постоянные значения ОП образующихся соединений, соответствуют двукратному избытку по сравнению с концентрацией меди(II) при использовании R₁, четырехкратному избытку – при использовании R₂, и восьмикратному – при использовании R₃. Все три соединения образуются сразу после добавления растворов реагентов

Все три реагента являются основаниями, поэтому предполагалось, что взаимодействие будет иметь место в слабощелочной среде. Выяснилось, что для образования соединений меди(II) с R_1 оптимальной является область pH 9.5-10.8; для R_2 — необходимо обеспечить концентрацию 0.2-1.0 моль/л NaOH; для R_3 — pH 6.6-12. Необходимые значения регулировали добавлением разбавленных растворов серной кислоты или гидроксида натрия.

Подчиняемость закону Бера наблюдается соответственно в интервале концентраций меди(II) 39-390 $MKT/M\pi$ (R₁); 51-510 $MKT/M\pi$ (R₂) и 13-260 $MKT/M\pi$ (R₃). Мольные коэффициенты светопоглощения образующихся соединений равны соответственно 400 (R₁), 1000 (R₂) и 1200(R₃) π -моль⁻¹-см⁻¹.

Мольное соотношение меди(II) и реагента в образующихся соединениях удалось определить только для R_3 методом изомолярных серий [12].

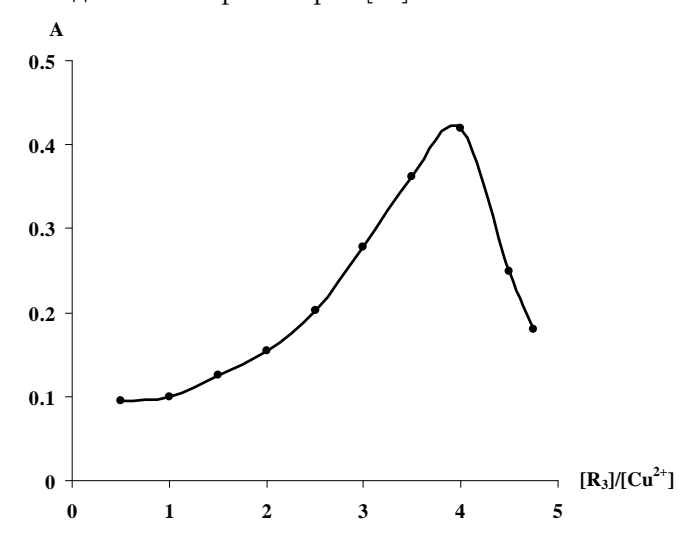


Рис. 2. Определение мольного отношения Cu(II): R_3 : $C[Cu(II)] = C[R_3] = 1.0 \cdot 10^{-1}$ моль/ π , $\lambda = 650$ нм; I = 2 см; $V_{\text{конечы.}} = 25$ мл.

Четко выраженный максимум значений ОП наблюдается при мольном соотношении $[Cu(II)]:[R_3]=1:4$, на основании чего можно заключить, что образуется комплексное соединение состава $Cu(R_3)_4$.

Методом электрофореза определен заряд образующегося комплекса. Электрофорез проводили с медными электродами при напряжении $E=110\ B$, в качестве боковой жидкости использовали раствор гидроксида натрия. При помощи капилляра вводили окрашенный раствор образовавшегося комплекса меди(II). Через некоторое время после включения прибора наблюдалось медленное перемещение окрашенного раствора по направлению к аноду, на основании чего можно заключить, что комплексные частицы имеют положительный заряд. Это может иметь место, если комплексообразование идет по донорно-акцепторному механизму, при этом донором является атом азота аминной группы:

$$\begin{bmatrix} HOCH_2CH_2 \\ HOCH_2CH_2 \\ HOCH_2CH_2 \\ HOCH_2CH_2 \\ HOCH_2CH_2 \\ HOCH_2CH_2 \\ N: \\ HOCH_2CH_2 \\ N: \\ CU^{2+} \\ CH_2CH_2OH \\ CH_2CH$$

При исследовании влияния ионов, сопутствующих меди, выяснилось, что во всех трех случаях мешают Co^{2+} и Fe^{3+} – образуются осадки соответствующих гидроксидов, не исчезающие при добавлении маскирующих агентов. Не мешает десятикратный избыток дихроматионов; пятикратный избыток ионов Ni^{2+} не мешает только при использовании R_3 ; при работе в более щелочной среде (pH (10) не мешают Zn^{2+} и Al^{3+} ; при использовании R_3 не мешает также Cd^{2+} (если измерять ОП раствора через 30 *мин* после центрифугирования осадка гидроксида кадмия).

Поскольку соединение меди(II) с триэтаноламином характеризуется наибольшим значением мольного коэффициента светопоглощения, данный реагент был использован для определения меди в стандартном образце бронзы N^0 831 с паспортным содержанием меди 65.55%. Найдено (65.55(0.07)%.

Некоторые экспериментальные данные приведены в таблице для сравнения реагентов и соответствующих выводов.

Экспериментальные данные по взаимодействию меди(II) с этаноламинами

Pea-	Формула	λ _{max} coe-	įελ _{max})	Кислотность.	Элект-	[Cu ²⁺]:[R]
гент		дине-		Область рН	ронная	
		ния, нм			плот-	
					ность на	
					атоме	
					азота	
R_1	H ₂ NCH ₂ CH ₂ OH	600	400	9.5-10.8	-0.033	1
R_2	HN(CH ₂ CH ₂ OH) ₂	630	1000	0.2-1.0 <i>M</i> <i>NaOH</i>	-0.061	-
R_3	$N(CH_2CH_2OH)_3$	650	1200	6.6-12.0	-0.065	1:4

Как видно из таблицы, при переходе от моноэтаноламина к триэтаноламину имеют место бато- и гиперхромный эффекты, т. е. углубление цвета и увеличение интенсивности окраски образующихся комплексных соединений.

По данным квантовохимического расчета молекул этаноламинов по методу PM-3 из пакета программ "HyperChem", электронная плотность на атоме азота (его основность) также увеличивается в указанном ряду, что приводит к образованию более прочного комплекса в случае триэтаноламина.

Методика спектрофотометрического определения меди(II) с использованием триэтаноламина проста, экспрессна, не требует использования сложной дорогостоящей аппаратуры, характеризуется достаточной правильностью и воспроизводимостью результатов.

Таким образом, триэтаноламин может быть рекомендован для использования в качестве реагента для фотометрического определения сравнительно высоких содержаний меди(II).

ՄՈՆՈ-, ԴԻ- ԵՎ ՏՐԻԷԹԱՆՈԼԱՄԻՆՆԵՐԻ ՀԵՏ ՊՂԻՆՁ(II)-Ի ՓՈԽԱԶԴԵՑՈՒԹՅԱՆ ՍՊԵԿՏՐԱԼՈՒՍԱՉԱՓԱԿԱՆ ՈՒՍՈՒՄՆԱՍԻՐՈՒՄԸ

Ս. Վ. ՎԱՐԴԱՆՑԱՆ, Հ. Մ. ԲԵՑԲՈՒԹՑԱՆ և Հ. Գ. ԽԱՉԱՏՐՑԱՆ

Սպեկտրալուսաչափական եղանակով ուսումնասիրվել է պղինձ(II)-ի փոխազդեցությունը մոնո-, դի- և տրիէթանոլամինների հետ։ Պարզվել է, որ դրանք փոխազդում են պղինձ(II)-ի հետ թույլ հիմնային միջավայրում, առաջացնելով գունավոր կոմպլեքսային միացություններ։ Հաստատվել են փոխազդեցության օպտիմալ պայմանները, Բերի օրենքին ենթարկվելու պղինձ(II)-ի կոնցենտրացիոն սահմանները, պղնձին ուղեկցող մի շարք տարրերի իոնների ազդեցությունը պղինձ(II)-ի որոշման վրա և այլն։

Պարզվել է, որ նշված ռեագենտներից լուսակլանման մոլային գործակցի առավել բարձր արժեքներով բնութագրվում է տրիէթանոլամինը, որն էլ առաջարկվել է որպես ռեագենտ պղնձի համեմատաբար մեծ պարունակությամբ օբյեկտներում նրա որոշման համար։ Մշակված մեթոդիկան աչքի է ընկնում պարզությամբ, արագ է և ապահովում է բավարար Ճշտություն և վերարտադրելիություն։

SPECTROPHOTOMETRIC INVESTIGATION OF THE INTERACTION OF COPPER(II) WITH MONO-, DI- AND TRIETHANOLAMINES

S. V. VARDANYAN, H. M. BEYBUTYAN and H. G. KHACHATRYAN

Yerevan State University

1 Alek Manoukian St., 0049, Yerevan, Armenia
Fax: (37410) 570663, E-mail: gold@ysu.am

The interaction of copper(II) with mono-, di- and triethanolamines has been investigated by means of spectrophotometric method. It has been revealed that the three compounds interact with copper(II) in alkaline medium forming colored complexes. The optimal conditions of the interaction have been estimated, the range of copper(II) concentrations subjected to the photometry main law has been determined, the influence of some attendant ions on the copper(II) determination by triethanolamine has been studied. The composition and the charge value of the forming complex compound of copper(II) with triethanolamine – $[Cu(R_3)_4]^{+2}$ have been determined. So far as the copper(II)-triethanolamine compound possesses the highest value of adsorption molar coefficient the given reagent has been suggested for copper determination in the objects with comparatively high copper content. The technique of spectrophotometric determination of copper(II) using triethanolamine is simple, does not require complicated expensive instrumentation, is characterized by sufficient accuracy and reproducibility of the results.

ЛИТЕРАТУРА

- [1] Альбиот Л.А., Сердюк Л.С., Заверич М.М. // ЖАХ, 1974, т.38, №3, с.590.
- [2] Lidasy L.M., Plock C.E. // Talanta, 1969, v.16, p.414.
- [3] Narkhede D.A., Reghuvanshi M.S. // Nat. Acad. Sci. Lett., 1989, v.12, №5, p.144. (РЖХим, 13Г160 1990).
- [4] Rodriguez E.A., Barrera A.B. // Ann. Quim. / Real Soc. Esp. Quim., 1990, v.86, №4, p.436. (РЖХим, 5Г211 1991).
- [5] Атанасова Д., Шишкова А.Н. // Зав. лаб., 1991, т.57, №8, с.17.
- [6] *Tang Tunlog, Chen Xinha, Zhang Zhiyne* // J. Hongkong Union Nature Sci., 1990, Ed.17, №2, p.184. (РЖХим, 8В66 1991).
- [7] Lhou Yan-Mei, Li Li-Qing // Chem. J. Chin. Univ., 1999, v.20, Suppl, p.353. (РЖХим, 19Г149 0009).
- [8] Lhang Jiaoqiang et al. // J. North-West Polytechn. Univ., 2002, v.20, №1, p.151. (РЖХим, 19Г181 0222).
- [9] Singh Ishwar, Yadar Sanjiv // Ind. J. Chem. A, 2000, v.39, №7, p.784. (РЖХим, 19Г119 0113).
- [10] *Lin Cai-Ping, Liang Hua-Ding* // Chin. J. Spectroscop. Lab., 2000, v.17, №5, p.564. (РЖХим, 19Г167 0107).
- [11] Chen Jing-Hong // Chin. J. Spectroscop. Lab., 2001, v.18, №3, p.339. (РЖХим, 19Г12 0201).
- [12] *Булатов М.И., Калинкин И.П.* Практическое руководство по фотометрическим методам анализа. Л., Химия, 1986, с.241.

2U3UUSUUF 2UUCUMESOF@3UU 9FSOF@3OFUUECF U29U3FU U4UUEUFU НАЦИОНАЛЬНАЯ АКАДЕМИЯ НАУК РЕСПУБЛИКИ АРМЕНИЯ

Հшјшиտшић рриђшиши ћшићи 62, №1-2, 2009 Химический журнал Армении

ОРГАНИЧЕСКАЯ ХИМИЯ

УДК 542.97: 542.91 + 547.254.6

АСИММЕТРИЧЕСКИЙ СИНТЕЗ АМИНОКИСЛОТ С УКОРОЧЕННЫМ КОНТРОЛЕМ ВРЕМЕНИ ПРИ ИСПОЛЬЗОВАНИИ КОМПЛЕКСОВ $\mathbf{NI}^{\mathbf{II}}$ НА ОСНОВЕ НОВЫХ ФТОРСОДЕРЖАЩИХ ХИРАЛЬНЫХ ВСПОМОГАТЕЛЬНЫХ РЕАГЕНТОВ

А. С. САГИЯНа, А. С. ДАДАЯНа, С. А. ДАДАЯНа, Т. О. САРГСЯНа, А. В. ГЕОЛЧАНЯНа, В. Т. КОЧИКЯН, Г. А. ПАНОСЯН 6 , В. Н. ХРУСТАЛЕВа В. И. МАЛЕЕВа

^аНаучно-исследовательский институт биотехнологии Армения, 0056, Ереван, ул. Гюрджяна, 14 Факс: (374-10)654183 E-mail: sagysu@netsys.am

 6 Центр исследования строения молекулы НАН Республики Армения Армения, 0014, Ереван, ул. Азатутян, 26

^вИнститут элементоорганических соединений им. А. Н. Несмеянова РАН Москва,119991, ул. Вавилова 28

Синтезированы новые эффективные фторсодержащие хиральные вспомогательные реагенты (S)-N-(2-бензоилфенил)-1-(2-фторбензил)-, (S)-N-(2-бензоилфенил)-1-(3-фторбензил)-, и (S)-N-(2-бензоилфенил)-1-(4-фторбензил)пирролидин-2-карбоксамиды и комплексы Ni^{II} их оснований Шиффа с глицином и аланином. Показана возможность высокостереоселективного асимметрического синтеза (S)- α -аминокислот с укороченным контролем времени при их использовании.

Рис. 1, табл. 4, библ. ссылок 24.

Асимметрический синтез энантиомерно чистых оптически активных α -аминокислот с применением различных хиральных вспомогательных реагентов и катализаторов является актуальным направлением современной биоорганической химии, что подтверждается разработкой новых методов синтеза аминокислот с использованием такого подхода и их интенсивным использованием [1-4], а также специализированный выпуск 1 журнала

_

¹ Tetrahedron: Asymmetry, 2008, 19, 24, Pages A707-A762, 2753-2930.

Tetrahedron: Asymmetry, посвященный аминокислотам]. Ранее для синтеза энантиомерно обогащенных аминокислот широко использовались [1, 2a-e] комплексы Ni^{II} оснований Шиффа аминокислот (или дегидроаминокислот) с хиральным вспомогательным реагентом (*S*)-*N*-(2-бензоилфенил)-1-бензилпирролидин-2-карбоксамидом (BPB).

На начальных этапах в качестве хиральных реагентов использовались также (S)-N-(2-формилфенил)-1-бензилпирролидин-2-карбоксамид (BPBA) и (S)-N-(2-ацетилфенил)-1-бензилпирролидин-2-карбоксамид (ВРА). В асимметрических реакциях С-алкилирования аминокислотных остатков (или присоединения нуклеофилов к дегидроаминокислотным) в комплексах на их основе обнаружено возрастание стереоселективности в ряду ВРВА → ВРА → ВРВ в среднем от 50 до 90% [5-7]. В ходе дальнейшего развития были синтезированы хиральные вспомогательные реагенты, представляющие собой модифицированные аналоги ВРВ, содержащие заместители (как электронодонорные, так и электроноакцепторные) в фенильных группах аминобензофенонового [8,9] и *N*-бензилпролинового [10-14] остатков. В случае комплексов на основе хиральных вспомогательных реагентов, полученных из замещенных 2-аминобензофенонов, стереоселективность оказалась невысокой, что, по-видимому, является следствием появления атропоизомерии [9]. Для повышения стереодифференцирующей способности посредством увеличения внутрикомплексного стерического напряжения структура вспомогательного хирального реагента была модифицирована введением вместо бензильной группы нафтилметильной [15] или 2,4,6-триметилбензильной [16]. Хотя при этом и наблюдалось небольшое возрастание энантиоселективности, практического применения эти реагенты не нашли.

Наиболее перспективным направлением модификации оказалось введение галогенов в ароматическое кольцо бензильного фрагмента. Использование для асимметрического синтеза аминокислот модифицированных реагентов, содержащих атомы хлора в разных положениях ароматического кольца *N*-бензилпролинового остатка, позволило повысить стереоселективность и сократить время реакции синтеза аминокислот [17-18]. Наиболее высокие результаты (время алкилирования <15 мин, ее выделенных аминокислот >97%) были получены при использовании хирального реагента, содержащего атом хлора в *орто*-положении бензильной группы у атома азота пролинового фрагмента – (*S*)-*N*-(2-бензоилфенил)-1-(2-хлорбензил)пирролидин-2-карбоксамида (2-СВРВ) [18].

Необходимо отметить, что в последнее время чрезвычайно востребованными становятся изотопно-меченые (короткоживущими изотопами 18 F, 11 C и 16 N) аминокислоты, использующиеся в ПЭТ-диагностике различных заболеваний [1, 2, 19]. При этом особенно характерными параметрами метода получения таких аминокислот становятся высокая стереоселективность и короткое время синтеза.

В свете всего вышесказанного синтез и исследование новых хиральных вспомогательных реагентов для получения (особенно «быстрого»!) аминокислот в энантиомерно-обогащенной форме остаётся актуальной задачей.

-

² Работы проводились совместно ИНЭОС РАН и Институтом биотехнологии РА.

В настоящей работе по ранее разработанной методике [18] были получены хиральные вспомогательные реагенты (S)-N-(2-бензоилфенил)-1-(2-фторбензил)пирролидин-2-карбок-самид [(S)-2-FBPB] (1), (S)-N-(2-бензоилфенил)-1-(3-фторбензил)пирролидин-2-карбоксамид [(S)-3-FBPB] (2), (S)-N-(2-бензоилфенил)-1-(4-фторбензил)пирролидин-2-карбоксамид [(S)-4-FBPB] (3) — аналоги (S)-ВРВ, содержащие атом фтора в *орто*-, *мета*- и *пара*-положениях бензильной группы при азоте пролинового фрагмента (см. схему 1). Они легко образуют комплексы Ni^{II} их оснований Шиффа с глицином и аланином — Ni^{II} -(S)-2-FBPB-Gly (4), Ni^{II} -(S)-2-FBPB-(S)-Ala (5), Ni^{II} -(S)-3-FBPB-Gly (6), Ni^{II} -(S)-3-FBPB-Gly (7), Ni^{II} -(S)-4-FBPB-Gly (8), Ni^{II} -(S)-4-FBPB-(S)-Ala (9) (схема 1).

D E D D H (6) 2 EDDD (1)	Ni ^{II} -(S)-2-FBPB-Gly (R=H) (4)
$R_1=F, R_2=R_3=H; (S)-2-FBPB (1)$	Ni^{II} -(S)-2-FBPB-(S)-Ala (R=Me) (5)
D E D D II. (©) 2 EDDD (3)	Ni ^{II} -(S)-3-FBPB-Gly (R=H) (6)
$R_2=F$, $R_1=R_3=H$; (S)-3-FBPB (2)	Ni ^{II} -(S)-3-FBPB-(S)-Ala (R=Me) (7)
$R_3=F, R_1=R_2=H; (S)-4-FBPB (3)$	Ni ^{II} -(S)-4-FBPB-Gly (R=H) (8)
$\kappa_3 - \Gamma$, $\kappa_1 - \kappa_2 - \Pi$; (3)-4-FDPD (3)	Ni^{II} -(S)-4-FBPB-(S)-Ala (R=Me) (9)

При получении комплексов из хиральной аминокислоты аланина (комплексы 5, 7 или 9) образуется смесь двух диастереомеров с (S,R)- и (S,S)-абсолютными конфигурациями, в которой последний присутствует в значительном избытке. После получения комплексы выделяли осаждением водой и кристаллизовали из ацетона.

Для сравнительного анализа были синтезированы аналогично построенные хиральные реагенты и аминокислотные комплексы на основе (R)-пролина.

Соотношение (S,R)- и (S,S)-диастереомеров для комплексов аланина определялось анализом смеси диастереомерных комплексов методом ЯМР 1 Н по соотношению интегралов сигналов метиленовых протонов N-бензилпролинового остатка в интервале 3,45 -3,86 и 4,37 - 4,80 м.д., а также хиральным ГЖХ анализом аминокислот, выделенных после разложения

смеси диастереомерных комплексов, отделения исходного хирального реагента и деминерализации (табл. 1).

Таблица 1 Результаты комплексообразования фторсодержащих модифицированных хиральных реагентов в CH₃OH в присутствии КОН при 55-60°C

Исходный хиральный реагент	Полученный комплекс ос- нования Шиффа аминокислоты	Химический выход, %	(S,S) / (S,R)*, %
(C) 2 EDDD (1)	Ni ^{II} -(S)-2-FBPB-Gly (4)	86,2	_
(S)-2-FBPB (1)	Ni ^{II} -(S)-2-FBPB-(S)-Ala (5)	89,7	99,0 / 1,0
(S) 2 EDDD (2)	Ni ^{II} -(S)-3-FBPB-Gly (6)	78,4	_
(S)-3-FBPB (2)	Ni ^{II} -(S)-3-FBPB-(S)-Ala (7)	81,5	97,5 / 2,5
(G) 4 EDDD (2)	Ni ^{II} -(S)-4-FBPB-Gly (8)	74,8	_
(S)-4-FBPB (3)	Ni ^{II} -(S)-4-FBPB-(S)-Ala (9)	82,6	97,1 / 2,9

 $^{^*}$ – усредненные соотношения диастереомеров по данным ЯМР 1 Н и хирального ГЖХ анализов.

Основные диастереомеры полученных комплексов были охарактеризованы физико-химическими методами – $\rm ЯМР^{\, 1}H$ спектрометрией, т.пл., элементным анализом.

Для установления абсолютной конфигурации α-углеродного атома аминокислотного остатка комплексов был использован метод поляриметрии. Ранее было показано, что при длине волны 589 нм (D-линия натрия) комплексы оснований Шиффа реагентов (S)-конфигурации и (S)- α -аминокислот имеют положительный знак вращения, а для (R)- α -аминокислот - отрицательный [14]. Поэтому измеренное положительное значение оптического вращения синтезированных основных диастереомерных комплексов 5, 7, 9 (см. экспериментальную часть) свидетельствует об их (S,S)-абсолютной конфигурации. Дополнительно (S,S)-абсолютная конфигурация некоторых комплексов была подтверждена методом рентгеноструктурного анализа (PCA). Так, из комплексов **5**, **9** и Ni^{II} –(R)-3-FBPB-(R)-Аla (энант-**7**) были получены подходящие кристаллы и их строение было подтверждено методом рентгеноструктурного анализа (рис.1). В кристаллах комплекса 5 обнаружено два атропоизомера (А и Б, как это представлено на рис. 1а). Нумерация атомов для комплексов энант-7 и 9 (рис. 1в, г) соответствует их нумерации в преобладающем атропоизомере комплекса 5 (рис 16). По данным РСА, из-за введения заместителей в ароматическое ядро N-бензилпролинового остатка его бензильная группа меняет свое положение над координационной плоскостью никеля (табл. 2).

 $\label{eq:2.2} {\it Таблица~2}$ Данные PCA для модифицированных фторсодержащих комплексов аланина

Комплекс Параметры	Ni ^{II} -(S)-2-CBPB- (S)-Ala ^a	5 ⁶	энант- 7 ^в	9
расстояние Niга- логен	3,149	3,001 (4,651)	6,033/4.424 ²	6,673
расстояние Ni····C(16)	3,403	3,052	3,122/3,087	3,372
торсионный угол Ni-N3-C15-C16	-69,16	-62,1 (-44.5)	51,52/48,36	-70,4
торсионный угол N3-C15-C16-C17	87,75	79,72 (86.25)	-88,81/-89,23	86,51
торсионный угол N1-C3-C23-C24	69,97	73,35	-92,89/-84,11	68,49

Установлено, что атом фтора в атропоизомере \boldsymbol{A} комплекса $\boldsymbol{5}$ (рис. 16), в отличие от комплексов *энант*-7 и $\boldsymbol{9}$, расположен непосредственно над ионом $\mathrm{Ni^{II}}$ и нельзя исключить возможность его апикальной координации с ионом металла. Это в свою очередь существенно изменяет распределение электронной плотности в комплексе. Можно предполагать, что повышение скорости реакции алкилирования с участием комплекса $\boldsymbol{5}$ связано именно с этим взаимодействием. Кроме этого, из-за приближения 2-фторбензильного фрагмента к иону никеля можно ожидать дальнейшего возрастания стереоселективности в реакциях алкилирования аминокислотных остатков при применении комплексов на основе хирального вспомогательного реагента (\boldsymbol{S})-2-FBPB по следующим трем соображениям.

- 1. Конформационный: атом галогена (хлор или фтор) в положении 2 бензильной группы обеспечивает, по-видимому, только фиксацию положения этой группы над амидной связью, располагаясь точно над никелем. В случае галогенов в положениях 3 и 4 не происходит фиксации бензильной группы над амидным фрагментом из-за слабого взаимодействия металлгалоген.
- 2. Электронный: атомы хлора и фтора являются заместителями, имеющими +M (σ = 0,337 для фтора и σ = 0,373 для хлора) эффект и –I эффект (σ 1 = 0,52 для фтора и σ 1 = 0,47 для хлора).

³ Как видно из данных табл. 2, в случае атропоизомера A расстояние Ni····F равно – 3,001Å, а Ni····C(16) 3,052Å, тогда как в комплексах **7** и **9** и ранее полученном [18] комплексе Ni^{II}-(S)-2-CBPB-(S)-Ala (с модифицированным хиральным реагентом (S)-2-CBPB) аналогичные расстояния больше.

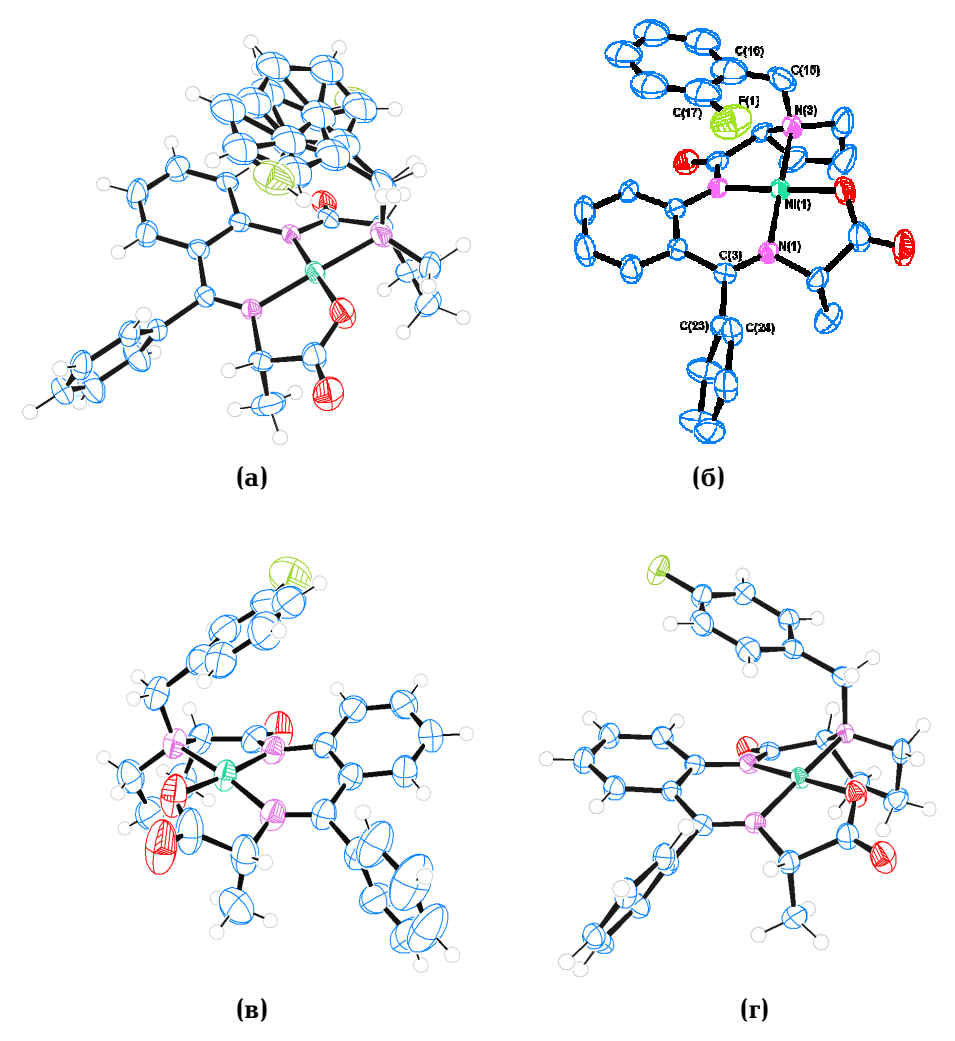


Рис. Структуры комплексов по данным рентгенодифракционного анализа: (a) Ni^{II} –(S)-2-FBPB-(S)-Ala (смесь атропоизомеров A и Б); (б) Ni^{II} –(S)-2-FBPB-(S)-Ala (атропоизомер A), водородные атомы для упрощения не приведены; (в) Ni^{II} –(R)-3-FBPB-(R)-Ala; (г) Ni^{II} –(S)-4-FBPB-(S)-Ala.

3. Из-за *staking*-взаимодействия ароматического кольца бензильной группы (сильнее обеднённого электронами в случае фтора, чем в любых других случаях) с системой ионизированного карбанилидного фрагмента, сопряженного с системой основания Шиффа, облегчается образование карбаниона за счет более эффективной делокализации отрицательного заряда с участием 2-фторбензильной группы.

На основании данных РСА, наилучших результатов как по стереоселективности, так и по продолжительности синтезов можно ожидать в случае использования комплексов на основе хирального вспомогательного реагента, содержащего атом фтора в $\it opto$ -положении фенильной группы $\it N$ -бензилпролинового остатка (2-FBPB). По сравнению с аналогично построенными комплексами на основе хирального реагента 2-CBPB (в $\it opto$ -положении фениль-

ной группы N-бензилпролинового остатка атом хлора), при использовании в реакциях алкилирования аминокислотных остатков комплексов на основе 2-FBPB можно прогнозировать сокращение продолжительности синтезов из-за большего -I эффекта фтора. На основании ранее обнаруженных закономерностей [18] сверхвысокую стереоселективность синтезов (S)- \Box -аминокислот можно было бы наблюдать в случае алкилирования комплексов на основе хирального реагента (S)-Z-FBPB, исходя из максимального приближения бензильной группы N-бензилпролинового остатка к центральному иону Ni^{Π} . Однако из-за наличия в смеси, кроме атропоизомера A, еще и атропоизомера B, энантиоселективные эффекты которого должны быть примерно на уровне комплексов других фторсодержащих хиральных вспомогательных реагентов (M) при проведении синтезов (S)- \Box -аминокислот.

Далее модифицированные комплексы глицина **4, 6** и **8** были протестированы в модельных реакциях асимметрического С-алкилирования глицинового фрагмента с использованием в качестве алкилирующих агентов аллил- и бензилбромидов. В результате алкилирования комплексов в этих условиях за очень короткое время был осуществлен высокоселективный асимметрический синтез (S)-фенилаланина и (S)-аллилглицина с образованием диастереомерно чистых комплексов **10-15** (схема 2).

$$\begin{split} R_1 &= F, \, R_2 = R_3 = \, H \, \, \textbf{(4)} \quad R_1 = F, \, R_2 = R_3 = \, H, \, R = \, C_6 H_5 C H_2 \text{-, } \, \textbf{(10)}; \\ R_1 &= R_3 = \, H, \, R_2 = \, F, \, \textbf{(6)} \qquad , \, R_1 = \, F, \, R_2 = R_3 = \, H, \, R = \, C H_2 = C H \text{-} C H_2 \text{-, } \, \textbf{(11)}; \\ R_1 &= R_2 = \, H, \, R_3 = \, F, \, \textbf{(8)} \qquad \qquad R_1 = R_3 = \, H, \, R_2 = \, F, \, R = \, C_6 H_5 C H_2 \text{-, } \, \textbf{(12)}; \\ R_1 &= R_3 = \, H, \, R_2 = \, F, \, R = \, C H_2 = C H \text{-} C H_2 \text{-, } \, \textbf{(13)}; \\ R_1 &= R_2 = \, H, \, R_3 = \, F, \, R = \, C_6 H_5 C H_2 \text{-, } \, \textbf{(14)}; \\ R_1 &= R_2 = \, H, \, R_3 = \, F, \, R = \, C H_2 = C H \text{-} C H_2 \text{-, } \, \textbf{(15)}; \end{split}$$

После разложения полученной в результате алкилирования смеси диастереомерных комплексов и выделения аминокислот (фенилаланина и аллилглицина) с использованием ионообменной хроматографии определяли энантиомерную чистоту (табл. 3) последних, используя метод хирального ГЖХ анализа.

 $\label{eq:2.2} \begin{picture}(20,20) \put(0,0){$Ta6лицa\ 3$} \end{picture}$ Результаты алкилирования глицинового фрагмента комплексов на основе модифицированных фторсодержащих хиральных реагентов a

Исходный комплекс	Алкилирующий агент	Время реакции, <i>мин</i>	Аминокислота, выделенная после алкилирования	ee, % ⁶
(4)	C ₆ H ₅ CH ₂ Br	3-5	(S)-Phe	>98,1
(4)	CH ₂ =CH-CH ₂ Br	7	(S)-Allyl-Gly	>99,0
(6)	C ₆ H ₅ CH ₂ Br	12	(S)-Phe	92,3
(0)	CH ₂ =CH-CH ₂ Br	15	(S)-Allyl-Gly	93,5
(8)	C ₆ H ₅ CH ₂ Br	15-20	(S)-Phe	93,7
(6)	CH ₂ =CH-CH ₂ Br	18-20	(S)-Allyl-Gly	90,3

 $^{^{\}mathrm{a}}$ условия реакции: 0,055 *моля* исходного комплекса, 15 *мл* ДМФ, 0,055 *моля* алкилбромида, 0,0825 *моля* NaOH, 20-25 °C, инертная атмосфера (аргон);

Из данных табл. З следует, что в реакциях асимметрического С-алкилирования комплексов, как и следовало ожидать, сверхвысокие показатели были зафиксированы в случае комплекса глицина на основе модифицированного хирального вспомогательного реагента (S)-2-FBPB.

Сравнение данных таблицы с ранее полученными аналогичными данными по алкилированию [18, 19] показывает, что стереоселективные эффекты при синтезе (S)- α -аминокислот в комплексах Ni^{II} возрастают в ряду хиральных вспомогательных реагентов (S)-S, 4-DCBPB⁴, (S)-S-CBPB⁵ и (S)-S-CBPB, соответственно.

Для сравнительного анализа было исследовано алкилирование аналогичных комплексов глицина с хиральным реагентом на основе (R)-пролина [Ni^{II}-(R)-2-FBPB-Gly, Ni^{II}-(R)-3-FBPB-Gly, Ni^{II}-(R)-4-FBPB-Gly] и показана возможность высокоселективного асимметрического синтеза (R)- α -аминокислот с такой же диастереоселективностью.

 $^{^6}$ энантиомерная чистота выделенной аминокислоты по данным хирального ГЖХ анализа

 $^{^{4}}$ (S)-N-(2-бензоилфенил)-1-(3,4-дихлорбензил)пирролидин-2-карбоксамид.

 $^{^{5}}$ (S)-N-(2-бензоилфенил)-1-(2-хлорбензил)пирролидин-2-карбоксамид.

Таким образом, из вышеприведенных данных следует, что стереодифференцирующая способность хиральных Ni^{II} комплексов шиффовых оснований аминокислот и хиральных вспомогательных реагентов в реакциях С-алкилирования аминокислотного остатка в значительной мере зависит от степени электроотрицательности галогена и положения заместителя фенильной группы N-бензилпролинового остатка модифицированного хирального вспомогательного реагента. Закономерно, что наилучшие результаты среди синтезированных хиральных вспомогательных реагентов на основе природной аминокислоты (S)-пролина были фиксированы в случае комплексов (S)-2-FBPB.

Несомненно, синтезированный модифицированный хиральный вспомогательный реагент (S)-2-FBPB можно рекомендовать для применения в препаративном производстве оптически активных α - и β -замещенных α -аминокислот.

Экспериментальная часть

Рентгеноструктурное исследование. Параметры элементарных ячеек и интенсивности отражений для соединений 5, энант-7 и 9 измерены на автоматических трехкружных дифрактометрах "Bruker SMART 1К ССD" (λ МоК $_{\alpha}$ -излучение, графитовый монохроматор, φ - и ω -сканирование) (соединения энант-7 и 9) и "Bruker SMART APEX II ССО" (λМоК_α-излучение, графитовый монохроматор, φ - и ω -скан, рован, е) (соединение **5**). Для полученных данных проведен учет поглощения рентгеновского излучения по программе SADABS (версии 2.01 [20] в случае соединений энант-7 и 9 и 2.03 [21] в случае соединения 5). Основные кристаллоструктурные данные представлены в табл. 4. Структуры всех соединений определены прямым методом и уточнены полноматричным методом наименьших квадратов в анизотропном приближении для неводородных атомов. Кристалл соединения энант-7 содержит сольватные молекулы хлороформа и воды. В соединении 5 выявлена статистическая разупорядоченность *орто*-фторфенильного фрагмента по двум положениям, связанным поворотом на 180° вокруг связи С(15)-С(16), с равными заселенностями. Атомы водорода сольватной молекулы воды в соединении энант-7 выявлены в разностных фурье-синтезах и уточнены в изотропном приближении с фиксированными позиционными и тепловыми ($U_{\text{изо}}(H) = 1.5U_{\text{экв}}(O)$) параметрами. Положения остальных атомов водорода рассчитаны геометрически и уточнены в изотропном приближении с фиксированными позиционными (модель «наездника») и тепловыми $(U_{\rm H30}(H)=1.5U_{\rm 3KB}(C)$ для CH_3 -групп и $U_{\rm H30}(H)=1.2U_{\rm 3KB}(C)$ для всех остальных групп) параметрами. Все расчеты проведены с использованием комплекса программ SHELXTL [22]. Таблицы координат атомов, длин связей, валентных углов и анизотропных температурных параметров для соединений 5, энант-7 и 9 депонированы в Кембриджском банке структурных данных.

молекулярная масса T, K 100 293 120 120 100 293 120 1	Ñоединение	5	энант-7×CHCl ₃ ×H ₂ O	9
Т, К 100 293 120 ромбическая моноклинная ромбическая пространственная группа A, A 9.5229(4) 9.3442(3) 9.1541(7) A, A 9.9635(5) 24.0402(7) 10.2051(7) A, A 90 90 90 90 A, A 90 90	брутто-формула	C ₂₈ H ₂₆ N ₃ O ₃ FNi	C _{28.5} H _{27.5} N ₃ O _{3.5} FCl _{1.5} Ni	C ₂₈ H ₂₆ N ₃ O ₃ FNi
сингония пространственная группа A	молекулярная масса	530.23	598.92	530.23
пространственная группа a, \mathring{A} $9.5229(4)$ $9.3442(3)$ $9.1541(7)$ b, \mathring{A} $9.9635(5)$ $24.0402(7)$ $10.2051(7)$ c, \mathring{A} $9.9635(5)$ $24.0402(7)$ $10.2051(7)$ c, \mathring{A} $25.4816(11)$ $12.4545(4)$ $25.6532(18)$ 90 90 90 90 90 90 90 90	T, K	100	293	120
группа $P_{2_12_12_1}$ P_{2_1} P_{2_1} $P_{2_12_{2_1}}$ $P_{2_12_2}$ P	сингония	ромбическая	моноклинная	ромбическая
a , \mathring{A} $9.5229(4)$ $9.3442(3)$ $9.1541(7)$ b , \mathring{A} $9.9635(5)$ $24.0402(7)$ $10.2051(7)$ c , \mathring{A} $25.4816(11)$ $12.4545(4)$ $25.6532(18)$ α , град. 90 90 90 β , град. 90 90 90 β , град. 90 90 90 γ , γ	пространственная			
b, Å9.9635(5)24.0402(7)10.2051(7)c, Å25.4816(11)12.4545(4)25.6532(18) α , град.909090 β , град.9090.833(1)90 γ , град.909090 γ , γ 25.4816(11)2797.44(15)2396.5(3) γ 444 γ 444 γ 1.4571.4221.470 γ 110412401104 γ 11041.2401104 γ 10.8460.8800.854 γ 2057.56011053385127317140614468685114555788145557881455578814555788145532614660.03730.04521470.04660.03730.04521470.04660.03730.04521470.0161.0021.0031501.0161.0021.0031500.045(13)0.045(13)	группа	$P2_12_12_1$	P2 ₁	$P2_12_12_1$
c , Å $25.4816(11)$ $12.4545(4)$ $25.6532(18)$ α , град. 90 90 90 90 β , град. 90 90 90 90 γ , град. γ <td< td=""><td>a, Å</td><td>9.5229(4)</td><td>9.3442(3)</td><td>9.1541(7)</td></td<>	a, Å	9.5229(4)	9.3442(3)	9.1541(7)
α , град. 90 90 90 90 90 90 90 90 90 90 90 90 90	b, Å	9.9635(5)	24.0402(7)	10.2051(7)
eta, град. 90 90 90.833(1) 90 90 90 90 90 2396.5(3) Z 4 4 4 4 4 4 Z 4 4 4 Z 4 4 4 Z 4 4 4 Z 5 4 4 8 4 8 8 8 8 8 8 8 8 8 8 8 8 8 8 8	c, Å	25.4816(11)	12.4545(4)	25.6532(18)
γ , град. γ , град	α , град.	90	90	90
V, \mathring{A}^3 25.4816(11) 2797.44(15) 2396.5(3) Z 4 4 4 4 4 Z 4 4 4 Z 4 4 4 4 4 4 Z 4 4 4 4 4 4 4 4 4 4 4 4 4 4 4 4 4 4 4	β , град.	90	90.833(1)	90
Z d_{c} , $\Gamma \cdot cm^{-3}$ 1.457 1.422 1.470 $F(000)$ 1104 0.846 0.880 0.854 0.884 0.880 0.854 0.890 0.854 0.890 0.854 0.890 0.854 0.890 0.854 0.890 0.854 0.890 0.854 0.890 0.854 0.890 0.854 0.890 0.854 0.890 0.854 0.890 0.854 0.890 0.854 0.890 0.890 0.890 0.890 0.890 0.890 0.890 0.990	у, град.	90	90	90
Z d_{c} , Γ · cм ⁻³ I	V, \mathring{A}^3	25.4816(11)	2797.44(15)	2396.5(3)
F(000) 1104 1240 1104 0.854 0.880 0.854 0.854 0.854 0.854 0.854 0.854 0.854 0.854 0.854 0.854 0.854 0.854 0.854 0.854 0.855 0.85		4	· ·	· ·
μ , мм $^{-1}$	$d_{\rm c}$, $\Gamma \cdot {\rm cm}^{-3}$	1.457	1.422	1.470
μ , мм $^{-1}$ 0.846 600.880 57.50.854 60 $2\theta_{max}$, град. число измеренных отражений число независимых отражений число наблюденных отражений с $I > 2\sigma(I)$ число уточняемых параметров R_1 ($I > 2\sigma(I)$) WR_2 (все данные) GOF 1.016 1.002 1.003 1.003 0.0045(13)0.880 57.5 33851 1.4468 1.	F(000)	-		-
$2\theta_{max}$, град. 400 57.5 60 77.5 60 77.5 60 77.5 60 77.5 77.5 60 77.5 60 77.5 77.5 60 77.5 77.5 60 77.5 77.5 77.5 60 77.5 77.5 77.5 77.5 77.5 77.5 77.5 77.				
число измеренных отражений число независимых отражений число независимых отражений число наблюденных отражений с $I > 2\sigma(I)$		60	57.5	60
отражений число наблюденных отражений с $I > 2\sigma(I)$ число уточняемых параметров $R_1 (I > 2\sigma(I))$ 0.0466 0.0373 0.0452 WR_2 (все данные) 0.1159 0.0871 0.1092 GOF 1.016 1.002 1.003 гараметр Флэка 0.01(5) 0.006(7) 0.045(13)	число измеренных отражений	21155	33851	27317
отражений с $I > 2\sigma(I)$ число уточняемых параметров $R_1 (I > 2\sigma(I))$ 0.0466 0.0373 0.0452 WR_2 (все данные) 0.1159 0.0871 0.1092 GOF 1.016 1.002 1.003 гараметр Флэка 0.01(5) 0.006(7) 0.045(13)	отражений	7020	14468	6851
параметров 317 690 326 R_1 ($I > 2\sigma(I)$) 0.0466 0.0373 0.0452 wR_2 (все данные) 0.1159 0.0871 0.1092 GOF 1.016 1.002 1.003 їараметр Флэка 0.01(5) 0.006(7) 0.045(13)	отражений с $I > 2\sigma(I)$	5844	11455	5788
$R_1(I>2\sigma(I))$ 0.0466 0.0373 0.0452 WR_2 (все данные) 0.1159 0.0871 0.1092 GOF 1.016 1.002 1.003 гараметр Флэка 0.01(5) 0.006(7) 0.045(13)	_	317	690	326
wR_2 (все данные) 0.1159 0.0871 0.1092 GOF 1.016 1.002 1.003 їараметр Флэка 0.01(5) 0.006(7) 0.045(13)		0.0466	0.0373	0.0452
$\begin{array}{c ccccccccccccccccccccccccccccccccccc$	* ' ' ' '	0.1159	0.0871	0.1092
\Box	2 3 3 3 7		1.002	1.003
_* _ *				
I_{min} , I_{max} $I_{$	T_{\min} ; T_{\max}	0.842; 0.884	0.844; 0.844	0.784; 0.958

Спектры ЯМР ¹**H** регистрировались на приборе «Varian Mercury 300 VX». Оптическое вращение измеряли на поляриметре «Perkin-Elmer 341». В работе использовались аминокислоты, галоидные алкилы и другие реагенты фирмы «Aldrich».

Энантиомерный анализ аминокислот проводили методом хиральной ГЖХ с использованием высокотемпературной хиральной полисилоксановой диамидной неподвижной фазы типа "ChirasilVal" [23, 24]. Аминокислоты анализировали в виде их N-трифторацетильных производных *н*-пропиловых эфиров на кварцевой капиллярной колонке длиной 40 *м* (внутренний диаметр 0,28 *мм*) и толщиной пленки 0,12 *мкм*, при температуре колонок 125 °С, детектор пламенно-ионизационный (Carlo Erba), газ-носитель – гелий.

Исходные хиральные реагенты и комплексы (**1-9**) были синтезированы согласно методике [4].

(*S*)-2-FBPBЧНСІ, (1): Выход 81.5 % (24.12 г, 0.055 моля). $T_{\text{пл.}}$ 208-210 °C. [α] $_D^{20} = -48.6$ ° (с 1.0, МеОН): Найдено, %: С 65.91; Н 5.15; N 6.14. Вычислено для $C_{25}H_{23}FN_2O_2\times HCl$ (%): С 65.94; Н 5.31; N 6.15: Спектр ЯМР 1 Н, δ , м.д., *J*, Γy : 1.40-2.10 (м, 3H, _- γ -HPro); 2.25-2.55 (м, 1H, β -H Pro); 3.25-3.45 (м, 4H, $2\Box$ -H Pro, N<u>CH</u>₂Ar); 4.15-4.80 (м, 1H, \Box -H Pro); 7.00-7.59 (м, 11H, Ar); 7.77 (м, 2H, Ar).

(S)-3-FBPB×HCl, (2): Выход 70.3% (20.6 ε , 0.047 моля). Т_{пл.} 200-202 °C. [α]_D²⁰ = -40.2° (с 1.0, MeOH): Найдено, %: С 65.91; Н 5.15; N 6.14. Вычислено для С₂₅H₂₃FN₂O₂×HCl (%): С 65.94; Н 5.31; N 6.15: Спектр ЯМР ¹H, δ , м.д., J, Γu : 1.60 (м, 1H, β -H Pro); 1.84 (м,1H, γ -H Pro); 2.03 м. (м,1H, γ -H Pro); 2.43 (м, 1H, β -H Pro); 4.27- 4.90 (м, 5H, α -, 2 \square -H Pro, N<u>CH₂</u>Ar); 7.20-7.59 (м, 9H, Ar); 7.46. (м, 2H, Ar); 7.78 (м, 2H, Ar).

(S)-4-FBPB×HCl, (3): Выход 75.2% (22.36 ε , 0.051 моля). Т_{пл.} 203-205 °C. [α] $_D^{20} = -40.2$ ° (с 1.0, MeOH): Найдено, %: С 65.91; Н 5.15; N 6.14. Вычислено для $C_{25}H_{23}FN_2O_2$ ×HCl (%): С 65.94; Н 5.31; N 6.15. Спектр ЯМР 1 Н, δ , м.д., J, Γu : 1.60 (м, 1H, β -H Pro); 1.84 (м,1H, γ -H Pro); 2.03 (м, 1H, γ -H Pro); 2.43 (м, 1H, β -H Pro); 4.27- 4.90 (м, 5H, α -, 2 δ -HPro,NCH₂Ar); 7.20-7.59 (м, 9H, Ar); 7.46 (м, 2H, Ar); 7.78 (м, 2H, Ar).

 Ni^{II} -(S)-2-FBPB-Gly (4). Выход 80.3% (28.5 z, 0.055 моля). T_{III} 125 °C. [α] $_D^{20} = +316$ ° (с 0.25, MeOH). Найдено, %: С 63.00; Н 4.71; N 8.10. Вычислено для $C_{27}H_{24}FN_3O_3Ni$ (%): С 62.85; Н 4.65; N 8.14. Спектр ЯМР 1 Н, δ , м.д., J, Γu : 2.10-2.20 (м, 2H, γ -, β -H Pro); 2.42-2.75 (м, 2H, β -, γ -H Pro); 3.25 (м, 1H, δ -H Pro); 3.40 (дд, 1H, α -H Pro, J_1 = 10.6, J_2 = 5.5); 3.70 (м, 1H, δ -H Pro); 3.62 (д, 1H, N-CH₂-Ar, J= 12.6) и 4.50 (д, 1H, N-CH₂-Ar, J= 12.6); 3.65 (д, 1H, α -H Gly, J= 20.0) и 3.78 (д, 1H, α -H Gly, J= 20.0); 6.62 (ддд, 1H, Ar, J₁= 8.4 J₂= 6.9, J₃=1.3); 6.80 (дд, 1H Ar, J₁= 8.3, J₂= 1.9); 7.05 (тд, 1H, Ar, J₁= 8.4, J₂= 2.8); 7.15-7.20 (м, 5H-Ar); 7.45-7.65 (м, 3H-Ar); 8.25-8.45 (м, 2H-Ar).

 Ni^{II} -(*S*)-2-FBPB-(S)-Ala (5). Выход 89.68% (26 ε , 0.049 моля). $T_{пл.}$ 280-282 °C. [α] $_D^{20}$ = +760° (с 0.25, MeOH). Найдено, %: С 63.6; Н 5.00; N 7.98. Вычислено для $C_{28}H_{26}F$ N₃O₃Ni (%): С 63.45; Н 4.90; N 7.92 Спектр ЯМР 1 Н, δ , м.д., J, Γu : 1.59 (д, 3H, CH₃-Ala, J =7.0); 2.08 (ддд, 1H, γ -H Pro, J₁= 11.7, J₂= 10.5, J₃= 6); 2.23 (м, 1H, β -H Pro); 2.58 (м, 1H, β -H Pro); 2.84 (м, 1H, γ -H Pro); 3.48 (дд, 1H, α -H Pro, J₁= 11.0, J₂= 5.8); 3.55 (дд, 1H, δ -H Pro, J₁= 10.4, J₂= 6.2); 3.72 (м, 1H, δ -HPro); 3.86 (дд,1H, N-<u>CH₂</u>-C₆H₄F, J₁=12.9, J₂= 1.5); 3.89 (к,

1H, α -H Ala, J =7.0); 6.62-6.71 (м, 2H, Ar); 6.98 (м, 1H, Ar); 7.07 (ддд, 1H, Ar, J_1 = 10.0, J_2 = 8.0, J_3 = 1.5); 7.14-7.30 (м, 5H, Ar); 7.44-7.57 (м, 2H, Ar); 8.17 (дд, 1H, Ar, J_1 = 8.7, J_2 = 1.2); 8.36 (тд, 1H, Ar, J_1 = 7.3, J_2 = 2.0).

 Ni^{II} -(*S*)-3-FBPB-Gly (6). Выход 78.1% (8.0 г, 0.016 моля). $T_{пл.}$ 175-177 °C. [α] $_D^{20} = +448$ ° (с 0.25, MeOH). Найдено, %: С 62.75; Н 5.75; N 8.12. Вычислено для $C_{27}H_{24}FN_3O_3Ni$ (%): С 62.85; Н 4.65; N 8.14. Спектр ЯМР 1 Н, δ , м.д., *J*, Γu : 2.07 (м, 1H, γ -H Pro); 2.15 (тд, 1 H, β -H Pro, J_1 = 10.7, J_2 = 6.0); 2.35-2.61 (м, 2H, β -H, γ -H Pro); 3.32 (м, 1H, δ -H Pro); 3.40 (дд, 1H, α -H Pro, J_1 = 10.7, J_2 = 5.4); 3.72 (м, 1H, δ -H Pro); 3.57 (д, 1H, N-CH₂-Ar, J = 12.6) и 4.40 (д, 1H, N-CH₂-Ar, J = 12.6); 3.65 (д, 1H, α -H Gly, J = 20.0) и 3.72 (д, 1H, α -H Gly, J = 20.0); 6.67 (ддд, 1H, Ar, J = 8.3, J = 6.8, J 3 = 1.2); 6.76 (дд, 1H, Ar, J = 8.8, J = 1.9); 6.96 (тд, 1H, Ar, J = 8.4, J = 2.8); 7.10 (м, 1H, Ar); 7.8 (ддд, 1H, Ar, J = 8.8, J = 6.8, J 3 = 1.9); 7.37 (тд, 1H, Ar, J = 8.0 J = 5.9); 7.45-7.56 (м, 4H, Ar); 7.78 (д, 1H, Ar, J = 7.7); 8.00 (ддд, 1H, Ar, J = 9.4, J = 2.5, J = 1.7); 8.33 (дд, 1H, Ar, J = 8.8, J = 1.1).

Ni^{II}-(*S*)-3-FBPB-(*S*)-Ala (7). Выход 72% (6.5 ε , 0.012 моля). Т_{пл.} 298-300 °С. [α] $_D^{20}$ = +554 ° (α 0.25, MeOH). Найдено, %: С 63.75; Н 4.92; N 7.86. Вычислено для С₂₈H₂₆F N₃O₃Ni (%): С 63.45; Н 4.90; N 7.92 Спектр ЯМР ¹H, δ , м.д., *J*, Γ *ų*: 1.59 (д, 3H, CH₃-Ala, J= 7.1); 2.08 (ддд,1H, γ -H Pro, J₁= 11.8, J₂= 10.2, J₃= 5.8); 2.25 (м, 1H, β -H Pro); 2.57 (м, 1H, β -H Pro) и 2.77 (м, 1H, γ -H Pro); 3.45 (дд, 1H, α -H Pro, J₁= 11.1, J₂= 5.5); 3.60 (м, 1H, δ -H Pro) и 3.73 (м, 1H, δ -H Pro); 3.50 (д, 1H, N-CH₂-Ar, J= 12.6) и 4.38 (д, 1H, N-CH₂-Ar, J= 12.6); 3.89 (α , 1H, α -H-Ala, J= 7.1); 6.60-6.70 (м, 2H, Ar); 6.87 (тдд, 1H, Ar, J₁= 8.4, J₂= 2.7, J₃= 0.8); 6.96 (дт, 1H, Ar, J₁= 6.9, J₂= 1.8); 7.15 (ддд, 1H, Ar, J₁= 8.8, J₂= 6.7, J₃= 2.0); 7.27-7.37 (м, 2H, Ar); 7.43-7.57 (м, 3H, Ar); 7.80 (дт, 1H, Ar, J₁= 7.7, J₂= 1.2); 7.99 (ддд, 1H, Ar, J₁= 9.3, J₂= 2.5, J₃= 1.8); 8.19 (дд, 1H, Ar, J₁= 8.8, J₂= 1.2).

 Ni^{II} -(S)-4-FBPB-Gly (8). Выход 81.2% (11 ε , 0.021 $\mathit{моля}$). $T_{пл.}$ 118-120 °C. [α] $_{\mathit{D}}^{20} = +760$ ° (с 0.25, MeOH). Найдено, %: С 63.00; Н 4.60; N 8.11. Вычислено для $C_{27}H_{24}FN_3O_3Ni$ (%): С 62.85; Н 4.65; N 8.14. Спектр ЯМР 1 Н, δ , м.д., J, Γu : 2.10 (м, 1H, γ -H Pro); 2.17 (дт,1H, β -H Pro, J_1 = 10.6, J_2 = 6.1); 2.38-2.65 (м, 2H, β -H, γ -H Pro); 3.35 (м, 1H, δ -H Pro); 3.42 (дд, 1H, α -H Pro, J_1 = 10.6 J_2 = 5.5) и 3.75 (м, 1H, δ -H Pro); 3.61 (д, 1H, N-CH₂-Ar, J= 12.7) и 4.48 (д, 1H, N-CH₂-Ar, J= 12.7); 3.67 (д, 1H, α -H Gly, J= 20.1) и 3.77 (д, 1H, α -H Gly, J= 20.7); 6.72 (ддд, 1H, Ar, J₁= 8.3, J₂= 6.8, J₃ =1.3); 6.81 (дд, 1H, Ar, J₁= 8.3, J₂= 1.8); 7.01 м. (1H, Ar); 7.13 м. (3H, Ar); 7.24 (ддд, 1H, Ar, J₁= 8.6, J₂= 6.9, J₃=1.9); 7.48-7.59 (м, 3H, Ar); 8.07 (м, 2H, Ar) и 8.34 (дд, 1H, Ar, J₁= 8.7, J₂= 1.2).

 Ni^{II} -(S)-4-FBPB-(S)-Ala (9). Выход 79.4% ($21\ \emph{г}$, 0.04 моля). $T_{\text{пл.}}$ 296-298 °C. [α] $_D^{20}$ = +488 °(α 0.25, MeOH). Найдено, %: С 63.60; Н 4.85; N 7.92. Вычислено для $C_{28}H_{26}FN_3O_3Ni$ (%): С 63.45; Н 4.90; N 7.92. Спектр ЯМР 1 H, δ , м.д., J, Γu : 1.60 (д, 3H, CH₃-Ala, J= 7.0); 2.07 (ддд, 1H, γ -H Pro, J_1 = 11.9, J_2 = 10.4, J_3 = 5.9); 2.25 (м, 1H, β -H Pro); 2.56 (м, 1H, β -H Pro) и 2.76 (м, 1H, γ -H Pro); 3.42 (дд, 1H, α -H Pro, J_1 =11.1, J_2 = 5.6); 3.49 (д, 1H, N-CH₂-Ar, J_3 = 12.7) и 4.38 (д, 1H, N-CH₂-Ar, J_3 = 12.7); 3.58 (дд, 1H, δ -H Pro, J_1 = 10.5, J_2 = 6.2) и 3.76 (м, 1H, δ -H Pro); 3.90 (σ 0, 1H, σ 0-H-Ala, J_3 = 7.0); 6.62 (дд, 1H, Ar, J_3 = 8.2, J_3 = 2.0); 6.68 (ддд, 1H, Ar, J_3 = 8.2, J_3 = 6.7, J_3 = 1.3); 6.97 (м, 1H, Ar); 7.04 (м, 2H, Ar); 7.18 (ддд, 1H, Ar, J_3 = 8.7, J_3 = 6.7, J_3 = 2.0); 7. 27 (м, 1H, Ar); 7.43-7.57 (м, 3H, Ar); 8.10 (м, 2H-Ar) и 8.14 (дд, 1H, Ar, J_3 = 8.7, J_3 = 1.2).

Общая методика алкилирования глицинового фрагмента в комплексах Ni^{II} его оснований Шиффа с модифицированными фторсодержащими реагентами (4, 6, 8.).

В колбу, заполненную аргоном, помещали 28.5 r (0.055 moля) Ni^{II} -(S)-2-FBPB-Gly ($\mathbf{4}$) или 28.5 r (0.055 moля) Ni^{II} -(S)-4-FBPB-Gly ($\mathbf{8}$), 15 mл ДМФА и 6.54 mл (0.055 moля) бензилбромида, или 4.76 mл (0.055 moля) аллилбромида и в атмосфере аргона добавляли 3.3 r (0.0825 moля) мелкоизмельченного NaOH. Смесь перемешивали в атмосфере аргона 3-10 mh. За ходом реакции следили методом ТСХ (SiO₂, CH₃COOC₂H₅ / CHCl₃ = 3:1). После окончания реакции смесь нейтрализовывали CH₃COOH и добавляли 100 mл H₂O. Выпавшие осадки комплексов 10-15 отфильтровывали, кристаллы промывали водой и сушили под вакуумом при 60 °C. Соотношение (S,S) / (S,R)-диастереомерных комплексов определяли методом ЯМР 1 H Выходы комплексов 10-15 составляют соответственно 26.62 ε (80%), 24.26 ε (79.5%), 26.1 ε (78.5%), 23. 74 ε (77.8%), 26.78 ε (80.5 %) и 24.35 ε (79.8%).

 Ni^{II} -(S)-2-FBPB-(S)-Phe (10). Выход 80.0% ($0.094\ \emph{г}$, $0.155\ \emph{ммоля}$). $T_{пл.}\ 119$ - $121\ ^{\circ}$ C. [α] $_{D}^{20}= +1101\ ^{\circ}$ ($c\ 0.25$, CHCl $_3$). Найдено, %: C 65.51; H 4.82; N 6.71. Вычислено для $C_{34}H_{30}FN_3NiO_3$ (%): C 65.57; H 4.86; N 6.75. Спектр ЯМР 1 Н, δ , м.д., J, $\Gamma \emph{ψ}$: 1.68 (м, 1H, β -H Pro);1.90 (м,1H, γ -H Pro); 2.25-2.39 (м, 3H, γ -, β -, δ -H Pro); 3.09 (м, 1H, δ -H Pro) и 3.27 (дд, 1H, α -H Pro, J_1 =9.6, J_2 =7.1); 2.81 (дд, 1H, -CHCH $_2$ Phe, J_1 = 13.7, J_2 = 5.6) и 3.08 (дд, 1H, -CHCH $_2$ Phe, J_1 = 13.7, J_2 = 4.4); 3.73 (дд, 1H, N-CH $_2$ -C $_6$ H $_4$ F, J_1 = 12.9, J_2 = 1.1) и 4.28 (дд, 1H, N-CH $_2$ -C $_6$ H $_4$ F, J_1 = 12.9, J_2 = 1.4); 4.24 (дд, 1H, α -H Phe, J_1 = 5.6, J_2 = 4.4); 6.65-6.71 (м, 2H, Ar); 6.88 (дт, 1H, Ar, J_1 =7.6, J_2 =1.6); 6.99 (ддд, 1H, Ar, J_1 =10.0, J_2 =8.0, J_3 =1.5); 7.09-7.23 (м, 5H, Ar); 7.30-7.46 (м, 5H, Ar); 7.49-7.59 (м, 2H, Ar); 8.26-8.31 (м, 2H, Ar).

Ni^{II}-(S)-2-FBPB-(S)-α-allyl-Gly (11). Выход 79.5% (0.086 ε , 0.154 ммоля). Т_{пл.} 138-140 °C. [α] $_D^{20} = +1188$ ° (с 0.03, CHCl₃). Найдено, %: С 64.78; Н 5.08; N 7.59. Вычислено для С₃₀H₂₈FN₃NiO₃ (%): С 64.75; Н 5.04; N 7.55. Спектр ЯМР ¹H, δ, м.д., *J, Гц*: 2.01-2.20 (м, 2H, β- γ- H Pro); 2.32-2.64 (м, 3H, β-, γ-, δ-H Pro); 2.89 (м, 1H, δ-H Pro); 3.43 (дд, 1H, α-H Pro, J₁=10.7, J₂=6.3); 3.52 (м, 2H, β-H allyl-Gly); 3.88 (дд, 1H, N-CH₂-C₆H₄F, J₁=13.0, J₂=0.9) и 4.43 (дд, 1H, N-CH₂-C₆H₄F, J₁=13.0, J₂=1.2); 4.00 (дд, 1H, α-H allyl-Gly, J₁=6.6, J₂=4.0); 5.19 (дд, 1H, =CH₂, J₁=17.2, J₂=1.5) и 5.40 (1H, =CH₂, J₁=9.9, J₂=1.5); 6.44 (ддт, 1H, -CH=, J₁=17.2, J₂=9.9, J₃=7.3); 6.62-6.71 (м, 2H, Ar); 6.96-7.31 (м, 6H, Ar); 7.45-7.57 (м, 3H, Ar); 8.25 (д, 1H, Ar, J=8.6); 8.31 (тд, 1H, Ar, J₁=7.3, J₂=2.0):

 Ni^{II} -(S)-3-FBPB-(S)-Phe (12): Выход 78.5% ($0.092\ \varepsilon$, $0.152\ ммоля$). $T_{пл.}\ 123-125\ ^{\circ}$ C. [α] $_{D}^{20}\ =\ +1117\ ^{\circ}$ ($c\ 0.25$, CHCl₃). Найдено, %: С 65.50; Н 4.85; N 6.69. Вычислено для $C_{34}H_{30}FN_3NiO_3$ (%): С 65.57; Н 4.86; N 6.75. Спектр ЯМР 1 Н, δ , м.д., J, Γu : 1.68 (м, 1H, β -H Pro);1.90 (м,1H, γ -H Pro); 2.23-2.38 (м. 3H, γ -, β -, δ -H Pro); 3.12 (м, 1H, δ -H Pro); 3.27 (дд, 1H, α -H Pro, J_1 =9.6, J_2 =7.1); 2.79 (дд, 1H, -CHCH₂Phe, J_1 = 13.7, J_2 = 4.4) и 3.07 (дд, 1H, -CHCH₂Phe, J_1 = 13.7, J_2 = 5.6); 3.71 (дд, 1H, N-CH₂-C₆H₄F, J_1 = 12.9, J_2 = 1.1); 4.24 (дд, 1H, α -H Phe, J_1 = 5.6, J_2 = 4.4); 6.63-6.69 (м, 2H, Ar); 6.88 (дт, 1H,Ar, J_1 =7.6, J_2 =1.6); 6.97 (ддд, 1H, Ar,

 J_1 =10.0, J_2 =8.0, J_3 =1.5,); 7.05-7.19 (M, 5H, Ar); 7.27-7.45 (M, 5H, Ar); 7.49-7.59 (M, 2H, Ar); 8.26-8.31 (M, 2H, Ar).

Ni^{II}-(*S*)-3-FBPB-(*S*)-α-allyl-Gly (13). Выход 77.8% (0.0838 ε , 0.1507 *ммоля*). Т_{пл.} 143-144 °C. [α] $_D^{20}$ = +1996.08° (с 0.03, CHCl₃). Найдено, %: С 64.83; Н 4.90; N 7.34. С₃₀H₂₈FN₃NiO₃. Вычислено, %: С 64.75; Н 5.04; N 7.55. Спектр ЯМР ¹H, δ, м.д., *J, Гц*: 2.01-2.17 (м, 2H, β,γ-H Pro); 2.32-2.64 м. (3H, γ,β,δ-H Pro); 2.87 (м, 1H, δ-H Pro); 3.39 (дд, 1H, α-H Pro, J₁=10.7, J₂=6.3,); 3.51 (м, 2H, -CH-CH₂ allyl); 3.87 (дд, 1H, NCH₂C₆H₄F, J₁=13.0, J₂=0.9); и 4.41 (дд, 1H, J₁=13.0, J₂=1.2, NCH₂C₆H₄F); 4.01 (дд, 1H, NCH J₁=6.6, J₂=4.0); 5.16 (дд, 1H, CH=CH₂, J₁=17.1, J₂= 1.4) и 5.38 (дд, 1H, CH=CH₂, J₁=9.8, J₂= 1.4); 6.44 (ддт,1H, -CH₂-CH allyl, J₁=17.2, J₂=9.9, J₃=7.3); 6.62-6.69 (м, 2H, Ar); 6.93-7.29 (м, 6H, Ar); 7.45-7.57 (м, 3H, Ar); 8.23 (д, 1H, Ar, J=8.6); 8.30 (тд, 1H, Ar, J₁=7.3, J₂=2.0):

 $\mathbf{Ni^{II}}$ -(*S*)-4-FBPB-(*S*)-Phe (14): Выход 80.5 % (0.09454 г, 0.1569 ммоля). Т_{пл.} 117-120 °С. [α] $_D^{20}$ = +1108,21 0 (с 0.2, CHCl₃). Найдено, %: С 64.88; Н 4.91; N 6.71. С₃₄Н₃₀FN₃NiO₃: Вычислено, %: С 65.37; Н 4.86; N 6.75: Спектр ЯМР 1 Н, δ , м.д., *J*, Γ ψ : 1.65 (м, 1Н, β -H Pro); 1.88 (м, 1Н, γ -H Pro); 2.27-2.40 (м, 3H, γ -, β -, δ -H Pro); 3.06 (м, 1H, δ -H Pro); 3.29 (дд, 1H, α -H Pro, J₁=9.6, J₂=7.1); 2.80 (дд, 1H, J₁=13.7, J₂=5.6) и 3.06 (дд, 1H, J₁=13.7, J₂=4.4, CH<u>CH₂</u>Ph); 3.73 (дд, 1H, J₁=12.9, J₂=1.1); и 4.25 (дд, 1H, J₁=12.9, J₂=1.4, CH₂<u>C₆H</u>₄F); 4.24 (дд, 1H, J₁=5.6, J₂=4.4, CH<u>CH₂</u>); 6.63-6.70 (м, 2H, Ar); 6.86 (дт, J₁=7.6, J₂=1.6,1H, Ar); 6.98 (ддд, J₁=10.0, J₂=8.0, J₃=1.5, 1H, Ar); 7.05-7.24 (м, 5H, Ar); 7.30-7.47 (м, 5H, Ar); 7.51-7.59 (м, 2H, Ar); 8.25-8.31. (м, 2H, Ar):

 Ni^{II} -(S)-4-FBPB-(S)- α -allyl-Gly (15). Выход 79.8% (0.08598 z, 0.1546 $_{MMOЛЯ}$). T_{III} .142-144 $^{\circ}$ C. [α] $_{D}^{20}$ = +2000.11 0 (с 0.029, CHCl $_{3}$). Найдено, %: C 62.84; H 4.91; N 7.30: $C_{30}H_{28}FN_{3}NiO_{3}$: Вычислено, %: C 62.92; H 4.93; N 7.34. Спектр ЯМР 1 Н, δ , м.д., J, $\Gamma \psi$: 2.02-2.22 (м, 2H, β , γ -H Pro); 2.32-2.63 (м, 3H, γ , β , δ -H Pro); 2.85 (м, 1H, δ -H Pro); 3.40 (дд, 1H, α -H Pro, J_{1} =10.7, J_{2} =6.3,); 3.51 (м, 2H, -CH-CH $_{2}$ allyl); 3.84 (дд, 1H, NCH $_{2}C_{6}H_{4}F$, J_{1} =13.0, J_{2} =0.9); и 4.41 (дд, 1H, J_{1} =13.0, J_{2} =1.2, NCH $_{2}C_{6}H_{4}F$); 4.03 (дд, 1H, NCH J_{1} =6.6, J_{2} =4.0); 5.18 (дд, 1H, CH=CH $_{2}$, J_{1} =16.9, J_{2} =1.3) и 5.42 (дд, 1H, CH=CH $_{2}$, J_{1} =9.7, J_{2} =1.3); 6.41 (ддт, 1H, -CH $_{2}$ -CH allyl, J_{1} =17.2, J_{2} =9.9, J_{3} =7.3); 6.62-6.73 (м, 2H, Ar); 6.97-7.30 (м, 6H, Ar); 7.44-7.57 (м, 3H, Ar); 8.24 (д, 1H, Ar, J=8.6); 8.32 (тд, 1H, Ar, J_{1} =7.3, J_{2} =2.0):

Работа выполнена при финансовой поддержке Международного научно-технического центра (грант ISTS A-1247).

ԱՄԻՆԱԹԹՈՒՆԵՐԻ ԿԱՐՃԱԺԱՄԿԵՏ ԱՍԻՄԵՏՐԻԿ ՍԻՆԹԵԶ՝ ՆՈՐ ֆՏՈՐՏԵՂԱԿԱԼՎԱԾ ՔԻՐԱԼԱՅԻՆ ՌԵԱԳԵՆՏՆԵՐՈՎ Ni^{II}-ԻՈՆԻ ԱՌԱՋԱՅՐԱԾ ԿՈՄՊԼԵՔՄՆԵՐԻ ԿԻՐԱՌՄԱՄԲ

Ա. Ս. ՍԱՂԻՑԱՆ, Ա. Ս. ԴԱԴԱՑԱՆ, Ս. Ա. ԴԱԴԱՑԱՆ, Տ. Հ. ՍԱՐԳՍՑԱՆ, Ա. Վ. ԳԵՈԼՉԱՆՑԱՆ, Վ. Տ. ՂՈՉԻԿՑԱՆ, Հ. Ա. ՓԱՆՈՍՑԱՆ, Վ. Ն. ԽՐՈՒՍՏԱԼՑՈՎ և Վ. Ի. ՄԱԼԵԵՎ

Մինթեզվել են նոր ֆտորտեղակալված քիրալային օժանդակ ռեագենտներ՝ (S)-N-(2-բենզոիլֆենիլ)-1-(2-ֆտորբենզիլ)-, (S)-N-(2-բենզոիլֆենիլ)-1-(3-ֆտորբենզիլ)-, (S)-N-(2-բենզոիլֆենիլ)-1-(4-ֆտորբենզիլ)պիրոլիդին-2 կարբօքսամիդներ և Ni²+-իոնի հետ նրանց և գլիցինի ու ալանինի Շիֆֆի հիմքերի առաջացրած հարթ-քառակուսային կոմպլեքսներ։ Մինթեզված գլիցինային կոմպլեքսների կիրառմամբ իրականացվել է բարձր ստերեոսելեկտիվությամբ (ee > 97-98 %) և արագընթաց (3-15 րոպե տևողությամբ) ամինաթթուների ասիմետրիկ սինթեզ։ Ցույց է տրվել, որ մոդիֆիկացված քիրալային ռեագենտների ու գլիցին ամինաթթվի Շիֆֆի հիմքի հետ Ni²+-իոնի առաջացրած հարթ-քառակուսային կոմպլեքսների ալկիլհալոգենիդներով միջֆազային C-ալկիլման ասիմետրիկ ռեակցիաների ստերեոսելեկտիվությունն ու արդյունավետությունը կախված են այդ կոմպլեքսների N-բենզիլպրոլինային մնացորդում տեղակալված հալոգենի բնույթից և դիրքից։ Առավել բարձր ստերեոսելեկտիվություն և արդյունավետություն է արձանագրվել N-բենզիլպրոլինային մնացորդի ֆենիլային օղակի օրթոդիրքում F-տեղակալիչ պարունակող՝ Ni^{II}-(S)-2-FBPB-Gly գլիցինի մոդիֆիկացված կոմպլեքսի կիրառման ժամանակ։

ASYMMETRIC SYNTHESIS OF AMINO ACIDS WITH SHORTENED TIME MONITORING IN UTILIZATION OF NI^{II} COMPLEXES BASED ON NEW F-CONTAINING CHIRAL AUXILIARIES

A. S. SAGHIYAN, A. S. DADAYAN, S. A. DADAYAN, T. H. SARGSYAN, A. V. GEOLCHANYAN, V. T. GHOCHIKYAN, H. A. PANOSYAN, V. N. KHRUSTALEV and V. I. MALEEV

Scientific Research Institute of Biotechnology 14 Gyurjyan str., Yerevan, 0056, Armenia Fax: (374 10) 654183 E-mail: sagysu@netsys.am

A. L. Mnjoyan Institute of Fine Organic Chemistry 26 Azatutyan str., Yerevan, 0014, Armenia E— mail: gyulgev@gmail.com

A. N. Nesmeyanov Institute of Organo—Element Compaunds, RAS 28 Vavilov str., 119991, Moscow, Russia E—mai: yubel@ineos.ac.ru

New effective fluorine-containing chiral auziliaries (S)-N-(2-benzoylphenyl)-1-(2fluorobenzyl)-, (S)-N-(2- benzoylphenyl)-1-(3-fluorobenzyl)-, and (S)-N-(2- benzoylphenyl)-1-(4- fluorobenzyl)pyrrolidine-2-carboxamide and Ni^{II} complexes of their Schiff's bases with glycine and alanine have been synthesized. The modified glycine complexes were then tested in model reactions of the asymmetric C-alkylation of the glycine fragment when allyl- and benzyl bromides were used as alkylating agents. Alkylation of complexes within a short time period (3-15 min) resulted in highly selective (e.e > 97-98 %) asymmetric synthesis of (S)-phenylalanine and (S)-allylglycine with formation of diastereomerically pure complexes. In the reactions of asymmetric C-alkylation of complexes, as expected, superhigh indices were registered in the case of glycine complex based on the modified (S)-2-FBPB chiral auxiliary. For the contrastive analysis, alkylation of similar glycine complexes with (R)-proline-based chiral auxiliary $[Ni^{II}-(R)-$ 2-FBPB-Gly, Ni^{II}-(R)-3-FBPB-Gly, Ni^{II}-(R)-4-FBPB-Glyl has been studied and the possibility of highly selective asymmetric synthesis of (R)- α -amino acids with the same diastereoselectivity has been shown. It was established that the stereodifferential ability of the chiral Ni^{II} complexes of Schiff's bases of amino acids and chiral auxiliaries in the reactions of C-alkylation of amino acid moiety significantly depended on the degree of electron-negativity of halogen and the position of the phenyl group substituent in N-benzylproline moiety of the modified chiral auxiliary. Naturally, the best results among synthesized chiral auxiliaries based on the natural (S)-proline amino acid were registered in the case of (S)-2-FBPB complexes.

Undoubtedly, the synthesized modified (*S*)-2-FBPB chiral auxiliary might be recommended for application in preparative production of optically active α - and β -substituted α -amino acids.

ЛИТЕРАТУРА

- [1] Fasth K.J., Langstrom B. // Acta Chimica Scandinavica, 1990, v. 44, p. 720.
- [2] Nagren K. // J. of Labelled Compaunds und Radiopharmaceuticals, 1997, v. 40, p. 760.
- [2a] Isaad A. Le., Barbetti C.F., Rovero P., D'Ursi A.M., Chelli M., Chorev M., Papini A.M. // Eur. J. Org. Chem., 2008, p. 5308.
- [2b] *Debache A., Collet S., Bauchat P., Danion D., Euzenat L., Hercouet A., Carboni B.* // Tetrahedron: Asymmetry, 2001, v. 12, p. 761.

- [2c] Collet S., Bauchat P., Danion-Bougot R., Danion D. // Tetrahedron: Asymmetry, 1998, v. 9, p. 2121.
- [2e] Hercouet A., Bessie 'res B., Lecorre M. // Tetrahedron: Asymmetry, 1996, v. 7, p. 283.
- [3] Belokon'Y.N., North M., Churkina T.D., Ikonnikov N.S., V.I. Maleev. // Tetrahedron, 2001, v. 57, p. 2491.
- [4] Белоконь Ю.Н., Петросян А.А., Малеев В.И., Савельева Т.Ф., Грачев А.В., Иконников Н.С., Сагиян А.С. // Изв. РАН, сер. хим., 2002, №11, с. 1931.
- [5] Белоконь Ю.Н., Черноглазова Н.И., Гарбалинская Н.С., Рыжов М.Г., Бахмытов В.И., Сапоровская М.Б., Пасконова Е. А., Малеев В.И., Витт С.В., Беликов В.М. // Изв. АН СССР, сер. хим., 1984, №4, с. 804.
- [6] Belokon' Y.N., Maleev V.I., Vitt S. V., Ryzhov M.G., Kondrashov Y.N., Golubev S.N., Vauchskii Y.P., Kazika A.I., Dubchak I. L., Novicova M.I., Krasutskii P.A., Yurchenko A. G., Shklover V. E., Struchkov V.T., Bakhmutov V.I., Belikov V. M. // Dalton Trans., 1985, v. 1, p. 17.
- [7] *Белоконь Ю.Н., Малеев В.И., Беликов В.М., Рыжов М.Г., Казика А.И., Ваучский Ю.П.* // Бюлл.изобр.1985, № 41, А.С. № 1189859.
- [8] Белоконь Ю.Н., Малеев В.И., Петросян А.А., Савельева Т.Ф., Иконников Н.С., Перегудов А.С., Хрусталев В.Н., Сагиян А.С. // Изв. РАН, сер. хим., 2002, 8, 1464.
- [9] *Амбарцумян А.А., Сагиян А.С., Петросян А.А., Манасян Л.Л., Мкртчян Г.М., Аветисян А.А., Малеев В.И., Белоконь Ю.Н..* // Ученые записки ЕГУ, 2004, №3, с. 75.
- [10] Soloshonok V.A., Ohkura H., Sorochinsky A., Voloshin N., Markovsky A., Belik M., Yamazaki T. // Tetrahedron Lett., 2002, v. 43, p. 5445.
- [11] Belokon'Yu.N., Saghiyan A.S., Djamgaryan S.M., Bakhmutov V.I., Belikov V.M // Tetrahedron, 1988, v 44, p. 5507.
- [12] Belokon' Y.N. // Pure and Appl. Chem., 1992, v. 64, p. 1917.
- [13] Belokon' Y.N. // Janssen Chim. Acta, 1992, v. 2, p. 4.
- [14] Belokon' Yu.N., Saghiyan A.S., Djamgaryan S.M., Bakhmutov V.I., Struchkov Yu.T., Belikov V.M. // J. Chem Soc., Pekin Trans. I, 1990, p.2301.
- [15] *Белоконь Ю.Н., Малеев В.И., Сапоровская М.Б., Бахмутов В.И., Тимофеева Т.В., Бацанов А.С., Стручков Ю.Т.* // Координац. химия, 1988, т. 11, с. 1565 [Sov. J. Coord. Chem., 1988, 11 (Engl. Transl.)]
- [16] Popkov A., Gree A., Nódvornuk M., Lyčka A. // Transition Metal Chemistry, 2002, v. 27, p. 884.
- [17] *Сагиян А.С., Петросян А.А., Амбарцумян А.А., Малеев В.И., Белоконь Ю.Н.* // Хим ж. Армении, 2002, т. 55, №3, с. 150.
- [18] Saghiyan A.S., Dadayan S.A., Petrosyan S.G., Manasyan L.L., Geolchanyan A.V., Djamgaryan S.M., Andreasyan S.A., Maleev V.I., Khrustalev V.N. // Tetrahedron: Asymmetry, 2006, v.17, p. 455.
- [19] Kr*asikova R.N., Kuznetsova O.F., Fedorova O.S., Mosevich I.K., Maleev V.I., Belokon' Yu.N., Saveleva T.F., Saghiyan A.S., Dadayan S.A., and Petrosyan A.A.* // Radiochemistry, 2007, vol. 49, N

 5, p. 449.
- [20] *Sheldrick G.M.*, SADABS, v. 2.01, Bruker/Siemens Area Detector Absorption Correction Program; Bruker AXS Inc., Madison, WI, 1998.
- [21] *Sheldrick G.M.*, SADABS, v. 2.03, Bruker/Siemens Area Detector Absorption Correction Program, Bruker AXS, Madison, Wisconsin, 2003.
- [22] Sheldrick G.M. // Acta Cryst., 2008, A64, p. 112.
- [23] Сапоровская М.Б., Волкова Л.М., Павлов В.А. // ЖАХ, 1989, т. 44, с. 425.
- [24] Nicholson G.J., Frank H., Bayer E.J. // High Resolut. Chromat. Communs., 1979, v. 28, p. 411.

ՀԱՅԱՍՏԱՆԻ ՀԱՆՐԱՊԵՏՈՒԹՅԱՆ ԳԻՏՈՒԹՅՈՒՆՆԵՐԻ ԱԶԳԱՅԻՆ ԱԿԱԴԵՄԻԱ НАЦИОНАЛЬНАЯ АКАДЕМИЯ НАУК РЕСПУБЛИКИ АРМЕНИЯ

Հայաստանի քիմիական հանդես 62, №1-2, 2009 Химический журнал Армении

УДК 547.574 + 547.442.3 + 547.593.3

ВЗАИМОДЕЙСТВИЕ N-(4-ГИДРОКСИБУТИЛ)АРАЛЬДИМИНОВ С АЦЕТИЛАЦЕТОНОМ И АЦЕТОУКСУСНЫМ ЭФИРОМ

С. С. АЙОЦЯН

Научно-технологический центр органической и фармацевтической химии НАН Республики Армения Институт органической химии Армения, 0091, Ереван, ул. 3. Саркавага, 167а Тел.: +37477903050, E-mail: sargis@hayotsyan.com

Поступило 23 XII 2008

Проведено взаимодействие N-(4-гидроксибутил)аральдиминов с ацетилацетоном и ацетоуксусным эфиром, приведшее к образованию 5-N-(4-гидроксибутил)амино-3-арил-2,4-дикарбонил-1-метил-4-циклогексен-1-олов вследствие реакции карбоциклизации, в то время как в описанных аналогичных реакциях с использованием арилиденанилинов образуются соответствующие N-арилзамещенные 1,4-дигидропиридины. С целью исключения предположения о влиянии гидроксильной группы на ход реакции в реакцию с дикарбонильными соединениями был вовлечен N-(н-бутил)- бензальдимин. Установлено, что в этом случае также имеет место карбоциклизация.

Библ. ссылок 5.

Известно, что анилин и его производные в условиях реакции Ганча ведут себя аналогично аммиаку, образуя N-замещенные-1,4-дигидропиридины [1]. Недавно нами было показано, что при трехкомпонентном взаимодействии первичных аминоспиртов, ацетоуксусного эфира и бензальдегида, вместо ожидаемой гетероциклизации с образованием замещенных 1,4-дигидропиридинов, происходит карбоциклизация, приводящая к 5-N-(ω-гидроксиалкил)амино-3-фенил-2,4-диэтоксикарбонил-1-метил-4-циклогексен-1-олам [2].

С целью выяснения такого необычного поведения первичных аминоспиртов и, имея в виду, что указанная реакция может идти через промежуточное образование имина [1], было исследовано взаимодействие N-(4-гидроксибутил)аральдиминов (1) с ацетоуксусным эфиром и ацетилацетоном. Проведенные опыты показали, что реакция происходит в спирте при комнатной температуре с образованием продуктов карбоциклизации **2а-в**. Реакция, как и

можно было предположить, происходит через образование промежуточных арилидендикарбонильных соединений (халкон) **4** и непредельных аминокетонов (енаминон) **5** [3], что было показано отдельным опытом на примере ацетилацетона. Соединение **26** получено также взаимодействием бутаноламина, бензальдегида и ацетилацетона (схема 1).

2a) Ar = Ph, R = OEt; **26)** Ar = Ph, R = CH₃; **2B)** Ar = π -O₂NPh, R = CH₃.

Для выясненния роли гидроксильной группы в реакции карбоциклизации исследовано взаимодействие N-бутилбензальдимина (9) с ацетилацетоном и ацетоуксусным эфиром. Выяснилось, что при взаимодействии имина 9 с ацетилацетоном также происходит карбоциклизация. Тот же продукт 10а получается и при трехкомпонентной реакции бутиламина, бензальдегида и ацетилацетона. Аналогичный результат получается и в случае ацетоуксусного эфира, лишь с той разницей, что паралельно образуется и 3-фенил-2,4-диэтоксикарбонил-5-гидрокси-5-метилциклогексанон (11).

Из сказанного следует, что при использовании первичных ω-гидроксиалкиламинов вместо анилинов на направление реакции влияет не гидроксильная, а алкильная группа. Это влияние, видимо, обусловлено тем, что в промежуточном соединении 6 (схема 1), через которое происходят и карбоциклизация, и гетероциклизация, в случае анилинов, из-за сопряжения между C=N связью и ароматическим кольцом, энергетический барьер трансформации иминной формы 6 в енамин 7 больше, и поэтому атом азота сохраняет нуклеофильные свойства и, участвуя в циклизации, ведет к образованию производных 1,4дигидропиридинов 8. В случае же алкиламинов изомеризация в 7 происходит быстро за счет образующегося сопряжения между карбонильной группой и двойной связью. Образующийся енамин 7 вследствие внутримолекулярной водородной связи может превратиться в цвиттерион 7А [4], в котором реакционная способность атома азота подавлена, а нуклеофильность метильной группы в системе $>N^+=C-CH_3$ сильно увеличена, что и приводит к карбоциклизации. Следует отметить также, что наблюдаемую разницу между поведением анилинов и алкиламинов в условиях реакции Ганча невозможно объяснить разницей их основностей (нуклеофильностей), т. к. алкиламины более нуклеофильны, чем ариламины. Так, при взаимодействии бензальданилина с ацетилацетоном образуется только продукт присоединения 12 [5] (схема 3), т.е. из-за меньшей основности атома азота основной автокатализ не действует, и реакция не протекает по пути образования халкона, енамина и далее – аналогично схеме 1. При добавлении к 12 более основного имина 16 продуктом реакции становится 26. Это означает, что, во-первых, соединение 12 в реакцию вступает с участием NH группы, вследствие чего образуется ацетилацетон, который с имином 16 дает продукт 26, и во-вторых, стадия присоединения дикарбонильного соединения к имину обратима.

Экспериментальная часть

ИК-спектры сняты на приборе "Specord 75 IR" в вазелиновом масле, спектры ЯМР – на спектрометре "Varian Mercury 300 VX" с рабочей частотой 300,077 $M\Gamma\mu$ для ¹H и 75,462 $M\Gamma\mu$ для ¹³С в растворителе ДМСО- d_6 (внутренний стандарт – ТМС).

Взаимодействие N-(4-гидрокси)бутилбензальдимина (1а) с ацетоуксусным эфиром. Раствор 1,77 r (10 m0r1) 1a и 2,6 r (20 m0r2) ацетоуксусного эфира в 10 m2 абс. этанола оставили при комнатной температуре. Через двое суток осевшие кристаллы отфильтровали, промыли абс. эфиром, получили 1,86 r (44,3%) 5-N-(4-гидроксибутил)амино-3-фенил-2,4-диэтоксикарбонил-1-метил-4-циклогексен-1-ола (2a2), т.пл. 129-130°C [2].

- **5-N-(4-Гидроксибутил)амино-3-фенил-2,4-диацетил-1-метил-4-циклогексен-1-ол (26).** 1) Аналогичным образом из 1,77 r (10 mmons) **1a** и 2 r (20 mmons) ацетилацетона в 10 mn абс. этанола получили 2,29 r (64%) **26**, т.пл. 158 °C (из этанола). ИК-спектр, v, cm^1 : 3400-3300(OH); 3200-3150(NH); 1700(CO); 1590, 1530(C=C-C=O); 750, 740, 700(аром.). ЯМР 1 Н, δ , м.д., Γu ; 1,16c (3H, 1-CH₃), 1,51c (3H, 4-Ac), 1,62м (4H, (CH₂)₂), 1,84c (3H, 2-Ac), 2,43 π (1H, J=17,1) и 2,56 π (1H, J=17,1, 6-CH₂), 2,60 π (1H, J=10,2, 2-CH), 3,26м (2H, NCH₂), 3,48 π (2H, CH₂O), 4,08c (1H, 1-OH), 4,10 π (1H, J=10,2, 3-CH), 3,89-4,27 π (1H, CH₂O \underline{H}), 7,02-7,24 π (5H, Ph), 11,43 π (1H, J=5,5, NH).
- 2) Раствор 2,25 r (12 $\mathit{ммоля}$) **46** и 2,05 r (12 $\mathit{ммоля}$) **56** в 6 $\mathit{мл}$ абс. этанола оставили при комнатной температуре. Через двое суток осевшие кристаллы отфильтровали, промыли абс. эфиром, получили 2,31 r (64%) **26** с т.пл. 157°C.
- 3) Раствор 0,53 r (5 $\mathit{ммоля}$) бензальдегида, 0,445 r (5 $\mathit{ммоля}$) бутаноламина, 1 r (10 $\mathit{ммоля}$) ацетилацетона в 6 $\mathit{мл}$ абс. этанола оставили при комнатной температуре. Через неделю осевшие кристаллы отфильтровали, промыли абс. эфиром, получили 0,5 r (29,6%) **26** с т.пл. 157-158 °C.
- **5-N-**(*н*-Бутил)амино-3-фенил-2,4-диацетил-1-метил-4-циклогексен-1-ол (10а). 1) Раствор 1,6 r (10 mmonn) N-(nmonn) N-(nmonn) N-(nmonn) N-(nmonn) N-(nmonn) Раствор 1,6 nn (10 nmonn) N-(nmonn) N-(nmonn) Вензальдимина (9) и 2 nn (20 nmonn) ацетилацетона в 8 nn абс. этанола оставили при комнатной температуре. Осевшие кристаллы отфильтровали, промыли абс. эфиром, получили 1,2 nn (35%) 10a с т.пл. 155°С. ИК-спектр, nn ч. 3450-3200(OH, NH); 1710(CO); 1590, 1540(C=C-C=O); 750, 740, 700(аром.). ЯМР nn Н, nn м.д., nn 1,00т (3H, nn 1,15c (3H, 1-CH₃), 1,46м (2H, CH₂), 1,51c (3H, 4-Ac), 1,61м (2H, CH₂), 1,84c (3H, 2-Ac), 2,41nn (1H, nn 1,15c (3H, nn 1,

2) Раствор 1,06 r (10 mmoля) бензальдегида, 0,73 r (10 mmoля) n-бутиламина и 2 r (20 mmoля) ацетилацетона в 5 mn абс. этанола оставили при комнатной температуре. На третий день осевшие кристаллы отфильтровали, промыли абс. эфиром, получили 2,1 r (61,2%) **10a** с т.пл. 154-155 °C.

Взаимодействие N-(μ -бутил) бензальдимина и ацетоуксусного эфира. Раствор 1,3 r (8 μ) N-(μ -бутил) бензальдимина (9) и 2,2 r (16 μ) ацетоуксусного эфира в 8 μ л. абс. этанола оставили при комнатной температуре. Через несколько дней отогнали растворитель, после охлаждения выпавшие кристаллы отфильтровали, промыли гексаном и получили 1,45 r продукта с т.пл 74-75°С, который, согласно данным ЯМР 1 Н, содержит 1,25 r (37,5%) 106 и 0,2 r (7,1%) 3-фенил-2,4-диэтоксикарбонил-5-гидрокси-5-метилциклогексанона (116) [6]. ЯМР 1 Н, 1 Н, 1 Н, 1 Н, 1 1, 1 1, 1 2, 1 3, 1 3, 1 4, 1 4, 1 5, 1 5, 1 5, 1 6, 1 7, 1 7, 1 7, 1 7, 1 8, 1 8, 1 9,

Взаимодействие бензальдегида, *н*-бутиламина и ацетоуксусного эфира. Аналогичным образом из 1,06 r (10 m0r9) банзальдегида, 0,73 r (10 m0r9) r9 н-бутиламина и 2,6 r (20 r9 ацетоуксусного эфира получили 1,75 r продукта с т.пл. 73-74°C, содержащего, согласно данным ЯМР 1 H, 1,4 r (34,7%) **106** и 0,35 r (10%) **116**.

N-(4-ՀԻԴՐՕՔՍԻԲՈՒՏԻԼ)ԱՐԱԼԴԻՄԻՆՆԵՐԻ ՓՈԽԱԶԴԵՑՈՒԹՅՈՒՆԸ ԱՑԵՏԻԼԱՑԵՏՈՆԻ ԵՎ ԱՑԵՏՈՔԱՑԱԽԱԹԹՎԻ ԷՍԹԵՐԻ ՀԵՏ

Մ. Մ. ՀԱՅՈՑՅԱՆ

Իրականացվել է N-(4-հիդրօքսիբուտիլ)արալդիմինների ռեակցիան ացետիլացետոնի և ացետոքացախաթթվի էսթերի հետ։ Ցույց է տրվել, որ փոխազդեցությունը բերում է կարբոցիկլացման՝ 5-N-(4-հիդրօքսիբուտիլ)ամինո-3-ֆենիլ-2,4-դիկարբոնիլ-1-մեթիլ-4-ցիկ-լոհեքսեն-1-օլերի առաջացմամբ, ինչը հակասում է նախկինում նկարագրված նմանատիպ ռեակցիաներին, որոնց արդյունքում արիլիդենանիլինների օգտագործման դեպքում ռեակցիայի արգասիքներ են հանդիսանում համապատասխան N-արիլտեղակալված 1,4-դիհիդրոպիրիդինները։ Երկու դեպքում էլ ռեակցիաները ընթանում են նմանատիպ ինտերմեդիատների առաջացմամբ։ Հիդրօքսիլ խմբի ազդեցության տարբերակը բացառելու նպատակով անալոգ ռեակցիա է իրականացվել նաև N-(ն-բուտիլ)բենզալդիմինի հետ, և ցույց է տրվել, որ կարբոցիկլացումը պայմանավորում է հենց N-ալկիլ խումբը։

INTERACTION OF N-(4-HYDROXYBUTYL)ARALDIMINES WITH ACETYLACETONE AND ETHYL ACETOACETATE

S. S. HAYOTSYAN

The Scientific Technological Centre of Organic and Pharmaceutical Chemistry NAS RA
Institute of Organic Chemistry
167a, Z. Sarkavag str., Yerevan, 0091, Armenia
Tel.: +37477903050, E-mail: sargis@hayotsyan.com

The interaction of N-(4-hydroxybutyl)araldimines with acetylacetone and ethyl acetoacetate has been carried out. It is shown, that such interaction leads to the formation of 5-N-(4-hydroxybutyl)amino-3-aryl-2,4-dicarbonyl-1-methyl-4-cyclohexene-1-oles as carbocyclization products. The obtained results contradicted analogous reactions of arylideneanilines, leading to the corresponding N-aryl-1,4-dihydropyridines. In both cases reaction flows through the similarly structured intermediates. With the goal to exclude the version of hydroxyl group influence on the specificity of the reaction, analogous reactions have been carried out with N-(n-butyl)benzaldimines. It has been established that carbocyclization takes place in case of N-alkyl derivatives.

ЛИТЕРАТУРА

- [1] Саусинь А.Э., Чекавичус Б.С., Лусис В.К., Дубур Г.Я. // ХГС, 1980, №4, с. 493.
- [2] *Саргсян М.С., Айоцян С.С., Хачатрян А.Х., Бадасян А.Э., Конькова С.Г.* // Хим. ж. Армении, 2008, т.61, №4, с. 504.
- [3] Конькова С.Г., Айоцян С.С., Хачатрян А.Х., Бадасян А.Э., Саргсян М.С. // ЖОХ, 2008, т. 78, №4, с. 698
- [4] *LIzkar S., blkъ D., Yıldırım L.T., Biricik N., Gьтдыт В.* // J. Mol. Struct., 2004, v. 688, p. 207.
- [5] Schiff R. // Chem. Ber., 1898, BII, Nº31, s.1392.
- [6] Pandiarajan K., Sabapathy R.T., Gomathi R., Muthukumaran G. // Magn. Res. Chem., 2005, v. 43, p. 430.

ՀԱՅԱՍՏԱՆԻ ՀԱՆՐԱՊԵՏՈՒԹՅԱՆ ԳԻՏՈՒԹՅՈՒՆՆԵՐԻ ԱԶԳԱՅԻՆ ԱԿԱԴԵՄԻԱ НАЦИОНАЛЬНАЯ АКАДЕМИЯ НАУК РЕСПУБЛИКИ АРМЕНИЯ

Հшјшиտшնի рիմիшկшն ншићи 62, №1-2, 2009 Химический журнал Армении

УДК 547.732:547.8

СИНТЕЗ 8-АМИНОПРОИЗВОДНЫХ 2,2,5-ТРИЗАМЕЩЕННЫХ ПИРАНО[4'',3'':4',5']ПИРИДО[3',2':4,5]ТИЕНО[3,2-d]ПИРИМИДИНОВ

Е. Г. ПАРОНИКЯН, Ш. Ф. АКОПЯН и А. С. НОРАВЯН

Научно-технологический центр органической и фармацевтической химии НАН Республики Армения

Институт тонкой органической химии им. А.Л.Мнджояна

Армения, 0014, Ереван, пр. Азатутян, 26 E-mail: shogikakopyan@rambler.ru

Поступило 16 VI 2008

Разработаны методы синтеза новых аминопроизводных конденсированных тиено[3,2-d] пиримидинов на основе производных пирано[3,4-c]тиопиран-8-тионов.

Библ. ссылок 7.

Тиенопиримидины являются структурными аналогами пуринов и их можно рассматривать как потенциальные биологически активные вещества. В продолжение исследований по созданию новых производных конденсированных тиено[3,2-d]пиримидинов [1-2] в настоящей работе осуществлен синтез их аминопроизводных. В качестве исходных соединений послужили производные пирано[3,4-c]тиопиран-8-тионов **1a-c** [3]. 6-Амино-3-изопропил-8-тиоксо-5-циан-4,8-дигидро-1H,3H-пирано[3,4-c]тиопиран (1a) получен из 2-изопропилтетрагидропиран-4-она [4].

Взаимодействие соединений 1 с морфолином (пирролидином) протекает по тиопирантионовому фрагменту с перегруппировкой, которая приводит к образованию конденсированных пиранопиридинов 2 а-с [5]. Последние взаимодействием с этиловым эфиром хлоруксусной кислоты превращены в соответствующие конденсированные тиофены 3 а-с [6,7]. Конденсацией соединений 3 с формамидом получены тиено[3,2-d]пиримидин-8-оны 4а-с, которые с целью получения 8-хлорпроизводных 5а-с введены во взаимодействие с хлорокисью фосфора. Соединения 5 под действием аминов превращены в 8-аминотиенопиримидины 6а-k.

1a: R=H, R₁=i-C₃H₇; **1b**: R=CH₃, R₁=C₂H₅; **1c**: R=R₁=CH₃; **2-5a**: R=H, R₁=i-C₃H₇, R₂ = морфолил; **2-5b**: R=CH₃, R₁=C₂H₅, R₂ = морфолил; **2-5c**: R=R₁=CH₃, R₂ = пирролидил; **6a**: R=H, R₁=i-C₃H₇, R₂ = морфолил, R₃= NHNH₂; **6b**: R=H, R₁=i-C₃H₇, R₂ = морфолил, R₃= NHCH₂CH₂OH; **6c**: R=H, R₁=i-C₃H₇, R₂ = морфолил, R₃= NH(CH₂)₃OH; **6d**: R=CH₃, R₁=C₂H₅; R₂ = морфолил, R₃= NHNH₂; **6e**: R=CH₃, R₁=C₂H₅; R₂ = морфолил, R₃= NHCH₂C₆H₅; **6f**: R=CH₃, R₁=C₂H₅; R₂ = морфолил, R₃= NH(CH₂)₂N(CH₃)₂; **6g**: R=R₁=CH₃; R₂ = пирролидил, R₃= NHNH₂; **6h**: R=R₁=CH₃; R₂ = пирролидил, R₃= NH(CH₂)₃OH; **6j**: R=R₁=CH₃; R₂ = пирролидил, R₃= NH(CH₂)₃OH; **6j**: R=R₁=CH₃; R₂ = пирролидил, R₃= NH(CH₂)₃OH; **6j**: NHCH₂C₆H₅.

Экспериментальная часть

ИК-спектры сняты на спектрометре "UR-20" в вазелиновом масле, спектры ЯМР 1 Н — на приборе "Mercury 300" в ДМСО-d6, масс-спектр — на приборе "MX-1320" с системой прямого ввода образца в источник ионов. ТСХ проведена на пластинках "Silufol UV-254" в системах ДМФА—эфир, 2:5 (**2 a-c**); этанол—хлороформ, 1:1 (**3 a-c**); хлороформ—пиридин, 3:1(**4a-c**); хлороформ—этанол, 1:2 (**5a-c**); этанол—хлороформ, 2:3 (**6a-k**); проявитель — пары йода.

6-Амино-3-изопропил-8-тиоксо-5-циан-4,8-дигидро-1H,3H-пирано[3,4-c]— **тиопиран (1а).** К смеси 26.6 r (0.1 mоля) 2-изопропилтетрагидропиран-4-она, 12 mл сероуглерода и 12 mл этанола при перемешивании добавляют порциями 6.6 r (0.1 mоля) динитрила малоновой кислоты, по каплям 5 mл триэтиламина. Смесь оставляют при комнатной температуре (20°С) на 48 v. Образовавшиеся кристаллы отфильтровывают, промывают этанолом и высушивают. Перекристаллизовывают из этанола. Выход 74%, т.пл. 275-277 °С. Rf 0.54. Найдено,%: С 57.46; Н 5.48; N 11.41; S 25.51. $C_{12}H_{14}N_2OS_2$. Вычислено, %: С 57.60; Н 5.60; N 11.20; S 25.60. ИК-спектр,v, см $^{-1}$: 3250 (NH₂); 2210 (CN); 1120 (C=S). Спектр ЯМР 1 Н

 $(\delta, \text{ м.д.}, \Gamma \mu)$: 0.99 (д, 3 H, CH₃, J = 6.7); 1.02 (д, 3 H, CH₃, J = 6.7); 1.77 (окт, 1 H, <u>CH</u>(CH₃)₂, J = 6.7); 2.46 (м, 2H, CH₂), 3.19 (м, 1 H, OCH); 4.20, 4.84 (оба д, по 1 H, OCH₂, J = 15.2); 8.57 (с, 2 H, NH₂).

Синтез соединений 1b,с приведен в работе [3].

Соединение 2с получают аналогично.

3,3-Диметил-8-тетрагидро-1*H*-1-пирролил-6-тиоксо-5-циано-3,4,6,7-тетрагидро-1*H*-пирано[3,4-с]пиридин (2c). Выход 87%, т.пл.236-238°С. R_f 0.52. Найдено, %: C 62.56; H 6.79; N 14.68; S 11.36. $C_{15}H_{19}N_3OS$. Вычислено, %: C 62.28; H 6.57; N 14.53; S 11.07. ИКспектр, v, cm-1: 3630 (NH); 2215 (CN); 1140 (C=S).Спектр ЯМР 1 H (δ , м.д., Γ μ): 1.13 (c, 6 H, 2CH₃); 1.92 (м, 4H, 2CH₂); 2.67 (м, 2 H, CH₂); 3.71 [м, 4 H, N(CH₂)₂]; 4.72 (c, 2H, OCH₂); 10.67 (c, 1 H, NH).

Синтез соединений 2b приведен в работе [7].

Соединение 3с получают аналогично.

Этил-1-амино-8,8-диметил-5-тетрагидро-1H-1-пирролил-8,9-дигидро-6H-пирано-[4,3-d]тиено[2,3-b]пиридин-2-карбоксилат (3c). Выход 79%, т.пл. 248-250 °C. R_f 0.54. Найдено, %: С 60.68; Н 6.86; N 11.48; S 8.79. С₁₉H₂₅N₃O₃S. Вычислено, %: С 60.80; Н 6.67; N 11.20; S 8.53. ИК-спектр, v, c_M -1: 3140 (NH₂); 1650 (C=O); 1575 (C=Cap).Спектр ЯМР ¹H (δ , м.д., Γu): 1.32 (c, 6H, 2CH₃); 1.35 (м, 3H, CH₂CH₃); 3.10 [м, 4 H, N(CH₂)₂]; 3.54 (м, 2 H, CH₂); 4.22 [м, 4 H, O(CH₂)₂]; 4.26 (м, 2 H, CH₂CH₃); 4.67 (c, 2 H, OCH₂); 6.51 (c, 2 H, NH₂).

Синтез соединений **3 b** приведен в работе [7].

2-Изопропил-5-морфолил-1,4,8,9-тетрагидро-2H-пирано-[4",3":4',5']пиридо [3',2':4,5]тиено[3,2-d]пиримидин-8-он(4а). Смесь 4.05 r (0.01 моля) соединения **3a** и 30 мл формамида кипятят с обратным холодильником 6 q. После охлаждения образовавшиеся кристаллы отфильтровывают, промывают водой, этанолом и перекристаллизовывают из ДМФА. Выход 82%, т.пл. 350-354 °C, Rf 0.51. Найдено, %: C 59.37; H 5.56; N 14.62; S 8.56. С19H22N4O3S. Вычислено, %: C 59.07; H 5.70; N 14.51; S 8.29. ИК-спектр, v, $c M^{-1}$: 3170 (NH); 1650 (C=O); 1580 (C=Cap). Масс-спектр, m/z ($I_{\text{отн, %}}$): 386 [M⁺] (100), 354 (32), 328 (26), 301 (40), 285 (14), 269 (12).

Соединения 4b,с получают аналогично.

2-Этил-2-метил-5-морфолил-1,4,8,9-тетрагидро-2H-пирано-[4'',3'':4',5']пиридо [**3',2':4,5]тиено[3,2-d]пиримидин-8-он (4b).** Выход 84%, т.пл. >360°C. R_f 0.48. Найдено, %: C 59.24; H 5.58; N 14.32; S 8.47. C₁₉H₂₂N₄O₃S. Вычислено, %: C 59.07; H 5.70; N 14.51; S 8.29.Спектр ЯМР ¹H (δ , м.д., Γ μ): 0.97 (т, 3 H, CH₂CH₃); 1.26 (c, 3 H, CH₃); 1.59 (окт, 2 H, CH₂CH₃, J = 6.7); 3.21 [м, 4 H, N(CH₂)₂]; 3.40 (c, 2 H, CH₂); 3.77 [м, 4 H, O(CH₂)₂]; 4.64 (c, 2 H, OCH₂); 8.05 (c, 1 H, NH); 12.62 (c, 1 H, CH).

2,2-Диметил-5-тетрагидро-1H-1-пирролил--1,4,8,9-тетрагидро-2H-пирано-[4'',3'':4',5']пиридо[3',2':4,5]тиено[3,2-d]пиримидин-8-он (4c). Выход 79%, т.пл. >360 °C, R_f 0.46. Найдено, %: C 60.46; H 5.89; N 15.58; S 8.87. $C_{18}H_{20}N_4O_2S$. Вычислено, %: C 60.67; H 5.62; N 15.73; S 8.99. ИК-спектр, v, $c w^{-1}$: 3210 (NH); 1650 (C=O); 1580 (C=Cap). Спектр ЯМР 1 H (δ , м.д., Γu): 1.33 (c, 6 H, 2CH₃); 1.96 (м, 4 H, 2CH₂); 3.36 (c, 2 H, CH₂); 3.60 [м, 4H, N(CH₂)₂]; 4.76 (c, 2 H, OCH₂); 7.98 (c, 1 H, NH); 12.42 (c, 1 H, CH).

2-Изопропил-5-морфолил-8-хлор-1,4-дигидро-2H-пирано-[4",3":4',5']пиридо [3',2':4,5]тиено[3,2-d]пиримидин (5а). Смесь 3.86 r (0.01 mоля) соединения **4a**, 40 mл хлорокиси фосфора и 0.5 mл пиридина кипятят с обратным холодильником 2 r. Отгоняют избыток хлорокиси фосфора, к остатку прибавляют 100 mл ледяной воды и нейтрализуют водным раствором аммиака. Выпавшие кристаллы отфильтровывают, промывают водой и перекристаллизовывают из раствора хлороформ-этанол (4:1). Выход 96%, т.пл.229-232°С. r0.52. Найдено, %: r0.56.61; r0.53; r0.53; r0.54. r0.55. r0.55. Найдено, %: r0.56.61; r0.56.61; r0.56.61; r0.57. r0.57. r0.58. r0.59. r0.59.

Соединения 5 b,с получают аналогично.

2-Этил-2-метил-5-морфолил-8-хлор-1,4-дигидро-2H-пирано-[4",3":4',5'] пиридо [3',2':4,5]тиено[3,2-d]пиримидин (5b). Выход 87%, т.пл. 249-250°С. Rf 0.62. Найдено, %: С 56.68; Н 5.46; N 13.68; S 7.62. С $_{19}$ Н $_{21}$ С $_{10}$ Н $_{22}$ С $_{10}$ Вычислено, %: С 56.37; Н 5.19; N 13.84; S 7.91.Спектр ЯМР $_{1}$ Н ($_{20}$ М, м.д., $_{21}$ $_{22}$ $_{23}$ $_{24}$ $_{24}$ $_{25}$ $_{25}$ $_{25}$ $_{25}$ $_{26}$ $_{26}$ $_{26}$ $_{26}$ $_{26}$ $_{26}$ $_{26}$ $_{27}$ $_{28}$

2,2-Диметил-5-тетрагидро-1H-1-пирролил-8-хлор-1,4-дигидро-2H-пирано- [4",3":4',5"]пиридо[3',2':4,5]тиено[3,2-d]пиримидин (5с). Выход 85%, т.пл. 220-222°С. R_f 0.56. Найдено, %: С 57.83; Н 5.33; N 14.76; S 8.68. С₁₈H₁₉ClN₄OS. Вычислено, %: С 57.67; Н 5.07; N 14.95; S 8.54. Спектр ЯМР ¹H (δ , м.д., Γ ψ): 1.36 (c, 6 H, 2CH₃); 1.99 (м, 4 H, 2CH₂); 3.38 (c, 2 H, CH₂); 3.69 [м, 4 H, N(CH₂)₂]; 4.84 (c, 2 H, OCH₂); 8.81 (c, 1 H, CH).

Соединения 6 b-k получают аналогично.

2-(2-Изопропил-5-морфолил-1,4-дигидро-2H-пирано-[4",3":4',5"]пири- до[3',2':4,5]тиено[3,2-d]пиримидин-8-иламино)-1-этанол (6b). Выход 93%, т.пл.250-253°С. R_f 0.48. Найдено, %: С 58.46; Н 6.52; N 16.46; S 7.61. $C_{21}H_{27}N_5O_3S$. Вычислено, %: С 58.74; Н 6.29; N 16.32; S 7.46. Спектр ЯМР 1 Н (δ , м.д., Γu): 1.07 (д, 3 H, CH₃, J = 5.7); 1.09 (д, 3 H, CH₃, J = 5.7); 1.86 (окт, 1 H, $\underline{CH}(CH_3)_2$, J = 5.7); 3.09-3.16 (м, 5 H); 3.24-3.27 (м, 1 H); 3.30 (т, 2 H, $O\underline{CH}_2CH_2$, J = 6.0); 3.62 (к, 2 H, NCH_2 , J = 6.1); 3.69-3.76 (м, 5 H); 4.67 (ш, 1 H, OH); 4.78 (дт, 1 H, J^I =14.6, J^2 = 1.7) и 4.83 (д, 1 H, OCH_2 , J = 14.6); 7.17 (т, 1 H, OCH_2 , I = 6.0); 8.45 (c, 1H, CH).

3-(2-Изопропил-5-морфолил-1,4-дигидро-2H-пирано-[4",3":4',5"]пири- до[3',2':4,5]тиено[3,2-d]пиримидин-8-иламино)-1-пропанол (6c). Выход 90%, т.пл.190-193°С. R_f 0.52. Найдено, %: С 59.74; Н 6.79; N 15.34; S 7.38. $C_{22}H_{29}N_5O_3S$. Вычислено, %: С 59.59; Н 6.55; N 15.18; S 7.22. Спектр ЯМР 1 Н (δ , м.д., Γ ψ):1.08 (д, 3 H, CH₃, J = 6.7); 1.10 (д, 3 H, CH₃, J = 6.7); 1.82 (квн, 2 H, CH₂CH₂CH₂, J = 6.3); 1.88 (окт, 1 H, CH(CH₃)₂, J = 6.7); 3.08-3.31 (м, 5 H); 3.40-3.47 (м, 1 H); 3.56 (т, 2 H, OCH₂CH₂, J = 6.0); 3.64 (к, 2H, NCH₂, J = 6.4); 3.70-3.87 (м, 5 H); 4.18 (ш, 1 H, OH); 4.65 (дт, 1 H, J^I =14.6, J^I = 1.7) и 4.81 (д, 1 H, OCH₂, J = 14.6); 7.26 (т, 1 H, NH, J = 6.0); 8.45 (с, 1H, CH).

2-Этил-2-метил-5-морфолил-1,4-дигидро-2H-пирано-[4'',3'':4',5']пири-до[3',2':4,5]тиено[3,2-d]пиримидин-8-илгидразин (6d). Выход 88%, т.пл. 278-280°С. R_f 0.50. Найдено, %: С 57.18; Н 6.22; N 21.12; S 8.27. $C_{19}H_{24}N_6O_2S$. Вычислено, %: С 57.00; Н 6.00; N 21.00; S 8.00. Спектр ЯМР 1 H (δ , м.д., Γ μ): 1.02 (τ , 3 H, τ CH₂CH₃, τ J = 7.1); 1.28 (τ CH₃); 1.62 (окт, 2 H, τ CH₂CH₃, τ J = 8.2); 3.19 [м, 4 H, N(CH₂)₂]; 3.49 (τ CC, 2 H, CH₂); 3.78 [м, 4 H, O(CH₂)₂]; 4.35 (τ CC, 2 H, NH₂); 4.65 (τ CC, 2 H, OCH₂); 8.34 (τ CC, 1 H, NH); 8.60 (τ CC, 1 H, CH).

Бензил(2-этил-2-метил-5-морфолил-1,4-дигидро-2H-пирано-[4'',3'':4',5']пири-до[3',2':4,5]тиено[3,2-d]пиримидин-8-ил)амин (6е). Выход 86%, т.пл. 206-209°С. R_f 0.51. Найдено, %: С 65.83; H 6.35; N 14.51; S 6.59. $C_{26}H_{29}N_5O_2S$. Вычислено, %: С 65.68; H 6.11; N 14.74; S 6.74. Спектр ЯМР 1 H (δ , м.д., Γ μ): 0.99 (т, 3 H, CH $_2$ CH $_3$, J = 6.9); 1.28 (c, 3 H, CH $_3$); 1.65 (окт, 2 H, CH $_2$ CH $_3$, J = 8.1); 3.21 [м, 4 H, N(CH $_2$) $_2$]; 3.50 (c, 2 H, CH $_2$); 3.77 [м, 4 H, O(CH $_2$) $_2$]; 4.66 (c, 2H, NHCH $_2$); 4.78 (д, 2 H, OCH $_2$, J = 5.6); 7.18-7.38 (м, 5 H, Ph); 7.89 (c, 1H, NH); 8.46 (c, 1 H, CH).

2,2-Диметил-**5**-тетрагидро-**1H**-**1**-пирролил-**1,4**-дигидро-**2H**-пирано-[**4**'',**3**'':**4**',**5**'] пиридо[**3**',**2**':**4**,**5**]тиено[**3**,**2**-**d**]пиримидин-**8**-илгидразин (**6g**). Выход 79%, т.пл. 281-282°С. R_f 0.64. Найдено, %: C 58.56; H 5.68; N 22.54; S 8.49. $C_{18}H_{22}N_6OS$. Вычислено, %: C 58.38; H 5.95; N 22.70; S 8.65. Спектр ЯМР 1 H (δ , м.д., Γ μ): 1.36 (c, 6 H, 2CH₃); 1.96 (м, 4 H, 2CH₂); 3.45 (c, 2 H, CH₂); 3.69 [м, 4 H, N(CH₂)₂]; 4.50 (c, 2 H, NH₂); 4.76 (c, 2 H, OCH₂); 8.29 (c, 1 H, NH); 8.39 (c, 1 H, CH).

2-(2,2-Диметил-5-тетрагидро-1H-1-пирролил-1,4-дигидро-2H-пирано- [4",3":4',5"]пиридо[3',2':4,5]тиено[3,2-d]пиримидин-8-иламино)-1-этанол (6h). Выход 84%, т.пл. 246-249°С. R_f 0.62. Найдено, %: С 60.35; Н 6.56; N 17.37; S 8.26. $C_{20}H_{25}N_5O_2S$. Вычислено, %: С 60.15; Н 6.27; N 17.54; S 8.02. Спектр ЯМР 1 H (δ , м.д., Γ μ): 1.35 (c, 6 H, 2CH₃); 1.96 (м, 4 H, 2CH₂); 3.45 (м, 2H, NHCH₂CH₂OH); 3.58 (c, 2 H, CH₂); 3.63 (м, 2 H, NHCH₂CH₂OH); 3.65 [м, 4 H, N(CH₂)₂]; 4.62 (c, 1 H, OH); 4.77 (c, 2 H, OCH₂); 6.94 (c, 1 H, NH); 8.39 (c, 1 H, CH).

3-(2,2-Диметил-5-тетрагидро-1H-1-пирролил-1,4-дигидро-2H-пирано- [4",3":4',5"]пиридо[3',2':4,5]тиено[3,2-d]пиримидин-8-иламино)-1-пропанол (6i). Выход 85%, т.пл. 223-225°С. R_f 0.54. Найдено, %: С 61.29; Н 6.79; N 16.87; S 7.58. $C_{21}H_{27}N_5O_2S$. Вычислено, %: С 61.02; Н 6.54; N 16.95; S 7.75. Спектр ЯМР 1 H (δ , м.д., Γu): 1.35 (c, 6 H, 2CH₃); 1.79 (м, 2H, NHCH₂CH₂CH₂OH); 1.96 (c, 4 H, 2CH₂); 3.45 [м, 4 H, N(CH₂)₂]; 3.52 (м, 2H, NH<u>CH₂</u>CH₂CH₂OH); 3.56 (м, 2 H, CH₂); 3.60 (м, 2H, NHCH₂CH₂CH₂OH); 3.62 (м, 1 H, OH); 4.76 (c, 2 H, OCH₂); 7.04 (c, 1 H, NH); 8.38 (c, 1 H, CH).

2-Диметиламиноэтил(**2,2**-диметил-**5**-тетрагидро-**1**H-**1**-пирролил-**1,4**-дигидро-**2**H-пирано-[**4**'',**3**'':**4**',**5**']пиридо[**3**',**2**':**4,5**]тиено[**3,2-d**]пиримидин-**8**-ил)амин (**6j**). Выход 78%, т.пл.162-164°С. R_f 0.48. Найдено, %: С 61.77; Н 7.25; N 19.67; S 7.79. $C_{22}H_{30}N_6OS$. Вычислено, %: С 61.97; Н 7.04; N 19.72; S 7.51. Спектр ЯМР 1 H (δ , м.д., Γ μ): 1.34 (c, δ H, 2CH₃); 1.96 (c, δ H, N(CH₃)₂); 2.47 (c, δ H, 2CH₂); 2.80 (c, 2H, NHCH₂CH₂N); 3.43 [c, δ H, N(CH₂)₂]; 3.59

(c, 2H, NH<u>CH₂</u>CH₂N); 3.73 (c, 2 H, CH₂); 4.75 (c, 2 H, OCH₂); 7.03 (c, 1 H, NH); 8.39 (c, 1 H, CH).

Бензил(2,2-диметил-5-тетрагидро-1H-1-пирролил-1,4-дигидро-2H-пирано-[4",3":4',5']пиридо[3',2':4,5]тиено[3,2-d]пиримидин-8-ил)амин (6k). Выход 76%, т.пл. 206-209°С. R_f 0.64. Найдено, %: С 67.68; Н 6.34; N 15.46; S 7.38. $C_{25}H_{27}N_5OS$. Вычислено, %: С 67.42; Н 6.07; N 15.73; S 7.19. Спектр ЯМР 1 H (δ , м.д., Γ μ): 1.36 (c, 6 H, 2CH₃); 1.97 (c, 4 H, 2CH₂); 3.46 (м, 2 H, CH₂); 3.62 [м, 4 H, N(CH₂)₂]; 4.75 (м, 2H, NH<u>CH₂</u>); 4.78 (c, 2 H, OCH₂); 7.26-7.38 (м, 5H, Ph); 7.68 (c, 1 H, NH); 8.40 (c, 1 H, CH).

2,2,5-ԵՌՏԵՂԱԿԱԼՎԱԾ ՊԻՐԱՆՈ [4",3":4',5']ՊԻՐԻԴՈ[3',2':4,5] ԹԻԵՆՈ[3,2-d]ՊԻՐԻՄԻԴԻՆՆԵՐԻ 8-ԱՄԻՆՈԱԾԱՆՑՅԱԼՆԵՐԻ ՍԻՆԹԵԶ Ե. Գ. ՊԱՐՈՆԻԿՑԱՆ, Շ. Ֆ. ՀԱԿՈԲՑԱՆ և Ա. Ս. ՆՈՐԱՎՑԱՆ

Պիրանո[3,4-c]թիոպիրան-8-թիոնների հիման վրա մշակվել են թիենո[3,2-d]պիրիմիդինների կոնդենսացված ամինոածանցյալների սինթեզի եղանակներ։ Պիրանո[4'',3'':4',5']պիրիդո[3',2':4,5]թիենո[3,2-d]պիրիմիդինների շարքում հայտնաբերվել են նոր միացություններ։

SYNTHESIS OF NEW 8-AMINODERIVATIVES OF 2,2,5-TRISUBSTITUTED PYRANO[4",3":4',5"]PYRIDO[3',2':4,5] THIENO[3,2-D]PYRIMIDINES

E. G. PARONIKYAN, Sh. F. HAKOBYAN and A. S. NORAVYAN

The Scientific Technological Centre of Organic and Pharmaceutical Chemistry NAS RA A. L. Mnjoyan Institute of Fine Organic Chemistry 26 Azatutyan str., Yerevan, 0014, Armenia E-mail: shoqikakopyan@rambler.ru

The thienopyrimidines are structural analogs of purines and they can be considered as potential biologically active compounds. On the basis of derivatives of pyrano[3,4-c]thiopyrano-8-thions the methods for synthesis of aminoderivatives of condensed thieno[3,2-d]pyrimidines are elaborated.

In the present work synthesis of 8-aminoderivatives of thieno[3,2-d]pyrimidines, in continuation of our work on creation of new derivatives of condensed thieno[3,2-d]pyrimidines is reported.

As starting compounds for the synthesis the derivatives of pyrano[3,4-c]thiopyran-8-thions served. The interaction of the latter with morpholine(pyrrolidine) proceeds on thiopyranthion fragment with rearrangement, which results in formation of condensed pyranopyridines. The latter by the interaction with ethyl 2-chloroacetate are transformed into corresponding condensed thiophenes.

By condensation of these compounds with formamide thieno[3,2-d]pyrimidin-8-ones are obtained which for the purpose of obtaining 8-chlorderivatives are introduced into the interaction with the phosphorus oxychloride. The latter under the action of amines are converted in 8-aminothienopyrimidines.

ЛИТЕРАТУРА

- [1] Акопян Ш.Ф. // Хим.ж.Армении, 2006, т.59, №3, с. 105.
- [2] *Пароникян Е.Г., Норавян А.С., Акопян Ш.Ф., Джагацпанян И.А., Назарян И.М., Парони-кян Р.Г.* // Хим.-фарм.ж., 2007, т.41, №9, с. 14.
- [3] Пароникян Е.Г., Норавян А.С. // ХГС, 1999, №7, с. 914
- [4] *Вартанян С. А., Норавян А.С., Жамагорцян В.И.* // Известия АН Арм.ССР, 1965, №18, с. 124.
- [5] *Пароникян Е.Г., Мирзоян Г.В., Норавян А.С., Авакимян Д.А., Тер-Захарян Ю.З.* // Хим.-фарм. ж., 1993, №11, с. 29.
- [6] *Пароникян Е.Г., Мирзоян Г.В., Норавян А.С., Арзанунц Э.М., Сукасян Р.С., Саркисян И.С., Назарян И.М., Джагацпанян И.А.* // Хим.-фарм.ж., 1997, №10, с. 34.
- [7] Пароникян Е.Г., Норавян А.С. // Хим. ж. Армении, 2002, т.55, №4, с. 67.

ՀԱՅԱՍՏԱՆԻ ՀԱՆՐԱՊԵՏՈՒԹՅԱՆ ԳԻՏՈՒԹՅՈՒՆՆԵՐԻ ԱԶԳԱՅԻՆ ԱԿԱԴԵՄԻԱ НАЦИОНАЛЬНАЯ АКАДЕМИЯ НАУК РЕСПУБЛИКИ АРМЕНИЯ

Հшјшиտшић рриђшиши ћшићи 62, №1-2, 2009 Химический журнал Армении

УДК 547.659.642

СИНТЕЗ И ПРЕВРАЩЕНИЯ 5,5-ДИЭТИЛ-2-ХЛОРМЕТИЛ-4-ОКСО-3,4,5,6-ТЕТРА-ГИДРОБЕНЗО[Н]ХИНАЗОЛИНА. НЕКОТОРЫЕ БИОЛОГИЧЕСКИЕ СВОЙСТВА СИНТЕЗИРОВАННЫХ СОЕДИНЕНИЙ

А. И. МАРКОСЯН, С. А. ПОГОСЯН, Ф. Г. АРСЕНЯН и Р. С. СУКАСЯН

Научно-технологический центр органической и фармацевтической химии НАН Республики Армения
Институт тонкой органической химии им. А. Л. Мнджояна Армения, 0014, Ереван, пр Азатутян, 26
Факс: (374-10)285291 E-mail: markosyan@netsys.am

Поступило 20 VI 2008

Взаимодействием 1-амино-3,3-диэтил-2-циано-3,4-дигидронафталина с хлорангидридом хлоруксусной кислоты получен монозамещенный амид, циклизация которого дает 5,5-диэтил-2-хлорметил-4-оксо-3,4,5,6-тетрагидробензо[h]хиназолин. Конденсацией последнего со вторичными аминами и пропанолом синтезированы соответственно 2-аминометилзамещенные- и 2-пропоксиметилзамещённый бензо[h]хиназолины. Синтезированы также 2-метилсульфанилпроизводные 5,5-диэтил-4-оксо-3,4,5,6-тетрагидробензо[h]хиназолина, содержащие хиназолиновые и бензо[h]хиназолиновые заместители. Межмолекулярной циклоконденсацией 5,5-диэтил-2-хлорметил-4-оксо-3,4,5,6-тетрагидробензо[h]хиназолина синтезирован бис-(5,5-диэтил-4-оксо-3,4,5,6-тетрагидробензо[h]хиназолино)[a,d]пиперазин. Изучены противоопухолевые и антимоноаминоксидазные свойства синтезированных соединений.

Библ. ссылок 13.

Литературные данные свидетельствуют о том, что бензохиназолиновые соединения обладают психотропными и противоопухолевыми свойствами [1-5]. Нами уже сообщалось о синтезе и биологических свойствах некоторых производных бензо[h]хиназолинов, содержащих различные заместители в положениях 2 и 3 [6-12]. Представлялось интересным синтезировать производные бензо[h]хиназолинов, содержащие во втором положении замещенные аминометильные группы, для изучения их фармакологических свойств. С этой целью взаимодействием 1-амино-3,3-диэтил-2-циано-3,4-дигидронафталина (1) [13] с хлорангидридом монохлоруксусной кислоты получен 3,3-диэтил-1-хлора-

цетиламино-2-циано-3,4-дигидронафталин (2). Соединение 2 в присутствии хлористого водорода очень легко подвергается циклизации с образованием 5,5-диметил-2-хлорметил-4-оксо-3,4,5,6-тетрагидробензо[h]хиназолина [3]. Взаимодействием последнего со вторичными алифатическими и циклическими аминами с хорошими выходами синтезированы 2-замещенные аминометилтетрагидробензо[h]хиназолины 4-9. Изучено также взаимодействие хлорметилхиназолина 3 с пропанолом и некоторыми 2-тиоксохиназолинами и 2-тиоксобензо[h]хиназолинами. В результате получены новые производные бензо[h]хиназолинов 10-14, содержащие различные заместители во втором положении. При взаимодействии соединения 3 с фенолом в присутствии едкого кали вместо фенилового эфира бензохиназолинового ряда был выделен продукт димеризации 15.

- **4.** R=CH₃, **5.** R=C₂H₅, **6.** R=C₃H₇, **7.** R=C₄H₉, **8.** R=-(CH₂)₄-,
- **9.** R=-(CH₂CH₂O)₂-, **11.** R₁=CH₃, **12.** R₁=C₂H₅, **13.** R₁=CH₂CH=CH₂

В опытах in vitro изучено влияние соединений **2-9** на активность моноаминоксидазы мозга крыс в концентрации 5 mkmonb/mn, в качестве субстрата использован серотонин. Установлено, что соединения **7** и **8** обладают умеренной антимонаминоксидазной активностью (угнетение дезаминирования серотонина соответственно на 55 и 49%, P<0,05).

На моделях прививаемых опухолей мышей — асцитной карциноме Эрлиха (АКЭ) и саркоме 180, исследованы их противоопухолевые свойства. Выявлено, что соединения **2-4** и **8** обладают слабым противоопухолевым действием (ингибирование роста опухолей на 30-51%, $P \le 0.05$).

Экспериментальная часть

ИК-спектры сняты в вазелиновом масле на приборах "UR-20" и "FT-IR NEXUS". Спектры ЯМР 1 Н зарегистрированы на приборе "Mercury-300" в DMSO, масс-спектры — на приборе "MX-1321A"(СССР) с использованием системы прямого ввода образца в ионный источник. ТСХ проведена на пластинках "Silufol UV-254" в системе хлороформ-ацетон, 4:1, проявление — парами йода.

3,3-Диэтил-1-хлорацетиламино-2-циано-3,4-дигидронафталин (2). Смесь 5.6 г (0.025 моля) 1-амино-3,3-диэтил-2-циано-3,4-дигидронафталина (9), 100 мл абсолютного бензола и 2.8 г (0.025 моля) хлорангидрида хлоруксусной кислоты оставляют при комнатной температуре на 24 ч, затем кипятят 7 ч. После удаления растворителя на водяной бане остаток перекристаллизовывают из смеси этанол-вода (2:1). Получают 5.7 г (75%) амида 2 с т.пл.122-124°С. R_f 0.68. ИК-спектр, v, $c M^{-1}$: 1600 ($C=C_{apom}$); 1619 (C=C); 1686 (C=O); 2203 (C=N); 3241 (NH). Спектр ЯМР ^{-1}H (ДМСО- ^{-1}H); 0.95 [^{-1}H] (^{-1}H); 0.95 [^{-1}H], (^{-1}H), ^{-1}H], 1.57, 1.63 [2 дк, 4H, (^{-1}H 2CH3)2, ^{-1}H 3, 2.85 (c, 2H, 4-CH2): 4.22 (c, 2H, ^{-1}H 3), 7.14-7.34 (м, 4H, apom), 10.07 (уш.с, 1H, ^{-1}H 4). Найдено, %: ^{-1}H 5 (6.42; ^{-1}H 5), ^{-1}H 6.30. Вычислено, %: ^{-1}H 6.32; ^{-1}H 7, ^{-1}H 7, ^{-1}H 9. Вычислено, %: ^{-1}H 8, ^{-1}H 9, ^{-1}H 9. В 9.38. ^{-1}H 9, ^{-1}H 9. Вычислено, %: ^{-1}H 9. В 6.32; ^{-1}H 1. ^{-1}H 9. В 9.25.

5,5-Диэтил-2-хлорметил-4-оксо-3,4,5,6-тетрагидробензо[h]хиназолин (3). 3.02 r (0.01 mons) амида **2** в 50 mn абсолютного спирта при перемешивании нагревают до 70°С и пропускают ток сухого хлористого водорода в течение 2 q. После охлаждения осадок отфильтровывают, промывают водой и перекристаллизовывают из этанола. Получают 2.6 r (86 %) хиназолина **3** с т.пл. 238-240°С. Rf 0.60. ИК-спектр, v, cm^{-1} : 1585 (C=C_{а-ром}); 1620 (C=N); 1635 (C=C-C=O); 3280 (NH). Спектр ЯМР 1 H (ДМСО-d₆, δ , м.д., Γq): 0.78 [т, 6H, (CH₂CH₃)₂, J=7.4]; 1.48, 2.15 [2 дк, 4H, (CH₂CH₃)₂, J=13.5, J=7.4]; 2.82 (c, 2H, 6-CH₂); 4.42 (c, 2H, CH₂Cl); 7.10 (м, 1H, 7-CH); 7.22 (м, 1H, 8-CH); 7.26 (м, 1H, 9-CH); 8.10 (дд, 1H, 10-CH, J=7.3, J=1.9); 12,42 (уш.с, 1H, NH). Найдено, %: С 67.48; H 6.45; Cl 11.79; N 9.08. С₁₇H₁₉ClN₂O. Вычислено, %: С 67.43; H 6.32; Cl 11.71; N 9.25.

2-Аминометилçамещенные 5,5-диэтил-4-оксо-3,4,5,6-тетрагидробензо[h]хиназолины **4-9.** Смесь 3.02 г (0,01 молў) хиназолина **3**, 50 мл абсолютного этанола и 0.08 моля соответствующего амина слабо нагревают в течение 5 мин и оставляют при комнатной температуре на 48 ч. Смесь разбавляют 100 мл воды, выпавший осадок отфильтровывают и перекристаллизовывают из этанола.

2-Диметиламинометил-**5,5**-диэтил-**4**-оксо-**3,4,5,6**-тетрагидробензо[h]хиназолин (**4**). Выход 83%, т.пл.192-195°С. R_f 0.60. ИК-спектр, v, $c m^{-1}$: 1585 ($C=C_{apom}$); 1620 (C=N); 1636 (C=C-C=O); 3140 (NH). Спектр ЯМР 1 Н (ДМСО- d_6 , δ , м.д., Γu): 0.78 [т, 6H, (CH_2CH_3)₂, J=7.4], 1.47, 2.15 [2 дк, 4H, (CH_2CH_3)₂, $J_1=13.5$, $J_2=7.4$,], 2.36 [с, 6H, N(CH_3)₂], 2.81 (с, 2H, 6- CH_2); 3.38 (с, 2H, NCH₂); 7.10 (дд, 1H, 7-CH, $J_1=6.9$, $J_2=1.9$); 7.20 (м, 1H, 8-CH); 7.25 (м, 1H, 9-CH); 8.09 (дд, 1H, 10-CH, $J_1=7.3$, $J_2=2.0$); 11.48 (уш.с, 1H, NH). Найдено, %: С 73.21; Н 8.12; N 13.55. $C_{19}H_{25}N_3O$. Вычислено, %: С 73.27; Н 8.09; N 13.49.

- **2-**Диэтиламинометил-**5,5-**диэтил-**4-**оксо-**3,4,5,6-**тетрагидробензо[h]хиназолин (5). Выход 76%, т.пл.132-134°C. R_f 0.62. ИК-спектр, v, $c M^{-1}$: 1580 ($C=C_{apom}$); 1642 (C=C-C=O); 3140 (NH). Спектр ЯМР 1 H (ДМСО- d_6 , δ , м.д., Γu): 0.78 [т, 6H, (CH_2CH_3)2, J=7.4], 1.09 [т, 6H, $N(CH_2CH_3)$ 2, J=7.1], 1.47, 2.15 [2 дк, 4H, (CH_2CH_3)2, $J_I=13.4$, $J_2=7.4$], 2.69 [к, 4H, $N(CH_2)$ 2, J=7.1], 2.81 (c, 2H, 6-CH₂); 3.54 (c, 2H, NCH₂); 7.09 (м, 1H, 7-CH); 7.20 (м, 1H, 8-CH); 7.24 (м, 1H, 9-CH); 8.06 (дд, 1H, 10-CH, $J_I=7.3$, $J_2=1.9$); 11.06 (уш.с, 1H, NH). Найдено, %: C 74.32; H 8.78; N 13.50. $C_{21}H_{29}N_3O$. Вычислено, %: C 74.30; H 8.61; N 13.28.
- **2-Дипропиламинометил-5,5-диэтил-4-оксо-3,4,5,6-тетрагидробензо[h]хиназолин** (6). Выход 68%, т.пл.113-115°C. R_f 0.68. ИК-спектр, v, c w 1: 1600 (C= C_{apom}); 1632 (C=C-C=O); 3180 (NH). Спектр MP 1 H (MCO- d_6 , δ , м.д., Γ u): 0.77 [τ , 6H, (CH $_2$ CH $_3$) $_2$, J= τ .4], 0.91 [τ , 6H, N(CH $_2$ CH $_3$) $_2$, J= τ .3], 1.51 [τ , 4H, N(τ) $_2$ CH $_3$ 0, J= τ .3], 1.47, 2.15 [τ 0 дк, 4H, τ 0 (τ) $_3$ 0, J= τ 1.35, J0, J1.47, 2.15 [τ 0 дк, 4H, τ 1.47, 2.15 (τ 1.48, 4H, τ 1.49, τ 2.49, τ 3 (τ 1.49, τ 3 (τ 3 детраговари (τ 4 детраговари (τ 4 детраговари (τ 5 детраговари (τ 6 дк, 4H, 9-CH); 3.55 (τ 7 детраговари (τ 7 детраговари (τ 8 детраговари (τ 9 детраго
- **2-Дибутиламинометил-5,5-диэтил-4-оксо-3,4,5,6-тетрагидробензо[h]хиназолин** (7). Выход 65%, т.пл.118-120°С. R_f 0.66. ИК-спектр, v, $c M^{-1}$: 1600 ($C=C_{apom}$); 1620 (C=N); 1645 (C=C-C=O); 3400 (NH). Спектр ЯМР ¹H (ДМСО- d_6 , δ , м.д., Γu): 0.77 [т, 6H, (CH_2CH_3)₂, J=7.4], 0.91 [т, 6H, N($CH_2CH_2CH_2CH_3$)₂, J=7.2], 1.33 [м, 4H, N($CH_2CH_2CH_2CH_3$)₂], 1.45 [м, 4H, N(CH_2CH_2)₂], 1.47, 2.15 [2 дк, 4H, (CH_2CH_3)₂, $J_1=13.4$, $J_2=7.4$], 2.59 м, 4H, N(CH_2)₂], 2.81 (с, 2H, 6- CH_2); 3.53 (с, 2H, NCH₂); 7.09 (м, 1H, 7-CH); 7.19 (м, 1H, 8-CH); 7.25 (м, 1H, 9-CH); 8.06 (дд, 1H, 10-CH, $J_1=7.4$, $J_2=1.9$); 11.08 (уш.с, 1H, NH). Найдено, %: C 75.82; H 9.32; N 10.68. $C_{25}H_{37}N_3$ О. Вычислено, %: C 75.90; H 9.43; N 10.62.
- **2-Пирролидинометил-5,5-диэтил-4-оксо-3,4,5,6-тетрагидробензо[h]хиназолин** (8). Выход 75%, т.пл.158-160°С. R_f 0.65. ИК-спектр, v, $c M^{-1}$: 1585 ($C=C_{apom}$); 1615 (C=N); 1641 (C=C-C=O); 3180 (NH). Спектр ЯМР 1 Н (ДМСО- d_6 , δ , м.д., ΓU): 0.78 [т, 6H, (CH_2CH_3)₂, J=7.4], 1.47, 2.15 [2 дк, 4H, (CH_2CH_3)₂, $J_I=13.5$, $J_2=7.4$], 1.83 (м, 4H, NCH₂CH₂CH₂); 2.72 [м, 2H, N(CH₂)₂], 2.81 (с, 2H, 6-CH₂); 3.59 (с, 2H, NCH₂); 7.09 (м, 1H, 7-CH); 7.20 (м, 1H, 8-CH); 7.24 (м, 1H, 9-CH); 8.09 (дд, 1H, 10-CH, $J_I=7.2$, $J_2=2.0$); 11.50 (уш.с, 1H, NH). Найдено, %: С 74.88; H 7.89; N 12.25. $C_{21}H_{28}N_3$ O. Вычислено, %: С 74.74; H 8.06; N 12.45.
- **2-Морфолинометил-5,5-диэтил-4-оксо-3,4,5,6-тетрагидробензо[h]хиназолин** (9). Выход 78%, т.пл.176-178 °C. R_f 0.68. ИК-спектр, v, $c M^{-1}$: 1585 ($C=C_{apom}$); 1614 (C=N); 1638 (C=C-C=O); 3180 (NH). Спектр ЯМР 1 Н (ДМСО- d_6 , δ , м.д., ΓU): 0.78 [т, 6H, (CH_2CH_3)₂, J=7.4], 1.47, 2.15 [2 дк, 4H, (CH_2CH_3)₂, $J_I=13.5$, $J_I=13.5$,

5,5-Диэтил-2-пропоксиметил-4-оксо-3,4,5,6-тетрагидробензо[h]хиназолин (10). К 15 $M\pi$ абс. пропанола добавляют 0.15 r (0,0065 M0 π 8) металлического натрия. К полученному раствору алкоголята прибавляют 1.5 r (0.005 M0 π 8) хиназолина **3** и кипятят в течение 1 W1. После охлаждения к реакционной смеси прибавляют 60 M7 воды, выпавший осадок отфильтровывают и перекристаллизовывают из пропанола. Получают 1.1 W (67%) пропоксихиназолина **10** с т.пл. 135-137°С. W6 (бензол-этанол, 9:1). ИК-спектр, W7 (W7): 1585 (W8); 1625 (W8); 1638 (W9); 1638 (W9); 280 (W9). Спектр W9 W9 (W9) W9 (W9); 1645 (W9); 1655 (W9); 1656 (W9); 1657 (W9); 1657 (W9); 1657 (W9); 1658 (W9); 1659 (W9); 1

2-(3-Метил-4-оксо-3,4-дигидрохиназолин-2-илсульфанилметил)-5,5-диэтил-4-оксо-3,4,5,6-тетрагидробензо[h]хиназолин (11). Смесь 0.96 r (0.005 m0m0 3-метил-4-оксо-2-тиоксохиназолина, 1.5 r (0.005 m0m0 5,5-диэтил-2-хлорметил-4-оксо-3,4,5,6-тетрагидробензо[h]хиназолина **(3)**, 0.3 r (0.0053 m0m0) едкого кали, и 25 m0 абс. этанола кипятят с обратным холодильником в течение 8 q0. Охлаждают, прибавляют 10 q0 холодной воды. Выпавший осадок фильтруют, промывают водой и перекристаллизовывают из этанола. Получают 1.43 r (62 %) бензохиназолина **11** с т.пл. 253-255 °C. r0,80 (хлороформ-ацетон, 4:1). ИК-спектр, r0, r0 (r0) бензохиназолина **11** с т.пл. 253-255 °C. r10,80 (хлороформ-ацетон, 4:1). ИК-спектр, r10,00 (r10) бензохиназолина **11** с т.пл. 253-255 °C. r10,80 (хлороформ-ацетон, 4:1). ИК-спектр, r11,600 (r20) бензохиназолина **11** с т.пл. 253-255 °C. r300 (хлороформ-ацетон, 4:1). ИК-спектр, r301 (r30) бензохиназолина **11** с т.пл. 253-255 °C. r301 (хлороформ-ацетон, 4:1). ИК-спектр, r301 (r301 (r302) бензохиназолина **11** с т.пл. 253-255 °C. r4030 (хлороформ-ацетон, 4:1). ИК-спектр, r403 бензохиназолина **11** с т.пл. 253-255 °C. r503 (хлороформ-ацетон, 4:1). ИК-спектр, r503 бензохиназолина **11** с т.пл. 253-255 °C. r603 (хлороформ-ацетон, 4:1). ИК-спектр, r604 (r605 бензохиназолина **11** с т.пл. 253-255 °C. r708 (r709 (хлороформ-ацетон, r709 (r700 (r700 (r700 (r700) (r700 (r700) (r700 (r700) (r700) (r700 (r700) (

2-(3-Этил-4-оксо-3,4-дигидрохиназолин-2-илсульфанилметил)-5,5-диэтил-4-оксо-3,4,5,6-тетрагидробензо[h]хиназолин (12). Аналогично из 1.0 r (0.005 m0m3) 3-этил-4-оксо-2-тиоксохиназолина, 1.5 r (0,005 m0m3) 5,5-диэтил-2-хлорметил-4-оксо-3,4,5,6-тетрагидробензо[h]хиназолина (**3**) и 0.3 r (0,0053 m0m3) едкого кали получают 1.55 r (66 %) бензохиназолина **12** с т.пл. 232-234 °C. Rf 0.75 (хлороформ-ацетон, 9:1). ИК-спектр, v, cm-1: 1605 (C=C_{аром}); 1635 (C=N); 1683 (C=O); 3270 (V2). Спектр ЯМР V3 (ДМСО-V3) V4, V7 (V4): 0.76 [V7, 6H, (V4); V7, 21-4]; 1,41 (V7, 3H, V4) V7, 21-1); 1.45, 2.14 [V7, 2V8, 4H, (V4); 2V9, 2V9, 2V9, 2V9, 2V9, 2V9, 3V9, 3V9,

2-(3-Аллил-4-оксо-3,4-дигидрохиназолин-2-илсульфанилметил)-5,5-диэтил-4-оксо-3,4,5,6-тетрагидробензо[h]хиназолин (13). Аналогично из 1.09 r (0.005 mоля) 3-аллил-4-оксо-2-тиоксохиназолина, 1.5 r (0.005 mоля) 5,5-диэтил-2-хлорметил-4-оксо-3,4,5,6-тетрагидробензо(h(хиназолина (3) и 0.3 r (0.0053 mоля) едкого кали получают 1.62 r (67%) бензохиназолина 13. Т.пл. 231-232 °C. R_f 0.65 (хлороформ-ацетон, 8:2). ИК спектр, v, c m 1605 (C=C_{аром}); 1631 (C=N); 1695 (C=O); 3260 (VH). Спектр ЯМР VH (ДМСО-V4, V5, V7, V8, V8, V9, V9,

2-{4-Оксо-3,4,5,6-тетрагидроспиро(бензо(h(хиназолин-5,1'-циклогексан)-2-илсульфанилметил}-5,5-диэтил-4-оксо-3,4,5,6-тетрагидробензо[h]хиназолин (14). Аналогично из 1.5 r (0.005 моля) 4-оксо-2-тиоксо-1,2,3,4,5,6-гексагидроспиро(бензо[h]хиназолина -5,1'-циклогексана), 1,5 r (0,005 моля) 5,5-диэтил-2-хлорметил-4-оксо-3,4,5,6-тетрагидробензо[h]хиназолина **(3)** и 0.3 r (0.0053 моля) едкого кали получают 1.9 r (67%) бензохиназолина **14** с т.пл. 274-276°C. R_f 0.55 (хлороформ-ацетон, 4:1). ИК-спектр, v, $c m^{-1}$: 1585 (С=С $_{\text{аром}}$);1634 (С=С-С=О); 3280 (NH). Спектр ЯМР 1 Н (ДМСО- 1 Н, 1

Бис-(5,5-диэтил-4-оксо-3,4,5,6-тетрагидробензо(h(хиназолино)[a,d]пиперазин (15). Смесь 1.5 r (0.005 moля) 5,5-диэтил-2-хлорметил-4-оксо-3,4,5,6-тетрагидробензо[h]хиназолина (3), 0.56 r (0.006 moля) фенола, 0.3 r (0.0053 moля) едкого кали и 25 mл абс. этанола кипятят с обратным холодильником в течение 10 u. Охлаждают, прибавляют 20 mл воды. Выпавший осадок отфильтровывают и перекристаллизовывают из этанола. Получают 1.1 r (41 %) пиперазина 15 с т.пл. 260-262°C. R_f 0.83 (хлороформ-ацетон. 4:1). ИК-спектр, v, c m 1: 1605 (C=C_{аром}); 1630 (C=N); 1654 (C=C-C=O). Спектр ЯМР 1 Н (ДМСО-d₆, δ , м.д., Γ u): 0.80 [т, 12H, (CH₂CH₃)₂, J=7.4]; 1.52, 2,18 [2 дк, 4H, (CH₂CH₃)₂, J=13.5, J=7.4]; 2.86 (c, 4H, 6'-CH₂' 6-CH₂); 5.23 (c, 4H, NCH₂); 7.14 (дд, 2H, 7-CH, 7'-CH, J₁=7.0, J₂=1.8); 7.23-7.32 (м, 4H, 8-CH, 8'-CH, 9-CH, 9'-CH); 8.17 (дд, 2H, 10-CH, 10'-CH, J₁=7.5, J₂=1.8). Найдено, %: С 736.78; H 6.98; N 10.37. C₃₄H₃₆N₄O₂. Вычислено, %: С 76.66; H 6.81; N 10.52.

5,5-ԴԻԷԹԻԼ-2-ՔԼՈՐՄԵԹԻԼ-4-ՕՔՍՈ-3,4,5,6-ՏԵՏՐԱՀԻԴՐՈԲԵՆԶՈ[h] ԽԻՆԱԶՈԼԻՆԻ ՍԻՆԹԵԶԸ ԵՎ ՓՈԽԱՐԿՈՒՄՆԵՐԸ։ ՍՏԱՑՎԱԾ ՄԻԱՑՈՒԹՅՈՒՆՆԵՐԻ ՈՐՈՇ ԿԵՆՍԱԲԱՆԱԿԱՆ ՀԱՏԿՈՒԹՅՈՒՆՆԵՐԸ

Ա. Ի. ՄԱՐԿՈՍՅԱՆ, Ս. Հ. ՊՈՂՈՍՅԱՆ, Ֆ. Հ. ԱՐՄԵՆՅԱՆ և Ռ. Ս. ՄՈՒՔԱՍՅԱՆ

1-Ամինո-3,3-դիէթիլ-2-ցիան-3,4-դիհիդրոնավթայինը փոխազդեցության մեջ դնելով քլորքացախաթթվի քլորանհիդրիդի հետ ստացվել է համապատասխան ամիդր, որի ցիկլումը բերել է 5,5-դիէթիլ-2-քլորմեթիլ-4-օքսո-3,4,5,6-տետրահիդրոբենզո[հ]խինազոլինի առաջացմանը։ Վերջինս կոնդենսելով երկրորդային ամինների և պրոպանոլի հետ վերացվել է 2-ամինոմեթիլտեղակալված- և 2-պրոպօքսիմեթիլտեղակալված բենգո[h]խինագոլինների։ Մինթեզվել են նաև 5,5-դիէթիլ-4-opun-3,4,5,6-տետրահիդրոբենզո{h]խինագոլինի 2-մեթիլսույֆանիլտեղակալված ածանցլայները, որոնք պարունակում են խինագոլինային և բենգո[հ]խինագոլինային 5,5-Դիէթիլ-2-քլորմեթիլ-4-օքսո-3,4,5,6տեղակալիչներ։ տետրահիդրոբենզո[h]խինագոլինի միջմոլեկուլային ցիկլոկոնդենսման արդյունքում ստացվել բիս-(5,5-դիէթիլ-4-օքսո-3,4,5,6-տետրահիդրոբենզո[h]խինազոլինո)[a,d]պիպերազին։ Ուսումնասիրված է ստացված միացությունների հակաուռուցքային և հակամոնոամինօքսիդազային ակտիվությունը։

SYNTHESIS AND TRANSFORMATIONS OF 2-CHLOROMETHYL-5,5-DIETHYL-4-OXO-3,4,5,6-TETRAHYDROBENZO[H]QUINAZOLINES. SOME BIOLOGICAL PROPERTIES OF THE SYNTHESIZED COMPOUNDS

A. I. MARKOSYAN, S. H. POGHOSYAN, F. H. ARSENYAN and R. S. SUKASYAN

The Scientific Technological Centre of Organic and Pharmaceutical Chemistry NAS RA

A. L. Mnjoyan Institute of Fine Organic Chemistry 26 Azatutyan str., Yerevan, 0014, Armenia E-mail: markosyan@netsys.am

By interaction of 1-amino-3,3-diethyl-2-cyano-3,4-dihydronaphthalene with chloroacetic acid chloride proper amide was obtained, cyclization of which resulted in 2-chloromethyl-5,5-diethyl-4-oxo-3,4,5,6-tetrahydrobenzo[h]quinazoline. The corresponding 2-aminomethyl substituted and 2-propoxymethyl substituted benzo[h]quinazolines were synthesized by condensation of the latter with secondary amines and propanol. 2-Methylsulfanyl substituted derivatives of 5,5-diethyl-4-oxo-3,4,5,6-tetrahydrobenzo[h] quinazolines were also synthesized, which contained quinazoline and benzo[h] quinazoline substituents. As a result of intramolecular cyclocondensation of 2-chloromethyl-5,5-diethyl-4-oxo-3,4,5,6-tetrahydrobenzo[h] quinazoline bis-(5,5-diethyl-4-oxo-3,4,5,6-tetrahydrobenzo[h]quinazolino)[a,d]piperazine was obtained. Antimonoaminoxidaze and antineoplastic properties of the synthesized compounds are studied.

ЛИТЕРАТУРА

- [1] Duch D.S., Dev IK Banks, Dicerson S., Ferone R., Heath L., Humphrees J., Knick V. // Cancer Res., 1993, v. 53, Nº4, p. 810.
- [2] *Takaji K., Hideki H., Hirota T., Ohmori Sh., Ramato M.* // Chem. Pharm. Bull., 1975, № 23, p. 2015. // Chem.Abstr., 1976, 84, 5232.
- [3] Gmeiner W.H. // Current Med. Chemistry, 2005, v. 12, p. 191.
- [4] Bruno O., Schenone S., Ranise A. // Farmaco, 1999, v. 54, p. 95.
- [5] *Hanlon M., Ferone R.* // Cancer Res., 1996, v. 56, №14, p. 3301.
- [6] *Маркосян А.И., Диланян С.В., Куроян Р.А., Чачоян А.А., Гарибджанян Б.Т.* // Хим.-фарм. ж., 1995, т. 29, №4, с. 32.
- [7] *Маркосян А.И., Куроян Р.А., Оганисян М.Г., Джагацпанян И.А., Асрян А.Б., Зигильян С.Г.* // Хим.-фарм. ж., 1996, т. 30, 8, с.10.
- [8] *Маркосян А.И., Оганисян М.Г., Куроян Р.А., Сукасян Р.С., Арзанунц Э.М., Саркисян И.С.* // Хим.-фарм. ж., 1991, т. 25, №8, с. 26.
- [9] *Маркосян А.Н., Погосян С.А., Сафарян Р.С., Сукасян Р.С., Арсенян Ф.Г., Сарксян Н.С., Нарибджанян Б.Т.* // Хим.-фарм. ж., 2007, т. 41, №4, с. 193.
- [10] Мамаев В.П., Седова В.Ф. // ХГС, 1965, т. 1, №5, с. 533.
- [11] Кизел В.М., Костурко Е.О., Ковтуненко В.А. // ЧГС, 2002, т. 38, №8, с. 460.
- [12] *Маркосян А.И., Акопян Х.С., Арсенян Ф.С., Сукасян Р.С., Гарибджанян Б.Т.* // Хим.-фарм. ж., 2006, т. 40, №9, с. 18.
- [13] *Маркосян А.И., Погосян С.А., Сафарян М.С., Сукасян Р.С., Арсенян Ф.Г.* // Хим. ж. Армении 2007, т. 60, №3, с. 521.

ՀԱՅԱՍՏԱՆԻ ՀԱՆՐԱՊԵՏՈՒԹՅԱՆ ԳԻՏՈՒԹՅՈՒՆՆԵՐԻ ԱԶԳԱՅԻՆ ԱԿԱԴԵՄԻԱ НАЦИОНАЛЬНАЯ АКАДЕМИЯ НАУК РЕСПУБЛИКИ АРМЕНИЯ

Հшјшиտшնի рիմիшկшն ншնդես 62, №1-2, 2009 Химический журнал Армении

УДК 547.435 + 547.263

СИНТЕЗ НОВЫХ ПРОИЗВОДНЫХ ВИЦИНАЛЬНЫХ АМИНОСПИРТОВ НА БАЗЕ N-ГЛИЦИДИЛМОРФОЛИНА И N-ГЛИЦИДИЛПИПЕРИДИНА

Э. Г. МЕСРОПЯН, А. С. ГАЛСТЯН, А. А. АВЕТИСЯН и Г. Б. АМБАРЦУМЯН

Ереванский государственный университет Армения, 0025, Ереван, ул. А. Манукяна, 1 E-mail: mag_union@yahoo.com

Поступило 25 VII 2008

Осуществлен синтез новых производных вицинальных аминоспиртов на базе N-глицидилморфолина и N-глицидилпиперидина.

Библ. ссылок 15.

Изучение взаимодействия эпоксидов с аминами представляет интерес, т. к. может привести к новым производным вицинальных аминоспиртов, которые могут служить в качестве строительных блоков при конструировании новых молекул, в том числе и биологически активных [1-9].

Нами изучено взаимодействие N-глицидилморфолина (1a) и N-глицидилпиперидина (1b) с N-метилпиперазином и 3-аминопропанолом-1. Исследовано влияние температуры, природы растворителя, продолжительности реакции и соотношения концентраций исходных веществ на ход реакции, и разработаны оптимальные условия синтеза. Установлено, что раскрытие оксидного цикла, как и ожидалось [10-14], в результате взаимодействия оксидов 1a и 1b с N-метилпиперазином при мольном соотношении реагентов 1:1.5 в этаноле при температуре кипения растворителя протекает исключительно по правилу Красуского с образованием одного продукта реакции.

В аналогичных условиях изучено взаимодействие оксидов ${\bf 1a}$ и ${\bf 1b}$ с ${\bf 3}$ -аминопропанолом-1, приведшее к образования как N-моно-, так и N,N-дизамещенных ${\bf 3}$ -аминопропанолов-1. Образование последних объясняется тем, что монозамещенный

продукт реакции не менее нуклеофилен, чем 3-аминопропанол-1, и легко реагирует со второй молекулой эпоксида.

В этом случае реакция протекает также по правилу Красуского, что установлено на основании данных спектров ЯМР 1 Н и 13 С.

Экспериментальная часть

Спектры ЯМР 1 Н и 13 С получены при 30 $^{\circ}$ С на спектрометре "Varian Mercury-300" (300 $M\Gamma\mu$ (1 Н) и 75 $M\Gamma\mu$ (13 С)) в ДМСО- 13 С, внутренний стандарт – ГМДС. ИК-спектры сняты на спектрофотометре "Specord 75-IR" и "Nicolet FTIR NEXUS" в тонком слое. Индивидуальность и чистота полученных соединений установлены методом ТСХ на пластинах "Silufol UV-254", проявление – парами йода. Эпоксиды 1 и 2 получены по методике [15].

Общая методика синтеза аминоспиртов. Смесь 0.03 *моля* соответствующего амина, 0.02 *моля* соответствующего эпоксида и 15 *мл* этанола нагревают 2-3 ч при 75-80°С. Избыток амина и этанола удаляют, остаток подвергают вакуумной перегонке.

1-(4-Метилпиперазин-1-ил)-3-морфолин-4-илпропанол-2 (2а). Выход 3.7 ε (76.1 %), т.кип. 159-160 °C (3 *мм рт ст*), n_D^{22} 1.4950, R_f 0.55 (NH₃p-op:EtOH - 1.2:0.2). ИКспектр, v, $c M^{-1}$: 3400 (OH). Спектр ЯМР ¹H (δ , м.д.): 2.17 (c, 3 H, $\underline{\text{CH}}_3\text{N}$); 2.13–2.72 (м, 16 H, $\underline{\text{CH}}_2\text{N}$); 3.55 (уш.с., 1 H, OH); 3.60 (м, 4 H, $\underline{\text{CH}}_2\text{O}$); 3.69 (м, 1 H, $\underline{\text{CH}}_2\text{OH}$). Найдено, %: C 58.98; H 10.53; N 17.56. $C_{12}H_{25}N_3O_2$. Вычислено, %: C 59.23; H 10.36; N 17.27.

1-(4-Метилпиперазин-1-ил)-3-пиперидин-1-илпропанол-2 (2b). Выход 3.8 ε (78.8%), т.кип. 141 °C (2 MM pm cm), n_D^{-21} 1.4963, R_f 0.73 (NH₃p-op:EtOH:H₂O - 0.7:0.1:0.1). ИК-спектр, v, cM^{-1} : 3300-3400 (OH). Спектр ЯМР 1 H (δ , м.д.): 1.35-1.68 (м, δ H, CH₂CH₂CH₂); 2.17 (c, 3 H, CH₃N); 2.13-2.45 (м, 16 H, CH₂N); 3.43 (уш.с., 1 H, OH); 3.69 (м, 1 H, CHOH). Спектр ЯМР 13 C (δ , м.д.): 23.80; 25.48; 45.48; 52.90; 54.38; 54.52;

62.33; 63.05; 64.43. Найдено, %: С 64.88; Н 11.01; N 17.70. $C_{13}H_{27}N_3O$. Вычислено, %: С 64.69; Н 11.27; N 17.41.

3-(2-Гидрокси-3-пиперидин-1-илпропиламино)пропанол-1 (3b) и 3-[N,N-бис(2-гидрокси-3-пиперидин-1-илпропил)амино]пропанол-1 (4b). Выход аминоспирта **3b** 2.7 ε (63.7%), т.кип. 180-185 °C (2 ε (2 ε (2 ε (04.7%), n_D 1.5002, R_f 0.53 (NH₃p-op:EtOH:H₂O – 0.7:0.1:0.14). ИК-спектр, v, ε (1.35-1.68 (м, 8 H, CH₂CH₂CH₂); 2.03-2.75 (м, 10 H, CH₂N); 2.70-3.06 (уш.с., 3 H, OH, NH); 3.51 (м, 2 H, CH₂OH); 3.68 (м, 1 H, CHOH). Найдено, %: C 61.33; H 11.44; N 12.69. C₁₁H₂₄N₂O₂. Вычислено, %: C 61.08; H 11.18; N 12.95. Выход аминоспирта **4b** 0.45 ε (12%), т.кип. 215-219 °C (2 мм рт ст), n_D²³ 1.5019, R_f 0.59 (NH₃p-op:EtOH:H₂O – 0.7:0.1:0.14). ИК-спектр, v, ε (2 ε (12%), т.кип. 215-219 °C (2 мм рт ст), n_D (2 ε (15) 1.5019, R_f 0.59 (NH₃p-op:EtOH:H₂O – 0.7:0.1:0.14). ИК-спектр, v, ε (15) 2.13-2.75 (м, 18 H, CH₂N); 3.51 (м, 2 H, CH₂OH); 3.68 (м, 2 H, CHOH); 3.84 (уш.с., 1 H, OH); 4.12 (уш.с., 2 H, OH). Найдено, %: C 64.05; H 11.28; N 11.49. C₁₉H₃₉N₃O₃. Вычислено, %: C 63.83; H 10.99; N 11.75.

ՎԻՑԻՆԱԼ ԱՄԻՆԱՍՊԻՐՏՆԵՐԻ ՆՈՐ ԱԾԱՆՑՑԱԼՆԵՐԻ ՍԻՆԹԵԶ N-ԳԼԻՑԻԴԻԼՄՈՐՖՈԼԻՆԻ ԵՎ N-ԳԼԻՑԻԴԻԼՊԻՊԵՐԻԴԻՆԻ ՀԻՄԱՆ ՎՐԱ

Է. Գ. ՄԵՍՐՈՊՅԱՆ, Ա. Ս. ԳԱԼՍՏՅԱՆ, Ա. Ա. ԱՎԵՏԻՍՅԱՆ և Գ. Բ. ՀԱՄԲԱՐՁՈՒՄՅԱՆ

Իրականացվել է վիցինալ ամինասպիրտների նոր ածանցյալների սինթեզ N-գլիցիդիլմորֆոլինի և N-գլիցիդիլպիպերիդինի հիման վրա։

SYNTHESIS OF NEW DERIVATIVES OF VICINAL AMINOALCOHOLS ON THE BASIS OF N-GLYCIDYLMORPHOLINE AND N-GLYCIDYLPIPERIDINE

E. G. MESROPYAN, A. S. GALSTYAN, A. A. AVETISSYAN and G. B. HAMBARDZUMYAN

Yerevan State University

1, Alek Manoukian str., Yerevan, 0025, Armenia
E-mail: mag_union@yahoo.com

Synthesis of new derivatives of vicinal aminoalcohols on the basis of N-glycidylmorpholine and N-glycidylpiperidine has been carried out. It has been shown that the interaction of the indicated oxides with N-methylpiperazine at the molar ratio of reagents 1:1.5 in ethanol at the solvent boiling temperature takes place exceptionally according to the Krasuskii rule with formation of 1-(4-methylpiperazin-1-yl)-3-morpholin-4-ylpropanol-2 and 1-(4-methylpiperazin-1-yl)-3-piperidin-1-ylpropanol-2, respectively. In the same conditions the reaction of mentioned oxides with 3-aminopropan-1-ol has been studied and it has been shown that as a result of interaction N-mono- and N,N-disubstituted 3-aminopropanols-1 are formed. In this case the reaction also takes place in accordance with the Krasuskii rule, that was proved by NMR ¹H and ¹³C spectral data.

ЛИТЕРАТУРА

- [1] *Месропян Э.Г., Аветисян А.А., Галстян А.С.* // ЖОрХ, 2007, т. 43, с. 1182. [Russ. J. Org. Chem., 2007, 43, 1176 (Engl. Transl.)].
- [2] Месропян Э.Г., Амбарцумян Г.Б., Аветисян А.А., Галстян А.С., Арутюнова И.Р. // ЖОрХ, 2005, т. 41, с. 70. [Russ. J. Org. Chem., 2005, 41, 67 (Engl. Transl.)].
- [3] *Месропян Э.Г., Амбарцумян Г.Б., Аветисян А.А., Галстян А.С., Хачатрян А.Г.* // ХГС, 2005, № 8, с. 1135. [Chem. Heterocycl. Compd., 2005, 41, 962 (Engl. Transl.)].
- [4] *Месропян Э.Г., Аветисян А.А., Галстян А.С., Арутюнова И.Р., Шахназарян Г.А.* // Хим. ж. Армении, 2006, т. 59, № 2, с. 93.
- [5] *Месропян Э.Г., Галстян А.С., Аветисян А.А., Тер-Варданян Л. Р.* // Хим. ж. Армении, 2008, т. 61, № 2, с. 231.
- [6] Bergmeier S.C. // Tetrahedron, 2000, v. 56, p. 2561.
- [7] Karpf M., Trussardi R.J. // J. Org. Chem., 2001, v. 66, p. 2044.
- [8] Inaba T., Yamada Y., Abe H., Sagawa S., Cho H. // J. Org. Chem., 2000, v. 65, p. 1623.
- [9] Машковский М.Д. Лекарственные средства. М., Новая волна, 2002, т 1,2.
- [10] Barz M., Glas H., Thiel W.R. // Synthesis, 1998, p. 1269.
- [11] *Красуский К.А.* // ЖОХ, 1936, т. 6, с. 460. [J. Gen. Chem. USSR, 1936, 6, 460 (Engl. Transl.)]
- [12] Касьян Л.И., Батог А. Е., Касьян А.О., Гапонова Р.Г., Савельева О.В., Голодаева Е.А. // Вопросы химии и химической технологии, 2000, с. 204.
- [13] Lanier M., Le Blanc M., Pastor R. // Tetrahedron, 1996, v. .A., Галстян А.С., Арутюнова И.Р. // ЖОрХ, 2005, т. 41, с. 70. [Russ. J. Org. Chem., 2005, 41, 67 (Engl. Transl.)].
- [14] *Месропян Э.Г., Амбарцумян Г.Б., Аветисян А.А., Галстян А.С., Хачатрян А.Г.* // ХГС, 2005, № 8, с. 1135. [Chem. Heterocycl. Compd., 2005, 41, 962 (Engl. Transl.)].
- [15] *Месропян Э.Г., Аветисян А.А., Галстян А.С., Арутюнова И.Р., Шахназарян Г.А.* // Хим. ж. Армении, 2006, т. 59, №2, с. 93.

ՀԱՅԱՍՏԱՆԻ ՀԱՆՐԱՊԵՏՈՒԹՅԱՆ ԳԻՏՈՒԹՅՈՒՆՆԵՐԻ ԱԶԳԱՅԻՆ ԱԿԱԴԵՄԻԱ НАЦИОНАЛЬНАЯ АКАДЕМИЯ НАУК РЕСПУБЛИКИ АРМЕНИЯ

Հшјшиտшић рриђшиши ћшићци 62, №1-2, 2009 Химический журнал Армении

УДК 547. 473 + 547. 789.1

СИНТЕЗ И НЕКОТОРЫЕ ПРЕВРАЩЕНИЯ ЭТИЛОВОГО ЭФИРА 1-АМИНО- 3-ЦИКЛОПЕНТИЛ -3,4-ДИГИДРО-2- НАФТАЛИНКАРБОНОВОЙ КИСЛОТЫ. АНТИДЕПРЕССИВНАЯ И ПРОТИВОСУДОРОЖНАЯ АКТИВНОСТЬ ПОЛУЧЕННЫХ СОЕДИНЕНИЙ

Н. П. ГРИГОРЯН, Л. А. ТАРЗЯН, А. И. МАРКОСЯН, Р. Г. ПАРОНИКЯН и Р. С. СУКАСЯН

Научно-технологический центр органической и фармацевтической химии НАН Республики Армения

> Институт тонкой органической химии им. А.Л.Мнджояна Армения, 0014, Ереван, Азатутян, 26

> > E-mail: nver - 55@mail.ru

Поступило 25 VII 2007

На основе этилового эфира 1-амино-3-циклопентил-3,4-дигидро-2-нафталинкарбоновой кислоты разработан метод синтеза 5-циклопентил-2-тиоксо-3,4,5,6-тетрагидробензо[h]хиназо- лин-4- она, который не вступает в реакции замещения с алкилгалогенидами, но реагирует с хлорангидридами кислот и бензоилизотиоцианатом.

Библ. ссылок 7.

Бензохиназолиновые соединения проявляют ценные биологические свойства (противоопухолевая, гипотензивная, антибактериальная, антидепрессивная, противовоспалительная, противосудорожная активность). Осуществлено большое число исследований по разработке методов синтеза бензо/h/-, бензо/f/- и бензо/g/хиназолинов, не содержащих в пятом положении заместителей [1-3]. Бензо/h/хиназолины, в которых в пятом положении циклогексановые и циклопентановые кольца спиросвязаны с нафталиновым ядром, проявляют противоопухолевую активность[4].

В настоящей работе разработан эффективный метод синтеза удобного ключевого соединения – β-аминоэфира дигидронафталинового ряда, содержащего в гидрированном кольце циклопентановый заместитель. Указанный аминоэфир должен был

служить базой для синтеза ди-, тетра- и гексагидробензо[h]хиназолинов, содержащих в пятом положении циклопентановый заместитель.

Разработанный ранее метод синтеза аминоэфиров дигидронафталинового ряда, в которых в третьем положении циклогексановые и циклопентановые кольца спиросвязаны с нафталиновым ядром [5], позволил нам получить на основе циклопентанкарбальдегида этиловый эфир 1-амино-3-циклопентил-3-, 4-дигидронафталинкарбоновой кислоты (1).

Синтез соединения 1 осуществлен сернокислотной циклизацией **3**, полученного взаимодействием продукта конденсации циклопентанкарбальдегида с циануксусным эфиром с бензилмагнийхлоридом.

Установлено, что этиловый эфир 1-амино-3-циклопентил-3,4-дигидро-2-нафталинкарбоновой кислоты (1) не реагирует с алкилгалогенидами, бензилхлоридом, пропаргилбромидом, а с хлорангидридами пропионовой, масляной, бензойной и фенилуксусной кислот в кипящем бензоле образует амиды 4-7.

При более длительном нагревани аминоэфира **1** с избытком бензоилхлорида образующийся амид **4** подвергается внутримолекулярной циклизации в бензоксазин **8**. Кипячением последнего с гидразингидратом получен 5-циклопентил-2-фенил-3-амино-3,4,5,6-тетрагидробензо[h] хиназолин-4-он **(9)**. Из аминоэфира **1** синтезированы также другие производные этой бициклической системы. Так, его взаимодействием с ортомуравьиным эфиром и последующей конденсацией промежуточно образовавшегося этоксиметиленового соединения с гидразингидратом получен амин **10**.

Из аминоэфира 1 и капролактама в присутствии хлорокиси фосфора получено тетрациклическое производное 11.

Нагреванием аминоэфира 1 с бензоилизотиоцианатом получен этиловый эфир 3-циклопентил-1-бензоилтиоуреидо-3,4-дигидро-2-нафталинкарбоновой кислоты (12), циклизующийся под действием щелочи в 5-циклопентил-2-тиоксо-3,4,5,6-тетрагидробензо/h/хиназолин-4-он (13). Полученный бензо/h/хиназолин 13 с алкилгалогенидами в среде абс. этанола образует алкилмеркаптозамещенные бензо/h/хиназолины 14-20.

Изучение противосудорожной активности соединений **14-20** проводили по антагонизму с коразолом на белых беспородных мышах обоих полов массой $18-22\ r$. Методы изучения противосудорожных свойств соединений описаны в [6]. Соединения вводили внутрибрюшинно в дозе $100\ mr/kr$ во взвеси с карбоксиметилцеллюлозой до введения коразола ($90\ mr/kr$ подкожно).

Исследования показали, что соединения **14-20** не обладают антикоразоловой активностью, не предупреждают коразоловых клонических судорог и гибели животных. В опытах in vitro исследовалось влияние соединений **14-20** на активность моноаминоксидазы (МАО) мозга крыс. В качестве субстрата использовался серотонин (5-от).

Соединения **14-20** испытывали в концентрации 5 *мкмолы мл* пробы. Активность МАО определяли в 50% гомогенатах мозга [6]. Полученные результаты обрабатывали статически по Стьюденту-Фишеру. Среди исследованных соединений только соединение **20** угнетало активность МАО на 50%, остальные соединения не проявляли заметной антимоноаминоксидазной активности.

Антибактериальную активность соединений **14-20** изучали чашечным методом – методом диффузии в агар при микробной нагрузке $2 \cdot 10^6$ микробных тел на 1 *мл* среды [7]. В опытах использовали грамположительные стафилоккоки (209р, 93) и грамотрицательные палочки (Sh. Flexneri 6858, E, coli 0-55).

Исследования показали, что эти вещества не обладают антибактериальной активностью.

Экспериментальная часть

ИК-спектры сняты на спектрометре "UR-20" в вазелиновом масле, спектры ЯМР 1 Н (ДМСО+ $_6$, $_6$, м.д., $_{\it Ги}$) – на приборе "Mercury –300, Varian (300, 077 $_{\it MΓи}$)", внутренний стандарт – ТМС. Тонкослойная хроматография проведена на пластинках "Silufol UV-254", проявитель – пары йода. Температуры плавления определены на приборе "Boetius".

Этиловый эфир 1-амино-3-циклопентил-3, 4-дигидро-2-нафталинкарбоновой кислоты (1). К 22.80 r (80 m0 m0 бензилцианоэфира 3 при перемешивании прикапывают 40 m1 конц. серной кислоты, поддерживая температуру реакционной смеси в интервале 25-30° С холодной водой. По окончании добавления кислоты смесь перемешивают при комнатной температуре в течение 3 u1, после чего реакционную смесь выливают на 600 u2 льда. Выпавшие кристаллы отфильтровывают, промывают водой, затем прибавляют 300 u1 воды и 30 u1 водного аммиака, экстрагируют эфиром. После отгонки эфира остаток перекристаллизовывают из смеси этанол-вода, 2:1. Получают 22.65 u2 (79, 5%) соединения 1, т.пл. 45°С (из этанола). ИК-спектр, u3, u4 u7. 1610 (C=C, Ar); 1750 (C=0); 3000-3300 (NH). Спектр ЯМР u1 u4, u6, u7, u7, u8, u9, u9,

Этиловый эфир 1-бензамид-3-циклопентил-3,4-дигидро-2-нафталинкарбоновой кислоты (4). Смесь 5.70 г (20 ммоля) аминоэфира 1, 2.61 г (20 ммоля) бензоилхлорида и 30 мл бензола кипятят с обратным холодильником 4 ч. После отгонки растворителя остаток перекристаллизовывают из абс.этанола, получают 6.22 г (80%) амида 4, т. пл. 143°С (этанол-вода, 2:1). R_f 0.56 (эфир-бензол, 1:3). ИК-спектр, v, cм- 1 : 1605 (C=C, Ar); 1655 (C=O, амид.); 3230 (NH). Спектр ЯМР 1 H, δ , м.д: 1.00-1.80 (м, 9H, C5H9); 1, 20-1, 38 (т, 3H, J=7 Γ ψ , OCH₂CH₃); 2.80 (м, 1H, 3-CH); 3.15 (с, 2H, 4-CH₂); 4.15-4.30 (к,

2H, J=7 Γ μ , OCH₂CH₃); 7.95-8.00 (м, 9H, Ar); 10.78 (ушс, 1H, NH). Найдено, %: С 76.99; H 7.47; N 3.26. С₂₅H₂₇NO₃. Вычислено, %: С 77.12; H 6.94; N 3.59.

Этиловый эфир 1-пропионамид-3-циклопентил-3, 4-дигидро-2-нафталинкар-боновой кислоты (5). Аналогично из 5.70 ε (20ммоля) аминоэфира 1 и 1.85 ε (20 ммоля) хлорангидрида пропионовой кислоты получают 5.47 ε (79%) амида 5, т.пл. 140°C (этанол-вода, 2:1). R_f 0.58 (этилацетат-нонан, 2:1). ИК-спектр, v, $c m^{-1}$: 1605 (С=С, аром.); 1660 (С=О, амид.); 1700 (С=О); 3220 (NH). Спектр ЯМР 1 Н, δ , м.д: 0.98-1.01 (с, 3H); 1.02-1.20 (м, 9H, C₅H₉); 1.21-1.24 (т, 3H, J=7 Γ μ , OCH₂CH₃); 1.27-2.36 (м, 17H, 6CH₂, COCH₂CH₃); 2.93 (с, 2H); 3.00-3.05 (м, 1H); 4.07-4.12 (к, 2H, J=7 Γ μ , OCH₂CH₃); 7.15-7.29 (м, 4H, Ar); 10.43 (уш. с, 1H, NH). Найдено, %: C 74.99; H 8.47; N 3, 74. $C_{21}H_{27}NO_3$. Вычислено, %: C 73.90; H 7.91; N 4.10.

Этиловый эфир 1-бутироамид-3-циклопентил-3, 4-дигидро-2-нафталинкарбоновой кислоты (6). Аналогично из 5.70 ε (20 ммоля) аминоэфира 1 и 1.99 ε (20 ммоля) хлорангидрида масляной кислоты получают 5.38 ε (76%) соединения 6, т.пл. 139-140°C (этанол-вода, 2:1). R_f 0.59 (этилацетат-нонан, 2:1). ИК-спектр, v, εM^{-1} : 1605 (С=С, аром.); 1655 (С=О, амид.); 1700 (С=О), 3220 (NH). Спектр ЯМР ¹H, δ , м.д. 0.93-0.95 (с, 3H); 1.04-1.22 (м, 9H, C5H9); 1.22-1.26 т (3H, J=7 $\Gamma \mu$, OCH₂CH₃); 1.27-2.44 (м, 15H, OC₃H₇); 2.90 (с, 2H, 4-CH₂); 3.00-3.04 (м, 1H, 3-CH); 4.07-4.12 (к, 2H, J=7 $\Gamma \mu$, OCH₂CH₃); 7.15-7.26 (м, 4H, Ar); 9.33 (ушс, 1H, NH). Найдено, %: С 74.84; H 8.47; N 3.74. С₂₂H₂₉NO₃. Вычислено, %: С 74.36; H 8.16; N 3.94.

Этиловый эфир 1-(2-фенилацетамид)-3-циклопентил-3, 4-дигидро-2-нафталинкарбоновой кислоты (7). Аналогично из 5.70 ε (20 ммоля) аминоэфира 1 и 1.99 ε (20 ммоля) хлорангидрида фенилуксусной кислоты получают 4.67 ε (58%) амида 7, т.пл. 141-142°C (этанол-вода, 2:1). R_f 0.59 (этилацетат-гексан, 1:1). ИК-спектр, v, $c w^{-1}$: 1600 (C=C, аром.); 1650 (C=O, амид.); 1700 (C=O); 3230 (NH). Спектр ЯМР 1 Н, δ , м.д: 1.14-1.20 (м, 9H, C_5 H₉); 1.21-1.24 (т, 3H, OCH₂CH₃, J=7 Γu); 2.90-2.92 (c, 2H, 4-CH₂); 3.00-3.05 (м, 1H, 3-CH); 3. 49 (c, 2H, CH₂C₆H₅); 4.07-4.12 (к, 2H, OCH₂CH₃, J=7 Γu); 7.15-7.29 (м, 9H, Ar); 10.5 (ушс, 1H, NH). Найдено, %: С 77.00; H 7.47; N 3.44. C_{26} H₂₉NO₃. Вычислено, %: С 76.84; H 7.19; N 3.47.

5-Циклопентил-2-фенил-5,6-дигидро-4H-нафто[1,2-d][1,3]оксазин-4-он (8). Смесь 5.70 ε (20 ммоля) аминоэфира **1**, 5.62 ε (40 ммоля) бензоилхлорида и 30 мл бензола кипятят с обратным холодильником 25 ι . После отгонки бензола остаток перекристаллизовывают из абс.этанола. Получают 4.14 ε (58%) бензоксазина **8,** т.пл. 153°C. R_f 0.59 (этилацетат-нонан, 1:3). ИК- спектр, v, εM^{-1} : 1605 (C=C, аром.); 1720 (C=O). Спектр ЯМР 1 H, δ , м.д: 1.34-2.48 м, 9H, C_5 H₉); 2.81 (c, 2H, 6-CH₂); 3.14-3.19 (м, 1H, 5-CH); 7.30-8.11 (м, 9H, Ar). Найдено, %: C 80.43; H 6.34; N 3.88. C_{23} H₂₁NO₂. Вычислено, %: C 80.46; H 6.12; N 4.08.

3-Амино-5-циклопентил-2-фенил-5,6-тетрагидробензо[h]хиназолин-4(3H)-он (9). Смесь 3.57 г (10 ммоля) бензоксазина **8**, 1 г (20 ммоля) гидразингидрата и 10 мл абс. этанола кипятят с обратным холодильником 7ч. Охлаждают, выпавшие кристаллы отфилüтровывают и перекристаллизовывают из смеси диоксан-вода, 2:1. Получают, 1.9 г

(52%) аминохиназолина **9,** т.пл. 153°C. R_f 0.61 (этилацетат-нонан, 1:3). ИК-спектр, ν , $c M^{-1}$: 1600 (C=C, аром.); 1640 (C=O); 3200-3280 (NH₂). Спектр ЯМР 1 Н, δ , м.д.: 0.90-2.58 (м, 9H, C_5 H₉); 1.91-1.95 (м, 1H, 5-CH); 3.00 (с, 2H, 6-CH₂); 5.75 (с, 2H, NH₂); 7.03-8.20 (м, 9H, аром.). Найдено, %: С 77.43; Н 6.34; N 11.44. C_{23} H₂₃N₃O. Вычислено, %: С 77.31; Н 6.44; N 11.76 .

3-Амино-5-циклопентил-5, 6-тетрагидробензо[h]хиназолин-4 (3H)-он (10). Смесь 4.27 ε (15 ммоля) аминоэфира **1,** 10.4 ε (70 ммоля) ортомуравьиного эфира, 5-6 капель уксусного ангидрида и 20 мл бензола кипятят с обратным холодильником 7 ι . Отгоняют растворитель и избыток ортомуравьиного эфира, к остатку добавляют 4 ε (0.80 ммоля) гидразингидрата и 20 мл абс. этанола. Реакцинную смесь кипятят с обратным холодильником 5 ι . Выпавшие при охлаждении кристаллы отфильтровывают, промывают холодным этанолом и перекристаллизовывают из бензола. Получают 1.40 ε (50%) хиназолина **10,** т.пл. 157°C. ε (3, 45 (эфир-бензол, 2:1). ИК-спектр, ε (4, 2) (С=C, аром); 1640 (C=O); 3180-3310 (NH₂). Спектр ЯМР ε (3, м.д. 0.94-2.59 (м, 9H, C₃H₉); 1.92-1.96 (м, 1H, 5- CH); 3.20 (с, 2H, 6-CH₂); 5, 25 (с, 2H, NH₂); 7.29-7.78 (м, 4H, аром.), 10, 45 (с, 1H, CH). Найдено, %: C 72.23; H 6.34; N 14.44. ε (1,7H₁₉N₃O. Вычислено, %: C 72.59; H 6.76; N 14.94.

Этиловый эфир 3-циклопентил-1-бензоилтиоуреидо-3, 4-дигидро-2-нафталин-карбоновой кислоты (12). 2.85 r (100 m0m0m0) аминоэфира 1 растворяют в 150 mm0 этанола, прибавляют 16.3 r (100 m0m0m0) бензоилизотиоцианата и нагревают 18 r0. После охлаждения образовавшиеся желтые кристаллы отфильтровывают, промывают этанолом и сушат MgSO4. Получают 29.56 r (66%) соединения 12, т.пл. 120 $^{\circ}$ C (этанол). ИК-спектр, r0, r1: 1605 (C=C, амид.); 1715 (C=O, сл. эфирн.); 3265 (NH). Спектр ЯМР r1r1, r2, r3, r3, r4, r3, r4, r4, r5, r5, r5, r6, r6, r7, r7, r7, r7, r8, r8, r9, r

(м, 2H); 11.43 (ш, 1H, NH). $C_{26}H_{28}N_2O_3S$. Найдено, %: С 70.40; Н 6.84; N 6.00; S 6.80. Вычислено, %: С 69.64; Н 6.25; N 6.25; S 7.14.

5-Циклопентил-2-меркапто-5, 6-дигидробензо/h/хиназолин-4 (3H)-он (13). К 29.56 r (66 mmons) соединения **12** прибавляют 11.2 r (200 mmons) едкого кали в 150 mn воды и 150 mn этанола, кипятят с обратным холодильником в течение 5 u. После охлаждения реакционную смесь подкисляют 10% раствором соляной кислоты до слабокислой реакции. Выпавшие кристаллы фильтруют, промывают водой и сушат. После перекристаллизации из абс. этанола получают 25.30 r (85%) соединения **13,** т.пл. 240°C. ИК-спектр, v, cm^{-1} : 1585 (C=C, аром..); 1615-1680 (C=O); 3300- 3450 (NH). Спектр ЯМР 1 H, δ , м.д: 1.13-1.69 (м, 9H, C_5 H₉); 2.80-3.00 (м, 3H, 4-CH, 5-CH₂); 7.21-7.38 (м, 3H); 8.04 (дд, 1H, J= 7.7, J= 1.4); 11.95 (уш, 1H, NH); 12.14 (уш, 1H, SH). Найдено, %: С 69.00; H 6.43; N 9.40; S 10.24. C_{17} H₁₈N₂OS. Вычислено, %: C 68.45; H 6.04; N 9.39; S 10.73.

5-Циклопентил-2-этилтио-5, 6-дигидробензо/h/хиназолин-4 (3H)-он (14). Смесь 2.98 ε (10 ммоля) бензо/h/хиназолина **13,** 10 ммоля едкого кали и 60мл абс.этанола кипятят с обратным холодильником 30 мин. Прибавляют 1.09 ε (10 ммоля) этилбромида и продолжают кипение 8 ι . Охлаждают, прибавляют 10 мл воды, осадок фильтруют и перекристаллизовывают из абс. этанола. Получают 1,82 ι (56%) соединения **14,** т.пл. 170 °C. ИК-спектр, v, ι гм 1: 1610 (C=C, аром.); 1630 (C=N); 1665 (C=O). Спектр ЯМР ι Н (ДМ SO+d₆, ι δ, м.д., ι γ ι 1.46(c, 3H, J= 17.3 ι γ ι 1, 1.34-1.74 (м, 9H, C₅H₉); 2.82-3.03 (м, 3H); 3.24 (ι 2H, J=7.3 ι γ ι 1, 7.14-7.30 (м, 3H); 8.03 (м, 1H); 12.37(уш.с, 1H, NH). Найдено, %: C 69.70; H 6.24; N 8.83; S 9.37. ι C₁₉H₂₂N₂OS. Вычислено, %: C 69.93; H 6.744; N 8.58; S 9.81.

5-Циклопентил-2-бутилтио-5, 6-дигидробензо/h/хиназолин-4 (3H)-он (15). Аналогично из 2.98 ε (10 *ммоля*) бензо/h/хиназолина **13**, 10 *ммоля* едкого кали и 1.37 ε (10 *ммоля*) бутилбромида получают 1.72 ε (49%) соединения **15,** т.пл. 160°С. ИК-спектр, v, εm^{-1} : 1610 (C=C, аром.); 1625 (C=N); 1670 (C=O). Спектр ЯМР 1 Н, δ , м.д: 1.00 (т, 3H, J= 7.3 $\Gamma \mu$); 1.16-1.71(м, 9H, C₅H₉); 1.52-1.72(м, 2H); 2.82-3.02 (м, 3H); 3.23 (т, 2H, J=7.2 $\Gamma \mu$); 7.14-7.30 (м, 3H); 8, 01 (м, 1H); 12.40 (уш.с, 1H, NH). Найдено, %: С 71.44; H 7.78; N 7.81; S 9.74. $C_{21}H_{26}N_{2}$ OS. Вычислено, %: С 71.18; H 7.34; N 7.90; S 9.87.

5-Циклопентил-2-гексилтио-5, 6-дигидробензо/h/хиназолин-4 (3H)-он (16). Аналогично из 2.98 ε (10 ммоля) бензо/h/хиназолина **13,** 10 ммоля едкого кали и 1.65 ε (10 ммоля) гексилбромида получают 2.29 ε (60%) соединения **16,** т.пл. 101°С. ИК спектр, \mathbf{v} , $\mathbf{c} \mathbf{m}^{-1}$: 1610 (C=C, аром.); 1640 (C=N); 1660 (C=O). Спектр ЯМР 1 Н, δ , м.д.: 0.91 (т, 3H, J= $7.1\Gamma \mu$); 1.15 (м, 17H); 2.82-3.02 (м, 3H); 3.21 (т, 2H, J= $7.3\Gamma \mu$); 7.14-7.30 (м, 3H); 8.01(м, 1H); 12.38 (уш.с, 1H, NH). Найдено, %: С 72.40; H 8.50; N 7.74; S 8.60. С₂₃Н₃₀N₂OS. Вычислено, %: С 72.25; H 7.85; N 7.32; S 8.37.

5-Циклопентил-2-гептилтио-5, 6-дигидробензо/h/хиназолин-4 (3H)-он (17). Аналогично из 2.98 г (10 ммоля) бензо/h/хиназолина **13,** 10 ммоля едкого кали и 1.79 г (10 ммоля) гептилилбромида получают 1.42 г (36%) соединения **17,** т.пл. 185°С. ИК-

спектр, v, $c M^{-1}$: 1605 (C=C, аром.); 1645 (C=N); 1665 (C=O). Спектр ЯМР 1 Н, δ , м.д.: 0.89 (т, 3H, J= $7.68 \Gamma u$); 1.15-1.84 (м, 19H); 2.82-3.02 (м, 3H); 3.21 (т, 2H, J= $7.3 \Gamma u$); 7.14-7.30 (м, 3H); 8.01 (м, 1H); 12.37 (уш.с, 1H, NH). Найдено, %: С 72.98; H 8.14; N 7.24; S 7.89. С₂₄Н₃₂N₂OS. Вычислено, %: С 72.72; H 8.08; N 7.07; S 8.08.

5-Циклопентил-2-бензилтио-5,6-дигидробензо/h/хиназолин-4 (3H)-он (18). Аналогично из 2.98 ε (10 *ммоля*) бензо/h/хиназолина **13,** 10 *ммоля* едкого кали и 1.26 ε (10 *ммоля*) бензилхлорида получают 2.09 ε (54%) соединения **18,** т.пл. 120°C. ИК-спектр, v, εM^{-1} : 1605 (C=C, аром.); 1645 (C=N); 1665 (C=O). Спектр ЯМР 1 Н, δ , м.д.: 1.16-1.75 (м, 9H, C_{5} H₉); 2.83-3.04(м, 3H, 5-CH, 6-CH₂); 4.47-455(дд, CH₂C₆H₅); 7.16-7.32 (м, 6H); 7.42 (м, 2H); 8.01 (м, 1H). 12.47 (уш.с, 1H, NH). Найдено, %: C 74.43; H 6.34; N 7.45; S 8.43. C_{24} H₂₄N₂OS. Вычислено, %: C 74.22; H 6.18; N 7.27; S 8.24.

[(5-Циклопентил-4-оксо-3,4,5,6-тетрагидробензо[h]хиназолин-2-ил)тио] метилацетат (19). Аналогично из 2.98 ε (10 μ 0 μ 0 бензо/h0 киназолина 13, 10 μ 0 μ 0 едкого кали и 1.53 ε (10 μ 0 μ 0 метилового эфира бромуксусной кислоты получают 2.56 ε (76%) соединения 19, т.пл. 170°С. ИК-спектр, v, $\varepsilon \mu^{-1}$: 1600 (C=C, аром.); 1750 (C=O, сл.эфирн.); 1670 (C=O). Спектр ЯМР 1 Н, δ , м.д: 1.15-1.73 (м, 9H, ζ 5H9); 2.82-3.02 (м, 3H, 5-CH, 6-CH2); 3.70 (с, 3H); 3.97-4.00 (дд, 2H, J=16.1 Γ 4); 7.15-8.00 (м, 4H, ζ 6H4); 12.60 (уш.с, 1H, NH). Найдено, %: C 64.50; H 6.12; N 7.44; S 8.90. ζ 6 8.90. ζ 7.44; S 8.90. ζ 8 8.90. ζ 9.

5-Циклопентил-2-[(2-метилпроп-2-ен-1-ил)тио]-5, 6-дигидробензо[*h***]хиназолин-4(3H)-он (20).** Аналогично из 2.98 ε (10 *ммоля*) бензо/h/хиназолина **13,** 10 *ммоля* едкого кали и 1.35 ε (10 *ммоля*) металлилбромида получают 2.25 ε (64%) соединения **20,** т.пл. 166°C. ИК-спектр, v, εM^{-1} : 1600 (C=C, apoм.); 1615 (C=C); 1750 (C=O); 1625(C=N); 1670 (C=O). Спектр ЯМР 1 Н, δ , м.д.: 1.17-1.73 (м, 9H, C₅H₉); 1.88 (уш, 3H); 2.82-3.02 (м, 3H, 5-CH, 6-CH₂); 3.92-3.98 (дд, 2H, J= 13.5 $\Gamma \mu$); 4.88 (квт, 1H, J= 1.6 $\Gamma \mu$); 5.07 (уш, 1H); 7.16-8.05 (м, 4H, C₆H₄); 12.42. Найдено, %: С 71.10; H 6.68; N 7.64; S 9.36. C_{21} H₂₄N₂OS. Вычислено, %: С 71.59; H 6.81; N 7.95; S 9.09.

1-ԱՄԻՆՈ-3-8ԻԿԼՈՊԵՆՏԻԼ-3, 4-ԴԻՀԻԴՐՈ-2-ՆԱՖՏԱԼԻՆԿԱՐԲՈՆԱԹԹՎԻ ԷԹԻԼԷՍԹԵՐԻ ՍԻՆԹԵԶԸ ԵՎ ՈՐՈՇ ՓՈԽԱՐԿՈՒՄՆԵՐԸ։ ՆՐԱՆՑ ԱՆՏԻԴԵՊՐԵՍԻՎ ԵՎ ՀԱԿԱՑՆՑՈՒՄԱՑԻՆ ԱԿՏԻՎՈՒԹՅՈՒՆԸ։

Ն. Պ. ԳՐԻԳՈՐՅԱՆ, Լ. Ա. ԹԱՐՋՅԱՆ, Ա. Ի. ՄԱՐԿՈՍՅԱՆ, Ռ. Գ. ՊԱՐՈՆԻԿՅԱՆ և Ռ. Ս. ՍՈՒԿԱՍՅԱՆ

Մշակվել է 5-ցիկլոպենտիլ-2-մերկապտո-3, 4, 5, 6-տետրահիդրոբենզո-[h]խինազոլին-4-ոնի սինթեզման մեթոդ 1-ամինո-3-ցիկլոպենտիլ-3,4-դիհիդրո-2-նավթալինկարբոնաթթվի էթիլ էսթերի հիման վրա. Ցույց է տրվել, որ 1-ամինո-3-ցիկլոպենտիլ-3, 4-դիհիդրո-2-նավթալինկարբոնաթթվի էթիլ էսթերը օժտված է թույլ նուկլեոֆիլությամբ և չի մասնակցում նուկլեոֆիլ տեղակալման ռեակցիաների ալկիլհալոիդների հետ, բայց բուռն ձևով ռեակցվում է թթուների քլորանհիդրիդ- ների և բենզոիլիզոթիոցիանատի հետ։ Ապացուցվել է նաև, որ 1-ամինո-3-ցիկլոպենտիլ-3, 4-դիհիդրո-2-նավթալինկարբոնաթթվի էթիլ էսթերի ացիլացումը բենզոիլքլորիդի ավելցուկով և ռեակցիայի տևողության ավելացումը մինչև 25 ժ բերում է առաջացած ամիդի ներմոլեկուլյար ցիկլման և բենզոքսազինի ստացմանը, իսկ վերջինիս տաքացումը հիդրազինհիդրատի հետ բերում է 5-ցիկլոպենտիլ-2-ֆենիլ-3-ամինո-3, 4, 5, 6-տետրահիդրոբենզո[հ]խինազոլին-4-ոնի։

THE SYNTHESIS AND SOME TRANSFORMATIONS OF ETHYL ESTER OF 1-AMINO-3-CYCLOPENTYL-3,4-DIHYDRO-2-NAPHTALENECARBOXYLIC ACID. ANTIDEPRESSING AND ANTICONVULSIVE ACTIVITY OF RESULTING COMPOUNDS

N. P. GRIGORYAN, L. A. TARZYAN, A. I. MARKOSYAN, R. G. PARONIKYAN and R. S. SUKASYAN

The Scientific Technological Centre of Organic and Pharmaceutical Chemistry NAS RA

A. L. Mnjoyan Institute of Fine Organic Chemistry

26 Azatutyan str., 0014, Yerevan, Armenia

E-mail: nver-55@mail.ru

The method for the synthesis of 5-cyclopentyl-2-mercapto-3,4,5,6-tetrahydrobenzo[h] quinazolin-4-one on the basis of the ethyl ester of 1-amino-3-cyclopentyl-3,4-dihydro-2-naphtalenecarboxylic acid is elaborated. It is shown that ethyl ester of 1-amino-3-cyclopentyl-3,4-dihydro-2-naphtalenecarboxylic acid is a weak nucleophile and does not react with alkylhalides, but easily interacts with carboxylic acid chlorides and benzoylisothiocyanate with formation of substitution products. It is also proved that by acylation of ethyl ester of 1-amino-3-cyclopentyl-3,4-dihydro-2-naphtalenecarboxylic acid with the excess of benzoylchloride and increase of the reaction time to 25 hours the resulting amide undergoes intramolecular cyclization into benzoxazine. As a result of heating of benzoxazine with hydrazinehydrate 5-cyclopentyl-2-phenyl-3-amino-3,4,5,6-tetrahydrobenzo [h]quinazolin-4-one is obtained.

ЛИТЕРАТУРА

- [1] Lorand T., Foldesi A., Aradi F. // Monatshefte fur Chemie, 1991, v. 122, p.209.
- [2] Pal Perjesi, Andreas Foldesi, Jozsef Tamas // Monatshefte fur Chemie, 1993, 124, p.167.
- [3] *Kobayashi K., Tanaka H., Takabatake H., Kitamura T., Nakahashi R., Morikawa O., Konishi H.*// Bulletin of the Chemical Society of Japan, 1999, v.72, №5, p.1071.
- [4] *Маркосян А.И., Куроян Р.А., Оганесян А.И., Джагацпанян И.А., Асрян А.Б., Загельян С.Г.* // Хим.-фарм. ж., 1996, №8, с.10.
- [5] *Куроян Р.А., Маркосян А.И., Оганесян А.И., Оганесян А.Ш.* // Арм. хим. ж.,1989, т.42, №8, с.527.
- [6] Сафразбекян Р.Р., Сукасян Р.С. // Вопросы медицинской химии, 1970, №16, с. 623.
- [7] Герольд М. Антибиотики. М., Медицина, 1966, с. 95.

ՀԱՅԱՍՏԱՆԻ ՀԱՆՐԱՊԵՏՈՒԹՅԱՆ ԳԻՏՈՒԹՅՈՒՆՆԵՐԻ ԱԶԳԱՅԻՆ ԱԿԱԴԵՄԻԱ НАЦИОНАЛЬНАЯ АКАДЕМИЯ НАУК РЕСПУБЛИКИ АРМЕНИЯ

Հшјшиտшић рриђшиши ћшићи 62, №1-2, 2009 Химический журнал Армении

УДК 547.466+ 547.435

СИНТЕЗ И БИОЛОГИЧЕСКАЯ АКТИВНОСТЬ N-[3-ГИДРОКСИ-3-(4'-ЗАМЕЩЕННЫХ ФЕНИЛ)-1-ПРОПИЛ]АМИНОКИСЛОТ

А. Г. АГАБАБЯН 1 , Г. А. ГЕВОРГЯН 1 , Р. Г. ПАРОНИКЯН 1 , С. С. МАРДАНЯН 2 , И. Г. ВЕРМИШЯН 2 и Г. А. ПАНОСЯН 3

1 Научно-технологический центр органической и фармацевтической химии НАН Республики Армения Институт тонкой органической химии им. А. Л. Мнджояна Армения, 0014, Ереван, пр. Азатутян, 26 e-mail: gyulgev@gmail.com

> ² Институт биохимии им. Г.Х.Бунятяна Армения, 0014, Ереван, ул. П. Севака, 5/1 E-mail: biochem@ipia.sci.am

³ Центр исследования строения молекулы НАН Республики Армения Армения, 0014, Ереван, пр. Азатутян, 26

Поступило 12 XI 2008

Восстановлением N-[β-(4'-замещенных бензоил)этил]аминокислот синтезированы производные рацемических α-аминокислот, содержащих N-арилалифатические аминопропанольные заместители – N-[3-гидрокси-3-(4'-замещенные фенил)-1-пропил]глицин, -аланин, -валин, -лейцин, -метионин, -серин, -треонин. Изучение биологической активности соединений показало, что они обладают слабо выраженной противосудорожной активностью.

Библ. ссылок 11.

В последнее время возрос интерес к производным аминокислот благодаря их важной роли в физиологических и биологических процессах. Введение в молекулу биологически активного соединения фрагмента аминокислоты может привести к появлению новых биологических свойств, а также определенных преимуществ перед другими структурами[1, 2]. С другой стороны, известно, что арилалифатические аминоспирты проявляют широкий спектр биологической активности[3,4]. Нами синтезированы новые аминопропанолы, содержащие фрагменты аминокислот, а также изучены их биологические свойства.

Синтез N-[3-гидрокси-3-(4'-замещенных фенил)-1-пропил]аминокислот(**2-15**) осуществлен восстановлением соответствующих N-[β -(4'-замещенных бензоил)этил] аминокислот (**1**) боргидридом натрия[5-7].

 $\begin{array}{llll} R=R'=H(\textbf{2}); & R'=CH_3, & R=CH_3O(\textbf{3}); & R'=CH(CH_3)_2, & R=H(\textbf{4}); & R'=CH_2CH(CH_3)_2, & R=H, & CH_3O, \\ C_2H_5O, & C_3H_7O(\textbf{5-8}); & R'=CH_2CH_2SCH_3, & R=H, & CH_3O, & C_2H_5O, & C_3H_7O(\textbf{9-12}); & R'=CH_2OH, \\ R=C_2H_5O, & C_3H_7O(\textbf{13, 14}); & R'=CH(OH)CH_3, & R=C_2H_5O(\textbf{15}); & R=C$

Строение соединений **2-15** подтверждено данными ИК-, ЯМР 1 Н спектров, чистота – TCX и элементным анализом.

Изучение противосудорожной и центральной *м*-холинолитической активности соединений **3-8**, **10**, **15** проводили согласно [8]. Сделана также попытка оценить способность соединений **2-5**, **9**, **13**, **14** ингибировать аденозиндезаминазу (АДА. К.Ф. 3.5.4.4) – один из ключевых ферментов пуринового обмена [9], по методике[10]. Ингибирующую эффективность соединения оценивали как концентрацию, необходимую для ингибирования АДА-активности на 50%(IC50). Для определения IC50 использовали нелинейную трансформацию компьютерной программы GraFit[11].

Результаты исследования биологической активности синтезированных соединений показали, что соединения **3-8**, **10**, **15** в дозе 100 *мт/кг* не предупреждают возникновения ареколинового тремора и судорог, вызываемых максимальным электрошоком. Некоторые из них (**4**, **5** и **15**) предупреждают коразоловые клонические судороги у 25-40% животных. Исследуемые соединения **2-5**, **9**, **13**, **14** не оказывают эффективного ингибирующего влияния на активность аденозиндезаминазы из легких крупного рогатого скота.

Экспериментальная часть

UК-спектры сняты на спектрофотометре "Specord 75-IR" и "FT-IR NEXUS". Спектры ЯМР¹Н зарегистрированы на приборе "Mercury 300 Varian", рабочая частота -300~MГ μ , внутренний стандарт - ТМС.

Тонкослойная хроматография осуществлена на пластинках "Silufol UV-254" в системе *н*-бутанол(этанол(уксусная кислота (вода (8:2:1:3), проявление пятен (0,5% спиртовым раствором нингидрина. Температуры плавления определены на приборе "Boetius".

 $N-[3-\Gamma$ идрокси-3-(4'-замещенные фенил)-1-пропил]глицин, -аланин, -валин, -лейцин, -метионин, -серин, -треонин (2-15) (общая методика). К суспензии <math>0,005 мо-

 π аминокетона 1 в 10-12 m этанола при перемешивании медленно прибавляют по каплям раствор 0,6 r (0,0158 m0 π 8) боргидрида натрия и 0,7 r (0,0051 m0 π 8) карбоната калия в 10 m7 воды. Реакционную смесь перемешивают при комнатной температуре 6-7 m9, оставляют на ночь. Подкисляют разбавленной соляной кислотой(1:1) до рН 6-7, выпавший осадок отфильтровывают, перекристаллизовывают из смеси этанол-вода.

 $N-[\beta-(4'-3)]$ глицин, -аланин, -валин, -лейцин, -серин, - треонин (1) синтезированы по [5], а соответствующие производные -метионина – по [6,7].

N-(3-Гидрокси-3-фенил-1-пропил)глицин (2). Выход 79.2%. Т.пл. 228-232°С; R_f 0.65. Найдено, %: N 6.79. С₁₁Н₁₅NO₃. Вычислено, %: N 6.70. ИК-спектр, ν , $c M^{-1}$: 3340(OH); 3080(NH₂⁺); 1580[COO⁻(as)]. Спектр ЯМР ¹H (DMCO-d₆ + CCl₄, δ , м.д., J, $\Gamma \mu$): 1.88-2.01(2H, м, CH_2CH_2N), 3.04(2H, ш, CH_2CH_2N), 3.90(2H, уш., CH_2CO_2H), 4.68[1H, д.д., CH(OH), J = 7.5, J = 5.1], 4.70(1H, ш., CHOH), 7.22-7.38(5H, м., Ph), 8.87(2H, ш., NH и CO_2H).

N-[3-Гидрокси-3-(4'-метоксифенил)-1-пропил]-аланин (3). Выход 81.5%. Т.пл. 269-271°C; R_f 0.62. Найдено, %: N 5.41. $C_{13}H_{19}NO_4$. Вычислено, %: N 5.53. ИК-спектр, v, $c M^{-1}$: 3340±20(O-H); 3075(N H_2^+); 1575[COO (as)]. Спектр ЯМР 1 H (DMCO-d₆+CF₃COOD, δ , м.д., J, Γu): 1.47[(3H, д, $CH_{\underline{C}H_3}$)], 1.87-1.99(2H, м, $\underline{CH_2}CH_2N$), 2.97-3.12(2H, м, $\underline{CH_2}CH_2N$), 3.73(3H, c., CH_3O), 3.91[1H, уш.к., $\underline{CH}(CH_3)$, J = 7.0], 4.61[1H, уш.т., $\underline{CH}(OH)$, 6.3], 6.81(2H, д., 3.5- H_{apun} , J = 8.5), 7.22(2H, д., 2.6- H_{apon} , J = 8.5).

N-(3-Гидрокси-3-фенил-1-пропил)-валин (4). Выход 75.5%. Т.пл. 204-206°С; R_f 0.64. Найдено, %: N 5.50. $C_{14}H_{21}NO_3$. Вычислено, %: N 5.57. ИК-спектр, v, $c M^{-1}$: 3350(О-H); 3080-3070(N H_2^+); 1580[COO (as)]. Спектр ЯМР 1 H (DMCO- d_6 +C F_3 COOD, δ , м.д., J, Γu): 1.00(3H, д, CH_3 , J = 6.9), 1.08(2.4H, CH_3 , J = 6.9) и 1.09(0.6H, д, CH_3 , J = 6.9), 1.90-2.09(2H, м., CH_2CH_2N), 3.09(2H, т., CH_2CH_2N , J = 7.2); 4.70[0.2H, д.д., CHOH, J = 7.0; J = 4.4] и 4.72(0.8H, д.д., CHOH, J = 8.2, J = 4.2), 7.16-7.34(5H, м., Ph).

N-(3-Гидрокси-3-фенил-1-пропил)-лейцин (5). Выход 81.8%. Т.пл. 270-273°С; R_f 0.65. Найдено, %: N 5.50. $C_{14}H_{21}NO_3$. Вычислено, %: N 5.57. ИК-спектр, ν , $c m^{-1}$: 3320±10(O-H); 3080(NH₂⁺); 1580[COO (as).] Спектр ЯМР ¹H (DMCO-d₆+CF₃COOD, δ , м.д., J, Γu): 0.91(6H, д, 2CH₃); 1.54-1.79[3H, м, CH₂CH(CH₃)₂]; 1.86-1.98(2H, м, CH₂CH₂N); 3.04(2H, уш., CH₂CH₂N); 3.70-3.76(1H, м., NCH); 4.67(0.5H, т., J = 4.0) и 4. 96(0,5H, т., J = 4.0); 7.12-7.29(5H, м, C₆H₅).

N-[3-Гидрокси-3-(4'-метоксифенил)-1-пропил]-лейцин (6). Выход 75.6%. Т.пл. 218-220°С; R_f 0.64. Найдено, %: N 4.62. $C_{16}H_{25}NO_4$. Вычислено, %: N 4.74. ИК-спектр, ν , $c \omega^{-1}$: 3300-3290(O-H);3075(NH₂ $^+$); 1585 [COO (as)].Спектр ЯМР 1 H (DMCO-d₆+CCl₄, δ , м.д., J, Γu): 0.86(3H, д, CH₃, J = 6.6) и 0.86(3H, д, CH₃, J = 6.6); 1.39[1H, м, $\underline{CH_2}CH(CH_3)_2$] и 1.53[1H, м, $\underline{CH_2}CH(CH_3)_2$]; 1.78[1H, м, $\underline{CH}(CH_3)_2$]; 1.84 (2H, м, $\underline{CH_2}CH_2N$), 2.72-2.95(2H, м., $\underline{CH_2}CH_2N$); 3.09(1H, т., CH, NH, J = 7.0); 3.73(3H, с., CH₃O); 4.60[1H, т., $\underline{CH}(OH)$, J = 6.3]; 6.88[2H, д., 3,5-H_{аром}, J = 8.7]; 7.32 [2H, д., 2,6-H_{аром}, J = 8.7].

N-[3-Гидрокси-3-(4'-этоксифенил)-1-пропил]-лейцин (7). Выход 77.8%. Т.пл. 250-252°C; R_f 0.64. Найдено, %: N 4.42. $C_{17}H_{27}NO_4$. Вычислено, %: N 4.53. ИК-спектр, ν , $c M^{-1}$: 3400-3380(O-H); 3070(N $^+$ H₂);1580[COO (as)].Спектр ЯМР 1 H (DMCO-d₆, δ , м.д., J, Γu): 0.91(3H, д, CH₃, J = 6,5) и 0.93(3H, д, CH₃, J = 6.5); 1.36(1H, т, CH₂CH₂O, J = 6.9); 1.43(1H, м, CH₂CH) и 1.55(1H, м, CH₂CH); 1.81[1H, м, CH(CH₃)₂]; 1.83(2H, м., CH₂CH₂N); 2.76(1H, м., CH₂CH₂N) и 2.86(1H, м., CH₂CH₂N); 2.86(1H, м., CH₂CH₂N); 3,10(1H, т., CHNH, J = 7.0); 4.00[1H, ш., CH(OH)]; 6.81(2H, уш.д.,3,5-H_{аром}) и 7.21(2H, уш.д., 2,6-H_{аром}).

N-[3-Гидрокси-3-(4'-пропоксифенил)-1-пропил]-лейцин (8). Выход 78.5 %. Т.пл. 261-264°С; R_f 0.63. Найдено, %: N 4.03. $C_{18}H_{29}$ NO₄ Вычислено, %: N 4.15. ИК-спектр, v, $c w^{-1}$: 3450-3400(O-H); 3080(NH₂⁺) . Спектр ЯМР ¹H (DMCO-d₆+CCl₄, δ , м.д., J, Γu): 0.91(3H, д, CH₃, J = 6,5) и 0.92(3H, д, CH₃, J = 6.5); 1,02(3H, т, $CH_3CH_2CH_2CH_2C$, J = 7.4); 1.40[1H, м, $CH_2CH(CH_3)_2$] и 1.54(1H, м, $CH_2CH(CH_3)_2$]; 1.75(2H, скс, $CH_3CH_2CH_2C$, J = 7.0); 1.78-1.87[3H, м., CH_2CH_2N и $CH(CH_3)_2$]; 2.75(1H, м., CH_2CH_2N) и 2.86(1H, м., CH_2CH_2N); 3.09(1H, уш.т., NCH, J = 7.0); 3.89(2H, т., CH_2C , J = 6.5); 4.62[1H, ш.т., $CH(CH_3)_2$]; 6.82(2H, уш.д. 3,5-H_{аром}) и 7.21(2H, уш.д., 2,6-H_{аром}).

N-(3-Гидрокси-3-фенил-1-пропил)-метионин (9). Выход 95.0%. Т.пл. 235-238°С; R_f 0.60. Найдено, %: N 5.09, S 11.22. $C_{14}H_{21}NO_3S$. Вычислено, %: N 4.94, S 11.31. ИКспектр, v, $c M^{-1}$: 3380-3370(O-H); 3080(NH₂⁺) 1580[COO⁻(as)]. Спектр ЯМР ¹H (DMCO-d₆+CF₃COOD, δ , м.д., J, Γu): 1.89-2.04(2H, м, CH_2CH_2N); 2.07(3H, c, CH_3S); 2.09-2.18(2H, м, CH_2CH_2S); 2.52-2.69(2H, м, CH_2CH_2N); 3.10 и 3.13(2H, т., CH_2CH_2S , J = 7.1); 3.99(1H, д.д., NHCH, J = 7.0, J = 5.4); 4.71 и 4.73[1H, т., CH(OH), 3.8]; 7.16-7.39(5H, м, C_6H_5).

N-[3-Гидрокси-3-(4'-метоксифенил)-1-пропил]-метионин (10). Выход 93.0%. Т.пл. 229-232°С; R_f 0.62. Найдено, %: N 4.61, S 10.44. $C_{15}H_{23}NO_4S$. Вычислено, %: N 4.47, S 10.23. ИК-спектр, v, c_M^{-1} : 3380-3370(O-H); 3070(N H_2^+); 1580[COO⁻(as)].

N-[3-Гидрокси-3-(4'-пропоксифенил)-1-пропил]-метионин (**12).** Выход 81.6%. Т.пл. 201-204°С; R_f 0.61. Найдено, %: N 4.30, S 9.60. $C_{17}H_{27}NO_4S$. Вычислено, %: N 4.10, S 9.39. ИК-спектр, v, $c w^{-1}$: 3388c (O-H);3075(NH₂⁺); 1570[COO⁻(as)]. Спектр ЯМР ¹H (DMCO-d₆+CF₃COOD, δ , м.д., J, Γu): 1.91-1.99(2H, м, CH_2CH_2N); 2.07(3H, c, CH_2CH_2N); 2.47÷ 2.69(2H, м); 3.04÷ 3.12(2H, м); 3.87(2H, т, OCH₂, J = 6.5); 3.99(1H, т., NCH, J = 6.0); 4.65(1H, м., OCH); 6.80(2H, м., 3,5-H_{арил}); 7,21(2H, 2м, 2,6-H_{арил}).

N-[3-Гидрокси-3-(4'-этоксифенил)-1-пропил]-серин(13). Выход 91.5%. Т.пл. 178-182°C; R_f 0.56. Найдено, %: N 4.84. $C_{14}H_{21}NO_5$. Вычислено, %: N 4.94. ИК-спектр, ν , $c M^{-1}$: 3310-3300; 3180 (O-H). Спектр ЯМР 1 H (DMCO- d_6 +CF₃COOD, δ , м.д., J, ΓU): 1.36(3H,

т, СН₃, J = 6.9); 1.93-2.01(2H, м, <u>СН₂</u>СН₂N); 3.09-3.18(2H, м, СН₂<u>СН₂</u>N); 3.88-3.96(3H, м, <u>СН</u>N и <u>СН₂</u>ОН); 3.97(2H,к., ОСН₂, 6.9); 4.67(1H, уш.т., <u>СН</u>ОН, 6.1); 6.79(2H, д., 3,5-H_{арил}, 8.7); 7.21(2H, д., 2,6-H_{арил}).

N-[3-Гидрокси-3-(4'-пропоксифенил)-1-пропил]-серин(14). Выход 87.5%. Т.пл. 169-172°С; R_f 0.56. Найдено, %: N 4.63. $C_{15}H_{23}NO_5$. Вычислено, %: N 4.71. ИК-спектр, v, $c M^{-1}$: 3360-3350; 3220-3200 (О-H). Спектр ЯМР 1 H (DМСО- d_6 , δ , м.д., J, $\Gamma \mu$): 0.97(3H, т, CH₃, 7.4); 1.71(2H, кт, CH₂CH₃, 7.4, J = 6.5); 1,85-1,95(2H, м, CH₂CH₂N); 2.88÷ 3.08(2H, м, CH₂CH₂N); 3.21(2H, д.д., NCH, J = 6.7, J = 4.2); 3.45(2H, ш., NH и СООН); 3.65(1H, д.д.д., ОСH₂, J = 11.5, J = 6.7, J = 4.1); 3.77(1H, д.д., ОСH₂, J = 11.5, J = 4.2); 3.90(2H, т, OCH₂CH₂CH₃, J = 6.5); 4.62(1H, д.д., ОСH, J = 7.3, J = 6.0); 5.22(2H, ш., ОН); 6.87(2H, м, 3,5-H_{арил}); 7.23(2H, м., 2,6-H_{арил}).

N-[3-Гидрокси-3-(4'-этоксифенил)-1-пропил]-треонин (15). Выход 92.3%. Т.пл. 234-236 °C; R_f 0.57. Найдено, %: N 4.60. $C_{15}H_{23}NO_5$. Вычислено, %: N 4.71. ИК-спектр, ν , $c \omega^{-1}$: 3420-3410; 3220-3305 (О-Н). Спектр ЯМР 1 H (DMCO- d_6 +CF $_3$ COOD, δ , м.д., J, Γu): 1.30(3H, д, $\underline{CH_3}$ CH, J=6.4); 1.36(3H, т, $\underline{CH_3}$ CH $_2$, J=6.9); 1.92-2.04(2H, м, $\underline{CH_2}$ CH $_2$ N); 3.06-3.23(2H, м, $\underline{CH_2}$ CH $_2$ N); 3.69(1H, д., \underline{CH} NH, J=6.7); 3.98(2H, к, $\underline{CH_2}$ O, J=6.9); 4,04[1H, квн., \underline{CH} (OH)CH $_3$, J=6.4]; 4.69 и 4.71(1H, т, \underline{CH} OH); J=6.79(2H, д., 3,5- H_{apun} , J=8.7); 7.21(2H, д., 2,6- H_{apun} , J=8.7).

N-[3-ՀԻԴՐՕՔՍԻ-3-(4'-ՏԵՂԱԿԱԼՎԱԾ ՖԵՆԻԼ)-1-ՊՐՈՊԻԼ] ԱՄԻՆԱԹԹՈՒՆԵՐԻ ՄԻՆԹԵԶԸ ԵՎ ԿԵՆՍԱԲԱՆԱԿԱՆ ԱԿՏԻՎՈՒԹՅՈՒՆԸ

Հ. Գ. ԱՂԱԲԱԲՑԱՆ, Գ. Ա. ԳԵՎՈՐԳՑԱՆ, Ռ. Գ. ՊԱՐՈՆԻԿՑԱՆ, Ս. Ս. ՄԱՐԴԱՆՑԱՆ, Ի. Գ. ՎԵՐՄԻՇՑԱՆ և Հ. Ա. ՓԱՆՈՍՑԱՆ

N-[**β**-(4'-Տեղակալված բենզոիլ(էթիլ(ամինաթթուների վերականգնումով սինթեզվել են N-արիլալիֆատիկ տեղակալիչներ պարունակող ռացեմիկ α-ամինաթթուներ` N-[3-հիդրօքսի-3-(4'-տեղակալված ֆենիլ)-1-պրոպիլ]գլիցինը, -ալանինը, -վալինը, -լեյցինը, -մեթիոնինը, -սերինը, -տրեոնինը։ Մինթեզված միացությունների հակացնցումային ակտիվության ուսումնասիրությունները ցույց տվեցին, որ նրանք օժտված են թույլ արտահայտված ակտիվությամբ և էֆեկտիվորեն չեն ընկձում խոշոր եղջերավոր անասունի թոքից անջատած ադենոզինդեամինազի ակտիվությունը։

SYNTHESIS AND BIOLOGICAL ACTIVITY OF N-[3- HYDROXY-3-(4'-SUBSTITUTED PHENYL)-1-PROPYL|AMINO ACIDS

H. G. AGABABYAN, G. A.GEVORGYAN, R. G. PARONIKYAN, S. S. MARDANYAN, I. G. VERMISHYAN and H. A. PANOSYAN

The Scientific Technological Centre
of Organic and Pharmaceutical Chemistry NAS RA
A.L.Mnjoyan Institute of Fine Organic Chemistry
26 Azatutyan str., Yerevan, 0014, Armenia,
e-mail: gyulgev@gmail.com.
H.K.Buniatyan Institute of Biochemistry
Molecular Structure Research Center

Arylaliphatic aminopropanols with amino acid fragments - N-[3 - hydroxy-3-(4'-substituted phenyl)-1-propyl]glycine, -alanine, -valine, -leucine, -methionine, -serine, -threonine were synthesized by reduction of corresponding N-[β -(4'-substituted benzoyl) ethyl]amino acids with sodium borohydride in ethanol-water with high yields. The results of biological tests showed that the synthesized compounds possessed no anticonvulsant activity on the arecoline convulsion and electroshock models. Some of the above-mentioned amino alcohols prevented corazole clonic convulsions on 25-40% of mice. The compounds did not suppress effectively the activity of adenosine deaminase from bovine lung.

ЛИТЕРАТУРА

- [1] Агабабян А.Г., Геворгян Г.А., Мнджоян О.Л. // Успехи химии, 1982, т.51, №4, с.678
- [2] Топузян В.О., Несунц Н.С., Пароникян Р.Г., Дургарян Л.К., Акопян А.З., Шахбазян Л.В., Эдилян А.С., Герасимян Д.А. // Хим.-фарм.ж.,1997, т.31, №1, с.21
- [3] *Авакян О.М.* Фармакологическая регуляция функции адренорецепторов. М., Медицина, 1988, 256с.
- [4] Машковский М.Д. Лекарственные средства. М., Новая волна, 2007
- [5] Агабабян А.Г., Геворгян Г.А., Мкртчян Л.М. // Хим.ж.Армении, 2003, т.56, №1-2, с.72
- [6] *Агабабян А.Г., Исаханян А.У., Папоян О.А, Тумаджян А.Е., Баласанян А.С., Геворгян Г.А.* // Хим.-фарм.ж., 2005, т.39, №7, с.26
- [7] *Агабабян А.Г., Геворгян Г.А., Тумаджян А.Е., Акопян Р.А., Аристакесян С.А.* // Хим.-фарм.ж., 2009, т.43, №1, с.14
- [8] *Геворкян К.Л., Папаян Г.Л., Чшмаритян С.Г., Пароникян Р.Г.* // Хим.-фарм.ж.,1987, т.21, N2, с.167
- [9] Wolfenden, R., Kaufman, J., Macon, J. // Biochemistry, 1969, v.8, p. 2412
- [10] Sharoyan S.G., Antonyan A.A., Mardanyan S.S. // Biochemistry (Moscow), 1994, v. 59, p. 239
- [11] Leatherbarrow R.J., GraFit Version 5, Erithacus Software Ltd., Horley, U.K. 2001.

ՀԱՅԱՍՏԱՆԻ ՀԱՆՐԱՊԵՏՈՒԹՅԱՆ ԳԻՏՈՒԹՅՈՒՆՆԵՐԻ ԱԶԳԱՅԻՆ ԱԿԱԴԵՄԻԱ

НАЦИОНАЛЬНАЯ АКАДЕМИЯ НАУК РЕСПУБЛИКИ АРМЕНИЯ

Հայաստանի քիմիական հանդես 62, №1-2, 2009 Химический журнал Армении

УДК 547.491.8.07.(0.88.8)

ВЗАИМОДЕЙСТВИЕ ЦИАНАМИНО-1,3,5-ТРИАЗИНОВ С ЭФИРАМИ И АМИДАМИ α -ГАЛОГЕНКАРБОНОВЫХ КИСЛОТ И НЕКОТОРЫЕ ПРЕВРАЩЕНИЯ ПОЛУЧЕННЫХ ПРОДУКТОВ

Э. Н. АМБАРЦУМЯН, А. С. ВОРСКАНЯН и А. П. ЕНГОЯН

Государственный аграрный университет Армении Армения, 0009, Ереван, ул. Теряна, 74 Факс: (+37410) 567079, E-mail: ayengoyan@mail.ru

Поступило 12 VII 2007

Взаимодействием калиевых солей морфолинозамещенных цианамино-1,3,5-триазинов с эфирами бромуксусной и α-бромпропановой кислот получены соответствующие 2-N-циан-N-метокси-карбонилалкиламино-4-алкил(диалкил)амино-6-морфолино-1,3,5-триазины. Установлено, что при спиртово-щелочном гидролизе эти соединения подвергаются гетероциклизации с образованием 2,4-диоксоимидазолидиновых циклов. Аналогичный процесс гетероциклизации происходит при аминолизе водным раствором метиламина, приводящем к 2-имино-4-оксоимидазолидиновым циклам.

Показано, что соли цианамино-1,3,5-триазинов с анилидами α -хлоркарбоновых кислот и этиловым эфиром хлорацетиламиноуксусной кислоты также образуют продукты гетероциклизации — 2-[2-имино-3-арил(этоксикарбонилметил)имидазолидин-4-он-1-ил]-4-диалкиламино(морфолино)-6-морфолино-1,3,5-триазины, а с амидами монохлоруксусной кислоты — ациклические производные — 2-N-циан-N-карбониламидометиламино-4-алкил(диалкил)амино-6-морфолино-1,3,5-триазины.

Библ. ссылок 4.

В продолжение исследований по изучению свойств морфолинозамещенных цианамино-1,3,5-триазинов представлялось интересным синтезировать сходные по строению соединения, содержащие в углеводородном радикале эфирную функцию. Наличие таких групп может положительно влиять на эффективность и селективность препаратов [1,2]. С этой целью изучено взаимодействие калиевых солей морфолинозамещенных цианамино-1,3,5-триазинов $\mathbf{1}$ с эфирами монобромуксусной и α -бромпропионовой кислот. Установлено, что указанная реакция протекает только при нагревании в ДМФА с образованием 2-N-циан-N-меток-

сикарбонилметил(этил)амино-4-алкил(диалкил)амино-6-морфолино-1,3,5-триазинов **2-5**.

Изучен спиртово-щелочной гидролиз **2-5** на примере соединения **3**. На основании спектральных данных установлено, что при этом получается продукт внутримолекулярной циклизации — 2-(имидазолидин-2,4-дион-1-ил)-4-диметиламино-6-морфолино-1,3,5-триазин **6**. В ИК спектре **6** отсутствует полоса поглощения тройной связи $C\equiv N$, однако наблюдаются две полосы при 1780 и 1735 cm^1 , соответствующие карбонильным группам имидазолидинового цикла.

Образование полученного продукта можно представить следующей возможной схемой:

При аминолизе соединения **3** гидроксидом аммония получается тот же триазин **6**, аминолиз же соединения **3** водным раствором метиламина приводит к образованию 2-(2-имино-3-метилимидазолидин-4-он-1-ил)-4-диметиламино-6-морфолино-1,3,5-триазина (**8**). Реакция протекает с образованием промежуточного соединения **7**. В пользу этого свидетельствует тот факт, что при аминолизе соответствующего 4,6-бис-диме-

тиламинопроизводного триазина **3** [3] насыщенным раствором метиламина в метаноле образуется ациклический аналог со структурой **7**. В спектре ЯМР 1 Н этого соединения наблюдаются квадруплетный сигнал при 9,53 и дублетный сигнал при 3,13 м.д., относящиеся соответственно к протонам групп NH и CH₃ амидного фрагмента **7**.

Легкость, с которой калиевые соли цианамино-1,3,5-триазинов реагируют с эфирами α -бромкарбоновых кислот, навела на мысль об осуществлении аналогичной реакции между указанными солями и амидами, а также анилидами α -хлоркарбоновых кислот. Было установлено, что с солями цианамино-1,3,5-триазинов 1 гладко реагирует амид йодуксусной кислоты. В случае соответствующего хлорпроизводного аналогичная реакция не отмечается. Реакция указанных солей с амидом α -хлоруксусной кислоты протекает в присутствии йодистого натрия, роль которого, по-видимому, заключается в замещении хлора на йод [4], и в результате образуются N-карбониламидометил-N-цианамино-1,3,5-триазины 9,10. В случае же соответствующих 4-моноалкиламинозамещенных получаются смеси продуктов, из которых целевые чистые вещества удается выделить лишь с довольно низкими выходами.

Аналогично протекает реакция указанных солей с анилидами α-хлоруксусной кислоты. Отсутствие в ИК-спектрах полученных соединений 11-13 характеристических полос поглощения группы СПN говорит в пользу внутримолекулярной циклизации в 2-имино-3-арилимидазолидин-4-он-1-ил-1,3,5-триазины, что подтверждается также данными спектров ЯМР ¹Н.

Для сохранения в синтезированных соединениях липофильной сложноэфирной группы, влияющей на процесс транспорта молекул препаратов, изучено взаимодействие солей цианамино-1,3,5-триазинов 1 с алкиловыми эфирами N-хлорацетиламиноуксусной кислоты. Показано, что при этом также образуются продукты внутримолекулярной циклизации 14-15, содержащие фрагмент эфира уксусной кислоты в имидазольном кольце.

Экспериментальная часть

ИК-спектры сняты на спектрометре "UR-20" в вазелиновом масле, спектры ЯМР 1 H — на "Мегсигу-300" с рабочей частотой 300 $M\Gamma \mu$ в растворе ДМСО-d6 + CCI4(1:3). ТСХ проведена на пластинках "Silufol UV-254", элюент — ацетонгексан (1:4). Проявитель — смесь 2% AgNO₃ + 0,4% бромфенолового синего + 4% лимонной кислоты.

2-N–Циан-N–метоксикарбонилалкиламино-4-алкил(диалкил)амино(морфолино)-6-морфолино-1,3,5-триазины 2-5. Смесь 0.01 *моля* калиевой соли 2-цианамино-4-алкил-(диалкил)-амино-6-морфолино-1,3,5-триазина (1) (полученного из 0.01 *моля* соответствующего цианамино-1,3,5-триазина и 0.66 r (0,01 *моля*) 84% едкого кали в 10 *мл* воды) и 0.11 *моля* метилового эфира монобромуксусной (α -бромпропионовой) кислоты нагревают в 8-10 *мл* ДМФА 5-6 γ при 65-70°С. Содержимое колбы выливают на ледяную воду, выпавшие кристаллы отфильтровывают и перекристаллизовывают из смеси ацетон-вода (2:1).

Соединение **2** (R₁ = C₂H₅, R = R₂ = H): т.пл.148-150°C, выход 83%. Найдено, %: С 49.15; H 6.41; N 30.21. С₁₃H₁₉N₇O₃. Вычислено, %: С 48.59; H 5.91; N 30.52. Спектр ЯМР 1 H, δ , м.д., Γ и: 1.32 (т, 3H, J=7.0, CH₃); 3.30 (м, 2H, CH₃CH₂); 3.60-3.75 (м, 8H, морф.); 3.75 (с, 3H, OCH₃); 4.30 (с, 2H, NCH₂CO); 7.00 (уш.с, 1H, NH).

Соединение **3** (R = R₁ = CH₃, R₂ = H): т.пл.138-140°C, выход 90%. Найдено, %: С 48.19; Н 5.29; N 30.90. $C_{13}H_{19}N_7O_3$. Вычислено, %: С 48.59; Н 5.91; N 30.52. ИК-спектр, v , $c m^{-1}$: 1510,1600 (C=N сопряж), 1750 (C=O), 2240 (С \equiv N). Спектр ЯМР 1 H, δ , м.д., $\Gamma \mu$: 3,10 [c, 6H, N(CH₃)₂]; 3,58-3,77 (м 8H, морф.); 3,75 (c, 3H, OCH₃); 4,40 (c, 2H, NCH₂CO).

Соединение **4** (RR₁ = (CH₂CH₂)₂O, R₂ = H): т.пл.180-182°C, выход 86%. Найдено, %: C 50.25; H 6.31; N 26.65. $C_{15}H_{21}N_7O_4$. Вычислено, %: C 49.58; H 5.78; N 26.99. Спектр ЯМР 1 H, δ , м.д., Γ μ : 3,60-3,77 (м, 16H, морф.); 3,73 (с, 3H, OCH₃); 4,35 (c, 2H, N<u>CH</u>₂CO).

Соединение **5** (R = R₁ = R₂ = CH₃): т.пл.150-152°C, выход 86%. Найдено, %: С 49.38; Н 6.95; N 29.60. С₁₄H₂₁N₇O₃. Вычислено, %: С 50.14; Н 6.26; N 29.25. Спектр ЯМР ¹H, δ , м.д., Γ μ : 1.12 (м, 3H, CCH₃); 3,12 [c, 6H, N(CH₃)₂]; 3,58-3,77 (м 8H, морф.); 3,75 (с, 3H, OCH₃); 4,58 (м, 1H, N<u>CH</u>CO).

2-(Имидазолидин-2,4-дион-1-ил)-4-диметиламино-6-морфолино-1,3,5-триазин (6). К раствору $0.14\ \emph{e}\ (0.0021\ \emph{моля})\ 84\%$ едкого кали в $5\ \emph{мл}$ метанола при перемешивании добавляют $0.64\ \emph{e}\ (0.002\ \emph{моля})$ соединения $\mathbf{3}$. Смесь нагревают $6-7\ \emph{u}$ при 60° С, отгоняют спирт, остаток растворяют в $7-10\ \emph{мл}$ воды и подкисляют соляной кислотой до pH 6-7. Образовавшийся осадок отфильтровывают, промывают водой. Выход $0.35\ \emph{e}\ (58\%)$, т.пл. $288-290^{\circ}$ С. Найдено, %: N 32.15. С $_{12}$ Н $_{17}$ N $_{7}$ О $_{3}$. Вычислено, %: N 31.92. ИК-спектр, ν , \emph{cm}^{-1} : 1520,1575 (C=N сопряж), 1730 (C=O), 1785 (C=O), 3180 (NH). Спектр ЯМР 1 Н, δ , м.д., $\emph{Ги}$: 3.08 и 3.10 [оба с, по 3H, N(CH $_{3}$) $_{2}$]; 3.58-3.80 (м, 8H, морфолин); 4.28 (с 2H, COCH $_{2}$); 11.0 (ш.с, 1H, NH).

2-(2-Имино-3-метилимидазолидин-4-он-1-ил)-4-диметиламино-6-мор- фолино-1,3,5-триазин (8). В 2-3 *мл* метанола растворяют 0.64 ε (0.002 *моля*) соединения 3, прибавляют 4-5 *мл* 33% водного раствора метиламина и оставляют при комнатной температуре на 15-20 υ . Удаляют растворитель, остаток обрабатывают водой и отфильтровывают. Выход 0.42 ε (66%), т.пл. 209-211°C. Найдено, %: N 34.62. С₁₃H₂₀N₈O₂. Вычислено, %: N 35.0. ИК-спектр, υ , εm^{-1} : 1525,1575 (C=N сопряж), 1680 (C=N), 1750 (C=O), 3255,3265 (NH). Спектр ЯМР ¹H, δ , м.д., $\Gamma \iota$: 3.03 (c, 3H, NCH₃); 3.14 [c, 6H, N(CH₃)₂]; 3.62-3.78 (м, 8H, морф.); 4.23 (c, 2H, NCH₂); 8.67 (c, 1H, NH).

2-N-Циан-N-карбониламидометиламино-4-алкил(диалкил)амино-6-морфолино-1,3,5-триазины 9-10. К суспензии 0.01 *моля* калиевой соли цианамино-1,3,5-триазина **1** в 10 *мл* ДМФА прибавляют 1.0 ε (0,011 *моля*) хлорацетамида, затем 2 ε (0.011 *моля*) NaJ·2H₂O. Смесь нагревают при 60-70°C 7-8 v. Удаляют часть растворителя, остаток обрабатывают водой, полученный кристаллический продукт отфильтровывают, высушивают и перекристаллизовывают из диоксана.

Соединение **9** (R = H, R₁ = C₂H₅): т.пл.198-200°С, выход 65%. Найдено, %: С 47.61; H 6.35; N 36.25, $C_{12}H_{18}N_8O_2$. Вычислено, %: С 47.05; H 5.88; N 36.60. ИК-спектр, v , $c M^{-1}$: 1510,1550,1580 (C=N сопряж), 1680 (C=O), 2230 (С \equiv N), 3190,3350,3420 (NH₂). Спектр ЯМР 1 H, δ , м.д., $\Gamma \mu$: 1.30 (т, 3H, J=7.0, CH₃); 3.30 (м, 2H, CH₃CH₂); 3.60-3.77 (м, 8H, морф.); 4.23 (с, 2H, NCH₂CO); 7.00 (уш.с, 1H, NH); 7.37 и 7,40 (оба уш.с, по 1H, NH₂).

Соединение **10** (R = R₁ = CH₃): т.пл.350-352°C, выход 85%. Найдено, %: С 46.81; Н 5.21; N 36.91, $C_{12}H_{18}N_8O_2$. Вычислено, %: С 47.05; Н 5.88; N 36.60. ИК-спектр, v, $c \omega^{-1}$: 1080,1110 (C-O-C), 1500,1510,1580 (C=N сопряж), 1680 (C=O), 2230 (C=N), 3270,3400 (NH₂); Спектр ЯМР ¹H, δ , м.д., $\Gamma \mu$: 3.10 и 3.13 [оба с, по 3H, N(CH₃)₂]; 3.60-3.77 (м, 8H, морф.); 4.25 (с, 2H, NCH₂CO); 6.97 и 7.40 (оба уш.с по 1H, NH₂).

2-[2-Имино-3-арил(этоксикарбонилметил)имидазолидин-4-он-1-ил]-4- диалкиламино(морфолино)-6-морфолино-1,3,5-триазины 11-15. Смесь 0.01 моля калиевых солей цианамино-1,3,5-триазинов 1, 0,01 моля ариламидов монохлоруксусной кислоты (этилового эфира хлорацетиламиноуксусной кислоты) и 1.9 г (0,01 моля) йодистого натрия в 15 мл ДМФА нагревают 8 $^{\prime}$ при 60-180

70°C. К смеси прибавляют 15-20 мл холодной воды, выпавшие кристаллы отфильтровывают, промывают эфиром.

Соединение **11** (R = R₁ = CH₃, R₂ = C₆H₅): т.пл. 218-220°C, выход 86%. Найдено, %: C 56.85; H 6.35; N 29.01. $C_{18}H_{22}N_8O_2$. Вычислено, %: C 56.54; H 5.75; N 29.31. Спектр ЯМР 1 H, δ , м.д., Γ μ : 3.10 [c, 6H, N(CH₃)₂]; 3.60-3.78 (м, 8H, морф.); 4.42 (c, 2H, NCH₂CO); 7.30-7.55 (м, 5H, C₆H₅); 8.90 (c, 1H, NH).

Соединение **12** (R = R₁ = CH₃, R₂ = 3,4-Cl₂C₆H₃): т.пл.170-172°C, выход 88%. Найдено, %: Cl 16.25; N 25.19. $C_{18}H_{20}Cl_2N_8O_2$. Вычислено, %: Cl 15.74; N 24.83, ИК-спектр, ν , $c w^{-1}$: 1510,1540,1560 (C=N сопряж.), 1660 (C=N), 1740 (C=O), 3290 (NH). Спектр ЯМР 1 H, δ , м.д., Γu : 3.13 [c, 6H, N(CH₃)₂]; 3.62-3.78 (м, 8H, морф.); 4.40 (c, 2H, NCH₂CO); 7.40-7.70 (м, 3H, C₆H₃); 8.96 (c, 1H, NH).

Соединение **13** (RR₁ = (CH₂CH₂)₂O, R₂ = C₆H₅): т.пл.275-277°C, выход 84%. Найдено, %: C 57.31; H 6.25; N 26.11, C₂₀H₂₄N₈O₃. Вычислено, %: C 56.60; H 5.66; N 26.41. ИК спектр, ν , cw^{-1} : 1510,1540,1570 (C=N сопряж.), 1680 (C=N), 1760 (C=O), 3270 (NH). Спектр ЯМР ¹H, δ , м.д., Γu : 3.62-3.78 (м, 16H, морф.); 4.42 (c, 2H, NCH₂CO); 7.30-7.50 (м, 5H, C₆H₅); 8.82 (c, 1H,NH).

Соединение **14** (R = R₁ = CH₃, R₂ = CH₂COOC₂H₅): т.пл. 178-180°C, выход 81%. Найдено, %: С 49.61; Н 6.85; N 28.21, $C_{16}H_{24}N_8O_4$. Вычислено, %: С 48.97; Н 6.12; N 28.57. ИК спектр, v, cm^{-1} : 1520,1580 (C=N сопряж.), 1685 (C=N), 1750 (ОС=О), 1765 (С=О цикл), (3290 (NH). Спектр ЯМР ¹H, δ , м.д., Γ H: 1.30 (т, 3H, J=7.1, CH₃); 3.12 [c, 6H, N(CH₃)₂]; 3.60-3.77 (м, 8H, морф.); 4.20 (к, 2H, J=7.1, CH₃CH₂); 4.23 (c, 2H, NCH₂CO); 4.36 (c, 2H, NCH₂COO); 8.65 (c, 1H, NH).

Соединение **15** (RR₁ = (CH₂CH₂)₂O, R₂ = CH₂COOC₂H₅): т.пл.225-227°С, выход 70%. Найдено, %: С 50.35; Н 6.58; N 26.10, $C_{18}H_{26}N_8O_5$. Вычислено, %: С 49.76; Н 5.98; N 25.80. ИК-спектр, v, $c M^{-1}$: 1510,1540 (C=N сопряж.), 1680 (C=N), 1740 (OC=O), 1760 (C=O цикл), (3290 (NH). Спектр ЯМР 1 H, δ , м.д., $\Gamma \mu$: 1.30 (т, 3H, J=7.1, CH₃); 3.60-3.78 (м, 8H, морф.); 4.18 (к, 2H, J=7.1, CH₃CH₂); 4.23 (c, 2H, NCH₂CO); 4.35 (c, 2H, NCH₂COO); 8.60 (c, 1H, NH).

ՑԻԱՆԱՄԻՆԱ-1,3,5-ՏՐԻԱԶԻՆՆԵՐԻ ՓՈԽԱԶԴԵՑՈՒԹՅՈՒՆԸ α-ՀԱԼՈԳԵՆԿԱՐԲՈՆԱԹԹՈՒՆԵՐԻ ԷՍԹԵՐՆԵՐԻ ԵՎ ԱՄԻԴՆԵՐԻ ՀԵՏ ՈՒ ՍՏԱՑՎԱԾ ԱՐԳԱՍՒՔՆԵՐԻ ՈՐՈՇ ՓՈԽԱՐԿՈՒՄՆԵՐ

Է. Ն. ՀԱՄԲԱՐՁՈՒՄՅԱՆ, Ա. Ս. ՈՐՍԿԱՆՅԱՆ և Ա. Փ. ԵՆԳՈՅԱՆ

Մորֆոլինատեղակալված ցիանամինա-1,3,5-տրիազինների կալիումական աղերի և α-հալոգենկարբոնաթթուների էսթերների փոխազդեցությամբ ստացվել են 2-N-ցիան-N-մեթօքսիկարբոնիլալկիլամինա-4-ալկիլ(դիալկիլ)ամինա-6-մորֆոլինա-1,3,5-տրիազիններ։ Ստացված միացությունների սպիրտա-հիմնային հիդրոլիզը և ամինոլիզը ընթանում են հետերոցիկլմամբ և արդյունքում ստացվում են իմիդազոլիդինիլ-1,3,5-տրիազիններ։

Ցույց է տրված, որ նշված ցիանամինա-1,2,3-տրիազինների աղերը αհալոգեն-կարբոնաթթուների N-արիլամիդների հետ նույնպես առաջացնում են հետերոցիկլման արգասիքներ՝ 2-(2-իմինա-3-արիլ-4-օքսոիմիդազոլիդինիլ)-1,3,5-տրիազիններ, մինչդեռ քլոր(յոդ)ացետամիդի հետ փոխազդելիս գոյանում են համապատասխան 2-N-ցիան-N-կարբոնիլամիդոմեթիլամինա-1,3,5տրիազիններ։ Վերջիններս գոյանում են նաև 2-N-ցիան-Nկարբոնիլամիդամեթիլամինա-4-ալկիլ(դիալկիլ)ամինա-6-մորֆոլինա-1,3,5տրիազինների ամինոլիզով ամոնիումի հիդրօքսիդի խիտ լուծույթով։

INTERACTION OF CYANAMINO-[1,3,5]-TRIAZINES WITH ESTERS AND AMIDES OF α -HALOGENCARBOXYLIC ACIDS AND SOME TRANSFORMATIONS OF REACTION PRODUCTS

E. N. HAMBARDZUMYAN, A. S. VORSKANYAN and A. P. YENGOYAN

Armenian State Agrarian University 74 Teryan str., Yerevan, 0009, Armenia Fax: (+37410) 567079, E-mail: ayengoyan@mail.ru

By interaction of potassium salts of morpholinosubstituted cyanamino-1,3,5-triazines with esters of bromoacetic and α -bromopropionic acids appropriate 2-N-cyano-N-carbomethoxyalkylamino-4-alkyl(dialkyl)amino-6-morpholino-1,3,5-triazines are obtained. It is established, that these compounds during the alcohol-alkaline hydrolysis undergo heterocyclization with formation of 2,4-dioxo-imidazolidine cycles. The similar heterocyclization process occurs at aminolysis by aqueous methylamine solution, resulting in 2-imino-4-oxoimidazolidine cycles, but in case of the amine sated solution the acyclic derivatives are formed.

It is shown, that cyanamino-1,3,5-triazine salts with anilides of 2-chlorocarboxylic acids and ethyl esters of chloroacetylaminoacetic acid also form the products of heterocyclization — 2-[2' -imino-3' -aryl(carbethoxymethyl)-4-oxoimidazolidin-1-yl]-1,3,5-triazines, however with 2-chloro(iodo)acetamides the corresponding acyclic 2-N-cyano-N-carbonamidomethyl-1,3,5-triazines are formed. The latter products are also obtained by aminolysis of corresponding esters.

ЛИТЕРАТУРА

- [1] Khusli E., Gysin H.// Advances in pest.cont.research, 1960, No3, p.289.
- [2] US Pat. 3347657(1967) // Chem.Abstr., 1968, v.68, p.105253.
- [3] Довлатян В.В., Гюльбудагян Л.Л., Амбарцумян Э.Н. // Арм.хим.ж., 1987, т.40, №11, с.714.
- [4] Finkelstein H. //Ber.Deutsch.Chem.,1910, v. 43, p.1531.

ՀԱՅԱՍՏԱՆԻ ՀԱՆՐԱՊԵՏՈՒԹՅԱՆ ԳԻՏՈՒԹՅՈՒՆՆԵՐԻ ԱԶԳԱՅԻՆ ԱԿԱԴԵՄԻԱ НАЦИОНАЛЬНАЯ АКАДЕМИЯ НАУК РЕСПУБЛИКИ АРМЕНИЯ

Հшјшиտшић рриђшиши ћшићи 62, №1-2, 2009 Химический журнал Армении

УДК 547,314.491.728

НЕКОТОРЫЕ ХИМИЧЕСКИЕ ПРЕВРАЩЕНИЯ 2-ЦИАН-3-МЕТИЛ-4,4-ЦИКЛО-ПЕНТАМЕТИЛЕН-2-БУТЕН-4-ОЛИДА

А. А. АВЕТИСЯН, Л. А. ХАЧАТРЯН и Л. Ф. КАРАПЕТЯН

Ереванский государственный университет Армения, 0049, Ереван, ул. А. Манукяна, 1 E-mail:organkim@sun.ysu.am

Поступило 12 XII 2008

Осуществлен гидролиз 2-циан-3-метил-4,4-циклопентаметилен-2-бутен-4-олида (1) под действием соляной и серной кислот. Взаимодействием хлорангидрида полученной кислоты с o-фенилендиамином и тиосемикарбазидом синтезированы 2-(бензимидазол-2-ил)- (5) и 2-(3-меркапто-1,2,4-триазол-3-ил)-3-метил-4,4-циклопентаметилен-2-бутен-4-олиды (6), а с бензальдегидом и салициловым альдегидом — 2-циан-3-(2'-фенил)-(7) и 2-циан-3-(2'-о-оксифенил)-винил-4,4-циклопентаметилен-2-бутен-4-олиды (8).

Библ. ссылок 4.

С целью синтеза новых потенциально биологически активных соединений, содержащих спиролактонный фрагмент, нами осуществлен ряд химических превращений лактона 1. По-казано, что при нагревании лактона 1 в мягких условиях (40 мин, 40-46°C) в присутствии HCl гидролиз CN-группы приводит к 2-амидо-3-метил-4,4-циклопентаметилен-2-бутен-4-олиду (2). В жестких условиях, при длительном кипячении в присутствии 30% серной кислоты как из продукта 2, так и из лактона 1 образуется 2-карбоксипроизводное 3.

 Φ изико-химические константы карбоксилактона **3** совпадают с данными соединения, полученного гидролизом карбэтоксилактона [1].

Наличие карбоксильной группы в соединении $\bf 3$ дало возможность синтезировать ряд новых потенциально биологически активных производных, содержащих спиролактонный фрагмент.

Взаимодействием лактона **3** с хлористым тионилом в среде ДМСО получен 2-хлоркарбонил-3-метил-4,4-циклопентаметилен-2-бутен-4-олид **4**. Реакциями полученного соединения с o-фенилендиамином и тиосемикарбазидом [2] синтезированы новые N-содержащие гетероциклические соединения — 2-(бензимидазол-2-ил) (5) и 2-(3-меркапто-1,2,4-триазол-3-ил)-3-метил-4,4-циклопентаметилен-2-бутен-4-олиды (**6**).

Данные элементного анализа и ИК-спектров, а также физико-химические константы соединения ${\bf 5}$ совпадают с данными соединения, полученного непосредственно из ${\bf 1}$ в жестких условиях.

Взаимодействием 1 с бензальдегидом и салициловым альдегидом синтезированы 2-циан-3-(2'-фенил)винил-(7) и 2-циан-3-(2'-o-оксифенил)винил-4,4-циклопентаметилен-2-бутен-4-олиды (**8**), строение которых установлено на основании данных ИК- и ЯМР¹ Н спектров [3].

$$\begin{array}{c|c}
CH=CH & CN & CH=CH & CN \\
\hline
CH=CH & CN & CH=CH & CN \\
\hline
CH=CH & CN & CN & CN \\
\hline
CH=CH & CN & CN & CN \\
\hline
CH=CH & CN & CN & CN \\
\hline
CH=CH & CN & CN & CN \\
\hline
CH=CH & CN & CN & CN \\
\hline
CH=CH & CN & CN & CN \\
\hline
CH=CH & CN & CN & CN \\
\hline
CH=CH & CN & CN & CN \\
\hline
CH=CH & CN & CN & CN \\
\hline
CH=CH & CN & CN & CN \\
\hline
CH=CH & CN & CN & CN \\
\hline
CH=CH & CN & CN & CN \\
\hline
CH=CH & CN & CN & CN \\
\hline
CH=CH & CN & CN & CN \\
\hline
CH=CH & CN & CN & CN \\
\hline
CH=CH & CN & CN & CN \\
\hline
CH=CH & CN & CN & CN \\
\hline
CH=CH & CN & CN & CN \\
\hline
CH=CH & CN & CN & CN \\
\hline
CH=CH & CN & CN & CN \\
\hline
CH=CH & CN & CN & CN \\
\hline
CH=CH & CN & CN & CN \\
\hline
CH=CH & CN & CN & CN \\
\hline
CH=CH & CN & CN & CN \\
\hline
CH=CH & CN & CN & CN \\
\hline
CN & CN & CN & CN \\
\hline
CN & CN & CN & CN \\
\hline
CN & CN & CN & CN \\
\hline
CN & CN & CN & CN \\
\hline
CN & CN & CN & CN \\
\hline
CN & CN & CN & CN \\
\hline
CN & CN & CN & CN \\
\hline
CN & CN & CN & CN \\
\hline
CN & CN & CN & CN \\
\hline
CN & CN & CN & CN \\
\hline
CN & CN & CN & CN \\
\hline
CN & CN & CN & CN \\
\hline
CN & CN & CN & CN \\
\hline
CN & CN & CN & CN \\
\hline
CN & CN & CN & CN \\
\hline
CN & CN & CN & CN \\
\hline
CN & CN & CN & CN \\
\hline
CN & CN & CN & CN \\
\hline
CN & CN & CN & CN \\
\hline
CN & CN & CN & CN \\
\hline
CN & CN & CN & CN \\
\hline
CN & CN & CN & CN \\
\hline
CN & CN & CN & CN \\
\hline
CN & CN & CN & CN \\
\hline
CN & CN & CN & CN \\
\hline
CN & CN & CN & CN \\
\hline
CN & CN & CN & CN \\
\hline
CN & CN & CN & CN \\
\hline
CN & CN & CN & CN \\
\hline
CN & CN & CN & CN \\
\hline
CN & CN & CN & CN \\
\hline
CN & CN & CN & CN \\
\hline
CN & CN & CN & CN \\
\hline
CN & CN & CN & CN \\
\hline
CN & CN & CN & CN \\
\hline
CN & CN & CN & CN \\
\hline
CN & CN & CN & CN \\
\hline
CN & CN & CN & CN \\
\hline
CN & CN & CN & CN \\
\hline
CN & CN & CN & CN \\
\hline
CN & CN & CN & CN \\
\hline
CN & CN & CN & CN \\
\hline
CN & CN & CN & CN \\
\hline
CN & CN & CN & CN \\
\hline
CN & CN & CN & CN \\
\hline
CN & CN & CN & CN \\
\hline
CN & CN & CN & CN \\
\hline
CN & CN & CN & CN \\
\hline
CN & CN & CN & CN \\
\hline
CN & CN & CN & CN \\
\hline
CN & CN & CN & CN \\
\hline
CN & CN & CN & CN \\
\hline
CN & CN & CN & CN \\
\hline
CN & CN & CN & CN \\
\hline
CN & CN & CN & CN \\
\hline
CN & CN & CN & CN \\
\hline
CN & CN & CN & CN \\
\hline
CN & CN & CN & CN \\
\hline
CN & CN & CN & CN \\
\hline
CN & CN & CN & CN \\
\hline
CN & CN & CN & CN \\
\hline
CN & CN & CN &$$

Экспериментальная часть

Спектры ЯМР ¹Н получены на спектрометре "Mercury-300" (фирмы Varian) с рабочей частотой 300 *МГи*, растворитель – ДМСО-d₆; T=30°. ИК-спектры жидких пленок веществ в вазелиновом масле сняты на приборах "UR-20" или "Nikolet FTIR NEXUS". Индивидуальность и чистоту полученных соединений контролировали методом ТСХ на пластинках "Silufol UV-254", элюент – уксусная кислота-этанол (1:1), проявление – парами йода. Соединение 1 получено по методике [4].

2-Амидо-3-метил-4,4-циклопентаметилен-2-бутен-4-олид (2). Смесь 1 r (0,0052 m0n9) соединения 1 и 4 m7 конц. соляной кислоты перемешивали 20 m1 при 40°С и 20 m1 при 46°С. Реакционную смесь охлаждали и прикапывали 10 m7 ледn9m1 воды. Смесь выдерживали 1 m9, образовавшиеся кристаллы отфильтровывали, промывали ледn9m9, продукта с т.пл. 100°С (из спирта), n9, n

- **2-Карбокси-3-метил-4,4-циклопентаметилен-2-бутен-4-олид (3). а)** 0.7 r (0.0033 моля) соединения **2** и 4 мл 30% серной кислоты кипятили 6 ч. После охлаждения образовавшиеся кристаллы отфильтровывали, промывали водой и перекристаллизовывали из гептана. Получили 0,6 r (85%) продукта с т.пл. 144°C. Rf 0.64. ИК-спектр, v, \textit{cm}^{-1} : 1450 (CH2 циклогексан), 1660 (C=C), 1770 (C=O ненас. γ -лакт), 3500 –2500 (ОН кислотн), 1680 (C=O кислотн).
- **6)** 1 r (0.0052 моля) соединения **1** и 6 мл 30% серной кислоты кипятили 15 ч. После обработки аналогично предыдущей получили 0,9 r (81%) продукта с т.пл. 144°C, Rf 0,64. Образцы соединения **3**, полученного из соединений **1** и **2**, не давали депрессии температуры плавления.
- **2-Хлоркарбонил-3-метил-4,4-циклопентаметилен-2-бутен-4-олид (4)** получен по методике [2].
- **2-(Бензимидазол-2-ил)-3-метил-4,4-циклопентаметилен-2-бутен-4-олид (5).** Смесь 0.9 r (0.004 моля) соединения **4,** 0.4 r (0.004 моля) o-фенилендиамина в 15 мл безводного пиридина нагревали на водяной бане 10-12 ч. После отгонки растворителя к остатку

добавляли 30 $M\pi$ воды. Выпавшие кристаллы отфильтровывали, промывали водой и сушили. Получили 0,7 r (70%) соединения **5** с т.пл. 125°C (из воды), Rf 0.72. Найдено, %: С 71.31; Н 6.29; N 9.79. С₁₇Н₁₈О₂N₂. Вычислено, %: С 72; Н 6.38; N 9.93. ИК-спектр, v, cm^1 : 1450 (СН₂ циклогексан), 1660 (С=С), 1770 (С=О ненас. γ -лакт), 1680 (С=N), 1760 (N-H). Спектр ЯМР¹Н, δ , м.g: 1.45-1.80 ш.м (10H, СН₂; ЗН, СН₃), 5.00 с (1H, NH), 7.28т (2H, CH-аром), 7.60д (2H, СН-аром).

2-(3-Меркапто-1.2.4-триазол-3-ил)-3-метил-4,4-циклопентаметилен-2-бутен-4-олид (6) получали аналогично предыдущему из 0.8 r (0.0035 моля) хлорангидрида и 0.37 r (0.0035 моля) тиосемикарбазида в 14 мл пиридина. Получили 0.7 r (81%) продукта **6** с т.пл. 185°C (спирт-вода), Rf 0.7. Найдено, %: C 53.5; H 5.57; N 15.6; S 11.89. С₁₂Н₁₅N₃SO₂. Вычислено, %: С 54; H 5.56; N 16; S 11.94.ИК-спектр, v, \textit{cm}^1 : 1450 (СН2 циклогексан), 1660 (С=С), 1770 (С=О ненас. у-лакт), 1680 (С=N), 1760 (N-H), 2600-2550 (S-H), 800-600 (С-S). Спектр $\mathring{\text{В}}\mathring{\text{Н}}$ $\mathring{\text{Н}}$ $\mathring{\text{N}}$ м.g: 1.45-1.80 ш.м (10H, CH₂; 3H, CH₃), 3.00 с (1H, SH), 1.35с (1H, NH).

2-Циан-3-(2'-фенил)винил-4,4-циклопентаметилен-2-бутен-4-олид (7). Смесь 1 r (0.0052 mоля) соединения **1**, 0.013 r гидроксида натрия и 0.6 r (0.0057 mоля) бензальдегида в 4 mл абс. этанола при комнатной температуре перемешивали 5 q. К реакционной смеси добавляли HCl (1:1) до рН 4-5. Выпавшие кристаллы отфильтровывали.Получили 1 r (71%) кристаллов соединения **7** с т.пл. 145°C (из спирта), Rf 0,8. ИК-спектр, v, cm^{-1} : 1450 (СН $_2$ циклогексан), 1660 (С=С), 1770 (С=О ненас. у-лакт), 2250 (СN), 1655 (С=С винильная). Спектр β ÌйH, δ , м.g: 6,83 1H, ддд, (J_1 =7.9, J_2 =7.2, J_3 =1.1, 5- $H_{\rm арил}$); 6,92 1H, дд, (J_1 =8.3, J_2 =1.1, 3- $H_{\rm арил}$); 7.09 1H, д, (J_1 =16.5, = CH); 7.23 1H,ддд, (J_1 =8.3, J_2 =7.2, J_3 =1.7, 4- J_4 0, (J_4 1, дд, (J_4 2, (J_4 2, 6- J_4 1, дд, (J_4 3, 6- J_4 3, J_4 4, дд, (J_4 4, дд, (J_4 5, 6- J_4 6, дд, (J_4 6, дд, (J_4 6, дд, (J_4 6, дд, (J_4 7, 6- J_4 8, дд, (J_4 8, дд, (J_4 8, дд, (J_4 9, дд, (J_4

2-Циан-3-(2[/]-о-оксифенил)винил-4,4-циклопентаметилен-2-бутенолид-4 (8). Аналогично предыдущему из $0.5\ \varepsilon$ ($0.0026\ \textit{моля}$) соединения **1**, $0.007\ \varepsilon$ гидроксида натрия, $0.35\ \varepsilon$ ($0.0029\ \textit{моля}$) салицилового альдегида и $2.1\ \textit{мл}$ этанола получили $0.58\ \varepsilon$ (75%) кристаллов соединения **8** с т.пл. 208° С (из спирта), R_f 0.7. ИК-спектр, v, $\textit{см}^1$: 1450 (CH2 циклогексан), 1660 (C=C), 1770 (C=O ненас. γ -лакт), 2250 (CN), 1655 (C=C винильная). Спектр ЯМР 1 Н, δ , м.g. 1,43 (1H, м), 1.63-1,88 (7H, м) и 2,04 (2H,м C_6 H₁₀); 6,83 1H, ддд, (J_1 =7.9, J_2 =7.2, J_3 =1.1, 5-H_{арил}); 6,92 1H, дд, (J_1 =8.3, J_2 =1.1, J_1 - J_2 - J_3

2-ՑԻԱՆ-3-ՄԵԹԻԼ-4.4-ՑԻԿԼՈՊԵՆՏԱՄԵԹԻԼԵՆ-2-ԲՈՒՏԵՆ-4-ՕԼԻԴԻ ՄԻ ՔԱՆԻ ՔԻՄԻԱԿԱՆ ՓՈԽԱՐԿՈՒՄՆԵՐԸ

Ա. Ա. ԱՎԵՏԻՍՅԱՆ, Լ. Ա. ԽԱՉԱՏՐՅԱՆ և Լ. Ֆ. ԿԱՐԱՊԵՏՅԱՆ

Իրականացվել է 2-ցիան-3-մեթիլ-4.4-ցիկլոպենտամեթիլեն-2-բուտեն-4-օլիդի հիդրոլիզը ծծմբական թթվի և աղաթթվի ներկայությամբ։ Ստացված կարբոնաթթվի քլորանհիդրիդի փոխազդեցությամբ օ-ֆենիլենդիամինի և թիոսեմիկարբազիդի հետ սինթեզվել են 2-(բենզիմիդազոլ-2-իլ)- և 2-(3-մերկապտո-1,2,4-տրիազոլ-3-իլ)-3-մեթիլ-4.4-ցիկլոպեն-տամեթիլեն-2-բուտեն-4-օլիդները։ 1 փոխազդեցությամբ բենզալդեհիդի և սալիցիլալդեհիդի հետ ստացվել են 2-ցիան-3-(2/-ֆենիլ)վինիլ- և 2-ցիան-3-(2/-օ-օքսիֆենիլ)վինիլ-4.4-ցիկլոպենտամեթիլեն -2-բուտեն-4-օլիդները.

STUDY OF CHEMICAL TRANSFORMATIONS OF 2-CYANO-3-METHYL-4,4-CYCLOPENTAMETHYLENE-2-BUTENE-4-OLIDES

A. A. AVETISSYAN, L. A. KHACHATRYAN and L. F. KARAPETYAN

Yerevan State University

1, A. Manoukyan str., Yerevan, 0049, Armenia
E-mail: organkim@sun.ysu.am

The hydrolysis of 2-cyano-3-methyl-4,4-cyclopentamethylene-2-butene-4-olide in presence of hydrochloric and sulfuric acids has been realized. By interection of resulting acid chloride with *o*-phenylenediamine and thiosemicarbazyde 2-(benzimidazole-2-yl)-3-methyl-4,4-cyclopentamethylene-2-buten-4-olide and 2-(3-mercapto-1.2.4-triazol-3-yl)- 3-methyl-4,4-cyclopentamethylene-2-buten-4-olide have been synthesized.

By interaction of I with benzaldehyde and salicylaldehyde 2-cyano-3-(β -phenyl) vinyl-4,4-cyclopentamethylene-2-butene-4-olide and 2-cyano-3-(β -orthooxyphenyl) vinyl-4,4-cyclopentamethylene-2-butene-4-olide have been synthesized.

ЛИТЕРАТУРА

- [1] Аветисян А.А, Тадевосян Г.Е, Дангян М.Т. // Арм. хим. ж., 1971, т. 26, №9, с. 778.
- [2] Аветисян А.А, Галстян А.В, Меликян Г.С. // Арм. хим. ж., 1984, т. 37, №6, с. 357.
- [3] Collect. Czech. Chem. Commun. vob 54.1666 (1989); Pasguinet E., Rocca P., Godart A., Marsais F., Quguiner G.J., Chem. Soc., Perkin Trans, 1998, 3807; Джоуль Д., Миллс К. Химия гетероциклических соединений. М., Мир, 2004, с. 132; Неницеску К.Д. Органическая химия. М., 1962, с. 643.
- [4] Аветисян А.А, Токмаджян Г.Г, Карапетян Л.В. // Ученые записки ЕГУ, 2005, №1, с. 84.

ՀԱՅԱՍՏԱՆԻ ՀԱՆՐԱՊԵՏՈՒԹՅԱՆ ԳԻՏՈՒԹՅՈՒՆՆԵՐԻ ԱԶԳԱՅԻՆ ԱԿԱԴԵՄԻԱ НАЦИОНАЛЬНАЯ АКАДЕМИЯ НАУК РЕСПУБЛИКИ АРМЕНИЯ

Հшјшиտшնի рիմիшկшն ншնդես 62, №1-2, 2009 Химический журнал Армении

УДК 577.15.004.14 + 577.15 + 577.151.02

КИНЕТИЧЕСКИЕ ОСОБЕННОСТИ ГИДРОЛИЗА ДИХОЛИНОВОГО ЭФИРА СЕ-БАЦИНОВОЙ КИСЛОТЫ ПОД ДЕЙСТВИЕМ СЫВОРОТОЧНОЙ БУТИРИЛХОЛИНЭСТЕРАЗЫ

М. Р. МНАЦАКАНЯН 1 , А. О. ПАПОЯН 1 , В. А. САМОКИШ 2 и Г. П. АЛЕБЯН 1

¹ Научно-исследовательский институт биотехнологии Армения, Ереван, 0056, ул. Гюрджяна 14 E-mail: ghukashalebyan@yahoo.com

 2 Институт аналитического приборостроения РАН, Санкт-Петербург E-mail: sam43@mail.ru

Поступило 2 IV 2009

Приведены новые кинетические данные, подтверждающие факт нарушения чисто конкурентных отношений между дихолиновым эфиром себациновой кислоты (ДХЭв) и монохолиновым эфиром себациновой кислоты (МХЭв) при ферментативном гидролизе ДХЭв, под действием бутирилхолинэстеразы сыворотки крови человека (БХЭв). Параметры уравнения Михаэлиса-Мэнтен для ДХЭ8 и МХЭ8 определены с использованием индивидуальных веществ. Показано, что по сравнению с сукцинилдихолином и сукцинилмонохолином, для которых $K_{m(JX\Im)}$ / $K_{m(MX\Im)}$ $pprox 10^{-2}$ и $\sim V_{max(JX\Im)} / V_{max(JX\Im)} \approx 7$, кинетические параметры для ДХЭ $_8 (K_{m(JX\Im)} = (3.0 \pm 0.38) \text{ x } 10^{-5} \text{ M}, k_{cat(JX\Im)} = (16.4 \pm 0.14) \text{ x } 10^3 \text{ мин}$ 1) и для $MX\Im_{8}$ ($K_{m(MX\Im)}=(2.2\pm0.28)$ х 10^{-4} M, $k_{cat(MX\Im)}=(6.09\pm0.91)$ х 10^{3} мин $^{-1}$) значительно ближе и их соотношения соответственно составляют $K_{m(J\!X\!Y\!)}/K_{m(M\!X\!Y\!)} \approx 0.14$ и $\sim V_{maxJ\!X\!Y}/V_{maxM\!X\!Y\!} \approx 2.7$. Экспериментально определенные кинетические параметры для ДХЭв и МХЭв использованы для построения теоретических зависимостей изменения концентраций реагирующих веществ (исходных веществ и продуктов) от времени. Анализ полученных результатов свидетельствует, что индивидульные параметры уравнения Михаэлиса-Мэнтен для ДХЭв и МХЭв при условии отсутствия отклонений от чисто конкурентного механизма не позволяют объяснить накопление обнаруженной концентрации себациновой кислоты в реакционной среде $(1.7 \times 10^{-4} \, \mathrm{M} \, \mathrm{n}$ ри исходной концентрации ДХ $3 \times 5 \times 10^{-4} \, \mathrm{M})$ на первой стадии ферментативного гидролиза ДХЭв. Предложенная нами схема, объясняющая наблюдаемое явление отклонения от конкурентности, основана на предположении, что часть молекул МХЭв, образующаяся в результате гидродиза ДХЭв, "успевает" гидролизоваться из-за её замедленной диффузии в реакционную среду из области активного центра фермента.

Рис. 6, библ. ссылок 18.

Дихолиновые эфиры алифатических дикарбоновых кислот (ДХЭ) с общей формулой (1) являются биологически активными веществами. Они обладают избирательным действием на холинорецепторы (ХР) скелетных мышц, вызывая блок нервно-мышечной проводимости. Благодаря сравнительно низкой цене и доступности сукцинилдихолин (дитилин) (n=2) как миорелаксант короткого действия является препаратом выбора при интубации трахеи и широко применяется в медицинской практике [1-4].

$$(H_3C)_3^+N(H_2C)_2OC$$
— $(CH_2)_n$ — $CO(CH_2)_2N(CH_3)_3$ • 2X, (1)

где X=Hal

Одной из важных фармакологических характеристик дитилина и других ДХЭ является кратковременность их действия на организм, что обусловлено быстрым ферментативным гидролизом ДХЭ под действием бутирилхолинэстеразы сыворотки крови (БХЭ, НФ 3.1.1.8) [5].

В работах [6-9] показано, что ферментативный гидролиз под действием БХЭ протекает в две последовательные стадии (схема 1). Сначала протекает гидролиз одной из сложноэфирных связей с образованием монохолинового эфира (МХЭ) и холина, далее расщепляется МХЭ, образуя дикарбоновую кислоту (ДК) и холин. Благодаря большой разнице в значениях K_m ДХЭ ($K_m(AXS)$) и МХЭ ($K_m(AXS)$) вторая стадия ферментативного гидролиза начинается только после практически полного исчерпания в реакционной среде ДХЭ [10], и следовательно, ДК начинает накапливатся в реакционной среде только после исчерпания ДХЭ. Показано также, что максимальная скорость (V_{max}) ферментативного гидролиза МХЭ значительно ниже V_{max} ДХЭ той же кислоты. При этом разница в значениях кинетических параметров с удлинением полиметиленовой цепи в молекуле ДК постепенно уменьшается.

2-ая стадия:

Схема 1. Двухстадийный ферментативный гидролиз ДХЭ под действием БХЭ

Нами было показано, что кинетика ферментативного гидролиза ДХЭ (п≥6) под действием БХЭ плазмы крови человека демонстрирует отклонение от описанной выше схемы. Суть отклонения – накопление в реакционной среде дикарбоновой кислоты на первой ста-

дии гидролиза [11]. Для объяснения наблюдаемого явления нами было предположено, что значительная часть молекул МХЭв, образующихся в результате гидролиза ДХЭв, успевает гидролизоваться на том же активном центре с образованием дикарбоновой кислоты, а другая часть их диффундирует в реакционную среду [11] (схема 2).

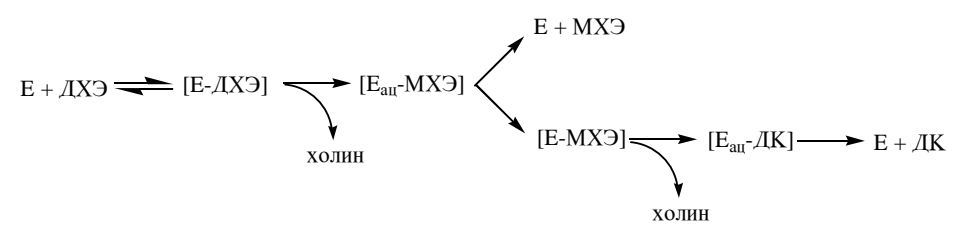


Схема 2. Возможный механизм первой стадии ферментативного гидролиза дихолиновых эфиров высших дикарбоновых кислот (для $n \ge 6$) под действием БХЭ. E – фермент.

Однако обнаруженное отклонение может иметь и более простое объяснение. Параметры уравнения Михаэлиса-Мэнтен (K_m , V_{max}) для ДХЭ и МХЭ высших дикарбоновых кислот не так сильно отличаются, как, например, для дитилина, для которого, согласно литературным данным, $-K_{m(ДХЭ)} / K_{m(MXЭ)} \sim 10^{-2}$ и $V_{max(ДХЭ)} / V_{max(MXЭ)}$ (7 при гидролизе под действием БХЭ человека (БХЭ¬) [12] и $\sim 10^{-3}$ и (15 под действием БХЭ лошади (БХЭ¬) [13]. В течение гидролиза ДХЭ параллельно может протекать конкурирующая реакция с молекулами МХЭ из раствора.

Цель данной работы – детальное исследование кинетики гидролиза ДХЭ и МХЭ себациновой кислоты (ДХЭ $_8$ и МХЭ $_8$) под действием БХЭ $_7$ и БХЭ $_8$ и определение механизма, приводящего к накоплению ДК на первой стадии ферментативного гидролиза ДХЭ $_8$.

Экспериментальная часть

Скорость ферментативного гидролиза ДХЭ $_8$ определяли методом прямого потенциометрического титрования образующихся при гидролизе кислотных продуктов в реакционной среде, содержащей 0.3 М КСl и 0.001 М фосфатного буфера на приборе pH-stat марки «Radiometer Analytical TitraLab854». Определения проводились в термостатируемой ячейке прибора при 25 \pm 0.1°C и pH 7.6. Минимальная начальная концентрация субстратов в реакционной среде составляла 2.5 \cdot 10 $^{-4}$ М, а в качестве титранта использовали 0.015 \cdot 0.02 М раствор NaOH.

Использованный препарат БХЭ $_{^{\text{ч}}}$ высокой степени очистки из сыворотки крови человека с удельной активностью 344 U/mg любезно предоставлен профессором О. Локридж (*UNMC*, *Eppley Institute for Cancer Research*, *Omaha*, *NE*, *USA*).

Синтез йодметилатов ди- и метиламиноэтиловых эфиров себациновй кислоты (ДХЭ $_8$ и МХЭ $_8$) проведен согласно работам [1, 8].

Обсуждение результатов

Кинетика полного ферментативного гидролиза ДХЭ₈. На рис. 1 показана зависимость накопления "кислотного продукта" (рассчитанная исходя из расхода количества титранта – NaOH) в течение реакции холинэстеразного гидролиза ДХЭ₈ от времени. Здесь и далее при описании аналогичных кривых под "кислотным продуктом" подразумеваются как МХЭ, так и ДК, кислотные группы которых при данных значениях рН титруются одинаково и, следовательно, неразличимы. Согласно полученной кривой, на которой имеется выраженный излом, реакция протекает в две стадии, что в общих чертах согласуется с наблюдаемой картиной, характерной для сукцинилдихолина и других членов ряда [10]. Сначала накопление кислотного продукта в реакционной среде происходит монотонно, практически с постоянной скоростью. Линейное нарастание концентрации продукта наблюдается до накопления определенного количества продукта, равного $^{\circ}$ 6.7 х $^{\circ}$ 10-4 М, при достижении которого кинетика реакции меняется, что выражается в резком снижении скорости реакции гидролиза и отклонении зависимости от линейной. Далее скорость реакции монотонно убывает и по достижении кислотного продукта (ДК₈), равного ожидаемому теоретическому количеству (два эквивалента на $^{\circ}$ 1 МДХЭ₈), она приближается к нулю.

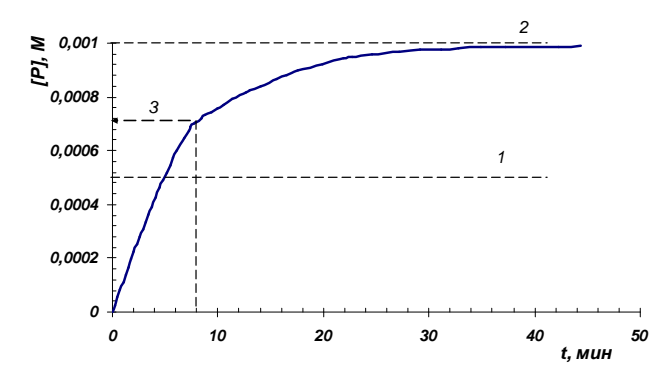


Рис. 1. Зависимость накопления кислотного продукта в реакции ферментативного гидролиза субстрата ДХЭв под действием БХЭ от времени. Пунктирными линиями 1 и 2 указано ожидаемое количество кислотного продукта (согласно литературным данным) в конце первой и второй стадий реакции, а пунктирной линией 3 – наблюдаемое в эксперименте количество кислотного продукта в конце первойстадии. [ДХЭв] =5 \cdot 10-4 М.

Таким образом, общая картина кинетического поведения гидролиза ДХЭ $_8$ соответствует описанному в литературе гидролизу ДХЭ $_8$. Однако ожидаемая концентрация кислотного продукта в конце первой стадии ферментативного гидролиза, вместо 5 (10^{-4} M, как показано для сукцинилдихолина и некоторых других членов ряда (БХЭч, БХЭл) [8, 10, 13], равна ~7 х 10^{-4} M.

Определение K_m и V_{max} ДХЭ8. Определение параметров уравнения Михаэлиса-Мэнтен для ДХЭ8 проводилось методом измерения начальных скоростей. Концентрационный интервал субстрата $2.5 \times 10^{-5} \div 5 \div 10^{-3} \, \mathrm{M}$ подбирался исходя из литературных данных [12], согласно которым, $K_m(ДXЭ2)$ равна $4.2 \times 10^{-5} \, \mathrm{M}$. При этом использованное нами сравнительно высокое

значение нижнего предела концентрации $ДХЭ_8-2.5\cdot 10^{-5}\,\mathrm{M}$ обусловлено буферной емкостью реакционной среды и ограниченной чувствительностью потенциометрического метода.

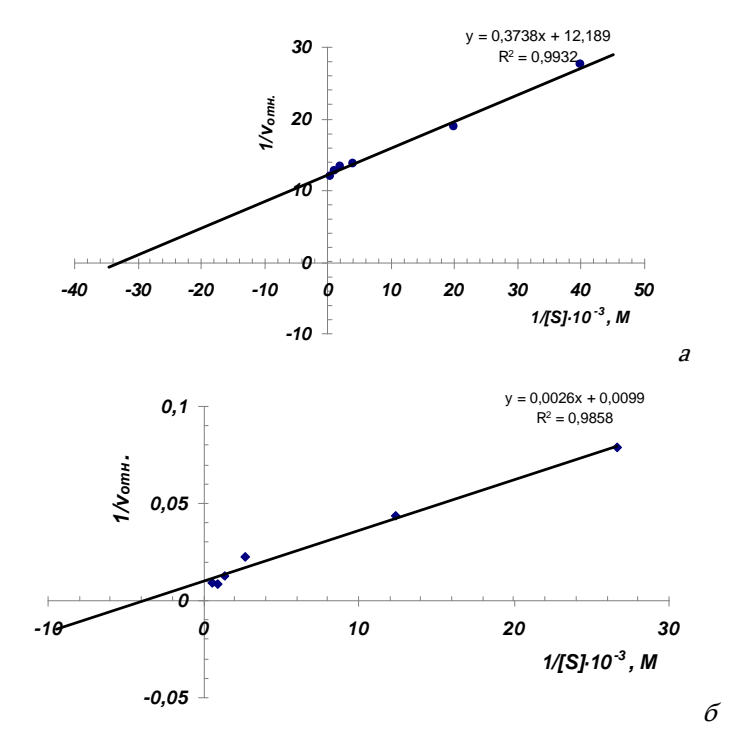


Рис. 2. График Лайнуивера – Бэрка для реакций гидролиза под действием БХЭч ДХЭв (а) и МХЭв (б).

Результаты проведенных измерений приведены на рис. 2а, из которого видно, что в координатах Лайнуивера-Бэрка наблюдается хорошая линейная зависимость (величина достоверности аппроксимации — R^2 =0.99), а значение $K_m(JX/38)$ равно (3.0 ± 0.38) х 10^{-5} М. Таким образом, полученное значение константы Михаэлиса для ДХЭ8, практически совпадает со значением $K_m(JX/32)$.

Определение K_m и V_{max} МХЭв. Определение параметров уравнения Михаэлиса-Мэнтен для МХЭв проводили как методом измерения начальных скоростей, так и исходя из кинетической кривой полного гидролиза субстрата. И в этом случае при выборе концентрационного интервала субстрата 3.75×10^{-4} М ч 2×10^{-3} М исходили из литературных данных [12], согласно которым, значение $K_{m(MXЭ2)}$ равно 8.4×10^{-3} М. Как видно из рис. 26, в координатах Лайнуивера-Бэрка для МХЭв также наблюдается хорошая линейная зависимось ($R^2 = 0.98$), а значение $K_{m(MXЭ8)}$ равно ($2.2 \cdot 0.28$) х 10^{-4} М. Таким образом, полученное значение константы Михаэлиса для МХЭв, значительно отличается от $K_{m(MXЭ2)}$.

Для повышения достоверности полученного значения $K_{m(MX38)}$ нами проведено ее определение из кинетической кривой полного гидролиза субстрата при начальной концентрации 3.75 х 10^{-4} М (рис. 3), что соответствует нижнему пределу в предыдущей серии опытов. Как

показано на рисунке, накопление кислотного продукта при ферментативном гидролизе МХЭ8, проведенном в аналогичных с ДХЭ8 условиях, происходит по кривой, характерной для концентраций субстрата, близких к значению K_m . На рис. 4 полученные результаты приведены в виде графика в координатах Лайнуивера-Бэрка, где V и [S] являются текущими значениями скорости реакции и соответствующей ей концентрации. Как видно из приведенных данных, и в этом случае наблюдается хорошая линейная зависимось (R^2 =0.999), а значение $K_m(MX \ni 8)$ равно (2.02 ± 0.26) х 10^{-4} М, что практически не отличается от значения, полученного методом начальных скоростей. Таким образом, полученные результаты показывают, что гидролиз МХЭ8 подчиняется кинетике Михаэлиса в широком концентрационном интервале.

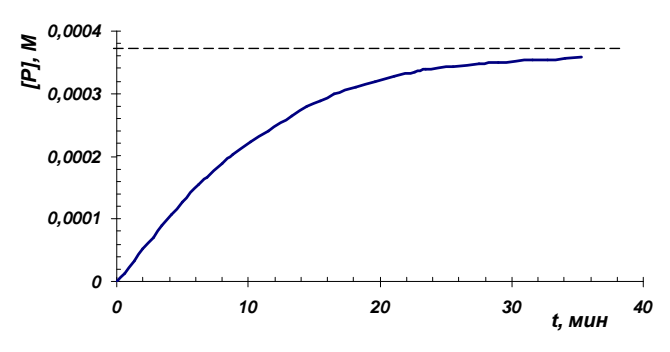


Рис. 3. Зависимость накопления кислотного продукта гидролиза субстрата МХЭв от времени. Пунктирной линией указано ожидаемое количество дикислоты.

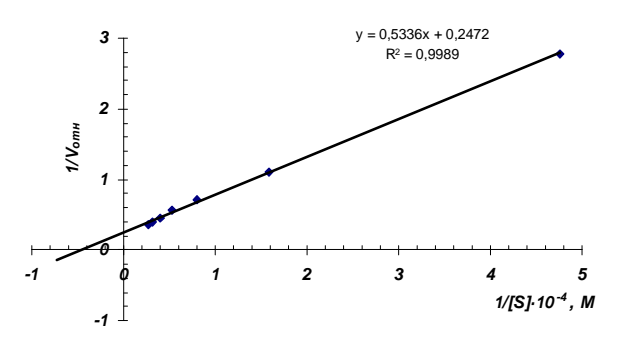


Рис. 4. График Лайнуивера – Бэрка для реакций гидролиза МХЭв под действием БХЭч (из кинетической кривой полного гидролиза субстрата (МХЭв).

Влияние холина на гидролиз ДХЭв и МХЭв. Как указано в литературе, холин, который является продуктом реакции гидролиза холиновых эфиров, может выступать в роли обратимого ингибитора [14, 15]. Вероятно, данное явление может иметь место также в реакции гидролиза МХЭв. Однако необходимо учитывать, что ингибирующее действие холина может оказаться значимым только в тех случаях, если значение константы ингибирования (холина)

сравнимо или меньше константы Михаэлиса субстрата. Специальные опыты с добавлением холина в реакционную систему (МХЭ8+БХЭ4) в концентрациях, вдвое превышающих концентрацию МХЭ8, показали, что начальная скорость реакции остается практически неизменной. Слабое торможение, т. е. падение начальной скорости на $^{\sim}34\%$, наблюдается при концентрации холина, в двадцать раз превышающей концентрацию МХЭ8. На основании результатов данных экспериментов нами рассчитана константа ингибирования холина. Для расчета значения константы ингибирования холина исходили из предположения о конкурентном типе ингибирования реакции гидролиза МХЭ8 и соответственно использовали известное уравнение (2):

$$V_{(MX\Im)} = \frac{V_{max(MX\Im)}}{1 + \frac{K_{m(MX\Im)}}{[MX\Im]} \left(1 + \frac{[xo\pi uh]}{K_i}\right)},$$
(2)

где V– наблюдаемая начальная скорость реакции гидролиза МХЭ₈ в присутствии холина, K_i – константа ингибирования холина, [холин] – концентрация холина в реакционной смеси. Определенное нами значение константы ингибирования холина равно 4.7 х 10^{-3} М, что хорошо согласуется с литературным данным, где значение константы ингибирования холина в реакции гидролиза бутирилтиохолина под действием БХЭ $_4$ при 37 (С равно (11.004 ± 0.766) х 10^{-3} М [16].

Таким образом, значение константы ингибирования холина приблизительно в двадцать раз превышает значение $K_{m(MX3)}$, и больше чем в сто сорок раз значение $K_{m(MX3)}$, и, следовательно, при гидролизе ДХЭ $_8$ и МХЭ $_8$ ингибирующим действием холина можно пренебречь.

Расчетные кривые двухстадийного ферментативного гидролиза ДХЭ8. На основе описанных выше экспериментов можно констатировать, что значение $K_{m(ДXЭ8)}$ равно $(3.33 \pm 0.38) \times 10^{-5}$ М; значение $K_{m(MXЭ8)}$ равно $(2.2 \pm 0.28) \times 10^{-4}$ М и в 6.1 раза больше значения $K_{m(ДXЭ8)}$; соотношение $V_{max(ДXЭ8)}/V_{max(MXЭ8)}$ равно 2.7; значение K_{I} для холина равно 4.7×10^{-3} М.

Экспериментально определенные параметры уравнения Михаэлиса-Мэнтен для ДХЭв и МХЭв нами использованы для построения теоретических зависимостей изменения концентраций реагирующих веществ от времени. При этом сделаны два допущения: отсутствие нарушения конкурентнности между ДХЭв и МХЭв (схема 3), и отсутствие влияния холина на реакцию ферментативного гидролиза субстратов.

$$EXA-EXA$$
] $\longrightarrow EXA+EXA$
 $EXM+EXA$ $\longrightarrow EXM+EXA$
 $EXM-EXA$
 $EXM-EXA$
 $EXM-EXA$
 $EXM-EXA$

Схема 3. Последовательная реакция гидролиза ДХЭ под действием БХЭ.

Учитывая сделанные предположения для проведения расчетов, использованы известные уравнения (3-5), описывающие зависимость скорости реакций от концентраций двух конкурирующих субстратов [17].

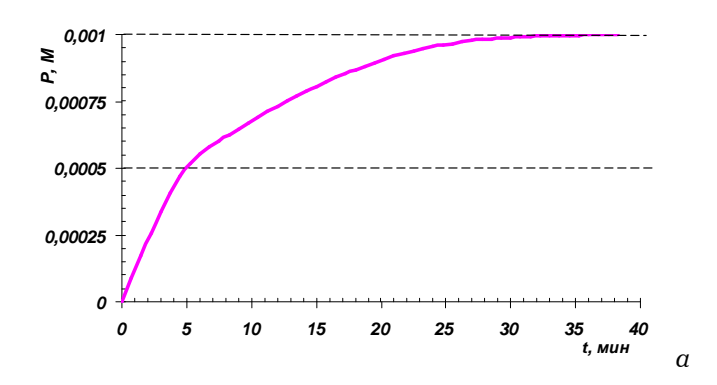
$$V = V_{(MX\Im)} + V_{(AX\Im)} = \frac{V_{max(MX\Im)} \frac{[MX\Im]}{K_{m(MX\Im)}} + V_{max(AX\Im)} \frac{[AX\Im]}{K_{m(AX\Im)}}}{I + \frac{[MX\Im]}{K_{m(MX\Im)}} + \frac{[AX\Im]}{K_{m(AX\Im)}}},$$
(3)

$$V_{(\mathcal{J}X\mathcal{Y})} = \frac{V_{max(\mathcal{J}X\mathcal{Y})}}{1 + \frac{K_{m(\mathcal{J}X\mathcal{Y})}}{[\mathcal{J}X\mathcal{Y}]}} \left(1 + \frac{[MX\mathcal{Y}]}{K_{m(MX\mathcal{Y})}}\right),\tag{5}$$

где V— начальная скорость суммарной реакции для смеси, содержащей МХЭв и ДХЭв; $V_{(MXЭ)}$ и $V_{(ДХЭ)}$ — скорости превращений МХЭ и ДХЭ в реакционной смеси субстратов, которые выражаются уравнениями (4) и (5), соответственно; $K_{m(MXЭ)}$ и $K_{m(ДХЭ)}$ — константы Михаэлиса; $V_{max(ДХЭ)}$ и $V_{max(MXЭ)}$ — максимальные скорости реакций гидролиза; [MXЭ] и [ДXЭ]— концентрации МХЭв и [MXЭ]в, соответственно.

Для получения доступной проверки зависимости концентрации продукта [P] от времени t применен численный метод. Расчет значений [P] проведен с помощью компьютерной программы Microsoft Office Excel 2003. Для получения кривой [P] = f(t) взяты промежутки времени $\Delta t = const$, а их число составляло не менее 50 точек.

Как видно из рис.5, на теоретической кривой также присутствует четкое разделение двух стадий. Хотя общая кинетическая картина аналогична полученной экспериментальной кривой (рис.1), в этом случае резкое снижение скорости накопления кислотного продукта наблюдается при количестве, приблизительно равном $^{\sim}5.4 \times 10^{-4} \, \mathrm{M}$.



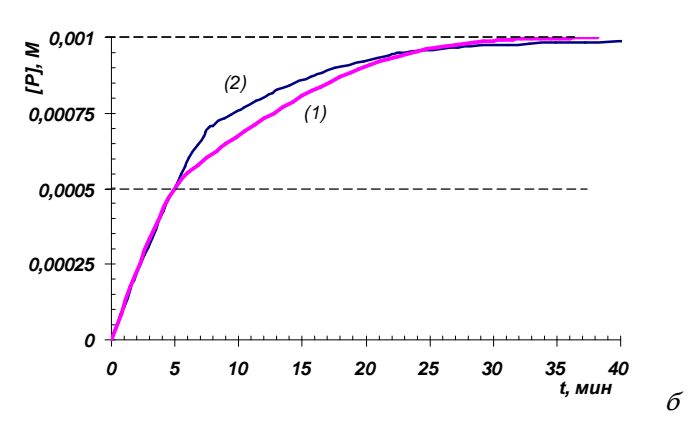
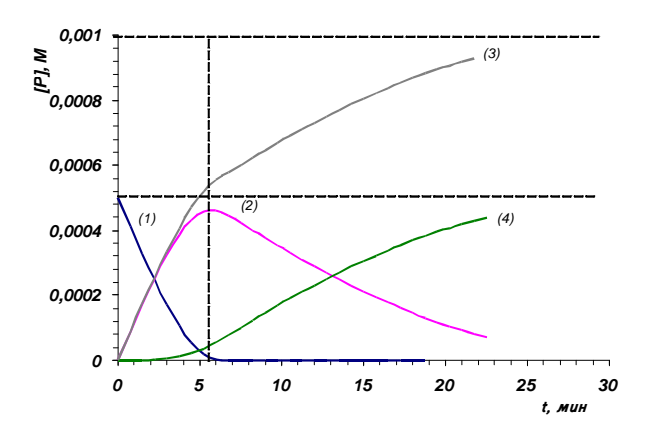


Рис. 5. *а.* Теоретическая кривая накопления кислотного продукта от времени при ферментативном гидролизе ДХЭ (при условии соблюдения чисто конкурентных отношений между субстратами ДХЭ₈ и МХЭ₈). *б.* Наложение теоретической (1) и экспериментальной (2) кривых накопления кислотного продукта от времени при полном (по двум сложноэфирным связям) ферментативном гидролизе ДХЭ₈.

Наложение теоретической и экспериментальной кривых накопления кислотного продукта от времени при полном (по двум сложноэфирным связям) ферментативном гидролизе ДХЭ $_8$ показано на рис. 5а, из которого видно, что до накопления кислотного продукта в реакционной среде $^{\sim}5.4\times10^{-4}$ М теоретическая кривая вполне удовлетворительно воспроизводит экспериментальную. Однако, начиная с указанной концентрации продукта, теоретическая кривая резко отклоняется от экспериментальной. На рис. 6 приведены теоретически рассчитанные кривые ($[\mathcal{A}X\mathcal{I}_8] = f(t), [MX\mathcal{I}_8] = f(t), [\mathcal{A}K_8] = f(t), [xoлин] = f(t)$), откуда видно, что в точке, соответствующей излому на кривой [P] = f(t) (рис. 5а и 5б), максимальная концентрация накапливаемой в реакционной среде МХЭ $_8$ равна $^{\sim}4.6\times10^{-4}$ М, а соответствующее значение концентрации $\mathcal{A}K$ соответственно равно $^{\sim}0.57\times10^{-4}$ М. Проведенные расчеты, направленные на смещение излома на теоретической кривой в сторону более высоких значений концентрации продукта, приводят к таким значениям параметров уравнения Михаэлиса-Мэнтен \mathcal{A} ля

ДХЭ8 и МХЭ8, которые, по крайней мере, отличаются от экспериментально определенных более чем на 200%.



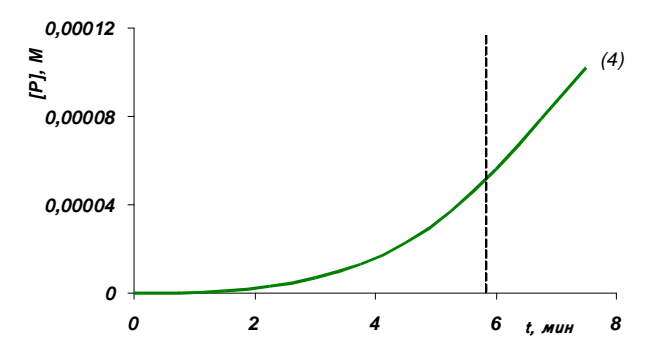


Рис. 6. Теоретически рассчитанные кривые зависимости концентраций субстрата и продуктов реакции от времени при ферментативном гидролизе ДХЭ (при условии соблюдения чисто конкурентных отношений между субстратами ДХЭ8 и МХЭ8): (1) - [ДХЭ8], (2) - [МХЭ8], (3) - [холин], (4) - [ДК8].

Таким образом, полученные результаты свидетельствуют о том, что индивидуальные параметры уравнения Михаэлиса-Мэнтен для ДХЭ $_8$ и МХЭ $_8$, при условии отсутствия отклонений от чисто конкурентного механизма, не могут объяснить накопление в реакционной среде ДК $_8$ в концентрации 1.7 х $_10^{-4}$ М на первой стадии ферментативного гидролиза ДХЭ $_8$. Следовательно, вероятнее всего, накопление ДК $_8$ в течение первой стадии гидролиза ДХЭ $_8$ протекает параллельно по двум, обсуждаемым выше, механизмам (схемы 2 и 3).

Ранее нами совместно с французскими коллегами проведено масс-спектрометрическое исследование кинетики ферментативного гидролиза ДХЭ $_8$ под действием БХЭ $_4$ [18]. С применением метода, позволяющего определение кинетики по всем компонентам реакционной системы, также показано образование ДК $_8$ в течение первой стадии гидролиза ДХЭ $_8$. При этом наблюдаемая кинетика накопления ДК $_8$ на первой стадии имеет практически линейный характер и этим отличается от кинетики, присущей для чисто конкурентных отношений между субстратами (рис. 6, кр. 4).

В заключение отметим, что согласно полученными нами предварительным данным, при исследовании гидролиза ДХЭ $_8$ под действием БХЭ $_4$ роль образования ДК $_8$ в течение первой стадии гидролиза по чисто конкурентному механизму незначительно мала.

ԱՐՅԱՆ ՇԻՃՈՒԿԻ ԲՈՒԹԻՐԻԼԽՈԼԻՆԷՍԹԵՐԱԶԻ ՆԵՐԳՈՐԾՈՒԹՅԱՄԲ ՍԵԲԱՅԻՆԱԹԹՎԻ ԴԻԽՈԼԻՆԱՅԻՆ ԷՍԹԵՐԻ ՀԻԴՐՈԼԻԶԻ ԿԻՆԵՏԻԿԱԿԱՆ ԱՌԱՆՁՆԱՀԱՏԿՈՒԹՅՈՒՆՆԵՐԸ

Մ. Ռ. ՄՆԱՑԱԿԱՆՑԱՆ, Ա. Հ. ՊԱՊՈՑԱՆ, Վ. Ա. ՄԱՄՈԿԻՇ և Ղ. Պ. ՀԱԼԵԲՑԱՆ

Նկարագրված են կինետիկական նոր տվյալներ, որոնք հաստատում են մարդու արյան շիձուկի բութիրիլխոլինէսթերազ ֆերմենտի (ԲԽԷ) ներգործությամբ սեբացինաթթվի դիխոլինային էսթերի (ԴԽԷ») հիդրոլիզի ընթացքում ԴԽԷ»-ի և սեբացինաթթվի մոնոխոլինային էսթերի (ՄԽԷ₈) միջև մրցակցային մեխանիզմի խախտման փաստը։ Անհատական մաքուր միացությունների հետազոտմամբ որո γ վել են ԴԽԷs-ի և ՄԽԷs-ի K_m և V_{max} կինետիկական պարամետրերը, որոնց օգտագործմամբ կառուցվել են ռեագիրվող նյութերի կոնցենտրացիաների կախման կինետիկական հաշվարկային կորերը։ Ինչպես ցույց է տալիս ստացված արդյունքների վերլուծությունը, սուբստրատների միջև ֆերմենտալին հիդրոլիզի մրցակցային մեխանիզմի խախտման բացակայության պայմանների րնդունման դեպքում, ԴԽԷs-ի և ՄԽԷs-ի K_m և V_{max} պարամետրերի ստացված արժեքները չեն բացատրում հիդրոլիզի առաջին փուլում ռեակցիոն միջավալրում սեբացինաթթվի քանակի կուտակումը։ Մրցակցային հարաբերություններից դիտարկված շեղումը բացատրելու համար մեր կողմից առաջարկվող վարկածը հիմնված է այն ենթադրության վրա, որ ԴԽԷ։-ի հիդրոլիզի արդյունքում առաջացած ՄԽԷ₃-ի մոլեկուլների մի մասր ֆերմենտի ակտիվ կենտրոնից դեպի լուծույթ դանդաղ դիֆուզիայի հետևանքով "հասցնում է" ենթարկվել հիդրոլիզի։

FEAUTURES OF ENZYMATIC HYDROLYSIS OF SEBACIC ACID DICHOLINE ESTER BY SERUM BUTYRYLCHOLINESTERASE

M. R. MNATSAKANYAN¹, A. H. PAPOYAN¹, V. A. SAMOKISH² and G. P. HALEBYAN²

¹ Institute of Biotechnology
 14 Gyurjyan St., 0056, Yerevan, Armenia
 E-mail: ghukashalebyan@yahoo.com

 2 Institute of Analytical Instrument Engineering RAS, St. Petersburg E-mail: sam43@mail.ru

The new kinetic data confirming the derangement of competitive relations between two substrates DChE₈ and MChE₈ (dicholine and monocholine esters of sebacic acid respectively) during enzymatic hydrolysis of DChE₈ by human butyrylcholinesterase (BChE_b) are stated. The Michaelis-Menten parameters for DChE₈ and MChE₈ are determined using individual substances. It was shown that in contrast to succinyldicholine and succinylmonocholine for which kinetic parameters correlate as follows: $K_{m(DChE)}/K_{m(MChE)} \approx 10^{-2}$ and $V_{max(DChE)}/V_{max(MChE)} \approx 7$, in case of DChE₈ ($K_{m(DChE)} = (3.0 \pm 0.38) \times 10^{-5} \,\text{M}$, $k_{cat(DChE)} = (16.4 \pm 0.14) \times 10^{3} \,\text{min}^{-1}$) and MChE₈ ($K_{m(MChE)} = (2.2 \pm 0.28) \times 10^{-2} \,\text{m}$ ⁴ M, $k_{cat(MChE)} = (6.09 \pm 0.91) \times 10^3 \text{ min}^{-1}$) the values of these parameters were closer: $K_{m(DChE)}/$ $K_{m(MChE)} \approx 0.15 \ V_{max(DChE)} \ / \ V_{max(MChE)} \approx 2.7$. The obtained parameters of Michaelis-Menten equation for DChE₈ and MChE₈ were applied for plotting theoretical dependences of all reactants concentration on time. As attested analysis of the obtained results, the individual parameters of Michaelis-Menten equation for DChE₈ and MChE₈ do not explain observed accumulation of sebacic acid in the reacting medium (which is nearly 1.7 x10⁻⁴ M if substrate initial concentration is 5 x 10⁻⁴ M) in the first stage of reaction if there is no deviation from pure competitive mechanism of hydrolysis. The proposed scheme explaining the observed deviation from competitiveness is based on an assumption that the part of MChE₈ molecules (formed as a result of DChE₈ hydrolysis) manages to be hydrolyzed due to MChE₈ slow diffusion from active site of enzyme into reacting medium.

ЛИТЕРАТУРА

- [1] Дитилин и опыт его клинического применения. / под ред. А. Л. Миджояна, Изд-во АН АрмССР, Ереван, 1957, 7.
- [2] Brucke F. // Pharmacological revues, 1956, v.8, p.256.
- [3] Naguib M., Samarkandi A., Raid W., Alharby S. W. // Anesthesiology, 2003, v.99, p.1045.
- [4] Naguib M., Samarkandi A., El-Din M.E., Abdullah K., Khaled M. Alharby S.W. // Anesth. Analg., 2006, v.102, p.151.
- [5] Glick D. // J. Biol. Chem., 1941, v.137, p.357.
- [6] Foldes F.F., McNall P.G., Borrego-Hinojosa J.M. // New Engl. J. Med., 1952, v.247, p.596.
- [7] Tsuji F.J., Foldes F.F. // Fed. Proc., 1953, v.12, p.374.
- [8] *Алебян Г.П., Григорян Н.А., Мнджоян О.Л., Самокиш В.А.* // Биоорган. химия, 1977, т.3, № 9, с.1266.
- [9] $\mathit{Алебян}$ Г.П., $\mathit{Мнджоян}$ О.Л., $\mathit{Самокиш}$ В.А. // Биотехнология, 1999, №1, с.80.
- [10] Whittaker V.P., Wijesundera S. // Biochem. J., 1952, v.52, p. 475.

- [11] *Мнацаканян М.Р., Акопян Л.М., Саркисян Ж.В., Самокиш В.А., Алебян Г.П.*// Биол. ж. Армении, 2007, т.59, № 3-4, с.239.
- [12] Goedde H. W., Held K.R., Altland K. // Mol. Pharmacol., 1968, v.4, p. 274.
- [13] Волкова Р.И., Дмитриева Е.Н. // Биохимия, 1976, т.41, с.264.
- [14] Бресткин А.П., Иванова Л.А., Свечникова В.В. // Биохимия, 1965, т.30, №1, с.137.
- [15] Debord J., Verneuil B., Bollinger J.-C., Merle L., Dantoine Th. // Analytical Biochemistry, 2006, v.354, p.299.
- [16] Cengiz D., 3okuğraş A.N., Tezcan E.F. // Journal of Protein Chemistry, 2002, v.21, № 3, p.145.
- [17] Диксон М., Уэбб Э. Ферменты. М., Мир, 1966, 816с. [Dixon M., Webb E. Enzymes. 2^{nd} edn Longmans Green, London, 1964, 950 p.]
- [18] *Grygoryan H.A., Halebyan G., Lefebvre B., Brasme B., Masson P.* // Biochimica et Biophysica Acta, 2008, v.1784, p.1818.

ՀԱՅԱՍՏԱՆԻ ՀԱՆՐԱՊԵՏՈՒԹՅԱՆ ԳԻՏՈՒԹՅՈՒՆՆԵՐԻ ԱԶԳԱՅԻՆ ԱԿԱԴԵՄԻԱ НАЦИОНАЛЬНАЯ АКАДЕМИЯ НАУК РЕСПУБЛИКИ АРМЕНИЯ

Հшјшиտшић рриђшиши ћшићи 62, №1-2, 2009 Химический журнал Армении

химия полимеров

УДК 539.3:541.64

НАНОКОМПОЗИТЫ ПОЛИМЕТИЛМЕТАКРИЛАТ/ SiO₂ И ИХ СВОЙСТВА

А. О. ТОНОЯН 1 , Н. Н. КИРАКОСЯН 1 , А. Г. КЕТЯН 1 , КРИСТОФ ШИК 2 и С. П. ДАВТЯН 1

¹Государственный инженерный университет Армении Армения, 0009 , Ереван, ул. Теряна, 105 e-mail: davtyans@seua.am

²Ростокский университет, Институт физики Германия, 18051, Росток, ул. Университетская, 3 e-mail: Cristoph.schick@pysik.uni-rostock.de

Поступило 19 VI 2008

Исследованы влияние добавок частиц SiO₂ разных количеств и размеров (10 *нм*, 0.6 *мкм* и 30 *мкм*) на макрокинетические закономерности неизотермической полимеризации метилметакрилата и теплофизические свойства получаемых нанокомпозитов. Показано, что размеры нанодобавок SiO₂ оказывают существенное влияние как на тепловые режимы неизотермической полимеризации, так и на свойства синтезированных полиметилметакрилат/SiO₂ композитов.

Рис. 6, библ. ссылок 20.

Одной из серьезных проблем синтеза дисперсно-наполненных полимерных композитов является неравномерность распределения наполнителя в полимерной матрице. Дело в том, что механическая смесь или взвесь неорганического наполнителя в мономерной среде, естественно, изначально не является однородно распределенной системой. В процессе полимеризации этой системы проблема усугубляется. На начальных стадиях полимеризации, когда вязкость системы еще не увеличилась и система достаточно разжижена, происходит оседание или всплывание добавленного порошка (в зависимости от его удельного веса). Эта проблема особенно ощутима для кристаллических порошкообразных мономеров, полимеризация которых происходит после их плавления. На практике с этим явлением принято бороться постоянным перемешиванием реагирующей массы в ходе превращения.

При получении полимерных нанокомпозитов, кроме перечисленных, возникает новая проблема. Очевидно, что при использовании добавок наноразмерного порошка происходит агломерация наночастиц уже в исходной мономерной среде и продолжается в процессе полимеризации. В результате агломерации происходит их укрупнение, следовательно, нарушение наноразмерности и соответственно потеря индивидуальных свойств наночастиц. В связи со сказанным при синтезе полимерных нанокомпозитов возникает необходимость разработки методов, препятствующих агломерации наночастиц как в исходной реагирующей смеси, так и в процессе полимеризации. В литературе известны различные методы деагломерации наночастиц [1-4]: использование акустических полей, «пассивация» наночастиц методом стабилизации коллоидных растворов, использование различных обволакивающих полимеров и т.д. Но здесь появляется другая проблема – сильная пассивация вследствие достаточно сильного взаимодействия [3-9] между поверхностью наночастиц и пассивирующим агентом в основном снижает активность наночастиц. С другой стороны, использование слабых пассивирующих агентов с образованием физических связей обеспечивает сохранение специфических свойств наночастиц благодаря образованию мицеллярных структур в исходной реакционной среде. Но при этом возникает проблема, связанная именно с нестабильностью этих структур, поскольку в процессе экзотермической полимеризации происходят их расщепление и дальнейшая агломерация высвободившихся наночастиц в полимеризующейся среде. Таким образом, до осуществления самого процесса синтеза полимерного нанокомпозита необходимо разработать метод пассивации наночастиц с их деагломерацией и равномерным распределением в исходной мономерной среде и при этом подобрать соответствующий тепловой режим полимеризации, обеспечивающий фиксацию исходного распределения и препятствующий агломерации наночастиц уже в процессе полимеризации.

В работах [3,4] нами было показано, что относительная теплоемкость нанокомпозитов, полученных эмульсионной полимеризацией метилметакрилата в присутствии различных количеств нанодобавок SiO₂, не подчиняется закону аддитивности. Подобная ситуация была объяснена достаточно сильным взаимодействием между полимерными цепями и поверхностью наночастиц, приводящим к формированию на их поверхности твердой аморфной фракции($TA\Phi$). При этом наличие $TA\Phi$ на 5-6° увеличивает [3,4,7,8] температуру стеклования синтезированных нанокомпозитов. Ранее [9-11] было показано формирование $TA\Phi$ для различных полимеризующихся сред с нанонаполнителями разной природы.

Цели данной работы – синтез нанокомпозитов фронтальной полимеризацией метилметакрилата(ММА) в присутствии нано- и микроразмерных добавок SiO₂, а также исследование закономерностей фронтальной полимеризации, теплофизических свойств синтезированных нанокомпозитов и влияния различных количеств нано- и микродобавок SiO₂ на процессы агломерации в ходе фронтальной полимеризации.

Экспериментальная часть

В качестве мономеров использовали метилметакрилат (ММА) фирмы Алдридж без предварительной очистки. Инициаторы полимеризации — дициклогексилпероксидикарбонат (ДЦПК) и пероксид третичного бутила (ПТБ), использовали после двухкратной перекристаллизации из этилового спирта. Далее ДЦПК и ПТБ сушили в вакуум-шкафу при комнатной температуре до постоянного веса.

В качестве наполнителей процесса полимеризации использовали порошкообразный SiO₂. Средние размеры частиц использованных наполнителей составляли: $10 \, \text{нм}$ (фирма Алдридж), $0.6 \, \text{и} \, 30 \, \text{мкм}$ для наполнителя SiO₂, соответственно.

Фронтальную полимеризацию метилметакрилата с соответствующими добавками наполнителей проводили в вертикально установленных стеклянных ампулах диаметром 10 и 5 мм, длиной 100 мм. Фронт полимеризации инициировали с верхней части реакционных ампул приложением горячей (~200°C) металлической поверхности к реакционной среде.

Известно [12,13], что при фронтальной полимеризации акриловой кислоты [12] и ММА [13], распространяющейся вертикально сверху вниз, наблюдается гравитационный конвективный массоперенос из зоны реакции в мономерную среду. Для предотвращения этого явления[13] в исходном ММА растворяли 8-10% собственного полимера (полиметилметакрилата). Необходимо также добавить, что для достижения высоких глубин превращения фронтальную полимеризацию проводили с использованием смеси двух инициаторов [14-16] — ДЦПК и ПТБ. Начальные концентрации инициаторов выбирались так [16], чтобы температурные профили фронта полимеризации не расщеплялись на две составляющие, соответственно для ДЦПК и ПТБ.

Во всех экспериментах исходная реакционная смесь готовилась следующим образом: сначала в мономер вводили наполнитель, затем в условиях перемешивания растворяли полиметилметакрилат (ПММА), и лишь после этого вводили необходимое количество смеси инициаторов. Температурные профили и скорость распространения фронта полимеризации определяли по показаниям двух медь-константановых термопар. Спаи термопар располагались в серединной части ампул на расстоянии 20 мм друг от друга.

Выход ПММА определяли гравиметрическим методом после завершения фронтальной полимеризации. Теплоемкость полиметилметакрилатных нанокомпозитов исследовали на приборе "Diamond DSC" фирмы Перкин-Эльмер, а температуру стеклования определяли дилатометрическим методом. Полимерные композиты, полученные с нано- и микроразмерными добавками SiO₂, исследовались на трансмиссионном и сканирующем электронных микроскопах.

Результаты экспериментов и их обсуждение

Фронтальная полимеризация метилметакрилата в присутствии добавок SiO2

Температурные профили, полученные фронтальной полимеризацией метилметакрилата под действием смеси инициаторов ДЦПК+ПТБ в присутствии разных количеств наночастиц

SiO₂, представлены на рис. 1. Из кр. 1-4 видно, что добавки наночастиц влияют как на структуру тепловых полимеризационных волн, так и на предельную температуру разогрева ($T_{\pi p}$). Интересно, что до достаточно высоких степеней наполнения (~30÷35%) наночастицами SiO₂ температурный интервал изменения тепловых полимеризационных волн охватывает область распада ДЦПК и ПТБ. Характер изменения температурных профилей (рис. 1, кр.1-3) позволяет предположить, что в температурном интервале ~100÷120°C в формировании фронтальных режимов участвуют радикалы, образованные распадом обоих инициаторов. Этим обстоятельством можно объяснить наблюдаемую простую структуру полимеризационных тепловых волн, т. е. наличие лишь одной точки перегиба на температурных профилях.

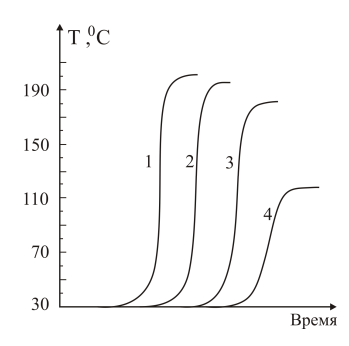


Рис. 1. Температурные профили фронтальной полимеризации метилметакрилата под действием смеси инициаторов ДЦПК и ПТБ. То=30°С, ДЦПК+ПТБ = 0.0015+0.0015 (моль π^1), ПММА 10масс. % от исходного количества мономера. SiO₂ (масс. %): 10-1; 20-2; 30-3; 45-4.

Как видно из рис. 1, добавки наночастиц выше 35% приводят к резкому снижению величины $T_{\pi p}$ (кр. 4, рис. 1). Здесь, по всей вероятности, формирование и распространение фронта полимеризации ММА осуществляется лишь под действием ДЦПК. Действительно, проведение фронтальной полимеризации ММА при тех же начальных условиях, но под действием разных количеств (0.0015÷0.003) моль π^1 ДЦПК показывает, что значения $T_{\pi p}$ меняются от ~120 до 125°С. Интересно, что достаточно широкое варьирование количества добавляемого в полимеризационную среду наночастиц SiO₂ (0÷45%) практически не влияет на выход ПММА, который меняется соответственно в интервале 92÷95% в зависимости от исходной концентрации мономера.

Необходимо отметить, что значения величины $T_{\pi p}$ уменьшаются не пропорционально количеству нанонаполнителя SiO₂. Действительно, из кр. 1 рис. 2 видно, что до степеней наполнения 30-35% величина $T_{\pi p}$ уменьшается достаточно медленно, а затем более резко. Медленное уменьшение величины $T_{\pi p}$, по всей вероятности, обусловлено вкладом в значения $T_{\pi p}$ теплоты экзотермического взаимодействия [9] макромолекул связующего с поверхностью зерен наночастиц. При больших же количествах нанодобавок (выше 30-35%) имеет место их агломерация, приводящая к уменьшению интенсивности взаимодействия макромолекул связующего с поверхностью укрупленных частиц.

Введение в исходную полимеризационную среду разных количеств добавок порошка SiO_2 со средним размером частиц 0.6~mkm (кр. 2~puc.~2) приводит к более резкому уменьшению значений предельной температуры тепловых волн. В данном случае наличие в порошке крупноразмерных фракций SiO_2 , очевидно, снижает эффективность взаимодействия макромо-

лекул связующего с поверхностью зерен SiO_2 , что и является причиной более резкого уменьшения величины $T_{\pi p}$ от количества SiO_2 .

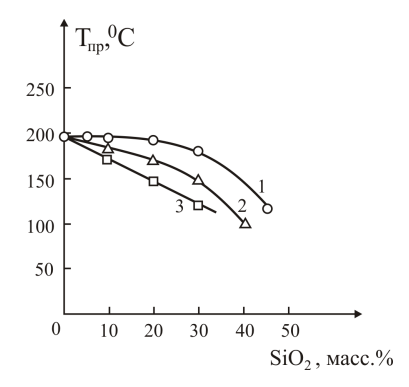


Рис. 2. Зависимость предельных температур тепловых волн от количества добавок SiO₂. Размер частиц: 10~ μ M - 1; 0.6~ μ KM - 2; 30~ μ KM - 3.

Из рис. 2 видно, что, когда средний размер частиц наполнителя составляет 30 мкм, величина $T_{\pi p}$ уменьшается пропорционально введенному количеству SiO_2 (кр. 3). В данном случае в ходе фронтальной полимеризации взаимодействие между макромолекулами ПММА и поверхностью зерен SiO_2 имеет чисто физическую природу.

Необходимо отметить, что увеличение добавок SiO₂ выше предельных значений, (45, 40 и 30%) отмеченных на кр. 1-3 рис. 2, приводит к вырождению фронтальных режимов.

Интересно, что зависимость скорости фронта (u) от количества добавленного SiO_2 меняется аналогично поведению предельной температуры тепловых волн. Действительно, как видно из рис. 3, при добавлении в реакционную среду наноразмерного SiO_2 (кр.1) величина u вначале практически меняется незначительно и лишь после 30-35% наполнения начинает уменьшаться достаточно интенсивно. Тогда как добавки SiO_2 со средними размерами частиц 0.6 и 30 mkm приводят к уменьшению величины u начиная с малых количеств наполнителя (кр. 2,3). При этом в последнем случае (кр.3) скорость фронта уменьшается пропорционально количеству добавок SiO_2 .

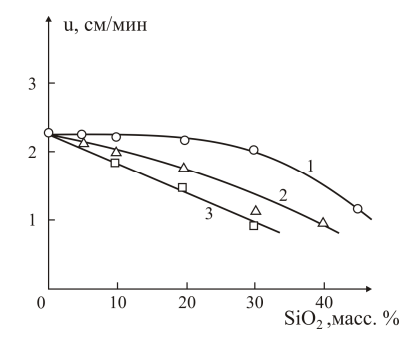


Рис. 3. Зависимость скорости распространения фронта от количества добавок SiO_2 .

Размер частиц: 10 нм - 1; 0.6 мкм - 2; 30 мкм - 3.

Теплофизические характеристики образцов нанокомпозитов

Неаддитивное изменение относительной теплоемкости нанокомпозитов с ПММ-вым связующим, как уже было отмечено, являлось результатом [9,10,17-19] формирования ТАФ полимера на поверхности наночастиц SiO₂, лапонита и др. При этом формирование ТАФ было объяснено достаточно сильным взаимодействием поверхности наночастиц с макромолекулами связующего. Возникает естественный вопрос — является ли формирование ТАФ результатом высокой поверхностной энергии натяжения наночастиц или ТАФ может образоваться и на поверхности частиц (например SiO₂), существенно превышающих(\sim 10-100 раз) наноразмерность? Для ответа на поставленный вопрос синтезированные полимерные композиты с добавками SiO₂ со средним размером частиц 10 *нм*, 0.6 *мкм* и 30 *мкм* были использованы для исследования теплофизических свойств.

На рис. 4 представлено изменение относительной теплоемкости композитов в зависимости от количества введенного наполнителя. Как видно (кр.3, рис. 4), при введении в систему SiO_2 со средним размером частиц 30 *мкм* относительная теплоемкость подчиняется закону аддитивности, т.е.

$$\Delta Cp = \frac{m_1 Cp + m_2 Cp}{m_1 + m_2} - Cp_{\text{ oбр.}}$$

Здесь Δ Ср_{полим.}= Ср_{полим.}, Δ Ср_{нап.}= Ср_{нап.}, Ср_{полим}, Ср_{нап} – теплоемкости полимера и наполнителя, а m_1 , m_2 – их количества, соответственно. Этот факт свидетельствует о том, что в данном случае на границе раздела фаз не формируется $TA\Phi$, и взаимодействие между поверхностью наполнителя и макромолекулами полиметилметакрилата, в лучшем случае, имеет чисто физическую природу.

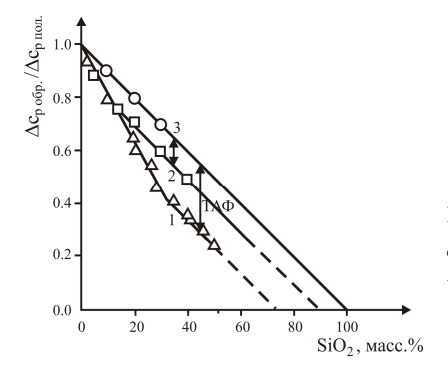


Рис. 4. Зависимость величины Δ Сробр./ Δ Српол от количества введенного в полимеризационную среду SiO₂. Размеры частиц: 1-10 *нм*; 2- 0.6 *мкм*; 3-30 *мкм*.

Уменьшение размеров наполнителя до 0.6 *мкм* приводит к изменению формы зависимости величины $\Delta \text{Ср}_{\text{обр.}} / \Delta \text{Ср}_{\text{пол.}}$ от количества наполнителя (кр. 2, рис. 4). В этом случае отношение $\Delta \text{Ср}_{\text{обр.}} / \Delta \text{Ср}_{\text{пол.}}$ уменьшается быстрее по сравнению с зависимостью кр.1 и лишь при степенях наполнения 15-20 масс. % и выше меняется параллельно прямой 1. Использование наночастиц (10 *нм*) приводит к более резкой зависимости величины $\Delta \text{Ср}_{\text{обр.}} / \Delta \text{Ср}_{\text{пол.}}$ от добавленных количеств наночастиц (кр.3). Здесь участок параллельного изменения относительной теплоемкости с прямой 1 наступает при сравнительно высоких степенях наполнения (30-35%). Форма зависимостей для последних двух случаев (кр.2,3) свидетельствует о достаточно сильном взаимодействии макромолекул полимерного связующего с поверхностью наночастиц. При этом меньшее отклонение для частиц со средними размерами 0.6 *мкм* связано с малым содержанием наноразмерной фракции SiO₂ в исходном порошке.

По расстоянию между прямыми 1, 2 и 1, 3 можно определить [19,20] зависимость радиуса величины ТА Φ от степени наполнения. Полученные результаты представлены на рис. 5, где кр. 1 соответствует нанодобавкам SiO₂ (10 *нм*), а кр. 2 – нанодобавкам SiO₂ (0.6 *мкм*).

В работах [3,4] нами было показано, что для нанокомпозитов ПММА/SiO2, полученных разными способами (эмульсионная и микроэмульсионная полимеризации из растворов ПММА с добавками SiO2 – $10~\mu M$), величина ТАФ составляет $2\mu M$. Большее значение величины ТАФ для нанокомпозитов ПММА/SiO2, полученных фронтальной полимеризацией, свидетельствует о том, что под воздействием тепловой волны происходит частичная деагломерация агломерированных частиц, находящихся перед фронтом реакции. На основе данных рис. 4 были рассчитаны [19,20] зависимости величины ТАФ от степени наполнения (рис.5). Действительно, как видно из рис. 5, в случае наночастиц SiO2 со средними размерами $10~\mu M$ (кр.1) предельное значение величины ТАФ составляет $2.4~\mu M$, тогда как для частиц $0.6~\mu M$ $1~\mu M$ (кр.2).

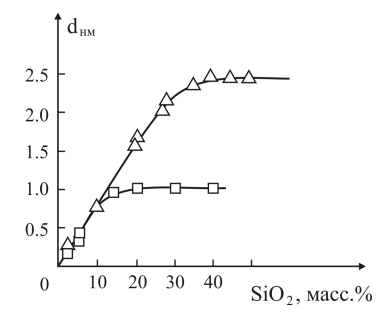


Рис.5. Зависимость величины ТАФ от степени наполнения SiO2, Размер частиц: 10 $\emph{нм}$ - 1; 0.6 $\emph{мкм}$ - 2.

Необходимо отметить, что параллельный участок между кр. 1, 2 и 3, как уже было отмечено, связан с агломерацией наночастиц. Укрупнение частиц приводит к потере присущей наноразмерности энергии поверхностного натяжения и тем самым к нивелированию взаимодействия макромолекул связующего с их поверхностью. Сделанное предположение было проверено исследованием на трансмиссионном (рис. 6 а,б) и сканирующем (рис. 6 в) электронных микроскопах образцов нанокомпозитов с разным содержанием SiO₂ (10 *нм*). Результаты представлены на рис. 6. Действительно, как видно (рис. 6а), до степеней наполнения 30-35% наночастицы SiO₂ равномерно распределены в полимерной матрице. Увеличение количества нанонаполнителя до 40% (рис. 6б) приводит к их агломерации, а дальнейшее увеличение их количества (50%) (рис. 6в) существенно влияет на размеры агломерированных частиц.

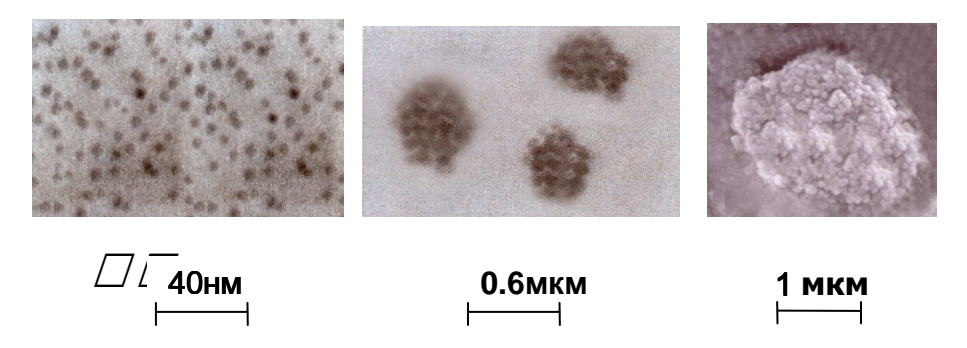


Рис. 6. Трансмиссионный (a,б) и сканирующий(в) электронно-микроскопические микрофотографии. Равномерное распределение наночастиц SiO_2 (a) и их агломерация(б,в) в полимерной матрице.

Образцы нанокомпозитов, полученных фронтальной полимеризацией, исследовались на предмет влияния количества наночастиц SiO_2 на температуру стеклования ($T_{cr.}$). Как и следовало ожидать, с увеличением количества введенного в полимерную матрицу SiO_2 температура стеклования (рис. 7) возрастает (6-7°), а при степенях наполнения выше 40% величина $T_{cr.}$ уже не зависит от количества SiO_2 .

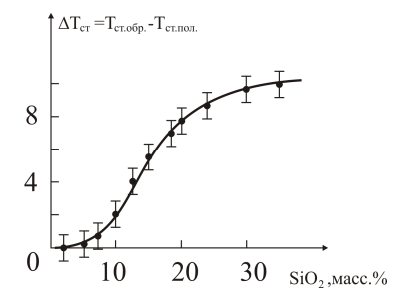


Рис. 7. Изменение температуры стеклования нанокомпозитов с ПММА связующим в зависимости от количества наноразмерного SiO₂.

Характер изменения величины $T_{\rm cr}$ от количества SiO_2 также подтверждает предположение о том, что при определнных размерах агломерированных частиц прочное взаимодействие между макромолекулами ПММ и их поверхностью не наблюдается.

Таким образом, анализ структуры температурных профилей, предельных температур разогрева, скорости фронта, а также теплофизических характеристик образцов композитов, полученных фронтальной полимеризацией метилметакрилата в присутствии разных количеств и размеров SiO₂, показал следующее.

Фронтальная полимеризация способствует фиксации исходного распределения наночастиц в уже полученном полимерном композите и является позитивным фактором с точки зрения деагломерации агломерированных наночастиц.

В ходе фронтальной полимеризации, в силу вышесказанного, наблюдается достаточно сильное взаимодействие макромолекул полиметилметакрилата с поверхностью наночастиц. В результате на границе раздела фаз формируется ${\rm TA\Phi}$, приводящая к достаточно сильному изменению относительной теплоемкости и температуры стеклования нанокомпозитов в зависимости от степени наполнения.

Работа выполнена в рамках программы BRAU 01-05. Авторы выражают благодарность CRDF, NFSAT, Министерству образования и науки РА и ГИУА.

ՊՈԼԻՄԵԹԻԼՄԵԹԱԿՐԻԼԱՏ/ SiO₂ ՆԱՆՈԿՈՄՊՈԶԻՏՆԵՐ ԵՎ ՆՐԱՆՑ ՀԱՏԿՈՒԹՅՈՒՆՆԵՐԸ

Ա. Հ. ՏՈՆՈՅԱՆ, Ն.Ն. ԿԻՐԱԿՈՍՅԱՆ, Ա. Գ. ՔԵԹՅԱՆ, ՔՐԻՍՏՕՖ ՇԻԿ և Ս. Պ. ԴԱՎԹՅԱՆ

Ուսումնասիրվել է տարբեր քանակի և չափսերի (10 նմ, 0,6 մկմ և 30 մկմ) փոշենման SiO2 հատիկների ազդեցությունը մեթիլմեթակրիլատի ոչ իզոթերմիկ պոլիմերացման մակրոկինետիկական օրինաչափությունների, ինչպես նաև ստացված նանոկոմպոզիտների ջերմաֆիզիկական հատկությունների վրա։ Ցույց է տրվել, որ SiO2 նանոհավելյարների չափսերը էական ազդեցություն են ունենում ինչպես ոչ իզոթերմիկ պոլիմերացման ջերմային ռեժիմների, այնպես էլ սինթեզված պոլիմեթիլմեթակրիլատ/ SiO2 կոմպոզիտների վրա։

POLYMETHYLMETHACRYLATE/SiO $_2$ NANO-COMPOSITES - SYNTHESIS AND PROPERTIES

A. O. TONOYAN¹, N. N. KIRAKOSYAN¹, A. G. KETYAN¹, KRISTOPH SHICKH² and S. P. DAVTYAN¹

State Engineering University of Armenia 105 Teryan Str., Yerevan, 0009, Armenia e-mail: davtyans@seua.am

² University of Rostock, Institute of Physics, Universitätsplatz 3, Rostock, 18051, Germany e-mail: Cristoph.schick@pysik.uni-rostock.de

Influence of different quantities and different sizes (10nm, $0.6\mu m$ and $30\mu m$) of SiO_2 particles of nano-additives on macro-kinetic laws for non-isothermal polymerization of methylmethacrylate and on thermo-physical properties of obtained nano-composites are investigated. It is shown, that the sizes of SiO_2 nano-additives have essential impact both on thermal modes and on properties of synthesized polymethylmethacrylate/ SiO_2 composites.

ЛИТЕРАТУРА

- [1] *Тоноян А.О., Багдасарян А.Э., Манукян Л.С., Киракосян Н.Н., Давтян С.П.* // Известия НАН РА и ГИУА , Сер. ТН, 2003, т.56, №2, с.20.
- [2] Kalogeras I.M., Neagu N.R. // Eur. Phys. J. E, 2004, v.14, p.193.
- [3] Sargsyan A.G., Tonoyan A.O., Davtyan S.P., Schick C. // NATAS 2006, Bowling Green, CO, USA, p.102.
- [4] Sargsyan A.G., Tonoyan A.O., Davtyan S.P., Schick C. // Europ. Polym. J., 2007, No. 9, p.3113.
- [5] Tabtiang A., Lumlong S., Venables R.A. // Europ. Polym. J., 2000, v.36, N12, p.2559.
- [6] Bershtein V.A., Egorova L.M., Yakushev P.N., Pissis P., Sysel P., Bokobza L. // J. Polym. Sci., B: Polym. Phys., 2002, v.40, p.1056.
- [7] Fragiadakis D., Pissis P., Bokobza L. // Polymer, 2005, v.46, p.6001.
- [8] Xia H., Song M. // Thermochim. Acta, 2005, v.429, p.1.
- [9] *Dobbertin J., Hensel A., Schick C.* // J. Therm. Anal., 1996, v.47, №4, p.1027.

- [10] Schick C. // J. Therm. Anal., 1997, v.49, №1, p.499.
- [11] Amerio E., Sangermano M., Malucelli G., Priola A., Voit B. // Polymer, 2005, v.46, p.11241.
- [12] Masere J., Pojman J.A. // J. Chem. Soc., Faradey Trans., 1998, v.94, N7, p.919.
- [13] Davtyan D.S., Bagdasaryan A.E., Tonoyan A.O., Karapetyan Z.A., Davtyan S.P. // Polymer Sci, 2000A, v.42, №11, p.1197.
- [14] Тоноян А.О., Арутюнян Х.А., Давтян С.П., Розенберг Б.А., Ениколопян Н.С. // ВМС, 1974, т.А16, с 1005
- [15] Жирков П.В., Вольфсон С.А., Давтян С.П. // Успехи химии, 1984, №2, с.251.
- [16] *Хачатрян А.Р., Тоноян А.О., Давтян Д.С., Вольперт В.А., Давтян С.П.* // Арм. хим. ж., 1996, т. 49, №4, с.39.
- [17] Schick C., Wurm A., Mohammed A. // Colloid Polym. Sci., 2001, v.279, p.800.
- [18] Wunderlich B. // Progr.Polym. Sci., 2003, v.28, p.383.
- [19] Privalko V.P., Lipatov Y.S., Kercha Y.Y. // Polymer Sci. U.S.S.R., 1970. v.12, Nº6, p.1520.
- [20] *Lipatov Y.S., Privalko V.P.* // Polymer Sci. U.S.S.R., 1972. v.14, №7, p.1843.

ՀԱՅԱՍՏԱՆԻ ՀԱՆՐԱՊԵՏՈՒԹՅԱՆ ԳԻՏՈՒԹՅՈՒՆՆԵՐԻ ԱԶԳԱՅԻՆ ԱԿԱԴԵՄԻԱ НАЦИОНАЛЬНАЯ АКАДЕМИЯ НАУК РЕСПУБЛИКИ АРМЕНИЯ

Հшјшиտшնի рիմիшկшն ншићи 62, №1-2, 2009 Химический журнал Армении

УДК 541.64: 542.952

МОДИФИКАЦИЯ СИЛИКАГЕЛЯ ПОРФИРИН- И МЕТАЛЛОПОРФИРИНСОДЕР-ЖАЩИМИ ПОЛИМЕРАМИ

Г. Г. БАЛАЯН, С. Г. ГРИГОРЯН, А. Г. БАЛЕКАЕВ и Л. Э. ТКАЧЕНКО

Научно-технологический центр органической и фармацевтический химии НАН Республики Армения Институт тонкой органической химии им. А.Л.Мнджояна Армения, 0014, Ереван, пр. Азатутян, 26 Факс: (374-10)285291, E-mail: balg@arminco.com

Поступило 30 III 2009

Осуществлена модификация силикагеля полиакрилоилхлоридом с целью дальнейшей функционализации хелатообразующими порфиринсодержащими группами. Изучены радикальная полимеризация акрилоилхлорида на силикагеле и дальнейшие реакции иммобилизованного полиакрилоилхлорида с нуклеофильными реагентами: анилином, метанолом и мезо-тетра(4-N-оксиэтилпиридил)порфирин тетрахлоридом. Исследована модификация силикагеля полимеризацией многофункциональных мономеров акрилатного типа, полученных реакцией мезо-тетра(4-N-оксиэтилпиридил)порфирина и его металлокомплексов с Cu^{2+} и Zn^{2+} с акрилоилхлоридом. Впервые осуществлены полимеризация порфиринов в присутствии йода и модификация силикагеля полученными полимерами. На основании данных ИК- и ЭПР-спектров показано, что полученные полимерные комплексы с йодом имеют полисопряженную структуру. Полученные композитные сорбенты тестированы на задержку ионов меди.

Рис. 2, библ. ссылок 13.

Порфирины и металлопорфирины содержат сопряженную систему π-связей, благодаря чему, обладая фоточувствительностью и электронной проводимостью, они являются перспективными материалами для оптоэлектроники. Однако в последние годы возрос интерес к порфиринам как потенциальным матералам для разделения нуклеиновых кислот в биохроматографии [1-3]. Так как порфирины-относительно дорогостоящие соединения, практическое их применение в хроматографии возможно в виде фиксированной с подложкой (неорганической или полимерной) фазой.

Известно, что молекулы порфиринов имеют плоскую структуру и обычно ассоциированы вследствие образования водородных связей. Фиксация порфирина на поверхности подложки, в частности силикагеля, вероятно, происходит за счет образования многоцентровых водородных связей между молекулами порфирина и силанольными группами, и поэтому наиболее прочно связанными с подложкой оказываются молекулы порфиринов, находящиеся в мономолекулярном слое. При отмывке сорбента имеет место вымывание неассоциированных или слабо ассоциированных с поверхностью силикагеля молекул порфиринов. По этой причине получение композитов, включающих неорганическую подложку и полипорфириновые молекулы, прочно связанные с подложкой через ковалентные связи или физадсорбцией, представляется интересной и актуальной задачей.

Известно, что порфирины и металлопорфирины – ароматические структуры, и их полимеризация представляет собой сложную задачу. В литературе известны немногочисленные примеры получения полимеров порфирина, например, электрохимической полимеризацией тетра(2-аминофенил)порфирина [4], фотополимеризацией металлопорфиринов типа М-тетракис(х-аминофенил)порфирина, где х=2, 3 или 4, М= Zn(II) или Ni(II), протекающей по катион-радикальному механизму [5], или получение координационного полимера, содержащего ~80 элементарных звеньев бис(имидазолилпорфирина), связанных друг с другом через цинк-имидазол координационные связи [6].

Целью настоящей работы является разработка методов синтеза порфирин- и металлопорфиринсодержащих полимеров и создание композитных сорбентов модификацией силикагеля полученными полимерами.

Экспериментальная часть

Мезо-тетра(4-пиридил)порфирин, мезо-тетра(4-N-оксиэтилпиридил) порфирин тетрахлорид, мезо-тетра(4-N-аллилпиридил)порфирина тетрахлорид и металло-комплексы порфиринов с Cu^{2+} и Zn^{2+} были синтезированы по методике $[7,8]^*$. Использовали свежеперегнанный акрилоилхлорид фирмы Aldrich. Очистку и получение безводных ДМФ, диоксана и метанола проводили по известным методикам [9]. Полимеризацию акрилоилхлорида проводили в сухом диоксане в присутствии азоизобутиронитрила (АИБН) по методике, описанной в [10]. Раствор полиакрилоилхлорида в диоксане использовали без выделения полимера во избежание гидролиза полиакрилоилхлорида на воздухе. Использовали силикагель со средним размером частиц $100-160~\mu m$, с удельным объемом пор по бензолу $0.92~cm^3/r$ и удельной поверхностью $70m^2/r$. Задержку ионов меди композитными сорбентами определяли по методике, описанной нами ранее [11]. ИК-спектры снимали на спектрометре "FTIR Avatar Nicolet", спектры ЭПР — на "E-3 Varian". Эталоном служил дифенилпикрилгидразил.

Нанесение полиакрилоилхлорида на силикагель. В колбу, снабженную мешалкой и обратным холодильником с хлоркальциевой трубкой, помещали 10~r силикагеля и $100~m\pi$ сухого диоксана и добавляли раствор $^{\sim}2~r$ полиакрилоилхлорида ([η]=0.21 $\chi\pi/r$, хлороформ, 30° С) в $3~m\pi$ диоксана. Смесь перемешивали при 80° С в течение 5~r. Затем содержимое колбы переносили в роторный испаритель и испаряли диоксан в вакууме 200~mm рт ст при температуре водяной бани $60-70^{\circ}$ С. Полученный композит во избежание гидролиза хранили в эксикаторе над хлористым кальцием.

Полимеризация акрилоилхлорида на силикагеле. 2 r силикагеля помещали в раствор 12 $m\pi$ диоксана, содержащий 1.5 $m\pi$ акрилоилхлорида и 0.0083 r АИБН, нагревали в колбе c обратным холодильником в атмосфере инертного газа (аргона) при 70-80°С в течение 8 u. Затем раствор диоксана сливали, модифицированный силикагель быстро промывали (2(10 $m\pi$) сухим петролейным эфиром и сушили в вакууме при 50°С/10 $m\pi$ $p\tau$ $c\tau$.

Модификация силикагеля реакцией иммобилизованного на подложке полиакрилоилхлорида с нуклеофильными реагентами. В раствор сухого ДМФ с 2 r силикагеля с иммобилизованным полиакрилоилхлоридом, полученным по одной из вышеописанных методик, прибавляли 0.065 r мезо-тетра(4-N-оксиэтилпиридил)порфирин тетрахлорида или 5 m перегнанного анилина/метанола и 1.5 m триэтиламина (в случае анилина). Смесь выдерживали в течение 24 q при комнатной температуре. По истечении этого времени модифицированный силикагель отфильтровывали, отмывали выдержкой 24 q в метаноле, затем отмывали дистиллированной водой, этанолом и сушили в сушильном шкафу при 100°С до постоянного веса.

Модификация силикагеля полимеризацией мономеров акрилатного типа, содержащих порфириновый и металлопорфириновый циклы. В колбу Эрленмейера, снабженную обратным холодильником, помещали 60 m сухого ДМФ и при перемешивании на магнитной мешалке добавляли 0.150~r мезо-тетра(4-N-оксиэтилпиридил)порфирин тетрахлорида или его металлокомплекса с Cu^{2+} или Zn^{2+} , 3.0~m акрилоилхлорида и перемешивали в течение 5~r при $30\text{--}40^{\circ}\mathrm{C}$. Затем реакционную смесь переносили в круглодонную колбу, отгоняли непрореагировавший акрилоилхлорид в вакууме 200~m p r r при $40^{\circ}\mathrm{C}$.

5r силикагеля помещали в 50~mn полученной смеси, добавляли 0.1~r перекиси бензоила (ПБ) и нагревали в колбе с обратным холодильником при $80\text{-}100^{\circ}\text{C}$ в течение 7~r. Модифицированный силикагель отфильтровывали и нагревали в термошкафу при $180\text{-}190^{\circ}\text{C}$ в течение 10~r и затем отмывали спиртом, ДМФ, спиртом, дистиллированной водой и снова спиртом. Полученный сорбент сушили в сушильном шкафу при 100°C до постоянного веса.

Полимеризация мезо-тетра(4-пиридил)порфирина. 0.065~r мезо-тетра(4-пиридил)порфирина и 0.65~r йода растворили при перемешивании на магнитной мешалке в 50~m метанола. Затем реакционную смесь перенесли в фарфоровую чашку и на во-

дяной бане выпаривали метанол, затем возгоняли избыток йода. После этого остаток нагревали в термошкафу при 180° С в течение 12 ч. Затем отмывали этанолом (2х20 мл) и сушили при 100° С до постоянного веса. Полимер получен в виде порошка черного цвета.

Полимеризация мезо-тетра(4-пиридил)порфирина на силикагеле. $0.065\ r$ мезо-тетра(4-пиридил)порфирина и $0.60\ r$ йода растворили при перемешивании на магнитной мешалке в $100\ mn$ метанола. Затем реакционную смесь перенесли в фарфоровую чашку и поместили в раствор $2\ r$ силикагеля. На водяной бане выпаривали метанол, затем возгоняли избыток йода. После этого модифицированный силикагель нагревали в термошкафу при $100\text{-}110^{\circ}\text{C}\ 2\ r$ при $120\text{-}180^{\circ}\text{C}$ в течение $2\ r$ и при $180\text{-}190^{\circ}\text{C}$ в течение $15\ r$, отмывали горячим спиртом, дистиллированной водой и снова спиртом. Полученный сорбент сушили в термошкафу при 100°C до постоянного веса.

Полимеризация мезо-тетра(4-N-аллилпиридил)порфирина. 0.120~r мезо-тетра(4-N-аллилпиридил)порфирина и 1.350~r йода растворили при перемешивании на магнитной мешалке в 120~m метанола. Затем 30~m реакционной смеси перенесли в фарфоровую чашку, и на водяной бане выпаривали метанол, затем возгоняли избыток йода. После этого остаток нагревали в термошкафу при 160-200°C в течение 10~q. Затем отмывали этанолом (2(20~m) и сушили при 100°C до постоянного веса. Полимер получен в виде порошка черного цвета.

Полимеризация мезо-тетра(4-N-аллилпиридил)порфирина на силикагеле. В остаток реакционной смеси из предыдущего опыта (90 мл) помещали 2 г силикагеля и на водяной бане выпаривали метанол, затем возгоняли избыток йода. После этого модифицированный силикагель нагревали в термошкафу при 180-190°С в течение 12 ч, отмывали горячим спиртом, дистиллированной водой и снова спиртом. Полученный сорбент сушили в термошкафу при 100°С до постоянного веса.

Результаты и их обсуждение

Для получения силикагелей, содержащих иммобилизованные полипорфириновые молекулы, нами выбраны три направления: (1) получение порфирин- и металлопорфиринсодержащих многофункциональных полимеризационноспособных мономеров, содержащих акрилатные группы; (2) нанесение поли(акрилоилхлорида) на поверхность силикагеля или полимеризация мономерного акрилоилхлорида на поверхности силикагеля и дальнейшая реакция полимера, иммобилизованного на поверхности матрицы, с гидроксилсодержащими порфиринами по механизму нуклеофильного замещения; (3) полимеризация порфиринов на поверхности силикагеля в присутствии йода с образованием полимерных комплексов с переносом заряда с галогеном.

В работе использовали мезо-тетра(4-пиридил)-, мезо-тетра(4-N-оксиэтилпиридил)-, мезо-тетра(4-N-аллилпиридил)порфины и металлокомплексы порфиринов с Cu^{2+} и Zn^{2+} .

С целью получения полимеризационноспособных многофункциональных мономеров акрилатного типа, содержащих порфириновый и металлопорфириновые циклы, и дальнейшей модификации силикагеля полимерами на их основе, проведены реакции акрилоилхлорида в среде сухого ДМФ с мезо-тетра(4-N-оксиэтилпиридил)порфирин тетрахлоридом и его металлокомплексами (структура приведена ниже), являющимися нуклеофильными реагентами.

Затем в полученный раствор добавляли инициатор полимеризации - перекись бензоила, и при 80-100 С проводили полимеризацию образовавшегося акрилатного производного порфирина. Аналогичным образом проводили полимеризацию полученного акрилатного производного порфирина на силикагеле. По окончании полимеризации полученный композит подвергали термообработке при 180-190°С для дальнейшей полимеризации и сушки от растворителя, а затем отмывали последовательно этанолом, ДМФ, этанолом, дистиллированной водой, снова этанолом и окончательно сушили при 100°C до постоянного веса. В ИК-спектре полимера присутствуют сильная полоса поглощения С=О связи сложноэфирной группы в области 1720 *см*¹, полоса поглощения, характерная для порфиринового цикла в области 1630 *см*¹, которая присутствует также в спектре исходного мезо-тетра(4-N-оксиэтилпиридил)порфирина. В спектре мезо-тетра(4-N-оксиэтилпиридил)порфина присутствует полоса поглощения ОН-группы в области 3300-3400 *см*-¹ и полоса поглощения N-H на широкой полосе О-Н в области 3320 *см*⁻¹. В случае полимера присутствие значительно более слабой полосы поглощения ОН-групп связано с остаточными оксиэтильными группами, не вступившими во взаимодействие с акрилоилхлоридом.

Тестирование композитного сорбента в Н-форме показало 80% задержку ионов меди. Возможная структура полимера представлена ниже.

Другим методом модификации силикагеля порфиринсодержащими полимерами является нанесение полиакрилоилхлорида на поверхность силикагеля (случай а) или полимеризация мономерного акрилоилхлорида на поверхности силикагеля (случай б) и дальнейшая реакция полимера, фиксированного на поверхности матрицы, с мезо-тетра(4-N-оксиэтилпиридил)порфин тетрахлоридом по механизму нуклеофильного замещения. Радикальную полимеризацию акрилоилхлорида, в том числе на силикагеле, проводили в среде сухого диоксана в присутствии АИБН в качестве инициатора.

В обоих случаях имела место реакция полимерного хлорангидрида с силанольными группами силикагеля с образованием привитого к поверхности силикагеля полиакрилоилхлорида. Схема получения силикагеля с привитым полимером приведена на рис. 1:

Рис. 1. Схема прививки полиакрилоилхлорида к поверхности силикагеля.

Проведена реакция ненанесенного на силикагель полиакрилоилхлорида с нуклеофильными реагентами – метанолом и анилином. В ИК-спектре полимера на ос-

нове полиакрилоилхлорида, который был подвергнут дальнейшей реакции функционализации с анилином, присутствуют полосы поглощения замещенного бензольного кольца в областях 1598, 758 cm^{-1} , полосы поглощения C=O и амидной групп в областях 1716 и 1598 cm^{-1} (рис. 2).

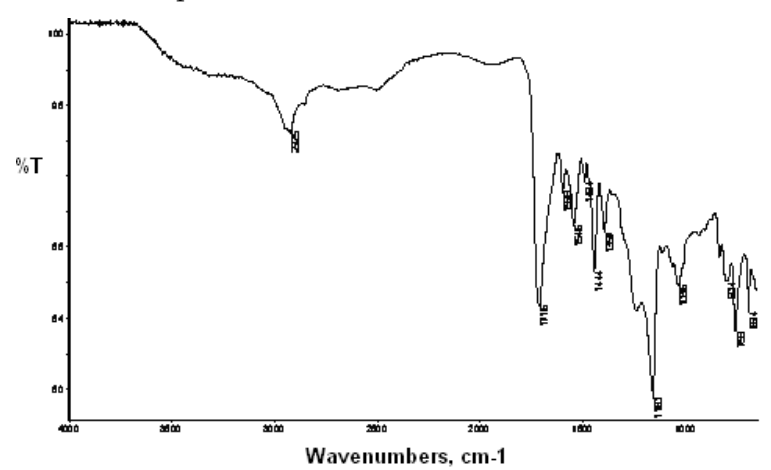


Рис. 2 ИК-спектр с Фурье преобразованием функционализованного анилином полиакрилоилхлорида, иммобилизованного на силикагеле.

Схема реакции приводится ниже.

Реакция полиакрилоилхлорида, полученного в растворе диоксана, с метанолом с образованием полиметилакрилата использована для определения выхода и молекулярной массы полиакрилоилхлорида. По величине средневязкостной молекулярной массы полиметилакрилата по уравнению Марка-Хаувинка [η]=3.221·10⁻⁴M^{0.678} оценивали молекулярную массу полиакрилоилхлорида (30°С, хлороформ), которая составляла ~15000 [12]. Полученные данные свидетельствуют о том, что иммобилизованный полиакрилоилхлорид на керамической подложке может служить хорошей и активной матрицей для дальнейшей функционализации хелатообразующими лиганда-

ми, в том числе порфиринами, содержащими нуклеофильные группы, в частности спиртовый гидроксил.

Реакцию полиакрилоилхлорида, иммобилизованного на поверхности силикагеля, с мезо-тетра(4-N-оксиэтилпиридил)порфирин тетрахлоридом проводили в растворе сухого ДМФ. По окончании реакции полученный композит отмывали метанолом, дистиллированной водой, спиртом и сушили до постоянного веса В результате реакции получали композит со структурой, близкой к структуре композита, полученного на основе мономера, синтезированного по реакции мезо-тетра(4-N-оксиэтилпиридил)порфин тетрахлорида с акрилоилхлоридом. В ИК-спектре полимера, как и в спектре исходного мезо-тетра(4-N-оксиэтилпиридил)порфирина, присутствуют полоса поглощения, характерная для порфиринового цикла в области 1630 см⁻¹, сильная полоса поглощения С=О связи сложноэфирной группы в области 1722 см⁻¹, полоса поглощения ОН-групп в области 3300-3400 см⁻¹, полоса поглощения N-H на широкой полосе О-H в области 3320 см⁻¹. Присутствие полосы поглощения ОН-групп связано с остаточными ОН-группами исходного порфирина, не вступившими во взаимодействие с полиакрилоилхлоридом. Тестирование композитного сорбента в Н-форме показало 75-80% задержку ионов меди.

Проведена модификация поверхности силикагеля полипорфиринами полимеризацией порфиринов в присутствии йода с образованием полимерных комплексов с переносом заряда (КПЗ) с йодом. Для исследования полимеризации и модификации подложки полипорфиринами использовали мезо-тетра(4-пиридил)порфирин и мезо-тетра(4-N-аллилпиридил)порфирина тетрахлорид.

Ранее Матнишяном и сотр. была показана возможность полимеризации ароматических соединений и, в частности пиррола, в присутствии йода с образованием полимерных КПЗ с йодом [13]. Поскольку порфирины содержат сопряженные в цикле пиррольные фрагменты, естественно было предположить, что полимеризация вышеуказанных порфиринов в присутствии йода будет протекать довольно активно. Полимеризацию порфиринов, в том числе и на силикагеле, осуществляли в присутствии многократного избытка йода при 180°С с дальнейшей тщательной отмывкой полученного полимерного КПЗ диметилформамидом, этанолом и дистиллированной водой от непрореагировавшего порфирина и йода.

Возможная структура полисопряженного полимера мезо-тетрапиридилпорфирина в виде КПЗ с йодом представлена ниже. В пользу полисопряженной структуры полимера говорит присутствие в полученном полимерном композите одиночного узкого сигнала ЭПР (ΔH =12.5 Oe, с g фактором, близким к значению для свободного электрона 2.0023) и значительное увеличение концентрации неспаренных электронов с $2.4\cdot10^{16}$ до $5.7\cdot10^{18}$ cпин/r в полимере по сравнению с исходным мезо-тетра(4-пиридил)порфирином. По данным анализа содержания йода в полимере, на одно элементарное звено в среднем приходится четыре атома йода.

Тестирование полученного композитного сорбента в H-форме показало 65-70% задержку ионов меди.

Аналогично проводили полимеризацию мезо-тетра(4-N-аллилпиридил)порфирин тетрахлорида в присутствии йода. При сравнении ИК- спектров исходного мезотетра(4-N-аллилпиридил)порфирин тетрахлорида и его полимерного комплекса с йодом обнаружено почти полное исчезновение сильной полосы поглощения С=С связей аллильной группы в области 1633 см и появление в спектре полимера слабой размытой полосы поглощения сопряженных двойных связей с максимумом в области $1620 \ cm^{-1}$. Полосы поглощения в областях 1594, $972 \ и 722 \ cm^{-1}$ более слабо выражены, чем в спектре исходного мономера, причем спектр полимера имеет сильное фоновое поглощение, что, вероятно, связано с образованием комплекса с переносом заряда йода с образовавшимся в результате полимеризации полисопряженным полимером. По всей вероятности, высокотемпературная полимеризация мезо-тетра(4-Nаллилпиридил)порфирин тетрахлорида в присутствии йода также протекает по механизму с участием пиррольных групп порфиринового цикла с образованием сопряженных полипорфириновых структур, о чем также свидетельствует повышение на два порядка концентрации парамагнитных центров в ЭПР спектре полимера по сравнению с исходным мономером. Исчезновение полосы поглощения С=С связей аллильной группы свидетельствует о параллельном протекании полимеризации с раскрытием двойных связей аллильной группы, приводящей, по всей вероятности, к дополнительному упрочнению полимерных покрытий. Тестирование сорбента в Нформе показало 80% задержку ионов меди.

Авторы выражают признательность Р.Казаряну, любезно предоставившему исходные порфирины для исследований.

ՄԻԼԻԿԱԺԵԼԻ ՄՈԴԻՖԻԿԱՑՈՒՄԸ ՊՈՐՖԻՐԻՆ ԵՎ ՄԵՏԱՂՊՈՐՖԻՐԻՆ ՊԱՐՈՒՆԱԿՈՂ ՊՈԼԻՄԵՐՆԵՐՈՎ

Հ. Գ. ԲԱԼԱՑԱՆ, Մ. Գ. ԳՐԻԳՈՐՑԱՆ, Ա. Գ. ԲԱԼԵԿԱԵՎ և Լ. Է. ՏԿԱՉԵՆԿՈ

Կատարված է սիլիկաժելի մոդիֆիկացումը պոլիակրիլոիլքլորիդով, նպատակ ունենալով հետագա ֆունկցիանալիզացիան քելատգոյացնող պորֆիրին պարունակող խմբերի հետ։ Ուսումնասիրված է սիլիկաժելի մոդիֆիկացիան բազմաֆունկցիոնալ ակրիլատ տիպի մոնոմերների պոլիմերիզացիայով, որոնք ստացված են եղել մեզոտետրա(4-N-օքսիէթիլպիրիդիլ)պորֆիրինի և վերջինիս Cu²+ և Zn²+ պարունակող մետաղակոմպլեքսների ռեակցիայով ակրիլոիլ քլորիդի հետ։ Առաջին անգամ իրականացվել է պորֆիրինների պոլիմերիզացիան յոդի առկայությամբ և սիլիկաժելի մոդիֆիկացիան ստացված պոլիմերներով։ ԻԿ և ԷՊՐ սպեկտրալ տվյալների հիման վրա ցույց է տրված, որ ստացված պոլիմերներն ունեն պոլիզուգորդված կառուցվածք։ Ստացված կոմպոզիտ սորբենտները թեստավորված են նրանց պղնձի իռնների պահելու ունակությամբ։

SILICA GEL MODIFICATION BY PORPHYRIN-AND METALLOPORPHYRIN-CONTAINING POLYMERS

H. G. BALAYAN, S. G. GRIGORYAN, A. G. BALEKAYEV and L. E. TKACHENKO

The Scientific Technological Centre of Organic and Pharmaceutical Chemistry NAS RA

A.L.Mnjoyan Institute of Fine Organic Chemistry
26 Azatutyan ave., Yerevan, 0014, Armenia

Fax: (374 – 10)285291, E – mail: balg@arminco.com

Silica gel modification with poly(acryloylchloride) was carried out for further functionalization by porphyrin containing chelating groups. Acryloyl chloride radical polymerization on silica gel and further reactions of the resultant poly(acryloylchloride) with nucleophilic reagents: aniline, methanol and meso-tetra(4-N-hydroxyethylpyridyl) porphyrin tetrachloride have been studied. Silica gel modification was carried out by polymerization of acrylate type multifunctional monomers obtained by the reaction of meso-tetra(4-N-hydroxyethylpyridyl)porphyrin and its Cu²+ and Zn²+ metallocomplexes with acryloyl chloride. For the first time porphyrins polymerization in the presence of iodine and silica gel modification by the synthesized polymers were carried out. On the basis of FTIR and ESR spectral data it has been shown that the obtained polymer complexes with iodine have polyconjugated structure. The synthesized composite sorbents were tested on copper ions retention.

ЛИТЕРАТУРА

- [1] Uno T., Hamasaki K., Tanigawa M., Shimbayashi S. // Inorg. Chem., 1997, v. 36, p.1676.
- [2] Amirshahi N., Orlova M. // Chromatographia, 2008, v. 68, №3-4, p. 295.
- [3] *Morales-Royas H., Kool E.* // Org. Letters, 2002, v.25, №4, p. 4377.
- [4] Bettelheim A., Soifer L., Korin E. // J. Electroanalytical Chemistry, 2004, v.571, p. 265.
- [5] Armijo F., Ferraudi G., Isaacs F., Aguirre M.J, Costamagna J. // Inorg. Chim. Acta, 2006, v. 359, p. 2281.
- [6] US Patent 6429310, 2002.

- [7] Longo F.R., Finarelli M.G., Kim J.B. // J.Heterocycl.Chem., 1969, v. 6, p. 927.
- [8] Патент РА №1714, 2006.
- [9] *Гордон А., Форд Р.* Спутник химика. М., Мир, 1972, с. 437.
- [10] Сёренсен У., Кемпбел Т. Препаративные методы химии полимеров. М., ИЛ, 1963, с. 220.
- [11] Балаян Г.Г, Григорян С.Г., Мартиросян Р.С., Айвазян Г.М., Ткаченко Л.Э. // ЖПХ, 2008, т.81, №5, с. 809.
- [12].*Егорова Г.Г., Мигунова И.И., Мухина И.В., Гирбасова Н.В., Билибин А.Ю. //* ЖПХ, 2002, т. 75, №1, с. 125
- [13] *Матнишян А.А., Григорян С.Г., Арзуманян А.М., Никогосов В.Н., Григорян Л.С., Арутюнян И.Л., Асатрян Р.С., Айвазян Т.М., Манукян А.Л., Матевосян Р.О.* // Арм.хим.ж., 1985, т.38, №9, с.590.

ՀԱՅԱՍՏԱՆԻ ՀԱՆՐԱՊԵՏՈՒԹՅԱՆ ԳԻՏՈՒԹՅՈՒՆՆԵՐԻ ԱԶԳԱՅԻՆ ԱԿԱԴԵՄԻԱ НАЦИОНАЛЬНАЯ АКАДЕМИЯ НАУК РЕСПУБЛИКИ АРМЕНИЯ

Հայաստանի քիմիական հանդես 62, №1-2, 2009 Химический журнал Армении

ПИСЬМА В РЕДАКЦИЮ

УДК 661.887.27:536.717

СИНТЕЗ НОВОГО СОЕДИНЕНИЯ Ва $Bi_{10}B_6O_{25}$ В СИСТЕМЕ ВаO- Bi_2O_3 - B_2O_3

Исследования щелочно-земельных висмут боратов находятся в центре внимания различных известных международных исследовательских групп благодаря их ценным свойствам. ВаВіВО4 –первый бариевый висмут борат, обнаружили и описали в 2005 г. Барбье с соавторами [1]. Егорышева с соавторами синтезировали и охарактеризовали в 2006 г. еще три бариевых висмут бората - ВаВі2В4О10, ВазВіВзО9 и ВаВіВ11О19 [2]. Как результат исследования диаграмм стеклообразования и состояния системы ВаО-ВігОз-ВгОз - синтезированный нами в 2008 г. пятый бариевый висмут борат ВаВізВ2О7. В продолжение исследования системы ВаО-Bi₂O₃-B₂O₃ нами были изучены составы, содержащие(мол.%) 25-50B₂O₃, 0-25 BaO и 50-70 Ві2Оз. Из исходных реактивов "х.ч." и "ос.ч." ВаСОз, НзВОз и Ві2Оз в электрической печи при 900°C были сварены стёкла в тиглях из прозрачного кварцевого стекла и проведен их дериватографический анализ. На температурах максимумов экзотермических эффектов проведены термообработки порошков стекол и РФА продуктов их кристаллизации. Установлено наличие максимума на кривой температуры ликвидуса для состава, содержащего (мол.%) ВаО-11.1, Bi₂O₃-55.5, B₂O₃-33,3, свидетельствующего об образовании химического соединения, плавящегося конгруэнтно при 690°C. Кристаллизацией стекла данного состава по режиму 640°С в течение 24 ч было синтезировано и идентифицировано новое соединение ВаВі₁₀В₀О₂₅ (табл.).

Рентгеновские характеристики ВаВі10В6О25

						-	•				
2	dexp.	J/J_{o}	$N_{\underline{0}}$	dexp.	J/J_{o}	$N_{\underline{0}}$	dexp.	J/J_{o}	No	dexp.	J/J_o
	5,491	21	7	3,581	25	13	3,044	72	19	2,485	22
	5.125	10	8	3,558	14	14	2,988	33	20	2,452	16
	4.262	12	9	3,378	13	15	2,932	12	21	2,352	15
	3.965	17	10	3,307	32	16	2,838	14	22	1,984	16
	3.934	21	11	3,179	17	17	2,530	13	23	1,973	23
	3.876	27	12	3,098	100	18	2,517	22	24	1,838	28

№

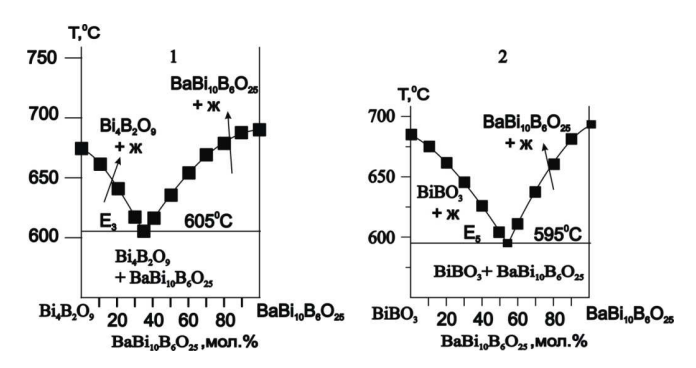


Рис. Фазовые диаграммы псевдобинарных систем $Bi_4B_2O_9$ - $BaBi_{10}B_6O_{25}$ (1) и $BiBO_3$ - $BaBi_{10}B_6O_{25}(2)$.

Построенные фазовые диаграммы в псевдобинарных системах $Bi_4B_2O_9$ - $BaBi_{10}B_6O_{25}$ и $BiBO_3$ - $BaBi_{10}B_6O_{25}$ подтвердили наличие нового соединения $BaBi_{10}B_6O_{25}$.

ՆՈՐ BaBi10B6O25 ሆኮԱՅՈՒԹՅԱՆ ՍԻՆԹԵՉ BaO-Bi2O3-B2O3 ՀԱՄԱԿԱՐԳՈՒՄ Մ. Ռ. ՀՈՎՀԱՆՆԻՍՅԱՆ

Bi4B2O9-BaBi10B6O25 և BiBO3-BaBi10B6O25 կեղծ բինար համակարգերի հետազոտման արդյունքում բացահայտվել է նոր եռկոմպոնենտ միացություն` BaBi10B6O25:

SYNTHESIS OF NEW BaBi₁₀BO₂₅ COMPOUND IN THE BaO-Bi₂O₃-B₂O₃ SYSTEM

M. R. HOVHANNISYAN

Scientific Production Enterprise of Material Science 17 Charents st., 0025, Yerevan, Armenia Fax: (374-10)551801, E-mail: martun_h@yahoo.com

New ternary $BaBi_{10}B_6O_{25}$ compound has been revealed as result of the pseudo-binary $Bi_4B_2O_9$ - $BaBi_{10}B_6O_{25}$ and $BiBO_3$ - $BaBi_{10}B_6O_{25}$ systems phase diagrams investigation.

ЛИТЕРАТУРА

- [1] Barbier, J., Penin, N., Denoyer, A., Cranswick, L. M.D. // Solid State Science, 2005, v.7, p.1055.
- [2] *Егорышева А.В., Скориков В.М., Володин В.Д., Мыслицкий О.Е., Каргин Ю.Ф.* // ЖНХ, 2007, т.52, №11, с. 1774.

Научно-исследовательское

м. Р. ОГАНЕСЯН

и производственное предприятие материаловедения Армения, 0025, Ереван, ул. Чаренца, 17

Φaκc: (374-10)551801, E-mail:hovhannisyan@netsys.am

Поступило 2 IV 2009

ՀԱՅԱՍՏԱՆԻ ՀԱՆՐԱՊԵՏՈՒԹՅԱՆ ԳԻՏՈՒԹՅՈՒՆՆԵՐԻ ԱԶԳԱՅԻՆ ԱԿԱԴԵՄԻԱ НАЦИОНАЛЬНАЯ АКАДЕМИЯ НАУК РЕСПУБЛИКИ АРМЕНИЯ

Հшјшиտшնի рիմիшկшն ншићци 62, №1-2, 2009 Химический журнал Армении

УДК 547.26"118

НУКЛЕОФИЛЬНОЕ ПРИСОЕДИНЕНИЕ ПИРИДИНА К ВИНИЛПИРИДИНИЕВЫМ СОЛЯМ

Известно, что винилфосфониевые и -сульфониевые соли легко реагируют с нуклеофилами с образованием соединений с β -замещенной этильной группой. Об аналогичных реакциях в виниламмониевых солях в литературе до последнего времени не было достоверных данных. Инертность виниламмониевых солей в этих реакциях объяснялась с точки зрения d-орбитального резонанса, т.е. стабилизацией промежуточно образующихся α -карбанионов в случее производных фосфония и сульфония мезомерной иленовой формой, что в случае виниламмониевых соединений невозможно [1].

Недавно нами было установлено, что трифенилфосфин присоединяется по двойной связи винилпиридиневых солей с образованием в результате дальнейших трансформаций 1,2- $\mathit{бис}$ (трифенилфосфонийгалогенидо)этанов, а в случае винил-3,5-дибромпиридинийгалогенидов — также продуктов стивенсовской перегруппировки с участием двойных связей пиридиниевого кольца [2].

Была осуществлена также реакция винилпиридинийгалогенидов с пиридином в ацетонитриле, приведшая к 3-пиридинийгалогенидоакриловым кислотам. Для ее образования были предложены две схемы, одна из которых включала нуклеофильное присоединение, вторая – образование пиридиниевого бетаина с отрицательным зарядом в β-положении винильной группы [2].

В продолжение этих исследований в настоящей работе в продуктах реакции винилпиридиний бромида с пиридином были обнаружены илид, образовавшийся в результате нуклеофильного присоединения пиридина на первой стадии реакции, и продукт его стивенсовской перегруппировки.

При добавлении к полученной смеси йодистого метила и нагревании был получен йодметилат продукта стивенсовской перегруппировки согласно схеме:

В продуктах реакции не был обнаружен продукт С-йодметилирования илида. Отсутствие продукта С-алкилирования илида находится в полном соответствии с литературными данными об инертности пиридиниевых илидов в этих реакциях [3].

Полученные данные однозначно свидетельствуют в пользу приведенной выше схемы нуклеофильного присоединения и в случае пиридина. Таким образом, нами впервые получены достоверные экспериментальные данные в пользу возможности нуклеофильного присоединения пиридина к винилпиридиниевым солям.

Экспериментальная часть

Спектры ЯМР получены на спектрометре фирмы «Varian Mercury -300» с частотой 300 $M\Gamma u$ на ядре 1 Н при температуре 303 K. Химические сдвиги приведены относительно сигнала ТМС как внутреннего стандарта для ЯМР 1 Н спектров.

Взаимодействие винилпиридиний бромида с пиридином. Смесь 0,56 r (0,003 mоля) винилпиридиний бромида и 0,24 r (0,003 mоля) пиридина в 5 mл ацетонитрила кипятили в течение 40 q. Из реакционной смеси после фильтрования β -пиридинийбромидоакриловой кислоты ацетонитрильный фильтрат выливали в эфир, образовавшийся осадок отфильтровывали, промывали эфиром, высушивали в вакууме.

Получили $0.5\ r$ смеси илида 1 и продукта его стивенсовской перегруппировки 2 в соотношении 1:1.

Спектр ЯМР 1 Н илида (ДМСО- d_6 /СС l_4 , 1:3), δ , м. д., Ј, Γu : 4.55 д. д (1H, CH, J=13.1 и 6.5), 4.80 д. д (H, CH $_2$, J=9.0 и 4.6), 5.10 д. д (H, CH $_2$, J=13.1 и 4.6), 8.22 д. д. (2H, J=7.8 и 6.4, мета-H, пиридин), 8.27 д. д (2H, J=7.8 и 6.4, орто-H, пиридин), 8.68 т. т (1H, J=7.8 и 1.2, пара-H, пиридин), 8.72 т. т (1H, J=7.8 и 1.2, пара-H, пиридин), 9.34 д. д (2H, J=6.4 и 1.1, орто-H, пиридин), 9.40 д. д (2H, J=6.4 и 1.1, орто-H, пиридин).

Спектр ЯМР ¹Н продукта стивенсовской перегруппировки **2** (ДМСО-d₆/ССl₄, 1:3), δ , м. д., J, Γ μ : 2.60 д (2H, CH₂, J=7.1), 3.90 т (2H, CH₂, J=7.1), 7.08-8,0 м (3H, 3-, 4- и 5-H, пиридин), 8.25 д. д (2H, J= 7.8 и 6.4, opmo-H, пиридин), 8.55 д. д (1H, J=6.0 и 1.5, 6-H, пиридин), 8.76 т. т (1H, J=7.8 и 1.2, napa-H, пиридин), 9.33 д. д (2H, J=6.4 и 1.1, орто-H, пиридин).

Взаимодействие смеси, полученной из винилпиридиний бромида и пиридина, с метил-йодидом. К 0,5 r смеси добавляли тройное мольное количество раствора метилйодида в ацетонитриле, кипятили 6-7 q. Ацетонитрильный фильтрат выливали в эфир, образовавшиеся кристаллы отфильтровывали, промывали эфиром, высушивали в вакууме. Получили 0,3 r смеси соединений $\mathbf{1}$ и $\mathbf{3}$. Спектр ЯМР 1 Н илида совпадает с приведенным выше.

Спектр ЯМР ¹Н соединения **3** (ДМСО- d_6 /ССl₄, 1:3), δ , м. д., Ј, Γ μ : 3.18 д (2H, CH₂, J=7.1), 4.35 с (3H, CH₃), 4.80 т (2H, CH₂, J=7.1), 8.17-8.75 м (3H, 3-, 4- и 5-H, пиридин и opmo-H, пиридин), 8.79 т. т (1H, J=7.8 и 1.2, napa-H, пиридин), 9.35 д. д (2H, J=6.4 и 1.1, opmo-H, пиридин), 9.41 д. д (1H, J=6.0 и 1.5, 6-H, пиридин).

ՊԻՐԻԴԻՆԻ ՆՈՒԿԼԵՈՖԻԼ ՄԻԱՑՈՒՄԸ ՎԻՆԻԼՊԻՐԻԴԻՆԻՈՒՄԱՅԻՆ ԱՂԵՐԻՆ

ቡ. Ջ. ԽԱՉԻԿՅԱՆ, Գ. Վ. ԱՄԱՏՐՅԱՆ, Մ. Հ. ԻՆՃԻԿՅԱՆ և Հ. Հ. ՄԻՄՈՆՅԱՆ

Վինիլպիրիդինիումային հալոգենիդերին պիրիդինի նուկլեոֆիլ միացման օգտին ստացվել են Ճշգրիտ էքսպերիմենտալ տվյալներ։

NUCLEOPHILIC JOINING OF PYRIDINE TO VINYLPYRIDINIUM SALTS

R. J. KHACHIKYAN, G. V. ASATRYAN, M. H. INJIKIAN and H. H. SIMONYAN

The Scientific Technological Center of Organic and Pharmaceutical Chemistry NAS RA

Institute of Organic Chemistry 167^a Z. Sarkavag str., Yerevan, 0091, Armenia

Reliable experimental data have been obtained in support of nucleophilic joining of pyridine to vinylpyridiniumbromide.

ЛИТЕРАТУРА

- [1] Von Doering W.E., Schreiber K.C. // J.Am.Chem.Soc., 1955, v.77, p.514.
- [2] $\it X$ ачикян Р.Дж., Давтян С.Л., Инджикян М.Г. // ЖОХ, 2008, т.78, вып.7, с.1219.
- [3] Krohake F., Gerlach K., Schnatke K.E. // Chem. Ber., 1962, v. 95, p. 1118.

Научно-технологический центр органической и фармацевтической химии НАН Республики Армения

Р. Дж. ХАЧИКЯН Г. В. АСАТРЯН М. Г. ИНДЖИКЯН А. Г. СИМОНЯН

Институт органической химии Армения, 0091, Ереван, ул. 3. Саркавага, 167^a Поступило 26 XII 2008

ՀԱՅԱՍՏԱՆԻ ՀԱՆՐԱՊԵՏՈՒԹՅԱՆ ԳԻՏՈՒԹՅՈՒՆՆԵՐԻ ԱԶԳԱՅԻՆ ԱԿԱԴԵՄԻԱ

НАЦИОНАЛЬНАЯ АКАДЕМИЯ НАУК РЕСПУБЛИКИ АРМЕНИЯ

Հшјшиտшնի рիմիшկшն ншићи 62, №1-2, 2009 Химический журнал Армении

УДК 547.491.8+547.872

НОВЫЙ ХЕЛАТНЫЙ КОМПЛЕКС Ni (II)

Интерес к металлсодержащим мономерам прежде всего обусловлен тем, что полимеры, полученные на их основе, обладают высокой тепло- и морозостойкостью. Многие их представители отличаются также фунгицидностью, бактерицидностью и могут быть носителями каталитических систем при органическом синтезе.

В литературе известны [1-3] металлсодержащие мономеры ионного типа. Синтезированные на их основе полимеры являются полиэлектролитами анионного типа и, в частности, находят применение при очистке сточных вод от ионов металлов постоянной и переменной валентности.

В литературе практически отсутствуют работы по водорастворимым металлсодержащим хелатным комплексам, которые могут совместно с водорастворимыми мономерами использоваться при получении сшитых водонабухающих экологически чистых полимеров прикладного назначения.

Нами впервые в водной среде синтезирован хелатный комплекс Ni(II), содержащий ненасыщенные группы, путем взаимодействия монометилолакриламида с $NiCl_2$ в реакционной среде с pH 8.0(8.5 при температуре $55-60^{\circ}$ C. Время взаимодействия вышеуказанных реагентов – 2.5-3 ч.

Комплекс (бис-метоксиакриламидилникель) выделяли из водной среды вакуумной перегонкой (2,5-3 мм рт ст) при $30 \div 35$ оС. Полученную зеленую массу неоднократно промывали спирто-ацетоновой (1:1) смесью и высушивали в вакуумном сушильном шкафу (1,5-2 мм рт ст) при $50 \div 55$ оС. Следует отметить, что при плавлении идет термическая полимеризация комплекса с образованием пространственно сшитого полимера. Комплекс растворяется в воде, этиловом спирте, ДМФА, ДМСО и др.

Вышеуказанный комплекс исследован ИК-, ЯМР-спектроскопией и элементным анализом. ИК-спектр, v, $c m^1$: 550-620 (Ni-O); 1150-1230 (-CH₂O-); 1645-1650 (CH₂=CH-); 1685-

4.57 т (4H, 2 >NCH₂O); 6.46-6,5 и 6.57-6.68 с (2H, 2 >NH-); 5.0-5.36 м (4H; 2 =CH₂). Найдено, %: С 36.9; H 4.7; N 10.7; Ni 22.9. Вычислено, %: С 37.06; H 4.63; N 10.81; Ni 22.8.

Ni (II) ՀԻՄԱՆ ՎՐԱ ՆՈՐ ԽԵԼԱՏԱՅԻՆ ԿՈՄՊԼԵՔՍ

ዓ. Վ. ՀԱԿበԲՑԱՆ

Մոնոմեթիլոլակրիլամիդի և Ni (II) հիման վրա սինթեզվել է նոր տիպի խելատային կոմպլեքս։ Ստացված կոմպլեքսը ուսումնասիրվել է ԻԿ-, ՄՄՌ-սպեկտրոսկոպիկ և էլեմենտների անալիզի մեթոդներով։

THE NEW CHELATE COMPLEX ON THE BASIS OF Ni (II)

G. V. HAKOBYAN

Kh. Abovyan Armenian State Pedagogical University 5 Khanjan str., Yerevan, 0010, Armenia E-mail: Hakobyanlusi@yahoo.com

On the basis of monomethylolacrylamide and Ni (II) complex of chelate type has been synthesized. The synthesized complex was investigated by IR, NMR-spectra and elemental analysis.

ЛИТЕРАТУРА

- [1] Zurakowska-Orszagh J., Skupinska J., Sushan K. // Polymery, 1985, v.30, 15, p.185.
- [2] Порай-Кошиц М.А. Итоги науки и техники. М., Кристаллохимия, ВИНИТИ, 1981, т.15, с.3.
- [3] Помогайло А.Д., Савостьянов В.С. Металлсодержащие мономеры и полимеры на их основе. М., Химия, 1988, с.36.

Армянский государственный педагогический университет им. Х.Абовяна Армения, 0010, Ереван, ул. Ханджяна, 5 E-mail: Hakobyanlusi@yahoo.com

Поступило 30 III 2009

Г. В. АКОПЯН

Вниманию авторов!

Подробную информацию о **«Химическом журнале Армении»**, содержание номеров журнала в графической форме и аннотации статей, годовые предметные и авторские указатели, а также правила для авторов, публикуемые в каждом первом номере журнала, с приложениями можно получить в сети Интернет по адресу: http://chemjournal.sci.am

ПРАВИЛА ДЛЯ АВТОРОВ

1. Общие положения

1.1. К публикации в «*Химическом журнале Армении*» принимаются материалы, содержащие результаты оригинальных исследований, оформленные в виде **полных статей, кратких сообщений и писем в редакцию.**

Журнал публикует работы **по всем направлениям химической науки**, в том числе по общей и неорганической химии, физической химии и химической физике, органической химии, металлоорганической и координационной химии, химии полимеров, химии природных соединений, биоорганической химии и химии материалов. Опубликованные материалы, а также материалы, представленные для публикации в других журналах, к рассмотрению не принимаются.

1.2. **Авторские обзоры** должны представлять собой обобщение и анализ результатов цикла работ одного или нескольких авторов по единой тематике.

Полные статьи принимаются объемом до 12 страниц, объем **краткого сообщения** — не более 5 страниц машинописного текста. **Письма в редакцию** должны содержать изложенные в краткой форме научные результаты принципиально важного характера, требующие срочной публикации; объем письма в редакцию — не более 3 страниц машинописного текста. Редакция оставляет за собой право сокращать статьи независимо от их объема.

- 1.3. В разделе **Информация** публикуются сообщения о деятельности академических отделений и учреждений химического профиля, материалы о конференциях по химии, национальных и международных фондах поддержки фундаментальной науки, научных и научно-технических программах, конкурсах и премиях по химии, международном сотрудничестве в области химии.
 - 1.4. Журнал публикует работы независимо от гражданства и ведомственной принадлежности авторов.
- 1.5. **Для публикации** статьи авторам необходимо представить в редакцию следующие **материалы** и **документы**:
 - 1) направление от организации (в 1 экз.);
 - 2) экспертное заключение (для граждан РА) (в 1 экз.);
- 3) подписанный всеми авторами текст статьи, включая аннотацию, таблицы, рисунки и подписи к ним (все в 2-х экз.) (см. пп. 2.1, 2.2 и Приложение 1);
 - 4)графический реферат (в 2-х экз., см. п. 2.4 и Приложение 2);
- 5) файлы всех материалов (предоставляются на дискете, компакт- или флэш-диске или направляются по электронной почте по appecy: chemjournal@ sci.am, см. Приложения 3 и 4);
- 1.6. Авторам со дня поступления рукописи в редакцию направляется уведомление о ее получении с указанием даты поступления и регистрационного номера статьи.
- 1.7. Статья должна быть написана сжато, аккуратно оформлена и тщательно отредактирована. Не допускается дублирование одних и тех же данных в таблицах, на схемах и рисунках.
- 1.8. Автор несет полную ответственность за достоверность экспериментальных данных, приводимых в статье.
 - 1.9. Все статьи, направляемые в редакцию, подвергаются рецензированию и научному редактированию.
- 1.10. Статья, направленная авторам на доработку, должна быть возвращена в исправленном виде вместе с ее первоначальным вариантом в максимально короткие сроки. К переработанной рукописи необходимо приложить письмо от авторов, содержащее ответы на все замечания и комментарии и поясняющее все внесенные изменения, а также файлы переработанного варианта статьи. Статья, задержанная на исправлении более двух месяцев или требующая повторной переработки, рассматривается как вновь поступившая.

В публикуемой статье приводятся первоначальная дата поступления рукописи в редакцию и дата принятия рукописи к печати после переработки.

1.11. Редакция посылает автору перед набором для проверки отредактированный экземпляр статьи, корректуру, а также верстку. Изменения и дополнения в верстке не допускаются.

2. Структура публикаций

- 2.1. Публикация обзоров, полных статей и кратких сообщений начинается с индекса УДК, затем следуют заглавие статьи, инициалы и фамилии авторов, развернутые названия научных учреждений, полные почтовые адреса с индексами почтовых отделений, номера факсов и адреса электронной почты. Далее приводится краткая аннотация (не более 20 строк) с указанием конкретных результатов работы и вытекающих из них выводов.
- 2.2. В статьях теоретического и физико-химического характера приводятся сжатое введение в проблему и постановка задачи исследования, экспериментальная или методическая часть, обсуждение полученных результатов с заключением, а в статьях, посвященных синтезу, общая часть (введение и задача исследования), обсуждение полученных результатов с заключением и экспериментальная часть. В конце статьи на отдельных страницах даются список литературы, рисунки, подписи к ним и таблицы. Рисунки с подрисуночными подписями и таблицы также могут быть введены в текст. В письмах в редакцию аннотация на русском языке не приводится и разбивка на разделы не требуется; даются индекс УДК, название статьи, инициалы и фамилии авторов, название научных учреждений на русском и английском языках.
- 2.3. Графический реферат прилагается на отдельной странице 120х55 мм и представляет собой **информативную иллюстрацию** (ключевую схему, структуру соединения, уравнение реакции, график и т.п.), которая отражает суть статьи в **графическом** виде (см. Приложение 2). Текст в графическом реферате допускается только в случае крайней необходимости, при этом следует избегать дублирования названия статьи и текста аннотации.
- 2.4. Кроме русского текста, на отдельной странице приводятся инициалы и фамилии авторов в английской транскрипции.

При несоблюдении указанных выше правил статья может быть возвращена авторам.

Приложение 1

Пример оформления заглавия статьи, списка авторов, адресов учреждений, аннотации.

УДК.....

АСИММЕТРИЧЕСКИЙ СИНТЕЗ β -ГЕТЕРОЦИКЛИЧЕСКИ ЗАМЕЩЕННЫХ L- α -АМИНОКИСЛОТ

А. С. Сагиян, в Ю. Н. Белоконь и К. Фишер в

^а Ереванский государственный университет, Армения, 0049, Ереван, ул. А. Манукяна, 1 Факс: (374-10)559355 E-mail:sagysu@netsys.am ⁶ Институт элементоорганических соединений им. А. Н. Несмеянова Российской академии наук, Российская Федерация, 119991, Москва, ул. Вавилова, 28. Факс: (495) 135 6549. E-mail: yubel@ineos.ac.ru

^в Институт органического катализа IFOK Университета г. Росток, Германия, Росток, Д-180055, Бухбиндер штрассе,5-6. Факс: Е-mail:

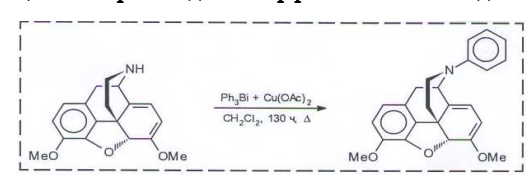
Разработан новый эффективный метод асимметрического синтеза β-гетероциклически замещенных L-α-аминокислот посредством присоединения 3-амино-1,2,4-тиадиазола и 5-меркапто-1,2,4-триазолов, содержащих различные заместители в положениях 3 и 4, к C=C связи Ni(II) комплекса с основанием Шиффа дегидроаланина и (S)-2-N-(N'-бензилпролил)амино-бензофенона.

Элемент содержания журнала, включающий графический реферат

Синтез *N*-фенилзамещенных производных морфиновых алкалоидов

С. К. Моисеев, И. В. Баханова, Г. Шмидхаммер, В. Н. Калинин

Хим.ж.Армении, 2008, c.595



т. 61, №. 2,

Приложение 3

Правила подготовки файлов статей на компьютере

При подготовке материалов для журнала с использованием компьютера рекомендуются следующие программы и форматы файлов:

Текстовые редакторы: Microsoft Word for Windows.

Графические материалы: Растровые рисунки должны предоставляться в формате TIFF с разрешением не менее 300 dpi для черно-белых фотографий (256 оттенков серого, grayscale) и не менее 600 dpi для тоновых рисунков (black and white, bilevel). *Векторные рисунки* (не диаграммы) обязательно должны предоставляться в формате WMF, EPS, CorelDraw (предпочтительно в формате версии 9.0), Adobe Illustrator.

Диаграммы предоставляются в формате SigmaPlot (версии 5.00 или более ранние), Microsoft Excel, Origin для Windows (до версии 5.0).

Химические структуры: ChemWindow, ISIS Draw, ChemDraw — только встроенные в текст, без приложения отдельных файлов.

Пространственные структуры по данным РСА: в формате HPGL строго без каких-либо текстовых надписей.

Не рекомендуется пользоваться при работе программой Microsoft Graph (поставляется с Microsoft Word) из-за низкого качества.

Нельзя пользоваться программами PaintBrush из Windows или Paint из Windows 95, Microsoft Draw (поставляется с Microsoft Word). Для подготовки публикации редакции необходим авторский файл рукописи (и файлы всех ее последующих модификаций) с вставленными иллюстрациями. Для предотвращения возможного несовпадения шрифтов и исключения проблем при чтении рисунков электронную версию желательно также дополнить файлом в формате PDF, полученным с включением всех шрифтов и иллюстраций. В случае большого объема файлов принимаются архивированные файлы в форматах ZIP или RAR. Не следует присылать самораспаковывающиеся архивы, так как они могут быть не пропущены почтовой программой и требуют обязательной проверки антивирусными средствами. Имена файлам рекомендуется присваивать по правилам DOS: с использованием только латинских букв и цифр, 8 символов — имя и три — расширение. Шифры соединений имеют начертание Bold, все переменные — начертание Italic.

Описание дискеты

Приложение 4

Номер статьи: ______ (заполняется в редакции) Автор, отвечающий за переписку: _____

Телефон:

Факс:
E-mail:
Программа Версия
Текстовые редакторы:
□Microsoft Word for Windows
□Microsoft Word for DOS
□Word Perfect for DOS
□Word Perfect for Windows
□Другая
Графические программы:
□CorelDraw
□ Adobe Illustrator
□Free Hand
□Microgafx Designer
□ AutoCAD
□Другая
Диаграммы: □SigmaPlot □Microsoft Excel □Origin для Windows □Другая
Химические структуры:
ChemWindow
□ISIS Draw
ChemDraw
□Другая
Имена файлов:
На данной дискете находятся файлы с окончательной версией статьи; их содержание в точности соответствует напечатанной версии статьи. Дискета проверена программой-антивирусом, версия
Дата:
Подпись:

Приложение 5

Оформление статей в «Химическом журнале Армении»

- 1. Текст статьи печатается **через 1,5 интервала** (без помарок и вставок) на белой бумаге стандартного размера (формат A4, 210x297 мм) с полями 3 см с левой стороны, 1,5 см с правой стороны, 2,5 см сверху, 2,5 см снизу, **размер шрифта 12**.
- 2. Наряду с напечатанным текстом в редакцию предоставляется текст статьи на IBM-совместимой дискете любого формата. В названии файлов используются только латинские буквы. Основные рекомендации для компьютерной подготовки статей авторами приведены в Приложении 3; форма с описанием содержимого дискеты (имена файлов, использованные программы и номера их версий) в Приложении 4.
- 3. Все страницы рукописи, включая список литературы, таблицы, подписи к рисункам и графический реферат, нумеруются.

- 4. Уравнения, схемы, таблицы, рисунки и ссылки на литературу нумеруются **в по-** рядке их упоминания в тексте.
- 5. Рисунки прилагаются отдельно (или в тексте) в 2-х экз. Полутоновые фотографии предоставляются на белой глянцевой бумаге. Для рисунков, подготовленных с использованием компьютера, необходимо предоставить графические файлы (см. Приложения 3 и 4). Обозначения осей координат и все надписи на рисунках даются на русском или английском языках. На обороте рисунков простым карандашом указываются фамилии авторов, номер рисунка и номер соответствующей ему страницы в рукописи, а в тексте рукописи на полях место соответствующего рисунка. Не следует приводить в виде рисунков данные, которые могут быть кратко отображены в таблице или тексте (спектральные частоты, максимумы поглощения, химические сдвиги и т.п.), а также не несущие специальной смысловой нагрузки обзорные спектры. Рисунки необходимых спектров не должны быть выполнены от руки.
- 6. Химические и физико-математические символы должны быть **набраны на** компьютере.

Структурные формулы химических соединений должны быть изображены максимально четко.

На схемах в структурных формулах рекомендуется приводить нумерацию тех атомов, которые обсуждаются в тексте; для родственных соединений достаточно пронумеровать атомы на одной из структур.

- 7. Для обозначения стандартных физико-химических методов исследования и некоторых терминов (например, константа спин-спинового взаимодействия) используются аббревиатуры из заглавных букв русского алфавита. Исчерпывающий список английских и русских аббревиатур для обозначения общеупотребительных терминов, реагентов и растворителей, не требующих расшифровки в тексте статьи, приведен в Приложении 6. Все остальные сокращения расшифровываются в тексте статьи при их первом упоминании
- 8. Для химических соединений, впервые описанных в статье, а также для сложных соединений, являющихся основным объектом исследования, помимо формулы, приводится полное название (обычно в Экспериментальной части). При этом следует пользоваться номенклатурой IUPAC (металлоорганические комплексы могут быть названы по номенклатуре *Chemical Abstracts*).

Соединения, упоминаемые более одного раза, как правило, шифруются арабскими цифрами, которые в тексте и на схемах необходимо набирать полужирным начертанием (**Bold**). При полном названии соединения шифр дается в скобках, в прочих случаях — без них. При сочетании цифровых шифров с буквенными индексами используются буквы латинского алфавита. Порядок возрастания номеров соединений должен строго соответствовать порядку их упоминания в тексте. На схемах соединения нумеруются слева направо и сверху вниз.

Вместо громоздких названий несложных химических соединений рекомендуется давать их простые формулы или условные обозначения — например, NaBr вместо «бромид натрия», AcOH вместо «уксусная кислота»; для аминокислот и углеводов — использовать принятые условные обозначения (Ala, Glc и т.п.). Обозначения изомеров, стереохимические символы, а также атомы, по которым происходит замещение в молекулах органических соединений, набираются курсивом (italic), например: totalic totalic

9. Физические величины следует приводить в международной системе единиц (СИ) (см.: *Химическая энциклопедия*, Советская энциклопедия, Москва, 1988, 1). Следует обратить внимание на то, что десятичные разряды отделяются точкой!

Символы переменных физических величин и единицы их измерения должны быть набраны *курсивом* (*italic*).

10. Спектральные данные рекомендуется приводить в Экспериментальной части в следующем виде. УФ-спектр (EtOH), ($_{\rm max}$, $_{\it HM}$ ((\Box (или $_{\it lg}$ ()): 239 (6900), 305 (1200). ИК-спектр (CCl4), v, $_{\it cm^{-1}}$: 3310 (\Box C—H); 1722 (C=O). При описании спектров ЯМР приводятся химические сдвиги, мультиплетность, интегральная интенсивность, отнесение, КССВ, например: спектр ЯМР 1 H (ацетон+d₆, δ , м.д., $_{\it Fu}$): 1.00, 1.15 (оба с, по 3 H, C(4)Me, C(9)Me); 4.77, 4.53 (оба д, по 1 H, H(4), H(5), $_{\it J}$ = 7.5); 3.78 (c, 3 H, OMe); 4.01 (д.д., 1 H, H(7), $_{\it J}$ = 7.5, $_{\it J}$ = 2.2), 6.21 (уш.д, 1 H, NH, $_{\it J}$ = 9.5), 7.40—8.00 (м, 5 H, Ar).

Химические сдвиги в спектрах ЯМР 1 Н и 13 С, полученных на приборах с частотой ниже 400 МГц (100 МГц для 13 С), следует приводить с точностью до сотых и десятых долей, соответственно; КССВ, измеренные на таких приборах, надо приводить с точностью до десятых долей.

Если все спектры получены при одинаковой температуре и в одном и том же растворителе, химические сдвиги измерены в (-шкале и даны в миллионных долях, а КССВ — в Герцах, то всю повторяющуюся информацию желательно привести один раз в преамбуле к Экспериментальной части.

Если в тексте комментируются отдельные спектральные данные, то их рекомендуется приводить в следующем виде: (н 3.78 и (с 51.2 м.д.

Параметры спектров ЯМР на ядрах 13 С, 31 Р и других элементов записываются в соответствии с правилами IUPAC (см. *Pure and Appl. Chem.*, 1972, **29**, 627): сдвиг в слабое поле от эталона — со знаком «+», в сильное — со знаком «-».

Для нумерации протонов, атомов углерода и др. атомов авторам предлагается использовать следующие обозначения: H(3), C(3), H₂C(3). Протоны в составе сложных групп, к которым относится конкретный сигнал, следует подчеркивать снизу (например: CH₂CH₂CH₃). Если какой-либо сигнал в спектре описывается как дублет, триплет и т.п. (а не синглет или мультиплет), то необходимо привести соответствующее число КССВ (одну для дублета, триплета и т.п., две для дублета дублетов и дублета триплетов, три для дублета дублетов и т.д.).

Параметры **спектров ЭПР** записываются следующим образом: g = 2.0645, $aH(1 H) = 1.9 \ mT\pi$.

Масс-спектры приводятся в виде числовых значений m/z и относительных величин ионного тока в построчной записи или в виде таблицы. Необходимо указывать использованную разновидность метода ионизации, энергию ионизации, массовые числа характеристических ионов, их генезис и интенсивность по отношению к основному иону. Примеры записи: Масс-спектр (ЭУ, 70 ${}_{2}B$), m/z (${}_{3}$ (${}_{3}$ (${}_{3}$ (${}_{3}$ (${}_{3}$ (${}_{3}$ (${}_{3}$ (${}_{3}$ (${}_{3}$)), ${}_{3}$ (${}_{3}$) 386 [M] ${}_{3}$ (${}_{3}$ (${}_{3}$)) и т.д. Масс-спектр (ХИ, 200 ${}_{3}$ В), ${}_{3}$ (${}_{3}$) (${}_{3}$) 387 [M + H] ${}_{3}$ (100), 369 [М + H – H2O] + (23) и т.д. В статьях по масс-спектрометрии спектры следует приводить в форме, рекомендуемой журналом ${}_{3}$ ${}_{3}$ ${}_{3}$ ${}_{3}$ ${}_{4}$ ${}_{3}$ ${}_{4}$ ${}_{5}$ ${}_$

Пример записи данных масс-спектра высокого разрешения: Найдено: m/z 376.2020 [M]+. $C_{22}H_{32}O_{3}S$. Вычислено: M = 376.2072.

Для хиральных соединений (не рацематов) необходимо приводить величины удельного вращения, которые рекомендуется вычислять по формуле

$$[\alpha]^{\lambda}$$
 temp = $\underline{\alpha}_{\text{набл}} \cdot 100$, $c \cdot l$

где $\alpha_{\text{набл}}$ — измеренное вращение в *град*, *с* — концентрация в *г*/100 *мл*, *l* — длина кюветы в дм. При этом в преамбуле к Экспериментальной части необходимо указать, что «удельное вращение выражено в (*град*•*мл*)•(*г*•*дм*)⁻¹, а концентрация раствора — в *г*•(100 *мл*)⁻¹». Следует также привести использовавшийся растворитель, длину волны и температуру, при которых проводились измерения. Например: $[\alpha]_D^{23}$ +35.8 (*c* 1.1, MeOH).

Для впервые синтезированных хиральных молекул необходимо указать абсолютную конфигурацию и степень оптической чистоты с указанием метода их определения (ХГЖХ, ХВЖХ, ЯМР, РСА и др.).

11. В Экспериментальной части необходимо указать либо источники использованных нетривиальных реагентов (например, «коммерческие препараты, название фирмы»), либо дать ссылки на методики их получения, а также привести условия дополнительной подготовки использованных реагентов и растворителей (или дать соответствующие литературные ссылки). Для всех впервые синтезированных соединений, описываемых в Экспериментальной части, необходимо привести доказательства приписываемого им строения и данные, позволяющие судить об их индивидуальности и степени чистоты. В частности, должны быть представлены данные элементного анализа, масс-спектры высокого разрешения или иные данные, однозначно подтверждающие состав вещества. Для известных веществ литературные данные следует приводить только в случае значительных расхождений найденных величин с приведенными в литературе значениями (например, т.пл. 68 °C; ср. лит.[5]: т.пл. 97 °C). В эмпирических брутто-формулах элементы располагают по системе Chemical Abstract: С, Н и далее согласно латинскому алфавиту. Формулы молекулярных соединений и ониевых солей записывают с использованием точки (например, C₆H₁₂N₂•2HCl).

Пример записи основных констант и данных элементного анализа для впервые полученного соединения (десятичные разряды отделяются точкой!): т.пл. 16—17.5 °C (из пентана), т.кип. 197—198 °C (1.5 Topp), $d_4^{\ 20}$ 0.9980, $n_D^{\ 20}$ 1.4935. Найдено, %: С 39.74; Н 4.07; СІ 43.68; N 5.71. $C_8H_{10}C_{13}$ NO.Вычислено, %: С 39.62; Н 4.16; СІ 43.85; N 5.78.

12. Данные рентгеноструктурного исследования должны соответствовать рекомендациям Commission of Crystallographic Data of the International Union of Crystallography (Acta Crystallogr., Sect. A, 1983, 39, 174), для публикации их следует предоставлять в виде рисунка(ков) молекулы (с пронумерованными атомами) или кристаллической упаковки и таблиц, содержащих необходимые геометрические характеристики молекул (основные длины связей, валентные и торсионные углы). Полные таблицы координат атомов, температурные факторы, полные таблицы длин связей и валентных углов в статьях не публикуются, а депонируются: для органических соединений — в Кембриджском банке структурных данных (CSDB), для неорганических соединений — в Банке данных структур неорганических кристаллов (ICSD, Gmelin Institute, Karlsruhe). Для этого, помимо распечатанных в качестве приложения к статье полных таблиц, необходимо представить на отдельной дискете файлы filename.res или filename.cif, отвечающие окончательному уточнению структур, с комментариями о том, какой структуре в тексте соответствует тот или иной файл (filename.res должен содержать погрешности в атомных координатах, значениях длин связей и валентных углов). При этом нумерация атомов в файлах и на рисунках в статье должна быть одинаковой. Кристаллографические данные (параметры элементарной ячейки, пространственная группа и т.д., а также детали эксперимента и уточнения структур) приводятся в Экспериментальной части или в таблицах. В Экспериментальной части последовательно приводятся условия выращивания кристаллов, тип дифрактометра, монохроматор, излучение, температура эксперимента, тип сканирования, учет поглощения, метод расшифровки структуры, уточнение позиций и температурных параметров неводородных атомов, особенности уточнения атомов водорода, использованный комплекс программ.

Пример записи: монокристаллы комплекса 1 получали кристаллизацией из хлороформа. Рентгенодифракционный эксперимент проводили на дифрактометре «Siemens P3/PC» (графитовый монохроматор, λ(Мо+Кα)=0.71073 Å, температура 153 K, θ/2θ+сканирование). Кристаллографи- ческие данные и основные параметры уточнения для соединения 1 приведены в табл. 1. Учет поглощения проведен по экспериментальным кривым азимутального сканирования распредел Структура расшифрована прямым методом. Позиции и температурные параметры неводородных атомов уточнены в изотропном, а затем в анизотропном приближении полноматричным МНК. В кристаллической структуре 1 выявлена сольватная молекула растворителя. Фрагмент молекулы разупорядочен по двум положениям с равной заселенностью. Атомы водорода помещены в геометрически рассчитанные положения и включены в уточнение в модели «наездника». Все расчеты выполнены с использованием комплекса программ SHELXTL PLUS 5.

Таблица «Кристаллографические данные и параметры рентгеноструктурного эксперимента» должна включать в себя следующие строки: «формула», «молекулярная масса», «сингония», «пространственная группа», a/Å, b/Å, c/Å, α/β , α/β

13. Список цитируемой литературы должен включать ссылки на наиболее существенные работы по теме статьи. В тексте статьи должны быть упомянуты все ссылки, приведенные в списке литературы. В тексте ссылки на литературу даются в квадратных скобках и нумеруются строго в порядке их упоминания. Список литературы печатается на отдельной странице с указанием инициалов и фамилий всех авторов (не допускаются записи и др., et al.).

Список литературы должен быть оформлен следующим образом:

Книги: Бучаченко А. Л., Вассерман А. М. Стабильные радикалы. М., Химия, 1973, 58 с.

Статьи в сборниках: Ола Дж., Фарук О., Пракаш Дж. К. С. в кн: *Активация и каталитические реакции алканов* / под ред. Хилла К. М. М., Наука, 1992, с. 39.

При цитировании переводных изданий после выходных данных русскоязычной версии в квадратных скобках необходимо указать выходные данные оригинального издания. Например: *Внутреннее вращение молекул.*/ под ред. В. Д. Орвилл-Томаса. М., Мир, 1974, 374 с. [*Internal Rotation in Molecules*, Ed. W. J. Orville-Thomas, Wiley, New York, 1974, 329 pp.].

Журналы: Gal'pern E. G., Stankevich I. V., Chistyakov A. L., Chernozatonskii L. A.// Chem. Phys. Lett., 1997, v.269, p.85.

При цитировании русскоязычного журнала, переводимого за рубежом, необходимо приводить ссылку и на англоязычную версию. Например: Лайков Д. Н., Устынюк Ю. А.// *Изв. АН, Сер. хим.*, 2005, c.804 [*Russ. Chem. Bull.*, *Int. Ed.*, 2005, **54**, 820].

Патенты: A.c. 9854 СССР // Б.И., 1978, 61. или: US Pat. 55973 // Chem. Abstrs., 1982, 97, 150732.

Диссертации: Ковалев Б.Г. Автореф. дисс. «....» доктора хим. наук. Город, институт, год, стр.

Программы: Sheldrick G. M., SHELXL93, Program for the Refinement of Crystal Structure, Göttingen University, Göttingen (Germany), 1993.

Банки данных: Cambridge Structural Database System, Version 5.17, 1999.

Ссылки на неопубликованные результаты и частные сообщения даются исключительно в виде сносок, а в списке литературы не приводятся и не нумеруются. При цитировании неопубликованных работ и частных сообщений необходимо представить разрешение от лица, на чьи данные приводится ссылка.

Приложение 6

Перечень русских и английских аббревиатур и сокращений, не требующих расшифровки в статье

Стандартные физико-химические методы анализа и термины: АО — атомная(ые) орбиталь(и), ББА — бомбардировка быстрыми атомами, ВЗМО-высшая занятая молекулярная орбиталь, ВЭЖХ— высокоэффективная жидкостная хроматография, ГЖХ — газожидкостная хроматография, ГХ—газовая хроматография, ГЖХ/МС и ГХ/МС—хроматомасс-спектрометрия, ГПХ— гельпроникающая хроматография, ДСК — дифференциальная сканирующая калориметрия, ДТА — дифференциальный термический анализ, ДТГ — дифференциальная термогравиметрия, ИК— инфракрасный, КД—круговой дихроизм, КР комбинационное рассеяние, КССВ-константа спин-спинового взаимодействия, МНК метод наименьших квадратов, МО— молекулярная(ые) орбиталь(и), МОС — металлоорганическое соединение, МС-масс-спектрометрия, НСМО-низшая свободная молекулярная орбиталь, НЭП—неподеленная электронная пара, ПТСХ — препаративная тонкослойная хроматография, РСА — рентгеноструктурный анализ, РФА — рентгенофазовый анализ, РФЭС—рентгеновская фотоэлектронная спектроскопия, СТВ—сверхтонкое взаимодействие, СТМ —сканирующая туннельная микроскопия, СТС— сверхтонкая структура, ТГА термогравиметрический анализ, ТСХ — тонкослойная хроматография, ХИ — химическая ионизация, УФ — ультрафиолетовый, ЭПР —электронный парамагнитный резонанс, ЭСП— электронные спектры поглощения, ЭУ — электронный удар, ЯГР — ядерный гамма-резонанс, ЯКР — ядерный квадрупольный резонанс, ЯМР — ядерный магнитный резонанс; ЯЭО — ядерный эффект Оверхаузера; de — избыток диастереомера; ee — избыток энантиомера; EXAFS-спектроскопия (Extended X-ray Absorption Fine Structure) — метод структурного анализа, основанный на обработке протяженной тонкой структуры, наблюдаемой в рентгеновских спектрах поглощения твердых тел или молекул, MALDI+TOF — массспектроскопия с лазерно-десорбционной ионизацией в присутствии матрицы и с времяпролетным масс-анализатором, ESI — ионизация электрораспылением, *двумерные гомоядер*- ные методики: COSY (Correlated Spectroscopy), TOCSY (Total Correlation Spectroscopy), NOESY (Nuclear Overhauser Effect Spectroscopy), ROESY (Rotating Frame Overhauser Effect Spectroscopy), двумерные гетероядерные методики: HSQC (Heteronuclear Single Quantum Coherence), HMBC (Heteronuclear Multi-Bond Correlation), COLOC (Correlation Spectroscopy via Long Range Coupling).

Русские аббревиатуры для обозначения химических соединений (используются только в тексте): БСИ — N-бромсукцинимид, ГМДС — гексаметилдисилоксан, ГМФА—гексаметилфосфотриамид (гексаметапол), ДИБАГ — диизобутилалюминийгидрид, ДМСО— диметилсульфоксид, ДМФА — диметилформамид, ТГФ — тетрагидрофуран.

Растворители, реагенты, радикалы, лиганды, защитные группы: Ас— ацетил; асас ацетилацетонат; АсОН — уксусная кислота; Ас₂О — уксусный ангидрид; АсОЕt — этилацетат; Ad — адамантил; AlBN — азобис (изобутиронитрил); Alk — алкил; All — аллил; Ar — арил; arene — арен; 9-ВВN 9-борабицикло[3.3.1]нонан; Вп — бензил (PhCH₂); Вос *тирет*-бутилоксикарбонил; bpy — 2,2´-бипиридил; Bu — н-бутил; Bui — изобутил; Bus втор-бутил; But — трет-бутил; BuOH (или BunOH) — бутиловый спирт; BusOH — вторбутиловый спирт; ButOH — трет-бутиловый спирт; Bz — бензоил (PhCO); Cp — циклопентадиенил; Cp* — пентаметилпентадиенил; CSA — (±)-камфор-10-сульфоновая кислота; DABCO —1,4-диазабицикло [2.2.2]октан; DBU — 1,8-диазабицикло[5.4.0]ундец-7-ен; DCC — дициклогексилкарбодиимид; DDQ — 2,3-дихлор-5,6-дициано-1,4-бензохинон; DEAD диэтиловый эфир азодикарбоновой кислоты; DIBAH — диизобутилалюминийгидрид; dien диэтилентриамин; DMAP — 4-диметиламинопиридин; DME — 1,2-диметоксиэтан (моноглим); DMF — диметилформамид; DMSO — диметилсульфоксид; en —этилендиамин (только как лиганд); Et — этил; EtOH — этиловый спирт; Et2O — диэтиловый эфир; Gerгеранил; Far — фарнезил; Fc — ферроценил; Насас — ацетил-ацетон; Hal — галоген; H4edta — этилендиаминтетрауксусная кислота; НМРА — гексаметилфосфотриамид (гексаметапол); Het — гетарил; hmta — гексаметилентетрамин; LDA — лития диизопропиламид; МСРВА — м-хлорпербензойная кислота; Ме — метил; МЕМ — 2-метоксиэтоксиметил (в производных типа AlkOMEM); MeCN — ацетонитрил; Me₂CO — ацетон; MeOH — метиловый спирт; Мез — мезитил (2,4,6-триметилфенил); МОМ — метоксиметил; МРРА — мононадфталевая кислота; Мѕ-метансульфонил (мезил); МТРА-а-метокси-а-трифторметилфенилуксусная кис-лота; NAD — никотинадениндинуклеотид; NADH — восстановленная форма NAD; NBS — N-бромсукцинимид; NCS — N-хлорсукцинимид; NIS — N-иодсукцинимид; РСС — хлорхромат пиридиния; РОС — дихромат пиридиния; Рh—фенил; рп пропилендиамин; РРТЅ — пиридиния пара-толуолсульфонат; Рг — н-пропил; Ргі — изопропил; РгіОН — изопропиловый спирт; Ру — пиридин; ру — пиридил; Руг — пиразолил; TBS—*трет*-бутилдиметилсилил; ТЕМРО— тетраметил-пиперидиноксил; Тf — трифторметансульфонил (например, трифлат меди — Си(ОТf)2); ТFA — трифторуксусная кислота; ТҒАА — трифторуксусной кислоты ангидрид; ТНҒ — тетрагидрофуран; ТНР — тетрагидропиран-2-ил (в производных типа AlkOTHP); ТМЕDA — N,N,N',N'-тетраметилэтилендиамин; TMS — триметилсилил (но не тетраметилсилан!); Tol — толил; TPS фенилсилил; Tr — трифенилметил (тритил); Tris — трис(гидроксиметил)аминометан [2-амино-2-(гидроксиметил)пропан-1,3-диол]; Тѕ — пара-толуолсульфонил (тозил).

Приложение 7

Перечень сокращений, принятых для названий журналов, издаваемых на русском языке**

```
Биоорганическая химия [Sov. J. Bioorg. Chem.; с 1992 г. — Russ. J. Bioorg. Chem. (Engl. Transl.)] Биофизика [Biophysics (Engl. Transl.)]
```

Биохимия [Biochemistry (USSR); с 1994 г. — Biochemistry (Moscow) (Engl. Transl.)]

Вестник МГУ, Серия 2. Химия [Vestn. Mosk. Univ., Ser. Khim. (Engl. Transl.)]

Высоко**м**олекулярные **с**оединения, **ВМС**; с 1967 г. — **Сер**ия **A** или **B**[Polym. Sci. USSR; с 1967 г. — Ser. A or B, с 1992 г. — Polym. Sci., Ser. A или B (Engl. Transl.)]

Генетика [Sov. Genetics (Engl. Transl.)]

Геохимия [Geochemistry (Engl. Transl.)]

Доклады **AH CCCP**, **ДАН CCCP**, c 1992. — Доклады **AH**[Dokl. Chem. (or Dokl. Biochem. Phys. Chem.; Dokl. Chem. Technol.; Dokl. Phys. Chem.) (Engl. Transl.)], **ДНАН Армении**

Журнал **а**налитической **х**имии, **ЖАХ**[J. Anal. Chem. USSR; с 1992. — J. Anal. Chem. (Engl. Transl.)]

```
Журнал Всесоюзного химического общества имени Л. И. Менделеева, ЖВХО им Менделеева.
[Mendeleev Chem. J. (Engl. Transl.)]
Журнал неорганической химии, ЖНХ [J. Inorg. Chem. USSR; с 1992 — Russ. J. Inorg. Chem. (Engl.
Журнал общей химии, ЖОХ[J. Gen. Chem. USSR;c 1992. — Russ. J. Gen. Chem. (Engl. Transl.)]
Журнал органической химии, ЖОрХ[J. Org. Chem. USSR; с 1992 г. — Russ. J. Org. Chem. (Engl.
Журнал прикладной спектроскопии, ЖПС [J. Appl. Spectr. (Engl.Transl.)]
Журнал прикладной химии, ЖПХ [J. Appl. Chem. USSR; с 1992. — Russ. J. Appl. Chem. (Engl. Transl.)]
Журнал структурной химии, ЖСХ[ J. Struct. Chem. (USSR); с 1992 г. — Russ. J. Struct. Chem. (Engl.
Transl.)]
Журнал физической химии, ЖФХ[Russ. J. Phys. Chem. (Engl. Transl.)]
Журнал экспериментальной и теоретической физики [J. Exp. Theor. Phys. (Engl. Transl.)]
Заводская лаборатория, Завлаб [Ind. Lab. (Engl. Transl.)]
Известия АН СССР, Сер. хим. [Bull. Acad. Sci. USSR, Div. Chem. Sci. (Engl. Transl.)] (до 1992 г.); с 1992.
Известия АН, Сер. хим. [1992 — Bull. Russ. Acad. Sci., Div. Chem. Sci.; с 1993. — Russ. Chem. Bull.
Transl.); с 2000 г. — Russ. Chem. Bull., Int. Ed.].
Известия АН СССР, Неорг. материалы; с 1991 г. — Неорганические материалы [Inorg. Mater. (Engl.
Transl.)]
Известия АН СССР, Сер. физ.; с 1992 г. —
Известия АН, Сер. физ. [Bull. Russ. Acad. Sci., Physics [(Engl. Transl.)]
Известия вузов. Химия и химическая технология [Izv. Vuz. Khim. Khim. Tekhnol. (in Russian)]
Известия СО АН СССР. Сер. хим. наук [Izv. Sib. Otd.Akad. Nauk SSSR, Ser. Khim. Nauk (Engl. Transl.)]
Кинетика и катализ [Kinet. Catal. (Engl. Transl.)]
Коллоидный журнал [Colloid. J. USSR; c 1992. — Colloid J. (Engl. Transl.)]
Координационная химия [Sov. J. Coord. Chem.; с 1992 г. — Russ. J. Coord. Chem. (Engl. Transl.)]
Кристаллография [Sov. Phys._Crystallogr.; с 1994 г. — Crystallogr. Repts. (Engl. Transl.)]
Металлоорганическая химия [Organomet. Chem. USSR (Engl. Transl.)]
Микробиология [Microbiology (Engl. Transl.)]
Молекулярная биология [Mol. Biol. (Engl. Transl.)]
Нефтехимия [Petroleum Chemistry (Engl. Transl.)]
Письма в журнал экспериментальной и теоретической физики [JETP Lett. (Engl. Transl.)]
Радиохимия [Sov. Radiochem. (Engl. Transl.)]
Теоретическая и экспериментальная химия [ Theor. Exp. Chem. (Engl. Transl.)]
Теоретические основы химической технологии [ Theor. Foundations Chem. Technol. (Engl. Transl.)]
Укр. хим. ж. [Ukr. Khim. Zh. (in Russian]
Успехи химии [Russ. Chem. Rev. (Engl. Transl.)]
Физика горения и взрыва [Comb., Explos., and Shock Waves (Engl.Transl.)]
Физика твердого тела [Sov. Phys. Sol. State (Engl. Transl.)]
Химико-фармацевтический журнал, Хим.-фарм.ж. [Pharm. Chem. J. (Engl.Transl.)]
Химия высоких энергий [High Energy Chem. (Engl. Transl.)]
Химия гетероциклических соединений, ХГС[Chem. Heterocycl. Compd.(Engl. Transl.)]
Химический журнал Армении, Хим. ж. Армении
Химия и технология топлив и масел [ Chem. Technol. Fuels and Oils (Engl. Transl.)]
```

Перечень сокращений, принятых для названий зарубежных журналов

Accounts of Chemical Research

Acta Biochimica et Biophysica Academiae Scientiarum Hungaricae

Химия **п**риродных **с**оединений, **ХПС** [Chem. Nat. Compd. (Engl. Transl.)] **Электрохимия** [Sov. Electrochem.; с 1992 г.— Russ. J. Electrochem. (Engl. Transl.)]

Acta Chemica Scandinavica. Series A

Acta Chemica Scandinavica. Series B

Acta Chimica Academiae Scientiarum Hungaricae

Acta Chimica (Budapest)

Acta Crystallographica (1948—1967 гг.)

Acta Crystallographica, Section A (с 1968 г.)

Acta Crystallographica, Section B (c 1968 r.)

Acta Crystallographica, Section C (с 1968 г.)

Acta Vitaminologica et Enzymologica

Advanced Materials

Advances in Alicyclic Chemistry

Advances in Carbohydrate Chemistry and Biochemistry

Advances in Chemical Physics

Advances in Chromatography

Advances in Colloid and Interface Science

Advances in Enzymology and Related Areas of Molecular Biology

Advances in Free<Radical Chemistry

Advances in Heterocyclic Chemistry

Advances in Immunology

Advances in Inorganic Chemistry and Radiochemistry

Advances in Lipid Research

Advances in Macromolecular Chemistry

Advances in Magnetic Resonance

Advances in Mass Spectrometry

Advances in Organic Chemistry

Advances in Organometallic Chemistry

Advances in Photochemistry

Advances in Protein Chemistry

Advances in Structure Research by Diffraction Methods

Afinidad

Agricultural and Biological Chemistry

AIChE Journal

AIChE Monograph Series

AIChE Papers

American Journal of Pharmacy (and the Sciences Supporting Public

Health)

American Journal of Science

Analyst (London)

Analytical Biochemistry

Analytical Chemistry

Analytica Chimica Acta

Analytical Letters

Angewandte Chemie

Angewandte Chemie, International Edition in English (c 1962)

Angewandte Chemie, Supplement

Annales de Chimie (Paris)

Annales de Microbiologie (Paris)

Annales Pharmaceutiques Francaises

Annual Reports in Medicinal Chemistry

Annual Reports on the Progress of Chemistry, Section A,

 $\textbf{\textit{Annual Rep}} orts \ on \ the \ \textbf{\textit{Progress}} \ of \ \textbf{\textit{Chem}} is try, \ \textbf{\textit{Sect}} ion \ \textbf{\textit{B}}$

Annual Review of Biochemistry

Annual Review of NMR Spectroscopy

 $\textbf{\textit{Antibiotics Annual}} \, (1953 - \!\!\! -1959 \,\, \mathrm{rr.})$

Antibiotics and Chemotherapy (Basel)

Antibiotics and Chemotherapy (Washington, DC)

Antimicrobial Agents Annual (1960 r.)

Antimicrobial Agents and Chemotherapy (c 1961 r.)

Applied Spectroscopy

Archives of Biochemistry (1942—1951 гг.)

Archives of Biochemistry and Biophysics

Archiv der Pharmazie und Berichte der Deutschen Pharma_

zeutischen **Ges**ellschaft (по 1971 г.)

Archiv der Pharmazie (Weinheim, Germany) (c 1972 г.)

Arkiv fцт **Кеті** (по 1970 г.)

Arzneimittel-Forschung

Australian Journal of Biological Sciences

Australian Journal of Chemistry

Berichte der Bunsengesellschaft fът Physikalische Chemie (с 1963 г.)

Berichte der Deutschen Chemischen Gesellschaft (no 1946 г.)

Biochemical and Biophysical Research Communications

Biochemistry

Biochemical Journal

Biochemical Pharmacology

Biochemical **Prep**arations

Biochemical Reviews

Biochemical Society Transactions

Biochemische Zeitschrift

Biochimica et Biophysica Acta

Bioinorganic Chemistry

Biological Chemistry Hoppe-Seyler (c 1985 r.)

Biomedical Mass Spectrometry

Bioorganic Chemistry

Biopolymers

British Journal of Industrial Medicine

British Journal of Pharmacology and Chemotherapy (no 1967 r.)

British Journal of Pharmacology (c 1968.r.)

Bulletin de Academie Polonaise des Sciences, Serie des Sciences

Chimiques

Bulletin of the Chemical Society of Japan

Bulletin des Sociătăs Chimiques Belges

Bulletin de la Sociйtй Chimique de France

Cancer Research

Canadian Journal of Biochemistry

Canadian Journal of Chemistry

Canadian Journal of Pharmaceutical Sciences

Canadian Journal of Spectroscopy

Carbohydrate Chemistry

Carbohydrate Research Catalysis Letters

Chemica Scripta (с 1971 г.)

Chemical Abstracts

Chemical Communications (по 1969 г.)

Chemical Engineer (London)

Chemical and Engineering News

Chemical Engineering (New York)

Chemische Berichte (с 1947 г.)

Chemistry in Britain

Chemistry of Heterocyclic Compounds

Chemische Industrie (Dъsseldorf)

Chemistry and Industry (London)

Chemie-Ingenieur-Technik

Chemistry Letters

Chemicke Listy

Chemistry in New Zealand

Chemical and Pharmaceutical Bulletin

Chemical Physics

Chemistry and Physics of Carbon

Chemical Physics Letters

Chemistry and Physics of Lipids

Chemical Reviews

Chemische Rundschau

Chemical Society Reviews

Chemie in Unserer Zeit

Chemisches Zentralblatt

Chemiker-Zeitung

Chimia

Chimie et Industrie (Paris)

Chromatographia

Chromatographic Reviews

Collection of Czechoslovak Chemical Communications

Colloid and Polymer Science Computer Programs for Chemistry

Computers in Chemistry and Instrumentation

Computing Reviews

Comptes Rendus Hebdomadaires des Sйances de l'Acadйmie des

Sciences (по 1965 г.)

Comptes Rendus Hebdomadaires des Sŭances de l'Acadimie des

Sciences, Serie A

Comptes Rendus Hebdomadaires des Sŭances de l'Acadămie des

Sciences, Serie B

Comptes Rendus Hebdomadaires des Săances de l'Acadămie des

Sciences, Serie C

Comptes Rendus Hebdomadaires des Sйances de l'Acadйmie des

Sciences, Serie D

Comptes Rendus des Sйances de la Societй de Biologie et de Ses Filiales

Coordination Chemistry Reviews

Croatica Chemica Acta

Current Science

Drug Metabolism Reviews

Egyptian Journal of Chemistry

Electrochimica Acta

European Journal of Biochemistry

European Polymer Journal

Experientia

Faraday Discussions of the Chemical Society

Faraday Symposia of the Chemical Society

Farmacia (Bucharest)

Farmaco (Pavia)

Farmacia y Quimica

FEBS (Federation of European Biochemical Societies) Letters

FEBS Proceedings of the Meetings

Fortschritter der Chemischen Forschung (1949—1973 гг.);

с 1974 г. — *Тор. Curr. Chem.*

Fortschritte der Chemie Organischer Naturstoffe (1938—1979 гг.); с 1980 г. — Prog. Chem. Org. Prod.

Fresenius ' Zeitschrift fът Analytische Chemie (с 1947 г.)

Gazzetta Chimica Italiana

Giornale di Biochimica

Giornale di Microbiologia

Helvetica Chimica Acta

Heterocycles

Heterocyclic Compounds

Hoppe-Seyler's Zeitschrift fbr Physiologische Chemie (по 1984 г.)

Industrial and Engineering Chemistry

```
Indian Journal of Biochemistry (no 1970 r.)
Indian Journal of Biochemistry and Biophysics (c 1971 r.)
Indian Journal of Chemistry (no 1975)
Indian Journal of Chemistry, Section A (c 1976 r.)
Indian Journal of Chemistry, Section B (c 1976 r.)
Inorganic Chemistry
Inorganica Chimica Acta
Inorganica Chimica Acta, Reviews
Inorganic and Nuclear Chemistry Letters
Inorganic Synthesis
International Chemical Engineering
International Journal of Biochemistry
```

International Journal of Peptide and Protein Research

International Journal of Protein Research International Journal of Sulfur Chemistry

Ion Exchange and Solvent Extraction

Israel Journal of Chemistry

Italian Journal of Biochemistry

J. of Agricultural and Food Chemistry

J. of the American Chemical Society

J. of the American Leather Chemists' Association

J. of the American Leather Chemists ' Association, Supplement

J. of the American Oil Chemists' Society

J. of the American Pharmaceutical Association

J. of Antibiotics, Series A

J. of Antibiotics, Series B

J. of Applied Chemistry

J. of Applied Chemistry and Biotechnology

J. of Applied Crystallography

J. of Biochemistry (Tokyo)

J. of Biological Chemistry

J. of Carbohydrates, Nucleosides, Nucleotides

J. of Chemical Education

J. of Chemical Engineering Education

J. of Chemical Engineering of Japan

J. of Chemical Physics

J. of Chemical Research (Miniprint)

J. of Chemical Research (Synopses)

J. of the Chemical Society (по 1965)

J. of the Chemical Society [Section] A (1966—1971 гг.)

 $\textit{\textbf{J. of the Chemical Society}} \ [\textit{Section}] \ \textit{\textbf{B}} \ (1966-1971 \ \text{rr.})$

J. of the **Chem**ical **Soc**iety [Section] \boldsymbol{C} (1966—1971 гг.)

J. of the Chemical Society [Section] D (1970—1971 rr)

J. of the Chemical Society, Chemical Communications (c 1972r.)

(C 1972F.)

J. of the **Chem**ical **Soc**iety, **Dalton Trans**actions (c 1972 r)

J. of the **Chem**ical **Soc**iety, **Faraday Trans**actions **1** (c 1972)

J. of the Chemical Society, Faraday Transactions 2 (c 1972 r.)

 $\textit{\textbf{J.} of the \textbf{\textit{Chem}} ical \textbf{\textit{Soc}} iety, \textbf{\textit{Perkin Trans}} actions \textbf{\textit{1}} (c 1972 \ r.)$

J. of the Chemical Society, Perkin Transactions 2 (c 1972 r.)

J. of the Chemical Society, Transactions

J. of the Chinese Biochemical Society

J. of the Chinese Chemical Society (Peking)

J. of the Chinese Chemical Society (Taipei)

J. of Chromatography

J. of Chromatographic Science

J. of Crystal Growth

```
J. of Crystal and Molecular Structure
J. of Drug Research
J. of the Electrochemical Society
J. of Endocrinology
J. of Food Science
J. of Gas Chromatography
J. of Heterocyclic Chemistry
J. of Immunology
J. of the Indian Chemical Society
J. of Inorganic and Nuclear Chemistry
J. of Labelled Compounds
I. of Life Sciences
J. of Macromolecular Chemistry (с 1966 г.)
J. of Macromolecular Science [Part A] Chemistry (с 1967 г.)
J. of Magnetic Resonance
J. of Medicinal Chemistry
J. of Molecular Biology
J. of Molecular Spectroscopy
J. of Molecular Structure
J. of the Natural Products (с 1979 г.)
J. of the New Zealand Institute of Chemistry
J. of Organic Chemistry
J. of Organometallic Chemistry
J. of Pharmacology and Experimental Therapeutics
J. of Pharmacy and Pharmacology
J. of Photochemistry
J. of Physical Chemistry
J. of Physical and Chemical Reference Data
J. of Physical and Colloid Chemistry
J. fъr Praktische Chemie
J. of Quantitative Spectroscopy and Radiative Transfer
J. of Raman Spectroscopy
J. of Research of the National Bureau of Standards
J. of Research of the National Bureau of Standards, Section A, Physics and Chemistry
Journal of Science of the Hiroshima University, Series A,
Mathematics, Physics, Chemistry
J. of Science of the Hiroshima University, Series A-2, Physics and Chemistry
J. of the Society of Chemical Industry, London
J. of the Society of Chemical Industry, London, Abstracts
J. of the Society of Chemical Industry, London, Review Section
J. of the Society of Chemical Industry, London, Transactions and Communications
J. of the Society of Leather Technologists and Chemists
J.rnal of Steroid Biochemistry
Justus Liebigs Annalen der Chemie (по 1978 г.)
Kagaku Kogaku (Abridged Edition in English)
Kemija u Industriji
Kemia-Kemi
Kemisk Tidskrift
Khimiya u Industrya (Sofia)
Kjemi
Kobunshi Kagaku (по 1974г.)
Kobunshi Ronbunshu (c 1975r.)
```

Kogyo Kagaku Zasshi (по 1972г.)

Liebigs Annalen der Chemie (c 1979 r.)

Lancet
Laser Chemistry

Kolloid Zeitschrift und Zeitschrift fъr Polymere

244

Lipids

Liquid Crystals

Macromolecular Chemistry

Macromolecular Synthesis

Macromolecules

Magnetic Resonance in Chemistry (c 1985 r.)

Magyar Kemiai Folyoirat Magyar Kemikusok Lapja Makromolekulare Chemie

Mass Spectrometry

Memoirs of the Faculty of Science, Kyushu University, Series C Memoirs of the Institute for Protein Research, Osaka University

Methods of **Biochem**ical **Anal**ysis **Methods** in **Carbohydr**ate **Chem**istry

Methods in Enzymology Microchemical Journal

Microchemical Journal, Symposium Series

Microchimica Acta

Molecular Crystals and Liquid Crystals

Molecular Physics
Molecular Spectroscopy

Molecular Structure by Diffraction Methods

Monatsberichte der Deutschen Akademie der Wissenschaften zu

Berlin

Monatshefte for Chemie

Nachrichten aus Chemie und Technik (по 1976 г.)

Nachrichten aus Chemie, Technik und Laboratorium (c1977 r.)

National Academy of Sciences National Research Council Division of

Chemistry and Chemical Technology Annual Report

Nature (London)
Nature (Paris)

Naturwissenschaften

New Journal of Chemistry (c 1987 r.)

Nippon Kagaku Kaishi (с 1972 г.)

Nippon Kagaku Zasshi

Organic Magnetic Resonance (по 1984 г.)

Organic Mass Spectrometry
Organic Photochemistry

Organic Preparations and Procedures

International

Organic Reactions

Organic Reaction Mechanisms
Organic Sulfur Compounds

Organic Syntheses

Organometallic Chemistry

Organometallic Chemistry Reviews, Section A, Organometallic Chemistry Reviews, Section B,

Organometallic Reactions

Organometallics

Usterreichische Chemiker_Zeitung

Pesticides

Pesticide Science

Pharmaceutical Journal

Pharmazie

Phosphorus

Phosphorus and **Sulfur** (no 1975 г.)

 $\textit{Phosphorus, Sulfur, and Related Elements} \, (1976-1988 \, {\rm rr.})$

Phosphorus, Sulfur, Silicon, and Related Elements (c 1989r.)

Photochemistry

Photochemistry and Photobiology

Physical Review

Physical Review Letters

Phytochemistry

Polish Journal of Chemistry (с 1978 г.)

Polish Journal of Pharmacology and Pharmacy

Proceedings of the Chemical Society, London

Proceedings of the Indian Academy of Sciences, Section A

Proceedings of the Indian Academy of Sciences, Section B

Proceedings of the Japan Academy

Proceedings of the Koninklijke Nederlandse Akademie van

Wetenschappen, Series B

Proceedings of the National Academy of Sciences of the United States of America

Proceedings of the Royal Society of Edinburgh

Proceedings of the Royal Society of London, Series A

Proceedings of the Royal Society of London, Series B

Progress in Bioorganic Chemistry

Progress in the Chemistry of Organic Natural Products (c 1980 г.)

Progress in Inorganic Chemistry
Progress in Medicinal Chemistry

Progress in Nucleic Acid Research and Molecular Biology

Progress in Nuclear Magnetic Resonance Spectroscopy

Progress in Physical Organic Chemistry

Progress in Stereochemistry

Progress in Thin<Layer Chromatography and Related Methods

Pure and Applied Chemistry

Quarterly Reviews, Chemical Society

Quimia (Barcelona)

Recent Developments in the Chemistry of Natural Carbon Compounds

Recherches

Record of Chemical Progress

Recueil des Travaux Chimiques des Pays<Bas

Revista Brasileira de Chimica

Review of the Polish Academy of Sciences

Reviews of Pure and Applied Chemistry

Revue de Chimie, Academia de la Republique Populaire Roumaine

Revue Roumaine de Biochimie

Revue Roumaine de Chimie

*Rocz*niki *Chem*ii (по 1977 г.)

Schweizerische Apotheker_Zeitung

Science

Sciences (New York Academy of Sciences)

Sciences (Paris)

South Africal Journal of Chemistry

Spectrochimica Acta, Part A

Spectrochimica Acta, Part B

Spectroscopy Letters
Steroids

Steroids and Lipids Research

Structure and Bonding (Berlin)

Synlett

Synthesis

Synthetic Communications

Synthetic Metals

Talanta

```
Tetrahedron
Tetrahedron Asymmetry (1990 г.)
Tetrahedron Letters (1980 г.)
Topics in Current Chemistry (1974 r.)
Topics in Stereochemistry
Transactions of the Faraday Society
Transition Metal Chemistry
Transition Metal Chemistry (Weinheim, Germany)
Trends in Biochemistry Sciences
Xenobiotica
X-Ray Spectrometry
Yakugaku Zasshi (Journal of Pharmaceutical Society of Japan)
Yuki Gosei Kagaku Kyokai Shi
Zeitschrift fът Analytische Chemie (по 1944 г.)
Zeitschrift für Anorganische und Allgemeine Chemie
Zeitschrift fъr Chemie
Zeitschrift fът Elektrochemie (1952—1962 гг.)
Zeitschrift für Elektrochemie und Angewandte Physikalische Chemie (no 1951 r.)
Zeitschrift fъr Kristallographie (1978 г.)
Zeitschrift fъr Naturforschung, Teil A
Zeitschrift fъr Naturforschung, Teil В
Zeitschrift fъr Naturforschung, Teil С
Zeitschrift für Physikalische Chemie (Frankfurt am Main)
Zeitschrift fъr Physikalische Chemie (Leipzig)
Zeitschrift fъr Physikalische Chemie (Мъпсhen)
Zeitschrift fът Physikalische Chemie (Wiesbaden)
                                      Памятка для авторов
```

Что нужно не забыть при подготовке статьи к публикации

Для максимального сокращения сроков публикации редакция просит авторов обратить особое внимание на оформление статьи.

🗆 развернутое название научной организации

□ почтовый адрес с индексом

□ адрес электронной почты

🛚 факс

Оощие положения
1. Материалы, представляемые в редакцию:
□1.1 Фамилия, имя, отчество и координаты лица, с которым редакция должна вести пе
реписку (почтовый адрес, номер телефона, номер факса, адрес электронной почты). Фами-
лия автора, ответственного за переписку, должна быть отмечена звездочкой.
□1.2. Направление от организации.
Правительное заключение (для граждан РА).
□1.4. Текст статьи, аннотация на русском, английском и армянском языках, на отдель
ных страницах (либо в тексте) рисунки и таблицы (все в 2 экземплярах) (см. пп. 2.1—2.3
Правил для авторов и Приложение 1).
□1.5. Графический реферат (см. п. 2.3 Правил для авторов и Приложение 2).
□1.6. Файлы всех представляемых материалов на дискете (см. Правила для авторов в
Приложение 3 и п. 2 Приложение 5).
□2. Только для кратких сообщений и писем в редакцию: объем рукописи не должен
превышать 5 и 2 страниц машинописного текста, соответственно.
□ 3. Последовательность расположения частей статьи (кроме писем в редакцию):
□ индекс УДК
при название статьи
\Box abton(b)

— аннотация
□собственно текст статьи
□ введение
постановка задачи
для статей физико-химической тематики:
□Экспериментальная часть
□Обсуждение полученных результатов с заключением
для статей, посвященных синтезу:
□Обсуждение полученных результатов с заключением
□ Экспериментальная часть
□ благодарности
□ список литературы (на отдельной странице)
□далее прилагаются другие материалы, перечисленные в п. 1 Памятки.

Требования к оформлению и подготовке рукописи

- □4. В Экспериментальной части должны быть представлены доказательства строения и чистоты всех новых соединений, источники использованных нетривиальных реагентов или методики их получения, а также условия дополнительной подготовки реагентов и растворителей (см. п. 11 Приложение 5).
- □5. Для всех синтезированных соединений следует дать **названия по номенклатуре** IUPAC. Металлоорганические комплексы могут быть названы по системе *Chemical Abstracts* (см. п. 8 Приложение 5).
- □6. Все таблицы, схемы, рисунки, соединения и ссылки на литературу должны нумероваться строго в порядке упоминания в тексте.
- □7. На осях графиков должны быть указаны наименования и единицы измерения соответствующих величин.
 - □8. Рисунки спектров не должны быть выполнены от руки.
- □9. Все используемые **аббревиатуры** и **сокращения** должны соответствовать приведенному в Правилах для авторов списку (см. Приложение 6) или расшифровываться при первом упоминании.
- □10. Данные рентгеноструктурного исследования следует представлять в виде рисунка(ков) молекулы (с пронумерованными атомами) или кристаллической упаковки и таблиц, содержащих **необходимые** геометрические характеристики молекул (основные длины связей, валентные и торсионные углы).
- □11. В файлах статьи (см. Приложение 5 к Правилам для авторов) для основного текста желательно использовать шрифт Times New Roman, для греческих букв шрифт Symbol.

Избегайте использования автоматических систем упорядочения ссылок/сносок. Напечатанный текст статьи должен быть **точной** копией электронной версии. Следует различать следующие символы: латинскую букву "эль" (l) и цифру один (l), большую букву О и цифру ноль (l).

Будьте внимательны и не смешивайте в одном слове русские и латинские символы. Таблицы являются частью текста и не должны создаваться как графические объекты. Нежелательно использование клавиши пробела для выравнивания элементов таблиц.

- \Box 12. Текст статьи печатается **через 1,5 интервала** (без помарок и вставок) на белой бумаге стандартного размера (формат A4, 210х297 мм) с полями 3 см с левой стороны, 1,5 см с правой стороны, 2,5 см сверху, 2,5 см снизу, **размер шрифта 12**.
- \Box 13. Символы переменных физических величин (например, температура T), единицы их измерения (K), стереохимические дескрипторы (μuc , Z, R), локанты (N-метил), буквенные (но не цифровые) символы при обозначении групп симметрии должны быть напечатаны $\kappa ypcusom$ (C2v, но не C2v).
- □15. В списке литературы должны использоваться только стандартные сокращения названий журналов (см. Приложение 7).

ԲՈՎԱՆԴԱԿՈՒԹՑՈՒՆ

Ընդհանուր և ֆիզիկական քիմիա

Ազիզյան Ա.Ս. Ազոտի օքսիդի ցածրջերմաստիմանային փոխազդեցությունը մեզո- տետրաֆենիլպորֆիրինատո երկաթի միկրոծակոտկեն թաղանթների հետ 11						
Արսենտև Ս.Դ. Մեթանի օքսիդացումը ջրային լուծույթում կավիտացիայի պայմաններում						
Գրիգորյան Ե.Գ. Պղնձի և մոլիբդենի սուլֆիդների (Cu2S և MoS2) ծծմբազրկումը անօրգանական օքսիդիչների ներկայությամբ						
Ադամյան Ծ.Ա., Կիրակոսյան Ա.Ղ., Խառատյան Ա.Ս., Չատիլյան Հ.Ա., Խառատյան Ս.Լ. Նիոբիումի բարձրջերմաստիձանային կարբիդացման առանձնահատկությունները ոչ իզոթերմ պայմաններում						
Ղարիբյան Թ.Ա., Մինասյան Վ.Թ., Վարտիկյան Լ.Ա., Մալխասյան Ռ.Թ., Գրիգորյան Ս.Լ. Նանոչափ ամորֆ Mo-ի փոշիների օգտագործումը ցիկլոհեքսանի դեհիդրման պրոցեսում						
Գրիգորյան Ռ.Ռ., Վարտիկյան Լ.Ա., Ղարիբյան Թ.Ա., Գրիգորյան Ս.Լ., Մալխասյան Ռ.Թ. Կատալիզատորների մասնիկների չափերի և ամորֆ վիձակի ազդեցությունը մեթանոլի փոխարկման պրոցեսի վրա						
Գրիգորյան Գ.Լ., Բեգլարյան Հ.Ա. Ցինկի միացությունների ցածրջերմաստիմանային քիմիական տեղափոխությունը ջրի գոլորշու միջոցով						
Գրիգորյան Գ.Գ., Հովհաննիսյան Գ.Ռ., Ջուլումյան Ն.Հ. Pt/SiO2 համակարգի սինթեզը և ԻԿ սպեկտրաչափական ուսումնասիրությունը ն-հեպտանի հիդրոգենոլիզի պրոցեսում						
Անօրգանական քիմիա						
Խաչատրյան Լ.Ա. Գերբարակ ջերմակայուն շերտավոր ֆիլոսիլիկատներ արհեստական մագնիումի սիլիկատի երկհիդրատից						
Անալիտիկ քիմիա						
Դարբինյան Հ.Հ., Զաքարյան Շ.Ս., Շապոշնիկովա Գ.Ն., Խաչատրյան Հ.Գ. Ալիլ- և ֆենիլթիոմիզանյութերի հետ սնդիկ(II)-ի փոխազդեցությունը և նրա որոշումը սնդիկ պարունակող հանքում						
Օրգանական քիմիա						
Մաղիյան Ա.Ս., Դադայան Ա.Ս., Դադայան Ս.Ա., Մարգսյան Տ.Հ., Գեոլչանյան Ա.Վ., Ղոչիկյան Վ.Տ., Փանոսյան Հ.Ա., Խրուստալյով Վ.Ն., Մալեն Վ.Ի. Ամինաթթուների կարձաժամկետ ասիմետրիկ սինթեզ՝ նոր ֆտորտեղակալված քիրալային ռեագենտներով Ni ^{II} -իոնի առաջացրած կոմպլեքսների կիրառմամբ 117 Հայոցյան Ս.Ս. N-(4-հիդրօքսիբուտիլ)արալդիմինների փոխազդեցությունը ացետիլացետոնի և ացետոքացախաթթվի Էսթերի հետ						

Պարոնիկյան Ե.Գ., Հակոբյան Շ.Ֆ., Նորավյան Ա.Ս. 2,2,5-Եռտեղակալված պիրանո [4'',3'':4',5']պիրիդո[3',2':4,5]թիենո [3,2-d]պիրիմիդինների 8-ամինոածանցյալների սինթեզ								
քլորմեթիլ-4-օքսո-3,4,5,6-տետրահիդրոբենզո[հ] խինազոլինի սինթեզը և փոխարկումները։ Ստացված միացությունների որոշ կենսաբանական հատկությունները148								
Մեսրոպյան Է.Գ., Գալստյան Ա.Ս., Ավետիսյան Ա.Ա., Համբարձումյան Գ.Բ. Վիցինալ ամինասպիրտների նոր ածանցյալների սինթեզ N-գլիցիդիլմորֆոլինի և N- գլիցիդիլպիպերիդինի հիման վրա								
Գրիգորյան Ն.Պ., Թարզյան Լ.Ա., Մարկոսյան Ա.Ի., Պարոնիկյան Ռ.Գ., Սուկասյան Ռ.Ս. 1-Ամինո-3-ցիկլոպենտիլ-3, 4-դիհիդրո-2-նաֆտալինկարբոնաթթվի էթիլէսթերի սինթեզը և որոշ փոխարկումները։ Նրանց անտիդեպրեսսիվ և հակացնցումային ակտիվությունը								
Աղաբաբյան Հ.Գ., Գևորգյան Գ.Ա., Պարոնիկյան Ռ.Գ., Մարդանյան Ս.Ս., Վերմիշյան Ի.Գ., Փանոսյան Հ.Ա. N-[3-հիդրօքսի-3-(4'-տեղակալված ֆենիլ)-1-պրոպիլ] ամինաթթուների սինթեզը և կենսաբանական ակտիվությունը 170								
Համբարձումյան Է.Ն., Որսկանյան Ա.Ս., Ենգոյան Ա.Փ. Ցիանամինա-1,3,5-տրիազինների փոխազդեցությունը α-հալոգենկարբոնաթթուների էսթերների և ամիդների հետ ու ստացված արգասիքների որոշ փոխարկումներ								
Ավետիսյան Ա.Ա., Խաչատրյան Լ.Ա., Կարապետյան Լ.Ֆ. 2-Ցիան-3-մեթիլ-4.4- ցիկլոպենտամեթիլեն-2-բուտեն-4-օլիդի մի քանի քիմիական փոխարկումները 								
Մնացականյան Մ.Ռ., Պապոյան Ա.Հ., Սամոկիշ Վ.Ա., Հալեբյան Ղ.Պ. Արյան շիճուկի բութիրիլխոլինէսթերազի ներգործությամբ սեբացինաթթվի դիխոլինային էսթերի հիդրոլիզի կինետիկական առանձնահատկությունները. 188								
Պոլիմերային քիմիա								
Տոնոյան Ա.Հ., Կիրակոսյան Ն.Ն., Քեթյան Ա.Գ., Քրիստոֆ Շիկ, Դավթյան Ս.Պ. Պոլիմեթիլմեթակրիլատ/ SiO2 նանոկոմպոզիտներ և նրանց հատկությունները 								
Բալայան Հ.Գ., Գրիգորյան Ս.Գ., Բալեկաև Ա.Գ., Տկաչենկո Լ.Է. Միլիկաժելի մոդիֆիկացումը պորֆիրին և մետաղպորֆիրին պարունակող պոլիմերներով 								
Նամակներ խմբագրությանը								
Հովհաննիսյան Մ.Ռ. Նոր BaBi10B6O25 միացության սինթեզ BaO-Bi2O3-B2O3 համակարգում								
Խաչիկյան Ռ.Ջ., Ասատրյան Գ.Վ., Ինձիկյան Մ.Հ., Սիմոնյան Հ.Հ. Պիրիդինի նուկլեոֆիլ միացումը վինիլպիրիդինիումային աղերին								
Կանոններ հեղինակների համար								

СОДЕРЖАНИЕ

Общая и физическая химия

Азизян А.С. Низкотемпературное взаимодействие окиси азота с микропористыми слоями <i>мезо-</i> тетрафенилпорфирината железа(II)
<i>Арсентьев С.Д.</i> Окисление метана в водных растворах в условиях кавитации 18
Григорьян Е.Г. Десульфуризация сульфидов меди и молибдена (Cu ₂ S и MoS ₂) в при-
сутствии неорганического окислителя
Адамян Ц.А., Киракосян А.Г., Харатян А.С., Чатилян А.А., Харатян С.Л. Особенности
высокотемпературной карбидизации ниобия в неизотермических условиях
30
Гарибян Т.А., Минасян В.Т., Вартикян Л.А., Малхасян Р.Т., Григорян С.Л. Применение
наноразмерных аморфных порошов Мо в процессе дегидрогенизации циклогекса-
на
Григорян Р.Р., Вартикян Л.А., Гарибян Т.А., Григорян С.Л., Малхасян Р.Т. Влияние
аморфности и размера частиц катализаторов на превращение метанола 49
Григорян Г.Л., Бегларян А.А. Низкотемпературный химический перенос соединений
цинка с помощью паров воды
Григорян Г.Г., Оганнисян Г.Р., Зулумян Н.О. Синтез и ИК-спектроскопическое иссле-
дование системы Pt/SiO ₂ в процессе гидрогенолиза <i>н</i> -гептана 64
Неорганическая химия
X ачатрян Λ . A . Ультратонкие термостабильные слоистые филлосиликаты из синтетического дигидрата силиката магния
Ханамирова А.А., Адимосян А.Р., Апресян Л.П., Чилингарян Л.А. Синтез исходных компонентов износостойкой корундовой керамики
100
Аналитическая химия
Дарбинян Г.Г., Закарян Ш.С., Шапошникова Г.Н., Хачатрян А.Г. Взаимодействие рту-
ти(II) с аллил- и фенилтиомочевинами и ее определение в ртутьсодержащей руде
Вартанян С.В., Бейбутян А.М., Хачатрян А .Г. Спектрофотометрическое исследование взаимодействия меди(II) с моно-, ди- и триэтаноламинами 111
Органическая химия
Сагиян А.С., Дадаян А.С., Дадаян С.А., Саргсян Т.О., Геолчанян А.В., Кочикян В.Т.,
Паносян Г.А., Хрусталев В.Н., Малеев В.И. Асимметрический синтез аминокислот

с укороченным контролем времени при использовании комплексов $\mathrm{Ni^{II}}$ на основе
новых фторсодержащих хиральных вспомогательных реагентов 117
Айоцян С.С. Взаимодействие N-(4-гидроксибутил)аральдиминов с ацетилацетоном и
ацетоуксусным эфиром
Пароникян Е.Г., Акопян Ш.Ф., Норавян А.С. Синтез 8-аминопроизводных 2,2,5-
тризамещенных пирано[4'',3'':4',5']пиридо[3',2':4,5]тиено[3,2-d]пиримидинов
140
Маркосян А.И., Погосян С.А., Арсенян Ф.Г., Сукасян Р.С. Синтез и превращения 5,5-
диэтил-2-хлорметил-4-оксо-3,4,5,6-тетрагидробензо[h] хиназолина.Некоторые
биологические свойства синтезированных соединений 148
Месропян Э.Г., Галстян А.С., Аветисян А.А., Амбарцумян Г.Б. Синтез новых производ-
ных вицинальных аминоспиртов на базе N-глицидилморфолина и N-глицидил-
пиперидина
Григорян Н.П., Тарзян Л.А., Маркосян А.И., Пароникян Р.Г., Сукасян Р.С. Синтез и не-
которые превращения этилового эфира 1-амино-3-циклопентил-3,4-дигидро-2-
нафталинкарбоновой кислоты. Антидепрессивная и противосудорожная актив-
ность полученных соединений160
Агабабян А.Г., Геворгян Г.А., Пароникян Р.Г., Марданян С.С.,
Вермишян И.Г., Паносян Г.А. Синтез и биологическая активность N-[3-гидрокси-
3-(4'-замещенных фенил)-1-пропил]аминокислот 170
Амбарцумян Э.Н., Ворсканян А.С., Енгоян А.П. Взаимодействие цианамино-1,3,5-триа-
зинов с эфирами и амидами $lpha$ -галогенкарбоновых кислот и некоторые превраще-
ния полученных продуктов
Аветисян А.А., Хачатрян Л.А., Карапетян Л.Ф. Некоторые химические превращения 2-
циан-3-метил-4,4-циклопентаметилен-2-бутен-4-олида 183
Мнацаканян М.Р., Папоян А.О., Самокиш В.А., Алебян Г.П. Кинетические особенности
гидролиза дихолинового эфира себациновой кислоты под действием сывороточ-
ной бутирилхолинэстеразы 188
Химия полимеров
•
Тоноян А.О., Киракосян Н.Н., Кетян А.Г., Кристоф Шик, Давтян С.П. Нанокомпозиты полиметилметакрилат/ SiO ₂ и их свойства
-
Балаян Г.Г., Григорян С.Г., Балекаев А.Г., Ткаченко Л.Э. Модификация силикагеля пор-
фирин- и металлопорфиринсодержащими полимерами 212
Письма в редакцию
<i>Оганесян М.Р.</i> Синтез нового соединения BaBi ₁₀ B ₆ O ₂₅ в системе BaO-Bi ₂ O ₃ -B ₂ O ₃
223
Хачикян Р.Дж., Асатрян Г.В., Инджикян М.Г., Симонян А.Г. Нуклеофильное присоеди-
нение пиридина к винилпиридиниевым солям
<i>Акопян Г.В.</i> Новый хелатный комплекс Ni (II)
· <i>'</i>
Правила для авторов

CONTENTS

General and Physical Chemistry

Azizyan A.S. Low-temperature interaction of nitric oxide with microporous layers of meso-tetra- phenylporphyrinato iron (II)
Arsentiev S.D. Oxidation of methane in water solutions under the effect of cavitation 18
Grigoryan Y.G. Desulphurization of copper and molybdenum sulfides
(Cu ₂ S and MoS ₂) in the presence of inorganic oxidizer
Adamyan Ts.A., Kirakosyan A.G., Kharatyan A.S., Chatilyan H.A., Kharatyan S.L. Kinetic
features of niobium high temperature carbidizing under the nonisothermal conditions
Gharibyan T.A., Minasyan V.T., Vartikyan L.A., Malkhasyan R.T., Grigoryan S.L. Application of nanosize amorphous powders of Mo in the process of cyclohexane dehydrogenation
Grigoryan R.R., Vartikyan L.A., Gharibyan T.A., Grigoryan S.L., Malkhasyan R.T. The influence
of the amorfism and size of the catalysts particles on the transformation of methanol
Grigoryan G.L., Beglaryan H.A. Low-temperature chemical transportation of zinc compounds by means of water vapors
Grigoryan G.G., Hovhannisyan G.R., Zulumyan N.H. Synthesis and IR spectroscopic study of Pt/SiO ₂ system in the process of hydrogenolysis of <i>n</i> -heptane
Anorganic Chemistry
Khachatryan L.A. Ultrafine thermostable layered fillosilicates from the synthetic dihydrate of magnesium silicate
Khachatryan H.R., Kalpakyan A.M. Gas-chromatography determination of thermodynamic characteristics of saturated hydrocarbons on Shirak mordenite of Armenia 85
Khanamirova A.A., Hadimosyan H.R., Apresyan L.P., Chilingaryan L.A. Synthesis of initial components for wearproof corundum ceramics
Hovhannisyan M.R., Hovhannisyan R.M., Knyazyan N.B. Liquidus temperature, crystalline phases and glass properties of the $Te_2MoO_7 - ZnMoO_4$ section of the $ZnO-MoO_3-TeO_2$ system
Analytic Chemistry
Darbinyan H.H., Zaqaryan Sh.S., Shaposhnikova G.N., Khachatryan H.G. The interaction of mercury(II) with allyl- and phenylthiourea and its determination in mercury-containing ore
Vardanyan S.V., Beybutyan H.M., Khachatryan H.G. Spectrophotometric investigation of the interaction of copper(II) with mono-, di- and triethanolamines
Organic Chemistry
Saghiyan A.S., Dadayan A.S., Dadayan S.A., Sargsyan T.H., Geolchanyan A.V., Ghochikyan V.T., Panosyan H.A., Khrustalev V.N., Maleev V.I. Asymmetric synthesis of amino acids with shortened time monitoring in utilization of Ni ^{II} complexes based on new F-containing chiral auxiliaries
Hayotsyan S.S. Interaction of N-(4-hydroxybutyl)araldimines with acetylacetone and ethyl acetoacetate
Paronikyan E.G., Hakobyan Sh.F., Noravyan A.S. Synthesis of new 8-aminoderivatives of 2,2,5-trisubstituted pyrano[4",3":4',5']pyrido [3',2':4,5] thieno[3,2-d]pyrimidines 140

Markosyan A.I., Poghosyan S.H., Arsenyan F.H., Sukasyan R.S. Synthesis and transformations 2-chloromethyl-5,5-diethyl-4-oxo-3,4,5,6-tetrahydrobenzo[h]quinazolines.Some biologic properties of the synthesized compounds						
Mesropyan E.G., Galstyan A.S., Avetissyan A.A., Hambardzumyan G.B. Synthesis of no derivatives of vicinal aminoalcohols on the basis of N-glycidylmorpholine and glycidylpiperidine	N-					
Grigoryan N.P., Tarzyan L.A., Markosyan A.I., Paronikyan R.G., Sukasyan R.S. The synthe and some transformations of ethyl ester of 1-amino-3-cyclopentyl-3,4-dihydronaphtalenecarboxylic acid. Antidepressing and anticonvulsive activity of resulti compounds	-2-					
Agababyan H.G., Gevorgyan G.A., Paronikyan R.G., Mardanyan S.S., Vermishyan I.G. Panosyan H.A. Synthesis and biological activity of N-[3- hydroxy-3-(4'-substitut phenyl)-1-propyl]amino acids						
Hambardzumyan E.N., Vorskanyan A.S., Yengoyan A.P. Interaction of cyanamino-[1,3,3] triazines with esters and amides of α-halogencarboxylic acids and some transformations reaction products	-					
 Avetissyan A.A., Khachatryan L.A., Karapetyan L.F. Study of chemical transformations of cyano-3-methyl-4,4-cyclopentamethylene-2-butene-4-olides						
Polymeric Chemistry						
·	by					
Letters to Editors						
Hovhannisyan M.R. Synthesis of new BaBi ₁₀ B ₆ O ₂₅ compound in the BaO-Bi ₂ O ₃ -B ₂ O ₃ system						
Khachikyan R.J., Asatryan G.V., Injikian M.H., Simonyan H.H. Nucleophilic joining of pyridi to vinylpyridinium salts	ine					
Hakobyan G.V. The new chelate complex on the basis of Ni (II)						
Rules for Authors						